

INSTITUTUL POLITEHNIC "TRAIAN VUIA" TIMIȘOARA
FACULTATEA DE MECANICA

L. KOVATS

CONTRIBUȚII ASUPRA STUDIUL COMPORTARII LA
TEMPERATURI RIDICATE A FONTELOR CU GRAFIT
MODULAR PERITICE ELABORATE ÎN TARA.

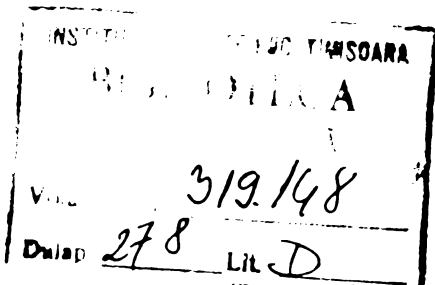
BIBLIOTECA CENTRALĂ
UNIVERSITATEA "POLITEHNICA"
TIMIȘOARA

conducător științific :

Acad. St. Nădășan

Prof.dr.doc.ing.A.Nanu

1976



C U P R I N S

Pag.

1. STADIUL ACTUAL AL CERCETARILOR IN DOMENIUL INCERCARILOR DE DURATA ALE FONTELOR CU GRAFIT NODULAR LA TEMPERATURI RIDICATE.	
1.1. Introducere	1
1.1.3. Standardizarea calităților de fonte nodulare	
1.2. Oxidarea și deformarea	2
1.3. Caracteristici de rezistență ale fontelor nodulare la temperaturi ridicate	4
1.5. Mecanismele fenomenului de fluaj la fontele cu grafit nodular	8
2. ANALIZA CRITICA A METODELOR DE EXTRAPOLARE FOLosite in LITERATURA TEHNICA DE SPECIALITATE.	
2.1. Curbele isotermic, izostate și izocrone	21
2.2. Parametrii extrapolării	22
2.3. Metode grafice de extrapolare	26
2.4. Metode parametrice de extrapolare	28
2.5. Extrapolări cu relații între timp și tensiune	66
2.6. Funcții model	70
2.7. Determinarea comportării materialelor la temperaturi ridicate în baza vitezei minime de fluaj (metoda Rajakovics)	74
3. CONTRIBUTII LA DETERMINAREA PRIN EXTRAPOLARE A REZISTENȚEI TEHNICE DE DURATA A FONTELOR NODULARE IN BAZA INCERCARILOR LA 4 TREPTE DE TEMPERATURA.	
3.1. Stabilirea isotermelor folosind metoda celor mai mici pătrate	81
3.2.1. Aplicarea metodelor parametrice bazate pe izostate în sistemul $\frac{1}{T} - \lg t$.	
3.2.1.1. Metoda Larson-Miller	84
3.2.1.1.1. Studiul variației "constantei" în funcție de tensiune la fonte nodulare	85
3.2.1.1.2. Analiza dispersiei "constantei" în raport cu temperatura de incercare	87
3.2.1.2. Metoda Orr-Sherby-Dorn	92
3.2.1.3. Metoda Manson-Murphy I.	95

3.2.1.4. Metoda parametrică de extrapolare pentru calculul rezistenței tehnice de durată prin eliminarea constantei din relația Larson - Miller	97
3.2.2. Aplicarea metodelor parametrice în sistemul $T = \lg t$	
3.2.2.1. Metoda Manson-Succop	107
3.2.2.2. Metoda Chitty-Duval	107
3.2.2.3. Metoda Manson-Harry II	109
3.2.2.4. Metoda Sud-Aviation	110
3.2.2.5. Metoda Manson-Haford	111
3.2.3. Stabilirea unei noi formule parametrice de extrapolare pentru rezistențe tehnice de durată	114
3.2.4. Metode statistice de extrapolare	123
3.2.4.4. Analiza statistică a rezultatelor	133
3.2.4.5. Încercări la 2 nivele de temperatură ...	134
3.2.5. Extrapolarea rezultatelor cu funcții model ..	137
3.3. Concluzii	141
4. CONTRIBUȚII ASUPRA STUDIUL COMPORTĂRII LA TEMPERA- TURI RIDICATE A FONTELAR NODULARE FERITICE ELABORATE IN TARA..	153
4.2. Materialul încercat. Standardizarea calităților de fontă cu grafit nodular	154
4.3.2. Studiul influenței vitezei de solicitare între limitele $v_c = 10^{-1} \dots 10^{-3}$ Kgf/mm ² .s asupra limitelor tehnice de curgere $G_{0,1}$; $G_{0,2}$ și $G_{0,5}$. Evidențierea rezis- tenței latente de flăjaj la fontă nodulară	155
4.3.3. Determinarea limitelor tehnice de flăjaj $G_{0,1/t}$ $G_{0,2/t}$; $G_{0,5/t}$; $G_{1/t}$; $G_{2/t}$ și extrapolarea rezultatelor la $t = 10000$ h	
4.3.4. Determinarea rezistenței tehnice de durată ...	163
4.4. Cercetări microfractografice	163
4.5. Concluzii	167
5. PRINCIPALELE CONTRIBUȚII ALE TEZEI	170

1. INTRODUCERE

1.1. Răspândirea fontei în industria constructoare de mașini caracterizează pe deplin cifrele că 50 ... 80 % din greutatea la majoritatea mașinilor este din fontă. Dezvoltarea industriei implică însă materiale cu rezistență, deformații și reziliență mai mari decât ale fontei cenușii. Aceste condiții au fost îndeplinite de oțelul turnat care însă prezintă dezavantaje față de fontă : are temperatură de topire înaltă, contracția mare, fluiditate scăzută, tendință de formare a retasurilor și tensiunilor interne, a crăpăturilor la cald și la rece și a segregării. De aceea turnarea pieselor din oțel necesită un mare consum de metale pentru maselote, precum și o tehnologie de formare complicată. Aceleasi dezavantaje pentru formare prezintă și fontă maleabilă, care în plus necesită un cîstîu de recocere îndelungat, putind fi folosită numai pentru piese turcate cu grosime și greutate mică.

1.1.1. Caracteristici mecanice ridicate similare oțelului turnat și fontei maleabile și preț de cost scăzut - care se apropie de cel al fontei cenușii - se pot obține la piese din fontă nodulară sau globulară. Ceea ce explică tendința actuală a producției în țările cu industria dezvoltată, unde raportul între producția de fontă cu grafit nodular și metale feroase crește anual cu 15 ... 20 %.

1.1.2. Aceast material poate fi considerat ca și un oțel care conține inclusiuni de grafit. Rezistența grafitului ($\sigma_y = 2 \text{ kgf/mm}^2$) poate fi neglijată și separările de grafit pot fi considerate drept incorectări ale masei metalice de bază. Thun și Ude [1.1] respectiv Roll [1.2] au făcut cercetări pe modele date în fig.1.1.2a, din care rezultă că pentru fiecare sistem și multime de grafit aparține un anumit concentrator. Coeficientii de concentrare a tensiunii datorate acestor goluri se approximează la 3 ... 10 și depind în primul rînd de raza de curbură R a separărilor de grafit (fig.1.1.2b) după Heuber [1.3] :

$$\sigma_{\max} = f \sqrt{\frac{t}{R}} \cdot \sigma_{\text{nominal}}$$

în care t - lungimea separării de grafit iar
 f - un coeficient

De aici se vede că la grafit lamellar de lungime t și virfuri ascuțite se produc concentratori maxi, care sunt mult

reduse la forma nodulară și mai ales la cea globulară a grafitului. De lingă aceasta inerțările crescind o stare de solicitare triaxială sau și un efect de fragilizare asupra materialului. În plus în cazul sferei raportul dintre suprafață și volum este minim, deci secțiunea efectivă de lucru a piesei se micșorează într-o măsură mai redusă [1.4]. Aceste fenomene explică pe deplin rezistența și tenacitatea ridicată a fontelor cu grafit nodular în comparație cu fontă cu grafit lamellar.

1.1.3. Normarea fontei cu grafit nodular.

Din valorile σ_x și δ_5 se poate forma un indiciu de calitate complex și nume produsul lor :

$$I_1 = \frac{\sigma_x \cdot \delta_5}{100} \quad \left[\frac{\text{kgf}}{\text{mm}^2} \cdot \frac{\text{mm}}{\text{mm}} \right]$$

care este lucrul mecanic de deformare înmagasinate într-un mm^3 în material pînă la rupeare, apropiat prin dreptunghiul circumscris curbei caracteristice la întindere. Acest indiciu variază între 6...10 la fontă cu grafit nodular feritic și 3...6 la cele perlitice. Dacă se trăie valorile σ_x , δ_5 într-un sistem de coordinate (fig.1.1.3a), fiecare calitate standardizată va fi reprezentată printr-un punct, iar curbele cu ecuațiile de forma :

$$\delta_x = a + b \exp \frac{b-x}{c}$$

(de ex. $a = 36$, $b = 26$ și $c = 7$ pentru zona C) delimită săzile clasele de calitate A, B, C în funcție de zonele cu densitate mai mare a punctelor.

1.1.4. Producerea pe scară industrială a fontei cu grafit nodular este de dată recentă în urma cercetărilor făcute la B.C.I.R.A. (1947) și la PHILIPMAŞ. La noi în țară turnătorii mai importante de fontă cu grafit nodular sunt la : "1 Mai" Ploiești, "Electropuțere" Craiova, "Steagul Roșu" și "Tractorul" Brașov, "Santierul naval" Galați, U.C.M. Reșița, Otelul Roșu, "Unic" Satu Mare, "Ateliere de reparat CFR" Cluj etc.

1.2. Oxidarea și deformarea ("cresterea") fontei cu grafit nodular

Spre a avea o imagine completă asupra comportării materialului la temperaturi ridicate - în cazul fontelor - pe

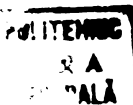
înălță incoreările statice de durată de rezistență, trebuie considerați și factorii strucurali. La temperaturi înalte fontă cu grafit lamellar are o durată de exploatare mică din cauza deteriorării rapide provocate de oxidare și "creștere" (deformatie). Gazele oxidenante pătrund de-a lungul lamelelor de grafit și oxidează metalul înconjurator. Oxidul rezultat având un volum mai mare, produce tensiuni interne, care pot depăși rezistența materialului, formând fisuri. Aceste fisuri constituie noi căi de acces pentru gazele oxidante și.a.m.d.

1.2.1. Pentru aprecierea rezistenței la oxidare [1.5] se alege drept criteriu creșterea în greutate - ca urmare a acțiunii oxigenului din aer - exprimată în $\text{mg}/\text{cm}^2 \cdot \text{h}$, determinată pe epruvete cilindrice polizate cu $d = 15 \text{ mm}$ (respectiv 20) și $h = 10 \text{ mm}$ (respectiv 2 mm). Viteza maximă de oxidare se observă în primele 25 h (fig.1.2.1a) [1.6], pînă cînd se formează stratul superficial de protecție, care este continuu și compact, frinind în continuare procesul de oxidare ; spre deosebire de stratul superficial de la fontă cu grafit lamellar, care este afinat și fragil. Această explică rezistența bună la oxidare a fontei cu grafit nodular care este funcție de % de Siliciu și temperatură (fig.1.2.1b).

1.2.2. Deformăția ("creșterea") fontelor constă dintr-o mărire permanentă a volumului, care poate atinge la fontă cu grafit lamellar de calitate slabă chiar 50 %, aceasta este provocată de tensiunile termice, dilatarea gazelor ocluse, tensiunile interne datorate trecerii repetate prin punctul perlitic, grafitisarea etc.

1.2.3. Grafitisarea. În prezență siliciului și a grafitului, carbonul combinat se transformă cu ușurință în grafit. Această transformare are loc cu o mărire de volum. La menținerea fontelor cu grafit lamellar la temperaturi mai măre de 400° , în durete mari, se descompune astfel cementita liberă cît și cementita din perlit ; dintre elementele insotitoare mai ales siliciul scade stabilitatea cementitei ; descompunerea fiind mai energetică la temperaturi mai mari.

Fontă cu grafit nodular perlitică are rezistență la deformăție mai mică decît fontă cu grafit nodular feritic, căci structura perlitică trece în structura perlito-feritică cu formarea inelilor de ferită în jurul nodulelor de grafit, iar apoi în structura feritică urmată de o deformăție (creștere) și oxidarea componente-



lor structurale.

Cercetările dilatometricice asupra fontei cu grafit lamelar au arătat o deformatie ("crestere") de 0,718 % la 900° , iar la fontă cu grafit nodular chiar contractii de 0,09 % - asemănător otelului carbon. Pe lîngă durată de menținere și temperatură un indiciu important este numărul încălzirilor repetate următe de răcire în aer.

Cu mărirea numărului de încălziri repetitive, "cresterea" fontei cu grafit lamelar se mărește brusc, în timp ce variația dimensiunilor la fontă cu grafit nodular a fost neînsemnată (fig. 1.2.3a).

1.3. Caracteristicile de rezistență ale fontei cu grafit nodular la temperaturi ridicate

Modulul de elasticitate E scade la fontă cu grafit nodular ca și la otel cu creșterea temperaturii ; E cel mai mic are fontă cu grafit nodular feritic, mai mic decît fontă cu grafit nodular perlitic (fig.1.3a).

Limita de curgere σ_0 , rezistența la rupere σ_y și duritatea Brinell HB scad cu creșterea temperaturii. Diferențele sunt mai accentuate la σ_y mari (fig.1.3b).

1.4. Rezistența tehnică de durată și limita tehnică de fluaj la fontă cu grafit nodular

In figura 1.4a sunt reprezentate curbele de fluaj la 450° ; fontă cu grafit nodular prezintă deformări ($\varepsilon_{\text{f}} \approx 4\%/\text{mm}$) mult mai mici decît fontă cu grafit lamelar sau fontă maleabilă [1.7] . Fluajul fontelor cu grafit nodular este mult mai redus decît al celui cu grafit lamelar sau chiar fontă maleabilă. In schimb fontă cu grafit nodular perlitică aparent se comportă mai bine la fluaj, decât cea cu structura feritică. Evident fluajul crește cu trăpta de tensiune σ . Pînă la $450^{\circ}\dots 500^{\circ}\text{C}$ fontă cu grafit nodular se apropie - în ce privește comportarea la fluaj - de otelul turnat. Peste 450° la fontă cu grafit nodular perlitică, perlita poate să se descompună, în timp ce la fontă cu grafit nodular feritică se poate să se dezvolte fragilitatea de revenire.

In fig.1.4b [1.8] sunt reprezentate în coordinate dublu-logaritmice, rezultatele obținute la rezistență tehnică de

durată σ_y/t , pentru o perioadă de 2 ani, în literatură tehnică universală, pentru temperatură de la $370^\circ\text{...}760^\circ\text{C}$, pentru o durată maximă de cca $t = 1000\text{...}3000$ ore, pentru fonte cu grafit nodular feritice, perlitice și austenitice, nealiate sau slab aliate cu Ni respectiv. Mo. Sistemul de reprezentare prezintă și avantajul că permite - la nevoie - o extrapolare aproximativă destul de simplă a valorilor pînă la 10^4 sau chiar 10^5 ore. (Sensul de extrapolare \wedge). Alte caracteristici importante la această inoareare sunt δ_5 și $\tau_{0,2}$ treceute cu cifre la punctele determinate ($Z\%$), HEES, JNC, SR [1.14] FDJ, PDJ, ADJ [1.15], SO [1.9], WFRsch, WPFsch [1.17], I [1.18], P Cu Ni, Mo Ni [1.19], Ni Cr, Ni Cr Mo, [1.20], NJPA, NJAC [1.21] ASS [1.22], D 2 [1.16].

1.4.1. Ivanova și Odincu au efectuat inoareari la 450° asupra fontelor cu grafit nodular cu C 3,3%, Si 2,5% și Mn 0,67%, cu microstructura din fig.1.4.1a cu părți masive de grafit nodular, disperse într-un cimp feritic, cu existența unei zone perlitice reduse, obținute în urma unui tratament termic. Temperatura de încălzire = 950° (2 h) în cuptor, temperatură de răcire = 680° (3 h), pe urmă la aer. Curbele de fluaj la 450° sunt date în fig.1.4.1b [1.9] pînă la 10^3 h.

In fig.1.4.1c sunt reprezentate vitezele de fluaj la diferite solicitări și în baza lor se extrapolează valorile pentru $\sigma_y/100000 = 12 \text{ kgf/mm}^2$; extrapolarea rezistențelor tehnice de durată dă $\sigma_n/100000 = 18 \text{ kgf/mm}^2$.

1.4.2. În Tabelă 1.4.2a reproduc câteva date din lucrarea lui Plessinger prezentate la congresul A.T.F. [1.10]

1.4.3. Inoareările lui Towers în cadrul BCIRA [1.11] asupra fontelor cu grafit nodular perlitice - $\sigma_y = 74 \text{ kgf/mm}^2$, $\delta_5 = 4,5\%$ compoziția chimică: C 2,95%; Si 1,52% și Ni 1,11% - au arătat că limitele tehnice de fluaj a fontei cu grafit nodular depășesc cele a fontei cu grafit lamellar de ~ 1,5 ori. Rezultatele sunt reprezentate în fig.1.4.2a și concentrate în Tabelă 1.4.3a.

1.4.4. P.A. Taborough [1.12] a efectuat inoareari în laboratorul universității New-Castle cu fonte cu grafit nodular tip "mechanite" (procesul special de injectare pentru desulfurizare și nodularizare - Olanda). Fontă feritică "3F" a fost recopită 8 ore la 740° . Compoziția chimică era: C 3,38% și Si 2,52% iar caracteristicile mecanice: $\sigma_y = 45,8 \text{ kgf/mm}^2$ și $\delta_5 = 26\%$.

Tabla 1,4.2

Densitate	C	Si	M	treatament	temperatura	$\frac{C_2}{C_0}$	σ_5	$\frac{C_2}{C_0}$	$\frac{C_2/10^4}{C_0/10^3}$	$\frac{C_0}{C_2}$	δ_5	$\frac{\text{viteza}}{\text{c}}$ acid	
fosfat cu grafit modular rezistență ei cu H	3,02	2,43	-	stabilizare in (9500) și rev.2a(7400)	200°C	4,00	425°	450°	475°	4000	500°		
fosfat cu grafit modular rezistență ei cu H	2,73	2,53	0,93	- - -		42,5 36,8	17,3 14	14 10,5	12,5 8,3	2,2 7	43,4	16,7 19	
fosfat cu grafit modular rezistență ei cu H	2,95	6,45	-	stabilizare in (6000) și oile de capat		20,5 44,8	17,9 24	15 9	11,5 7	8,5 -	23,2 43,3	15,5 19	
total rezistență (STAS 600-63)	0,21	0,32	-	H 2b(9000) și rev.2b(9500)	46,8 26,6	19,4 -	-	15 9	12 7,5	2,5 -	22,4 46,6	26,6 100%	
										12			

Se observă importanță a σ_5 >> în fizicii cu grafit modular decât în celelalte trebuinți,
deci se obține se menține și la 400°.

Tabela 1.4.3.a

t	$\sigma_{0,1/t}$	$\sigma_{0,2/t}$	$\sigma_{0,5/t}$	$\sigma_{1/t}$	$\sigma_{r/t}$
ore	kgf/mm^2				
100	26,7	28,3	36,2	42,5	44,1
1000	15,0	18,4	23,6	28,3	36,2
5000	10,87	14,2	19,6	23,6	31,5

Fig.1.4.4.a reprezintă rezistențele tehnice de durată la temperaturile 400° , 450° și 500°C ($10 \text{ tons/in}^2 = 15,7 \text{ kgf/mm}^2$) iar fig.1.4.4.b curbele de fluaj ($10000 \text{ lb/in}^2 = 7,03 \text{ kgf/mm}^2$; alungirile la fluaj se referă la $i_0 = 2 \text{ inch}$).

1.4.5. B.V. Rajakovics [1.13] a investigat comparativ fontele cu grafit nodular perlitice și feritice (fig.2.7.a) cu metoda prezentată în capitolul 2.7. Deși insensibilitate la fluaj se menține doar pînă la 200°C la fonte cu grafit nodular feritice și chiar pînă la 300°C la cele perlitice și valorile rezistențelor tehnice de durată $\sigma_{r/t}$ pentru fontele perlitice sunt superioare celor feritice, totuși cu creșterea temperaturi fontele perlitice au o pantă crescătoare, mult mai mare ca la cele feritice. Acest fenomen se datoră faptului că structura perlitică în domeniul temperaturilor mai ridicate nu mai e stabila și se transformă (favorizată de starea tensionată) în cea feritică. Deci nu se mai pot trage concluzii sigure din comportarea materialului la încercări de durată scurtă, cu cele lungi. De aceea cercetarea comportării la temperaturi ridicate a fontelor cu grafit nodular perlitice nu prezintă interes pentru exploatare.

Fig.1.4.5.a prezintă atît limitele tehnice de fluaj $\sigma_{1/t}$ cît și rezistență tehnică de durată $\sigma_{r/t}$ pentru fontele cu grafit nodular feritice determinate în lucrarea [1.13]

Fig.1.4.5.b dă valorile extrase din fig.1.4.5.a pentru $\sigma_{r/t}$ în funcție de temperatură de încercare pentru duratele de 10.000 și 100.000 de ore. Aceste date se compara cu cele obținute de alți cercetători [1.14]

Afirmatiile de mai sus se referă la fontele nealiate. Creșterea procentajului de Siliciu de la 2 la 2,05 are ca efect îmbunătățirea cifrelor de rezistență [1.24] mai ales în cazul alierii și cu ~ 1% Nickel.

Molibdenul are influență cu o mai favorabilă [1.23], [1.8], [1.24], [1.25], [1.26] mărind durată² - la aceeași tensiune-de 1,5 ... 2 ori. Fig.2.7.b dă valori pentru $G_{r/t}$ și $G_{l/t}$ în cazul alierii fontelor cu 0,5% Mo.

1.5. Mecanismele fenomenului de fluaj la fontă cu grafit modular

Mecanismul ruperii pieselor din oțel cu creștări și fără creștări tinde să lămurească comportarea refrectară a fontelor cu grafit modular.

1.5.1. Efectul creștării asupra rezistenței piesei

La solicitări variabile în timp creștăurile diminuază rezistența piesei. Dimpotrivă la solicitări statice materialele deformabile în majoritatea lor nu prezintă sensibilitate la creștări. În întindere statică repartiția neuniformă și multi-axială a tensiunilor în creștări are ca efect chiar o creștere a rezistenței pentru oțeluri moi și semidure. S-ar putea aștepta, de aceea, că în general rezistența la cald a pieselor din oțel cu creștări, să fie mai mare. Totuși s-a arătat [1.27], [1.28] [1.29], [1.30], [1.31], [1.32], [1.33] că creștăurile pot să aibă și efectul opus. Sensibilitatea la creștări a apărut după o anumită durată și era corelată cu pierderea capacitatii de deformare. Fig.1.5.1.a redă schematic cele 3 posibilități de influențare a rezistenței tehnice de durată prin creștări. În partea de sus se prezintă un material sensibil la creștări. Curbele din mijloc sunt valabile pentru oțeluri cu o tendință mai slabă la fragilizare. În aceste cazuri se pierde parțial acțiunea de fragilizare a creștărilor, după o anumită durată de încercare ; probele - indiferent, dacă sunt netede sau crestate - prezintă o curbă comună pentru rezistență tehnică de durată.

În fine curbele de jos arată comportarea unui material tenace, cu rezistență tehnică de durată mare. În acest cas portanța probelor cu creștări este în mod evident mai bună. Se remarcă însă că fiecare material poate să se încadreze în ori și care din cele 3 scheme după temperatură de încercare sau tratamentul termic aplicat.

1.5.2. Materiale tenace și fragile

Tendința la rupere fără deformare nu apare însă la o încer-

care scurta la cald. Ruperi care apar după o solicitare de peste 100 ore, pot să fie des fără deformații. Pe lîngă aceasta nu este vorba de o fragilizare în sens obișnuit, cum este de ex. imbătrânirea sau fragilizarea.^{La revenire} Materialele pot să prezinte după durate lungi de încălzire o tenacitate bună la încercarea de reziliență. Ruperile fragile se poate crește în lumina structurii materialului și anume de caracteristici diferite ale rezistenței intra cristaline și intercristaline. S-a arătat de mult [1, 34], [1.35], [1.36], [1.37], [1.38] că aceste 2 categorii de rezistență sunt influențate de temperatură, astfel că deasupra unei anumite temperaturi partea limitrofă a cristalului (grăumentului) să fie componenta cea mai slabă, în timp ce la temperaturi mai joase partea limitrofă să fie mai rezistentă decât însuși cristalul. Temperatură la care cristalul și intercristalinul prezintă aceeași rezistență este temperatura echicoezivă. Încercări de durată mai lungă indică faptul că ruperile fără deformații se produc intercristalin la oțeluri, ceea ce confirmă că solicitarea a fost deasupra temperaturii echicoezive. Aceasta însă variază între anumite limite și este mult influențată de durata de încercare.

Fig.1.5.2_a arată schematic influența temperaturii și duratei asupra rezistenței inter și intraerystaline. Se observă că temperatura echipocesivă se extinde pe un anumit domeniu de temperatură ($t_g = T_2 - T_1$).

Rezultă din fig. 15.2 că la durate scurte de încercare limita achiezoasă se situează la o temperatură T_2 mai mare și cu creșterea duratei coboară la o valoare minimă (T_1).

Caracteristicile de rezistență ale cristalelor și intercrista-
linului sint redate schematic în fig.1.5.2.6., 7; fig.1.5.2.8
arată comportarea materialului deasupra intervalului echieosiv,
iar fig.1.5.2.9 dedesubtul, fig.1.5.2.9.9.9 arată caracteristicile
în interiorul domeniului $T \in (T_1, T_2)$.

In fine se indică bibliografia referitoare la fontă cu grafit nodular care nu a mai fost prelucrată din cauza limitării extensiei tezei [1.39] ... [1. 81].

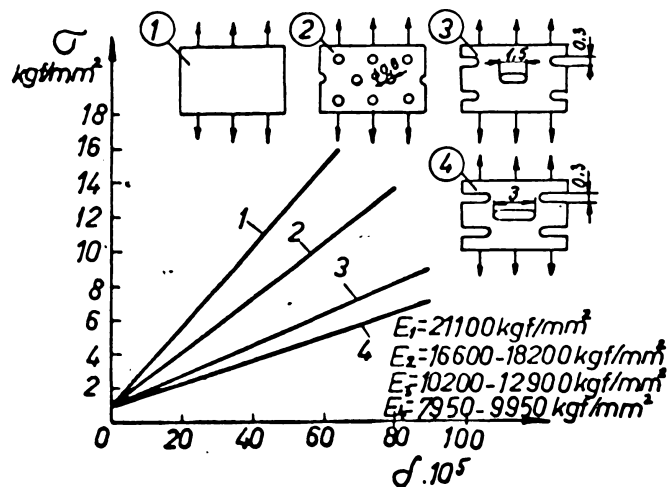
BIBLIOGRAPHIE

- 1.1. Fachbuchreihe "Schweißtechnik" Band 23.DVS 1962
 - 1.2. Dr.Roll F., Entwicklungsgestand und Zukunft des Gusseisens. Verlag Technik,1951
 - 1.3. Neuber H, Kerbspannungs-Lehre, Springer Verlag 1958
 - 1.4. Piaskowski-Jankowski, Zelina Sferoidalne P.W.T.1957
 - 1.5. Dumitrescu Tr.s.a., "Comportarea fontelor cu grafit nodular la temperaturi înalte" Studii și cercetări de mecanica aplicată,Bucuresti,1955,Tom.VI,No.1-2

- 1.6. Timmerbeil H., Giesserei, 42(1955), N.1, p.7.15
- 1.7. Ghirgovici N.G., Mihailov V.A., Maksimov S.V., Sbornik "Uprugenie kachestva otlivok" LOVESTOL, Maggish, 1954, p.85-102
- 1.8. Stelsennmiller H., Langzeit Warmfestigkeits-eigenschaften von GGG, Stahl und Eisen, Düsseldorf, 1958, 78, nr.5, pp.304-307
- 1.9. Ivanova V.S., Oding I.A., Polmacest ciuguna s globularnim grafitom, Izvestia Akad.Nauk.SSSR.Otd.teh.nauk,Moskova 1955 No.7
- 1.10. Plesinger A., Propriétés de la fonte à graphite sphéroïdal aux températures élevées Fonderie, Paris, 1960, Januarie, nr.168, pp.18-24
- 1.11. Towers J.A., The Creep Properties of an As-Cast Pearlitic Modular Graphite Cast Iron at 400°C, British Cast Iron Research Association, London, 1960, nr.3, pp.422-425
- 1.12. Afterborough P., Creep Properties of Mechanite Modular at 4000-5000°C, Report E. 1099, University of Newcastle-upon-Tyne, Anglia, sept. 1966, pp.1-31
- 1.13. Rajakovics E.V., Bechtelberger, Beitrag zur Schnellbestimmung des Warmkreiszugverhaltens von Gußeisen mit Kugelgraphit. Giesserei-Rundschau 17, 1970 No.3, Wien
- 1.14. Foley P.B., Mechanical properties at elevated temperatures of ductile cast iron. Vorabzug aus Trans. Amer.Soc.mech.Eng.78(1956)Okt.
- 1.15. Wilks, Charles R., Norman J. Matthews u.R.Wayne Kraft jr. Trans.Amer.Soc.Metals 47(1955), p.611/31
- 1.16. Engineering properties of ductile Ni-Basist Austenitic Irons. (Hrsg) The International Nickel Company, New York
- 1.17. Girschowitsch N.G., Ss.K.Makssimov, V.A.Michajlow, Polutšenie otlivok is visokoprotnovno tjuguna, Moskva, 1955, p.114/23
- 1.18. Lobl Karel, Práce Československého Vízkumu Slovárenského 4(1957), p.285/92
- 1.19. Schelling R.D, I.T.Eash, Steel 141(1957)Nr.2 p.96
- 1.20. International Nickel Co., New York
- 1.21. Saunders, M.S., M.J.Sinnott, Trans.Amer.Soc.Metals 45(1953), p.362/76
- 1.22. Seafing F.G., Trans.Amer.Foundrym.Soc.63(1955)p.638/41
- 1.23. Angus H.T., Stress resistance of unalloyed and alloyed cast iron at high temperatures and the use of grey, malleable and nodular or spheroidal graphite iron at steam temperatures, Brit.Foundrym.62(1969)11, pp.407-31 si in special p.417-418, fig.9
- 1.24. Reifferscheid K.J., Träger H., Über den Einfluss höherer Temperaturen auf die Festigkeitseigenschaften von ferritischen und perlitischen Gußeisen mit Kugelgraphit, Giesserei, Techn.-wiss. Beiheft 15(1963), 2, pp.99-105
- 1.25. The Uses of Molybdenum in Nodular Trans.Climax Molybdenum Company New York 1964
- 1.26. Straube H., Über den Grundlagen der Warmfestigkeit und die warmfesten metallischen Werkstoffe. Climax Molybdenum Gesellschaft, Zürich 1968 si Schweizer Archiv f. angew.Wissenschaft u.Technik 34(1968), pp.237-56

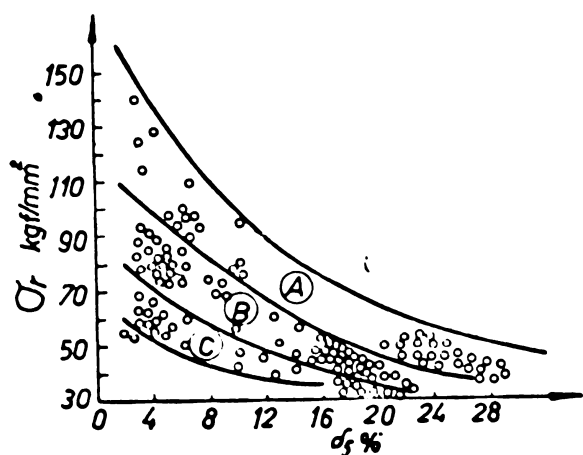
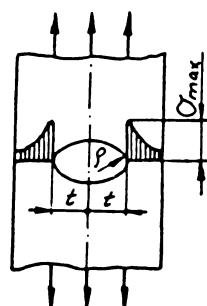
- 1.27. Houdremont E., Mitt.Verein.Grosskesselbes.Nr.63,(1937) p.229/42 - Houdremont E. Stahl u.Eisen 59 (1939),p.1/8 si 33/59. - Houdremont E.,G.Bandel, Techn.Mitt.Krupp,A.: Forsch.-Ber.5(1942),p.260/72.
- 1.28. Rittman,W., Mitt.Verein,Grosskesselbes.Nr.70.1938,p.292/95
- 1.29. Tofante,W., Erörterungsbeitrag zu Siebel, E.,u.K.Wellinger: Arch.Eisenhüttenwes.13(1939/40),p.387/96(Werkstoffaussch. 494); in special p.394/95
- 1.30. Benneck,H.,G.Bandel, Stahl,u.Eisen 63(1943),p.653/59,673/84 si 695/700 (Werkstoffaussch.632); Techn.Mitt.Krupp,A:Forsch. Ber.,6(1943),p.143/76 - Bandel,G.,H.J.Wiester, Brennet. Wärme Kraft 1(1949),p.203/03
- 1.31. Siebel E.,K.Wellinger, Arch.Eisenhüttenwes.13(1939/40), p. 387/96 (Werkstoffaussch.492)
- 1.32. Schere R.,H.Kiessler, Arch.Eisenhüttenwes.12(1938/39), p. 381/85 (Werkstoffaussch.454) - Erörterungsbeitrag zu 15) p.394 - Kiessler,H., Arch.Eisenhüttenwes.19(1948),p.45/48 (Werkstoffaussch.658)
- 1.33. Theis E., Schweiz.Arch.angew.Wiss.Tech.19(1953),p.300/15
- 1.34. J.Inst.Metals 8(1912) II,p.149/70;10(1913)II,p.119/49
- 1.35. Trans.Amer.Inst.min.metallurg.Eng.60(1918/19),p.474/576
- 1.36. Duckwitz,C.A., Berg-u.hüttenm.Ih.90(1942),p.111/19.- Duckwitz C.A.,H.Buchholtz, Arch.Eisenhüttenwes.15(1941/42) (Werkstoffaussch.562).-Duckwitz,C.A., Arch.Eisenhüttenwes 15 (1942/43),p.285/89 (Werkstoffaussch.567)
- 1.37. Siegfried W., Schweiz.Arch.angew.Wiss.Tech.9(1943),p.1/14 cp. Stahl u.Eisen 64(1944),p.521, - Siegfried,W., Schweiz. Arch.angew.Wiss.Techn.11(1945),p.1/16 si 43/61,-Siegfried W., Iron Steel Inst.156(1947),p.189/207;158(1948),p.462,- Siegfried,W., Techn.Edsch.Sulzer 1948, Nr.4,p.21/35,- Siegfried,W., A symposium on high-temperature steels and alloys for gas turbines. London 1952 (Special Report Iron Steel Institut Nr.43).- Siegfried,W., Rev.Metallurg. M&M.,50(1953),p.115/35
- 1.38. Greenwood,J.N.,D.H.Miller,I.W.Suiter, Acta Metallurg, New York, 2(1954),p.250/58
- 1.39. Adamczyk I., Wied.hutn.Polon.57,nr.5 p.142-5
- 1.40. Alexandrov N.N., Zavod.Lab.1959,No.11,p.1335-6
- 1.41. Andersen C.A., Iron Age 1958, Nr.21,p.102-4
- 1.42. Arnold A.G., ECIRA-36-57 nr.11,p.588-99,vol.6,nr.11 april 1957
- 1.43. Bratu D., Met.si constr.de maș.1957, nr.5,p.85-89
- 1.44. Biro E., Gép 1963 nr.8,p.304-10
- 1.45. Ballay M. Chavy R. si Grilliat J., Foundry Trade Journal 1954, I,II, 91-7, 125-8
- 1.46. Ballay A. Chavy R., Grilliot I., La Fonderie 1954.III, 98,
- 1.47. Carr A.L., Steven W., La Fonderie 1954,IV,
- 1.48. Cejtin V.Z., Metallovedenie i termichni obrabotki metallov 1962/8, p.11-14

- 1.49. Chisiv A., Metalurg.constr.de maș. 1957, nr.3, p.16-21
1.50. Christ R.I., M.S.O'Brien, Fonderie 1963; 467-71
1.51. Constantinescu A., Construcții de mașini 1957, nr.3,
p.38-41
1.52. De Pierre s.a., NAVORD, nr.6493, 1959
1.53. Drăpal St., Hutn.Listy 1957, nr.12, p.1087/94
1.54. Dobrinina L.D., Izd.V.U.Z. Cernaja metallurghia URSS 10,
1965; 129-32.
1.55. Durosov P., Metallovedenje Obrabotk. Metallow 1957.nr.5,
p.42-48
1.56. Evans E.R., BCIRA J.Res.Dev.5, 1955, p.643-54
1.57. El Haik, Fonderie 1962 iul, nr.197, p.243-6
1.58. Eagen T.E., Foundry 78, nr.12/1950 p.96-99, p.203-4
1.59. Farafanov I.E. și Babro I.G., Lit.Proizv 1955 nr.3.p.21-24
1.60. Friedl K., Brown Boveri Mitt.1966, 1/2, 114-125
1.61. Guterman S.G.s.a., Fizika Met.i Metallovedenie 1958 nr.2
p.118-21
1.62. Gittus J., Iron and Steel 1957, nr.13,p.603/7; nr.14,p.
639/41
1.63. Gittus J., Iron and Steel, 1959 dec. p.559-65
1.64. Gilbert G.N.J., Journ.of Research a development 1954-IV,
249-63
1.65. Gilbert G.N.J.s.a., Brit.Foundry, nr.50, 1957, p.441-57
1.66. Gilbert G.N.J., BCIRA 1964, 6, 759-73
1.67. Gilbert G.N.J., Journ.of Research and Development BCTR, 1959 febr. 478-566
1.68. Gilbert G.N.J., Journ of Research and development
1954.IV 249-63
1.69. Ghirșovici s.a., Liteinoi Proizvod - 1960 1 ian., p.25-30
1.70. Ghirșovici N.G., Maksimov S.K. și Mihailov V.A.
Sbornik,Maschin 1954 Moscova 1954, p.85-102
1.71. Ghirșovici N.G., Bimanovskii M.P., Liteinoie proizv.1960;
1, 25-30
1.72. Hotta s.a., Imono.1959, p.788-3 (jap)
1.73. Ivanova U.S., Zavodskaja Laboratorija nr.2/1955, p.212
1.74. Kattus J.R., Foundry 83, 1955 nr.2,3 p.96/97, 230/2,234
și 237; 1957 nr.6 p.172/74 și 76
1.75. Klimocki M.M., Termiceak.Obrabot.Met.1959 dec.p.39-43
1.76. Kunjavaki M.N., Obrabotk.Metall 1957, nr.3, p.41-45
1.77. Lamb M.D., BCIRA Journ 1960 nr.4 iul.p.514-516
1.78. Malmberg W., Giesserei 1956, nr.4, p.81-85
1.79. Millmen D.S. Vestnik Mașinostroienii 1949, nr.12 p.30-42
1.80. Palmer K.B., BCIRA. Journ.of Res. a Devel.ian.1957, p.638
1.81. Chișiu A, Domșa A, Trebonius J, Pistoane. București Ed.Tehn. 1961



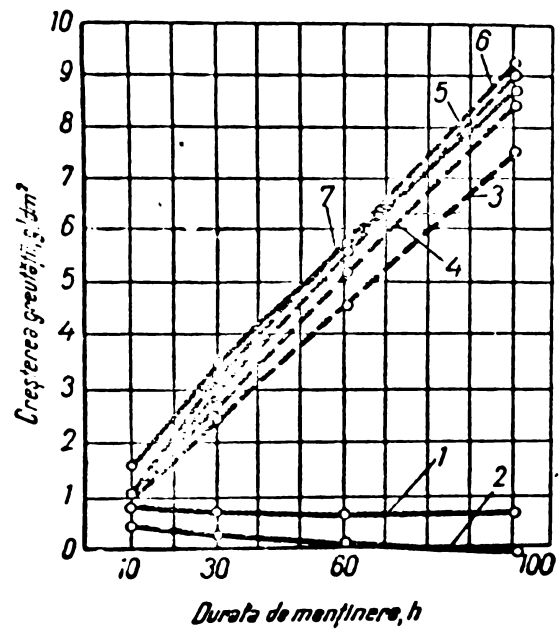
Capitolul 1.1.2. Figura a.
Inoercarea la întindere
a plăoilor cu diferite
creștături.

Capitolul 1.1.2. Figura b.
Sohema de calcul a tensiunilor
după Neuber.

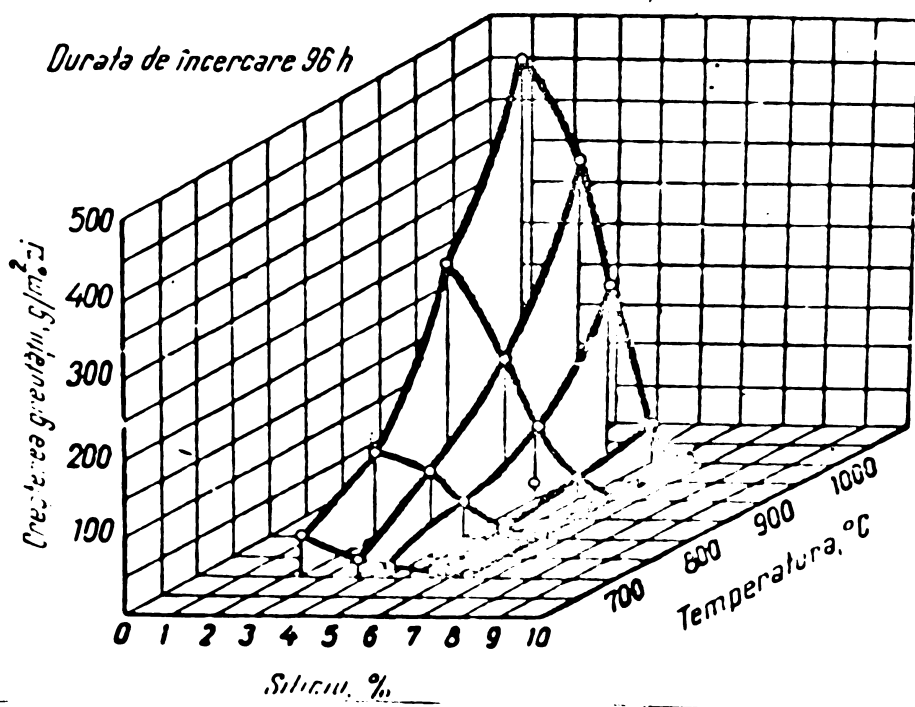


Capitolul 1.1.3. Figura a.
Diagrama sinoptică pentru
delimitarea claselor de
calitate A, B, C.

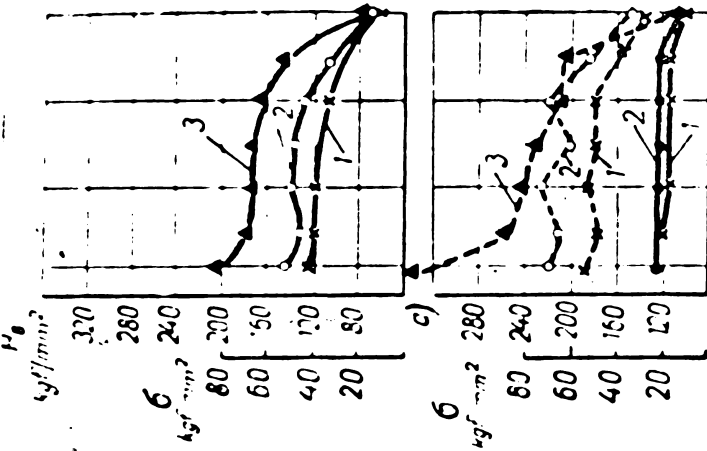




Capitolul 1.2.1. Figura a
Dependența între creșterea greutății epruvetelor și durata de menținere la temperatura de 800°C :
1 și 2 - fonte cu grafit nodular cu 0,95% Mn și 3% Mn;
3,4,5 și 6 - fonte maleabile cu 0,3;0,6;0,9 și 1,2% Mn;
7 - fontă cenușie cu 0,54% Mn

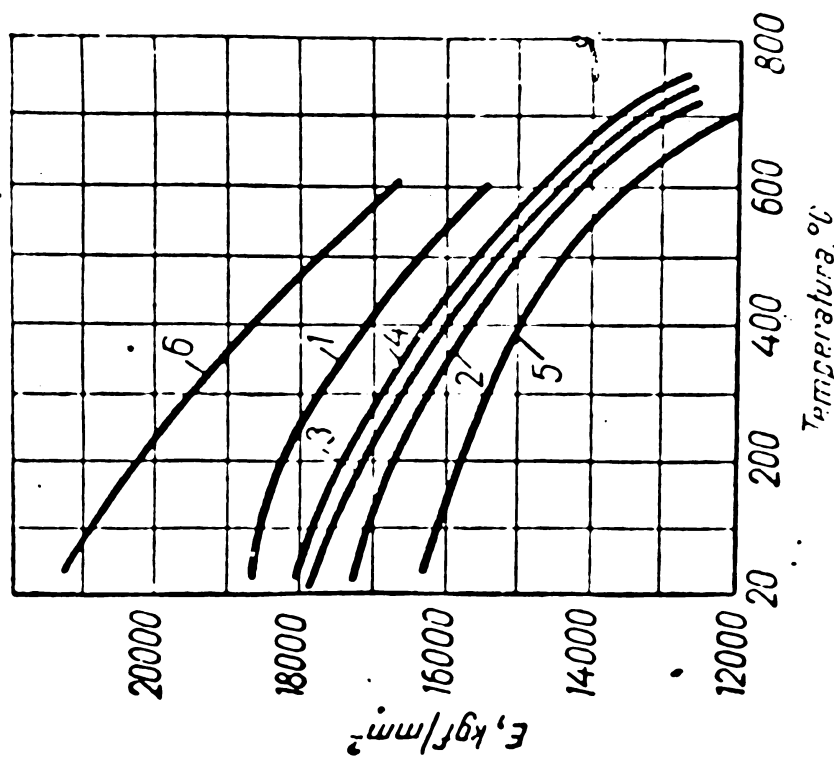


Capitolul 1.2.1 Figura b
Influența siliciului asupra refractorității fontei



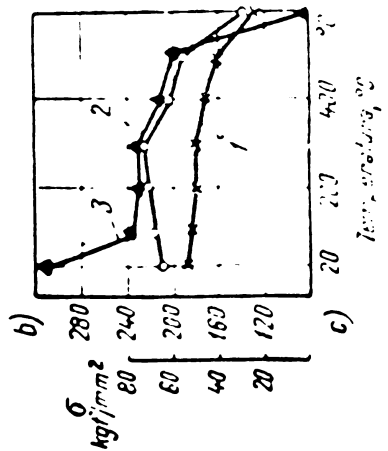
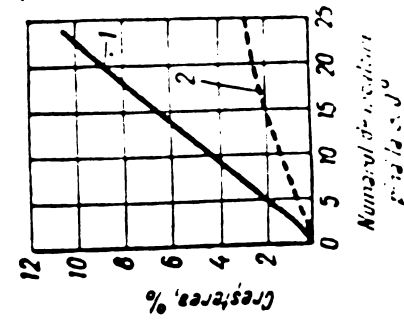
Capitolul 1.3. Figura 2
Influența temperaturii asupra modulului de elasticitate al fontei și otelului:

- 1- VC 50-1,5; 2- VC 50-1,5 (struktură perlitoză după normalizare); 3- VC 50-1,5 (normalizare plus revenire la 550°C); 4- VC 60-2;
- 5- VC 40-10; 6- otel St.5



Capitolul 1.2.3. Figura 3
Rezistența la orestere (deforțare) a fontelor:

- 1 - fontă oenugie;
- 2 - fontă ou grafit nodular



Capitolul 1.3. Figura b
Influența temperaturii asupra lui G_o , G_T și HB a fontelor (V.E.) și otelului (S.O.)

- a- VC 40-10; b- SC 21-40 și VC 60-2;
- c- VC 50-1,5; 1- G_o ; 2- G_T ; 3- HB

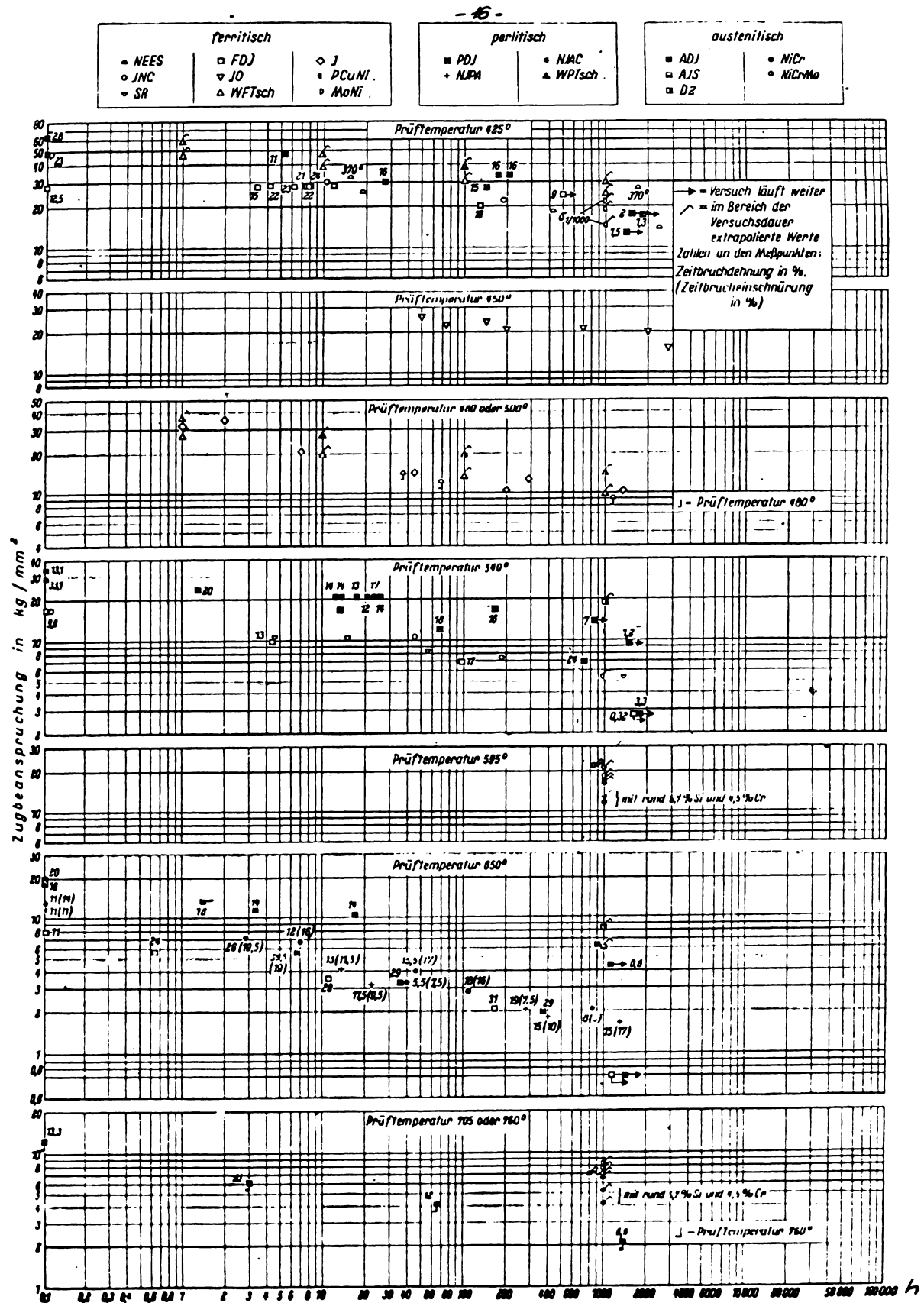
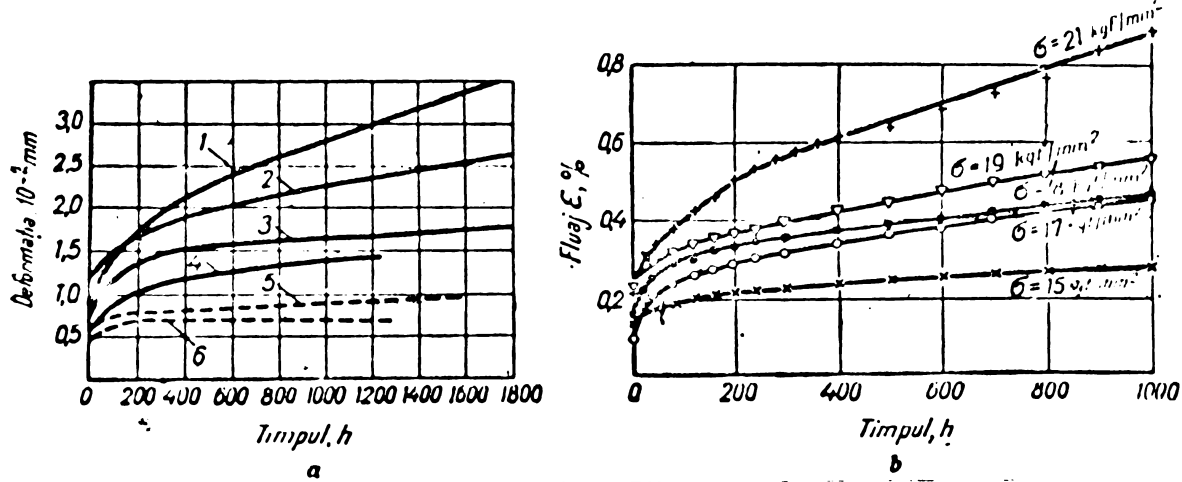


Fig.1.4.b Resistențele tehnice de durată $\sigma_{z/t}$ determinate în intervalul de temperatură $350^{\circ}\text{C} \dots 600^{\circ}\text{C}$ pentru fonte cu grafit nodular feritice, perlitice și austenitice [1.8].

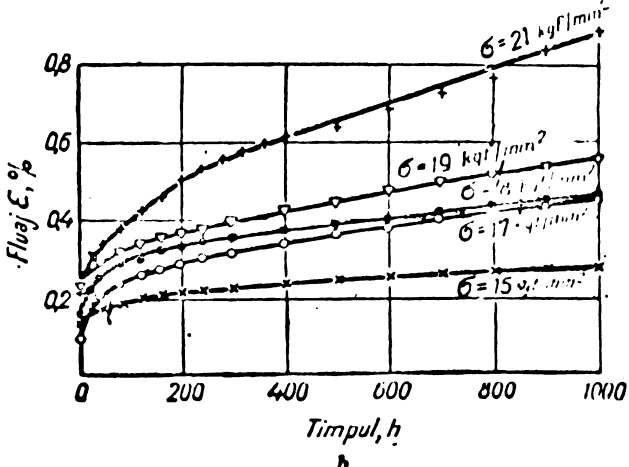
MC
9 A
CALA



Capitolul 1.4. Figura a

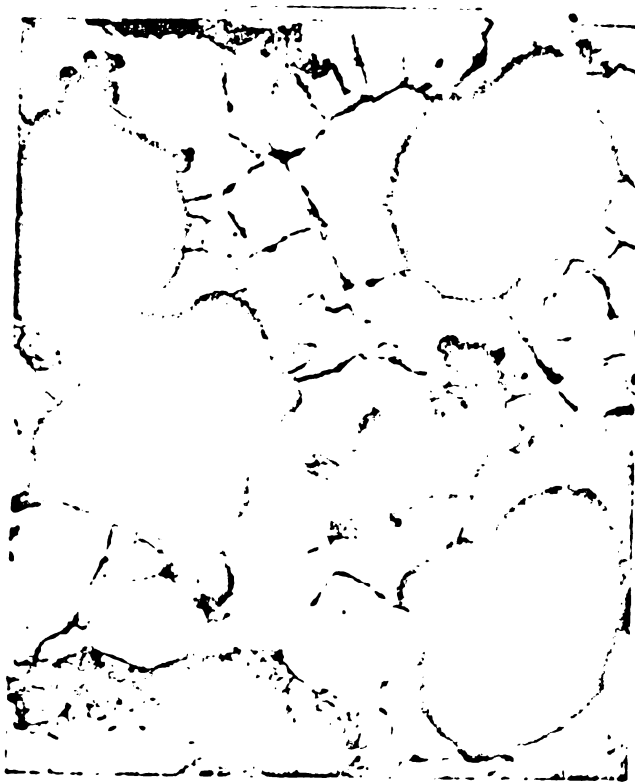
Diagrame de fluaj pentru diferite fonte, în funcție de durata de încercare și solicitare: 1-fonță maleabilă feritioă, $\sigma=8 \text{ kgf/mm}^2$, $v=9,2 \cdot 10^{-5} \text{ %/h}$; 2-idem, perlito-feritioă, $\sigma=8 \text{ kgf/mm}^2$, $v=4,2 \cdot 10^{-5} \text{ %/h}$; 3-idem, $\sigma=8 \text{ kgf/mm}^2$, $v=2,5 \cdot 10^{-5} \text{ %/h}$; 4-idem, feritioă, $\sigma=6,5 \text{ kgf/mm}^2$, $v=3 \cdot 10^{-5} \text{ %/h}$; 5-fonță feritioă ou grafit nodular, $\sigma=8 \text{ kgf/mm}^2$, $v=1,5 \cdot 10^{-5} \text{ %/h}$; 6-idem, $\sigma=6,5 \text{ kgf/mm}^2$, $v=0,2 \cdot 10^{-5} \text{ %/h}$

v - viteza de fluaj;



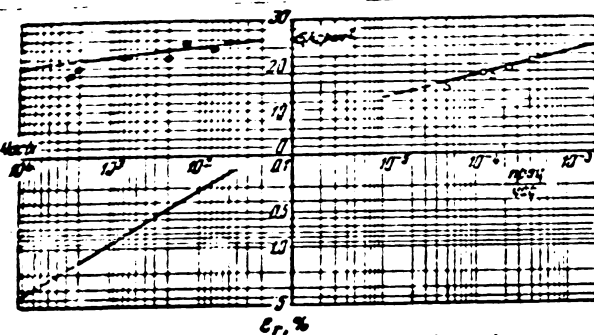
Capitolul 1.4.1. Figura b

Curbele de fluaj ale fontelor cu grafit nodular la temperatură de 450°C [1.9].



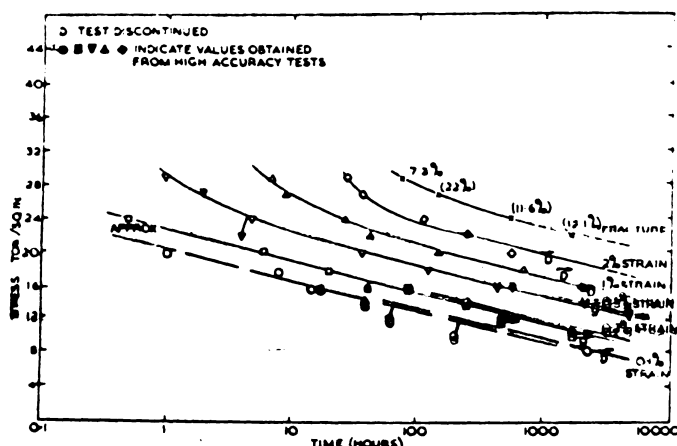
Capitolul 1.4.1. Figura a

Microstructura fontelor cu grafit nodular la o mărire de $200 \times$ [1.9].



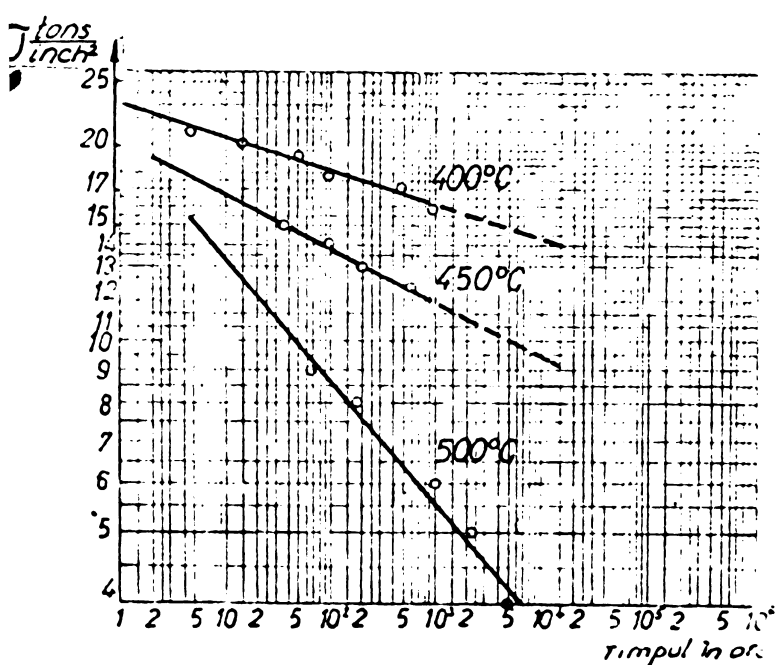
Capitolul 1.4.1. Figura c

Vitezele de fluaj și extrapolarea limitelor tehnice de fluaj pentru fonte nodulare din fig.b [1.9].



Capitolul 1.4.2. Fig. u

Limite tehnice de fluaj de 0,1%, 0,2%, 0,5%, 1%, 2% și rezistențe tehnice de durată pentru fonte nodulare perlitice [1.11].



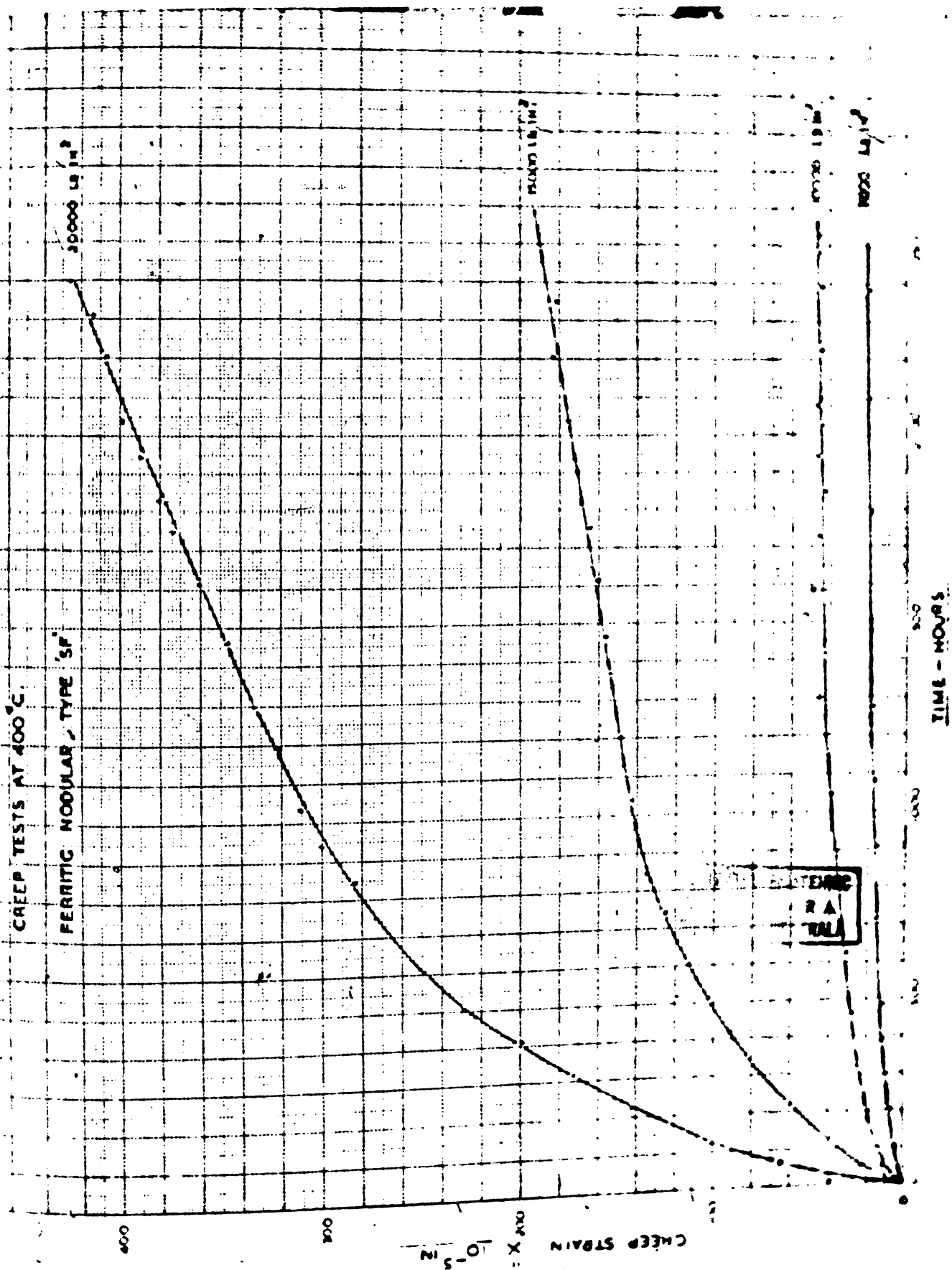
Capitolul 1.4.4. Figura a

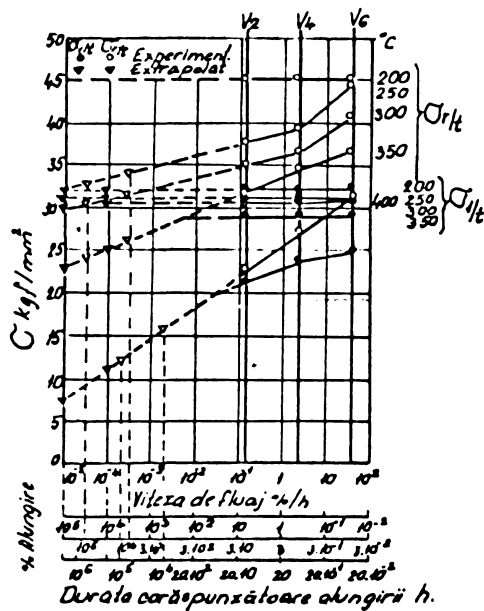
Izotermele rezistențelor tehnice de durată pentru fontele nodulare feritice S.F. "meehanite" [1.12].

Capitolul 1.4.4. Figura b

Curbele de fluaj la 400 C ale fontelor nodulare feritice S.F.

FIGURE 7: 7-1



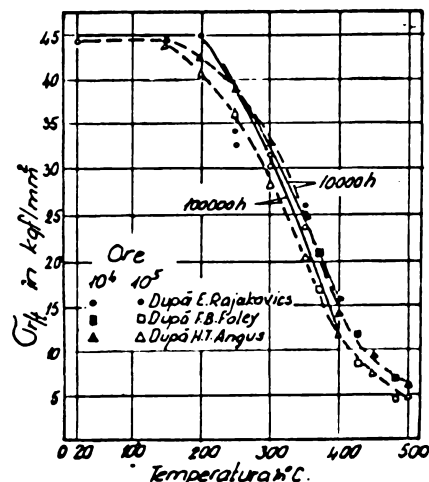
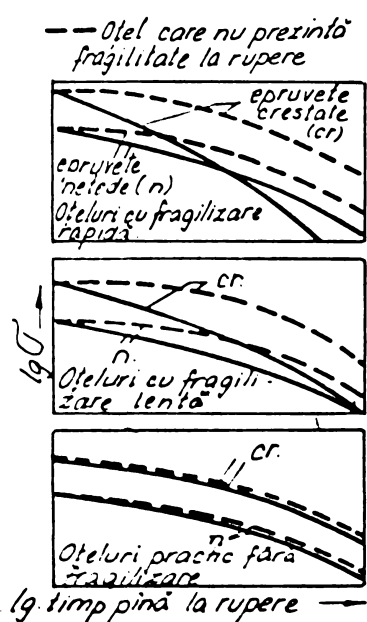


Capitolul 1.4.5. Figura a .

Comportarea la fluaj a fontelor cu grafit nodular feritice nealiate [1.13].

Capitolul 1.4.5. Figura b .

Rezistența tehnică de durată a fontelor cu grafit nodular feritice nealiate .

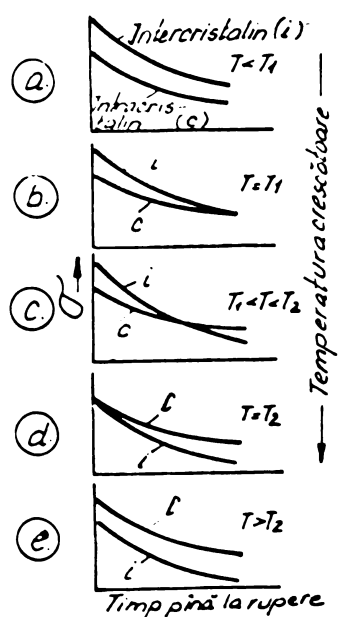
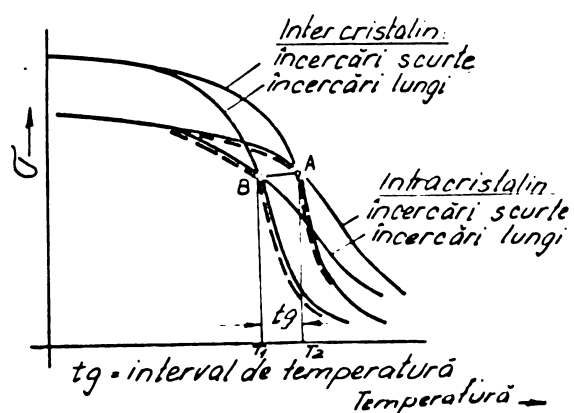


Capitolul 1.5.1. Figura a .

Reprezentarea schematică a influenței înorientării asupra rezistenței tehnice de durată a oțelurilor refractare cu tendințe diferite de fragilizare .

Capitolul 1.5.2. Fig. a.

Influența temperaturii și duratei asupra rezistenței inter- și intracrystalline. Domeniul de temperatură echicoeziv.



Capitolul 1.5.2. Figura a,b,c,d,e.
Rezistența tehnică de durată
ale cristalelor și intraoristali-
nului (T_1 și T_2 sunt limitele
domeniului de temperatură echi-
coezivă din figura precedență)

2. ANALIZA CRITICA A METODELOR DE EXTRAPOLARE POLOSITE IN LITERATURA TEHNICA DE SPECIALITATE.

2.1. In ultimele decenii s-a dovedit că la utilizarea metalelor refractare, încercările de fluaj trebuie să fie executate pînă la duretele cele mai lungi, spre a obține cifre de bază admisibile despre comportarea acestor materiale la temperaturi ridicate. Deși la ora actuală se dispune de rezultatele încercărilor la multe sortimente de oțeluri, totuși există o cerere nereu crescîndă de date experimentale la durete mari, în urma variației compoziției chimice, tratamentelor termice, ș.a.

Problema se pune și mai acut în cazul fontelor cu grafit nodular, care se elaborează la scara industrială doar de 25 de ani [2.1]. Costul și durata acestor încercări este destul de ridicat. Există în consecință o nevoie strîngîndă - și s-a făcut pînă acum numeroase tentative - de a obține, cît se poate de prompt și exact, pronosticuri pentru caracteristici de fluaj de durată lungă prin extrapolarea încercărilor scurte. Din păcate pînă în prezent nu s-a ajuns încă la soluții multumitoare [2.2].

În extrapolări apar în special următoarele dificultăți:

a.) Procesele de fizica metalelor - de care depinde comportarea la fluaj - sunt investigate la ora actuală încă incomplet, iar la materialele tehnice se pot aplica în cel mai bun caz doar calitativ.

b.) Pentru evaluarea extrapolării ar trebui să se disponă de date experimentale cu durată mare, care în limita timpului disponibil pentru încercări - nu se pot executa, astfel că cercetătorul este obligat să estimeze acceptabilitatea rezultatelor de la materiale similare.

2.1.1. Extrapolarea rezistențelor tehnice de durată se poate urmări din figura 2.1.a, unde domeniul de încercare (hașurat în figură) se extinde aproksimativ la un an. În figura sunt trase două izoterme la temperaturile T_1 și T_2 ($T_2 > T_1$). În acest sistem dublu logaritmic se vede pînă cî e extrapolare de 10 ... 20 ori durata încercării se poate efectua ușor chiar grafic.

Dimpotrivă figura 2.1.b. prezintă duretele la scara reală în sistemei semilogaritmice. În acest cas domeniul de încercare îngust de 5000 h nu dă speranțe prea mari de a obține o precizie suficientă pentru domeniul extrapolat de 95000 de ore la raportul de extrapolare $\text{EZV} = 20$.

2.1.2. Pornind de la rezultatele încercărilor de fluaj, comportarea la temperaturi ridicate a unui material este descrisă matematic - sub forma generală - de relația:

(a) ... $F(T, \bar{G}, t) = 0$

în care T - Temperatura
 \bar{G} - Tensiunea

t - timpul pînă la rujare

care în sistemul de coordonate $0, T, \bar{G}$, t reprezintă o suprafață. Intersecțind această suprafață cu plane paralele cu $0, \bar{G}$ și t se obțin izotamele:

(b) ... $f(\bar{G}, t) \Big|_{T=ct} = 0$

respectiv intersecția cu plane paralele cu $0, T$ și t dă izostatele:

(c) ... $\varphi(T, t) \Big|_{\bar{G}=ct} = 0$

Curbele izocrese ($t = ct$) sunt folosite mai puțin în reprezentările încercărilor de fluaj.

2.2. Parametrii extrapolării

Aceștia sunt toți factorii încercării care se pot sesiza cantitativ și care în cale din urmă determină justitia rezultatelor extrapolării.

Metoda de extrapolare folosită nu este doar deficită parțială al calculelor. Bine înțeleas cele de mai jos nu se referă la extrapolări grafice, de complexitate mult mai redusă.

Punctul de plecare pentru determinarea mersului încercărilor sunt parametrii impuși de condiții de serviciu:

$T_G \max$ = Temperatura maximă de exploatare

$T_G \min$ = Temperatura minimă de exploatare

$\bar{G}_G \max$ = Tensiunea maximă de exploatare

$\bar{G}_G \min$ = Tensiunea minimă de exploatare

$t_G \max$ = Durată maximă de exploatare

$t_G \min$ = Durată minimă de exploatare

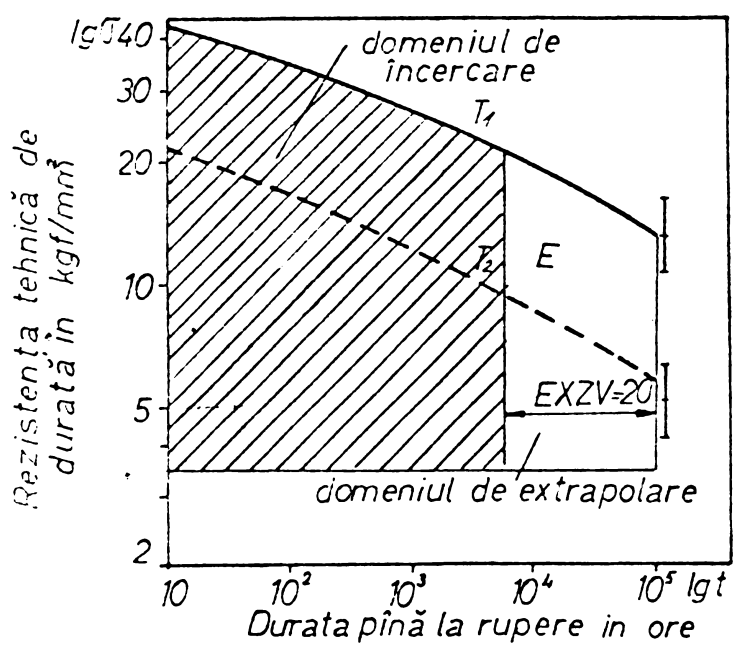
care sunt reprezentate în fig.2.2-a.

Acești parametrii sunt mai puțin importanți în valoare absolută, decit corelarea lor la condițiile încercării care sunt date de:

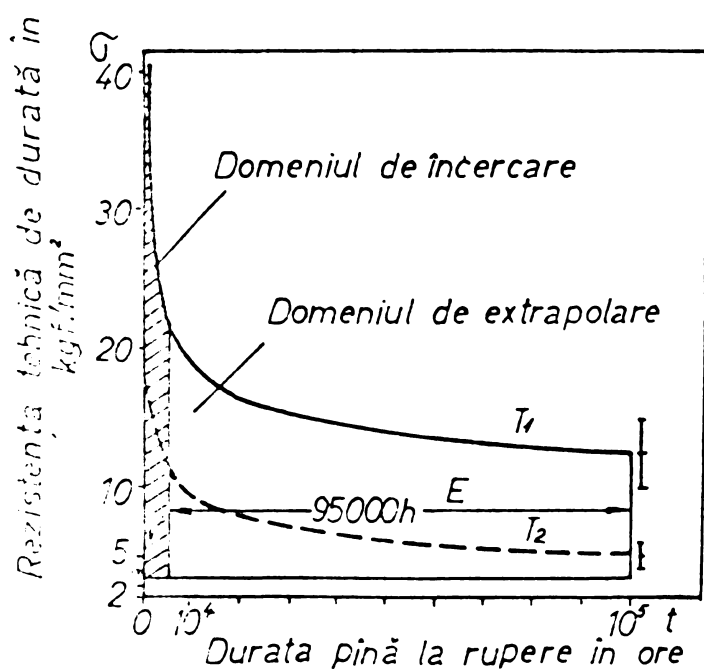
$T_y \max$ = Temperatura maximă a încercării

$T_y \min$ = Temperatura minimă a încercării

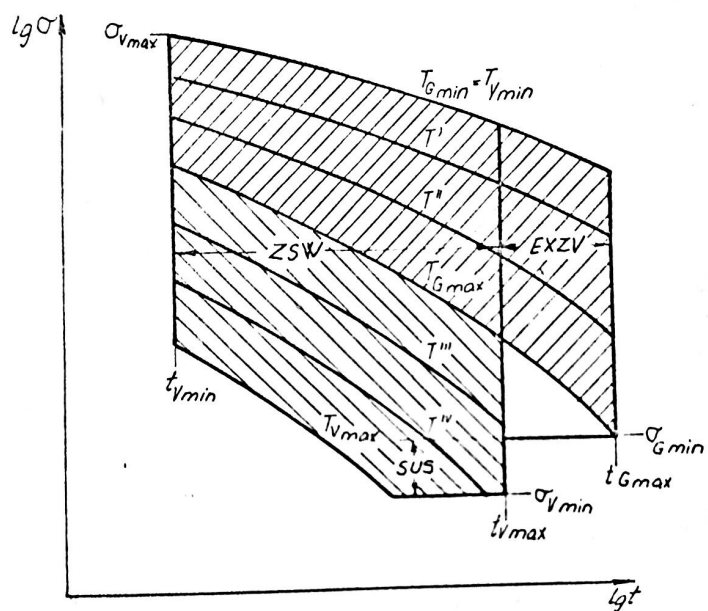
$\bar{G}_y \max$ = Tensiunea maximă a încercării



Capitolul 2.1.1. Extrapolarea rezistențelor tehnice de durată
Figura a



Capitolul 2.1.1.
Figura b



Capitolul 2.2. Parametrii extrapolării

Figura a

$\bar{U}_V \text{ min}$ = Tensiunea minimă a încercării

$t_V \text{ max}$ = Durata maximă a încercării

$t_V \text{ min}$ = Durata minimă a încercării

La acestea se mai pot adăuga factorii, - care se pot sesiza mai dificil din punct de vedere cantitativ - și care se referă la acoperirea intervalului de încercări, ca de exemplu numărul izotemelor sau/si izostatelor, ca și numărul valorilor măsurate.

In casul extrapolărilor la durate mai lungi, avem:

(a) ... $t_V \text{ min} \approx t_G \text{ min}$; $\bar{U}_V \text{ max} > \bar{U}_G \text{ max}$; $t_V \text{ min} < t_G \text{ min}$
și în special la metodele de extrapolări diferite de cele grafice, avem:

(a') ... $t_V \text{ max} \gg t_G \text{ max}$; $\bar{U}_V \text{ min} \leq \bar{U}_G \text{ min}$

și în fine condiția extrapolării:

$$t_V \text{ max} < t_G \text{ max}$$

Din cele de sus rezultă următorii parametri ai extrapolării:

Raportul duratelor de extrapolare:

(b) ... $E \times Z V = t_G \text{ max} / t_V \text{ max}$

durata maximă la care se extrapolează, către durata maximă de la care se extrapolează.

Intervalul duratelor de încercări:

(c) ... $Z S W = \lg t_V \text{ max} - \lg t_V \text{ min} = \lg (t_V \text{ max} / t_V \text{ min})$

Intervalul de temperatură folosit

(d) ... $T S W = T_V \text{ max} - T_G \text{ min}$

Depășirea inferioară a tensiunilor:

(e) ... $S U S = \bar{U}_V \text{ min} / \bar{U}_G \text{ min}$,

Tensiunea minimă de la care se extrapolează către tensiunea minimă la care se extrapolează.

In literatura de specialitate valoarea cea mai frecventă pentru $t_G \text{ max} = 10^5$ h.

In ce privește valorile pentru $E \times Z V$, Larson - Miller [2.3] consideră că sunt posibile extrapolări exagerate $E \times Z V = 100 \dots \dots 1000$, Manson și Brown [2.4] deja reduse la 50 ... 100, valorile 150 ... 200 (de la 1000 h la 20 de ani) sunt presupuse "extrem de periculoase". Bailey [2.5] rednește și mai mult raportul, este de părere că valori de la 10 ... 100 sunt cauze pentru multe discrepanțe

la caracteristicile oțelurilor refractare. Krisch [2.6] obține la aceste rapoarte deja erozi pînă la 40%, din valorile tensiunilor. Betteridge [2.7] recomandă limitarea la $E_{XZV} \approx 10$. Goldhoff [2.8] [2.9] pune condiția $E_{XZV} < 100$ și este primul care cercetează influența parametrilor E_{XZV} și Z_{SW} asupra preciziei extrapolării și concomitent care $Z_{SW} \geq 3$. Smith [2.10] recomandă valoarea de $E_{XZV} = 20$; Manson [2.11] la fel propune $E_{XZV} < 30$, chiar 10, iar pentru $t_V \text{ min} = 10 \text{ h}$.

Dacă la o extrapolare $SUS < 1$, atunci avem o "interpolare" a curbei de bază, [2.12], în caz contrar ($SUS > 1$) avem "extrapolarea" curbei de bază, întrucît valorile duratelor de încercări la temperatură ridicată lipsesc.

Krisch exprimă exactitatea extrapolării în funcție de $\frac{1}{E_{XZV}}$. Johnson și alii [2.13] consideră că doar pentru $E_{XZV} \leq 2$ este posibilă determinarea exactă a rezistenței tehnice de durată pentru 10^5 h la oțel.

Se poate deosebi: extrapolarea "apropiată" cu $E_{XZV} = 2 \dots 5$;
extrapolarea "obișnuită" cu $E_{XZV} = 5 \dots 10$
și extrapolarea "depuțată" cu $E_{XZV} > 10$. [2.14]

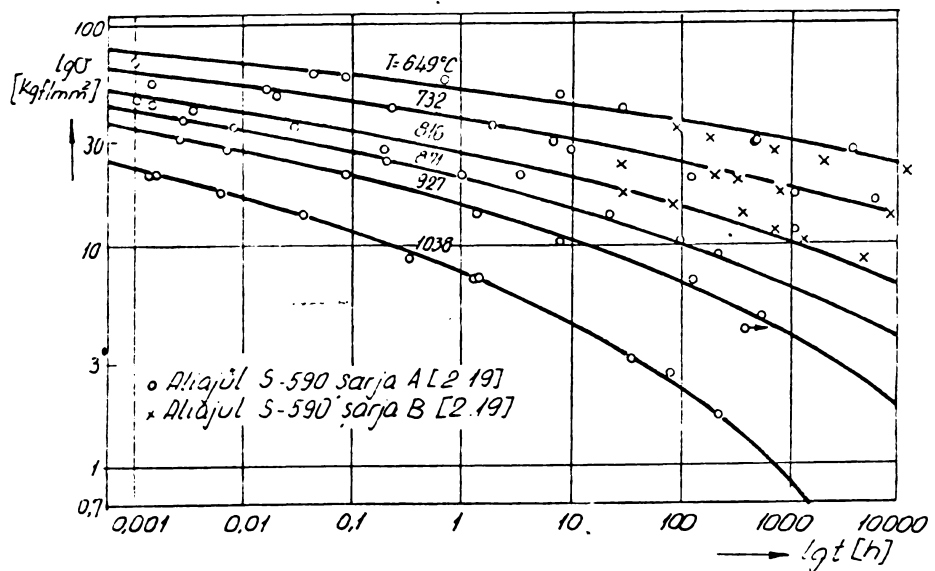
2.3. Metode grafice de extrapolare.

Datele experimentale se reprezintă în diagrama $\lg C - \lg t$. Punctele obținute se pot approxima prin curbe care prezintă curburi negative fig. 2.3.a, sau o familie de drepte cu pantă variabilă fig. 2.3.b (puncte de întoarcere"). S-a arătat [2.15] că există o interdependență între "puncte" și trecerea de la ruperea intra-cristalină la cea intercristalină "puncte echicoiziive". (pag. 9).

Punctele de întoarcere corespund totdeauna modificărilor structurale; revenire, creșterea sau dizolvarea precipitațiilor (punctele M, N, O, P în fig. 2.3.b, oxidări și corozioni (punctul Y), recristalizări și creșterea grăunților, etc.

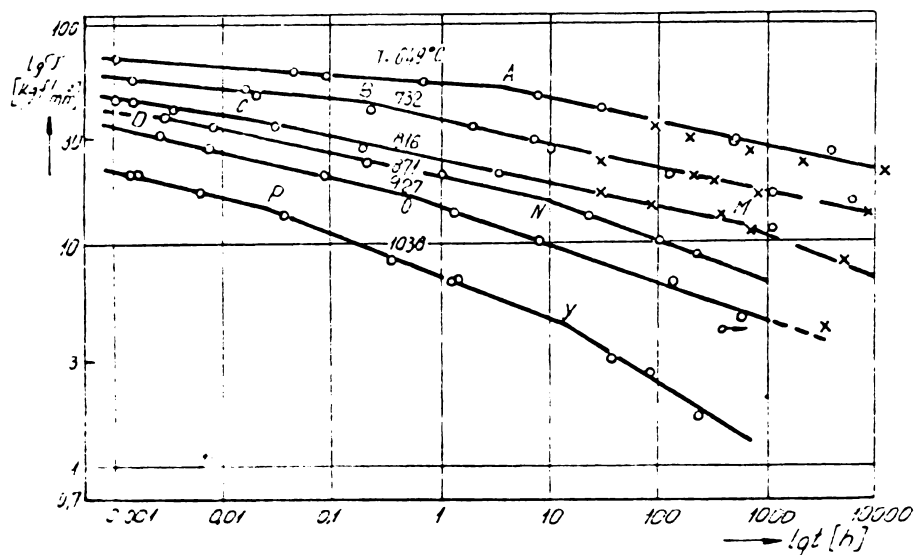
Alegerea curburii - într-un caz - sau a punctelor de întoarcere - în cazul 2 - sunt subiective și depind de experiența și capacitatea de aproximare a cercetătorului.

O altă posibilitate de interpretare a rezultatelor este diagrama $C - \lg t$, denumită diagramă izotermă linear - logaritmică sau semilogaritmică. Aceste reprezentări sunt mai adesea pentru interpolări și mai puțin potrivite pentru extrapolări. Dacă extrapolările în sistemul dublu logaritmic dau în general durate prea mari,



Capitolul 2.3. Metode grafice de extrapolare

Figura a



Capitolul 2.3.

Figura b

față de cele confirmate experimental, extrapolările în sistemul semi-logaritmic dan durată prea mici.

2.3.1. Spre a cerceta precizia extrapolării grafice, ne rezumăm la cîteva date din literatura de specialitate [2.2] : S-a procesat la extrapolarea încercărilor cu această metodă de către 3 tehnicieni rutinati A, B, C, care au avut o experiență îndelungată în operații de acest gen. (Raportul de extrapolare între durata încercărilor efective și celor determinate era: AXV = 1/15). Datele experimentale sunt reprezentate prin puncte în fig.2.3,c, iar cele 3 linii (continuă, întreruptă scurtă, și întreruptă lungă) reprezintă extrapolările efectuate de cei 3 operatori care au lucrat independent.

Pentru a exprima și cantitativ valorile abaterilor s-au comparat rezistențele tehnice de durată obținute prin extrapolare (σ_x) cu valorile obținute din încercări (σ_m) și s-a obținut astfel abaterile:

$$\sigma_x = 100 \cdot \frac{\sigma_x - \sigma_m}{\sigma_m}$$

Histogramele pentru valorile lui σ_x sint date în fig.

2.3.2.

Pentru reprezentare s-a ales în mod arbitrar intervalul de 15% ca și unitate, deși în alte cazuri s-ar putea lucra eventual mai bine cu alte valori ale intervalelor. Distribuția p_0 arată o disperație accentuată a extrapolării grafice. Întrucât pentru comparație nu s-a dispus decit de 17 date experimentale ale încercărilor de durată lungă, s-a renunțat la calculul complet al parametrilor statistici.

Se observă din fig.2.3,d că se poate ajunge la abateri pînă la 45%, iar alura diferită a histogramelor A_1 , B_1 și C_1 efectuate de cei 3 operatori - care au lucrat independent - arată că rezultatele nu se pot reproduce. Ba chiar extrapolările repetate făcute de același operator, la același încercări - după trecerea unei durate de 5 luni - nu au mai coincis de loc.

2.3.2. Cu toate cele arătate în subcapitolul de mai sus metoda grafică de extrapolare se mai folosește și astăzi din următoarele motive:

a. pare a fi metoda cea mai puțin laborioasă pentru a obține un rezultat

b. se poate folosi și în cazul cind numărul datelor experimentale este redus

c. se poate aprecia ușor rezultatele inscrierilor anterioare pentru planificarea celor finale

2.4. Metoda parametrică de extracție.

Aceste metode folosesc determinări grafico-cumulative și se bazează pe $\dot{\varepsilon}$ - temperatură. În acest scop relația (2.6a) se va scrie sub forma:

$$(2.4a) \dots \dot{\varepsilon}(T, t) = f(t)$$

2.4.1. Metoda parametrică Larson-Miller.

Sunte Arshenius [2.16] a stabilit corelația (a) de mai jos, care se aplică pentru viteza reacțiilor chimice de gradul I.

$$(a) \dots \dot{\varepsilon} = \frac{d\varepsilon}{dt} = V_f = A \cdot e^{-\frac{\Delta H}{RT}}$$

în care: $\dot{\varepsilon}$... deformare unită în casul fluajului

$$\dot{\varepsilon} = \frac{d\varepsilon}{dt} = V_f \dots \text{viteza de fluaj}$$

A ... constantă de material x)

R ... constantă gazelor $\approx 1,99 \text{ cal}^{\frac{1}{\text{mole}}} \text{ K}^{-1}$

RT ... energia termică a unui atom cu un grad de libertate

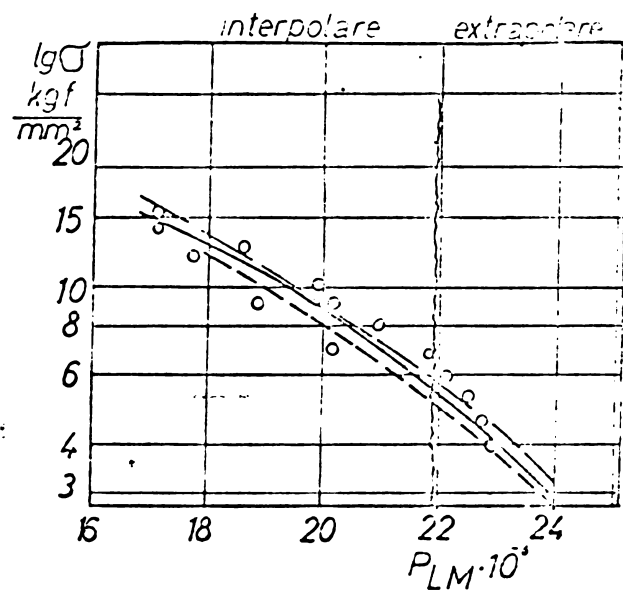
ΔH ... energia de activare termică (a procesului de fluaj).

T ... Temperatura reacției în grade Kelvin (în lucrarea originală este dată în grade Rankine - grade Fahrenheit secotite de la zero absolut).

Balansia de mai sus admite că fluajul ca și autodifuziunea sunt lărgită de o legătură între viteza constanță de variație temperaturii ("rate process theory")

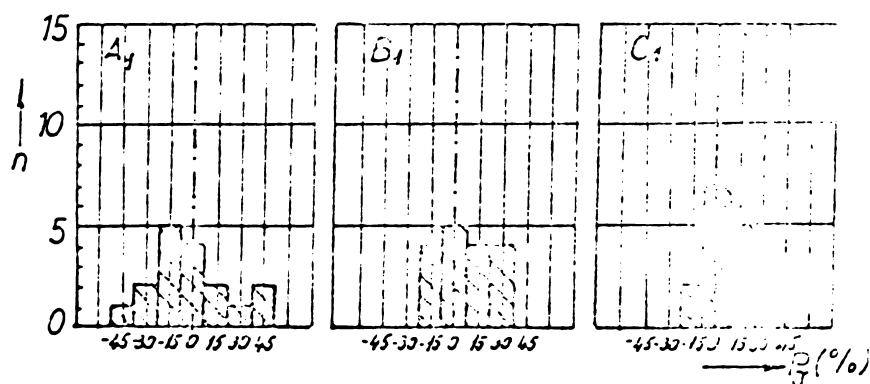
Din relația (2.4a) de mai sus rezultă

x) Reprezentarea din figura 2.4.1.a arată variația sărișilor $lg A$ și ΔH în funcție de temperatură în casul aluminiului pur [2.14] [2.31]. În condiții de exploatare comportarea la fluaj prezintă importanță deoarece există intervale de temperatură, care sunt aproape constantă în domeniul $0,25 \dots 0,5$ al punctului de topire (pentru aluminiu este $165^{\circ}\text{C} \dots 330^{\circ}\text{C}$). În timp ce $lg A$ în acest interval variază continuu, ΔH decupă temperaturii de $\sim 260^{\circ}\text{C}$ este constantă. [2.32], [2.33] • [2.79]



Capitolul 2.3.

Figura c



Capitolul 2.3.

Figura d

$$(a') \dots \frac{\dot{\epsilon}}{\epsilon} = c \exp \frac{\Delta H}{R \cdot T}$$

$$\lg \dot{\epsilon} - \lg \epsilon = \frac{\Delta H}{R} \lg c + \text{ct} \lg A = C$$

și $\lg c = \frac{1}{2,3}$ avem

$$(b) \dots T(c - \lg \dot{\epsilon}) = \frac{\Delta H}{2,3 R}.$$

Dacă se admite că c este independent de tensiune și $\Delta H = H_f - H_i$ [5] pentru vitesa de fluaj minimă se obține curba din fig. 2.4.1 b. pentru aliajul S 590 [2.3] în care $\dot{\epsilon} = v_f / h$ este vitesa de fluaj, p.s.i. este tensiunea în pound pe inch patrat.

Relația poate fi folosită și pentru determinarea limitei tehnice de fluaj ($\sigma_{f/t}$) [2.30] și rezistenței tehnice de durată (σ_r/t), dacă se fac următoarele ipoteze:

- 1.) ΔH și C nu depind de temperatură, timp și tensiune.
- 2.) proporționalitate între vitesa de fluaj efectivă și vitesa de fluaj medie pe totă durata încercării pînă la rupere.
- 3.) deformăția la rupere este independentă de temperatură, timp și tensiune.
- 4.) se poate neglija variația tensiunii reale datorită micșorării secțiunii.

5.) O ipoteză complet empirică: vitesa de fluaj fig. 4.2.1.c este invers proporțională cu timpul t_r - necesar pentru producerea ruperii (timpul de rupere t_r): $\dot{\epsilon}_{\min} = v_{f \min} \approx \frac{1}{t_r} \dots (c)$

Această ipoteză a fost confirmată de Monksen și Grant [2.17]. El au obținut corelația $\lg v_{f \min} = - \log t_r$, deci dreptele care limităază dispersia sunt paralele cu a 2-a bisectoare, fig. 4.2.1.d care prin delogaritmare trece într-o hiperbolă de grad II; din (c) și (a) rezultă

$$(c) \dots \frac{1}{t_r} = A \cdot c^{-\frac{\Delta H}{R \cdot T}} \quad \text{și} \quad (c) \dots A \cdot t_r = c^{\frac{\Delta H}{R \cdot T}}$$

$$\log A + \log t_r = \frac{\Delta H}{R \cdot T} \log c; \text{ cu } \log A = C \text{ rezultă}$$

$$(d) \dots P_{LM} = T(C + \lg t_r) = \frac{\Delta H}{2,3 R} = f(T) = \text{ct.} \quad (\text{pentru tensiunea constantă})$$

Dacă prin facilitarea condiției N^2 l.) de mai sus se admite: $H = H(T)$, atunci primul membru: $T(C + \log t_p) = P_{LM}$ (datorită parametrului de timp - temperatură Larson - Miller: P_{LM}) poate fi reprezentat în sistemul $P_{LM} - 1/\log t_p$ (făcind abstracția de dispersia punctelor fig. 2.1.e.

Atunci relația (d) se poate scrie:

$$(e) \dots P_{LM} = T_1 (C + \log t_1) = T_2 (C + \log t_2) = f(T)$$

- relația sub această formă a fost folosită de Hallomon și Jaffe [2.18] exprimând corelația între durată revenirii (care asculță denumirea de "rate-process theory") și temperatură pentru o valoare dată a durătății (fig. 2.4.1.f) la oteluri.

Acst parametru elucidă că pentru rezultatele încercărilor pentru o durată mai mare (t_1) la temperatură mai joasă (T_1), corespund rezultatele încercărilor pentru o durată mai mică (t_2) la o temperatură mai ridicată (T_2).

F.R.Larson și I.Miller în lucrarea [2.3] la aproximativ aceleași nivele de tensiune au obținut următoarele valori:

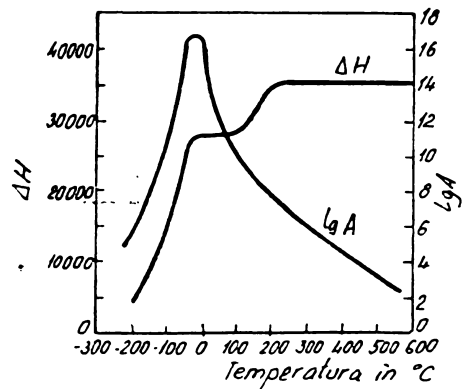
Tabelul 2.4.1 a

Material	t_1 ore	T_1 °C	t_2 ore	T_2 °C
Otel slab aliat	10000	540°	13 x)	650°
Otel refracter	1000	740°	17 x)	815°
Otel inoxidabil	1000	650°	12 x)	740°
Aliaje de aluminiu	1000	149°	1,1 x)	205°

Tensiunile au variat între limitele 7 - 20 kgf/mm^2 pentru fiecare material.

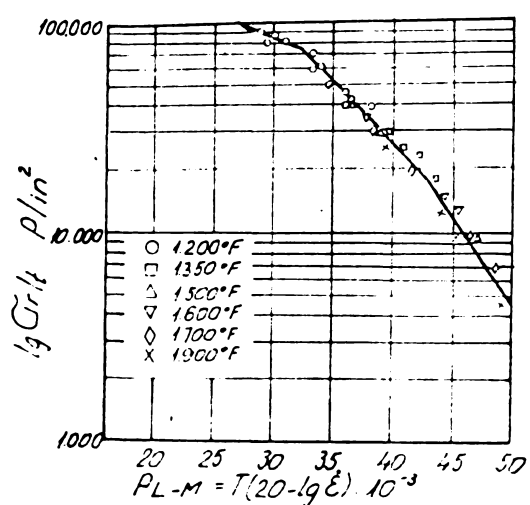
Valorile se pot urmări în nomograma din fig. 2.4.1.g care încurajează pe operator să mai calculeze parametrul.

x) Cercetările ulterioare au arătat că nu este recomandabil folosirea duratălor sub 20 de ore



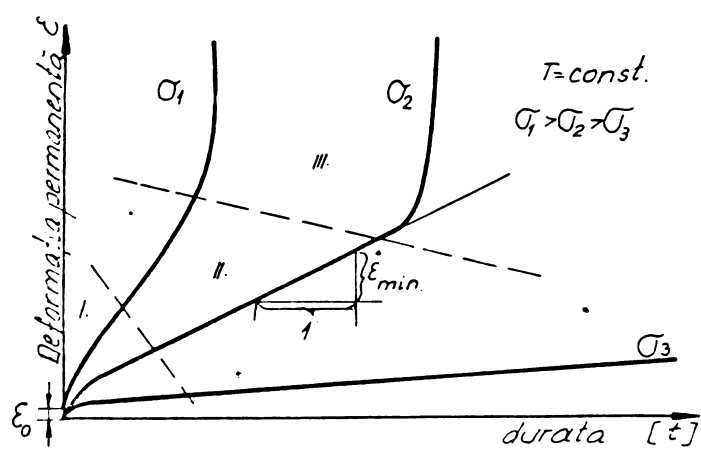
Capitolul 2.4.1. Metoda parametrică
Larson - Miller

Figura a



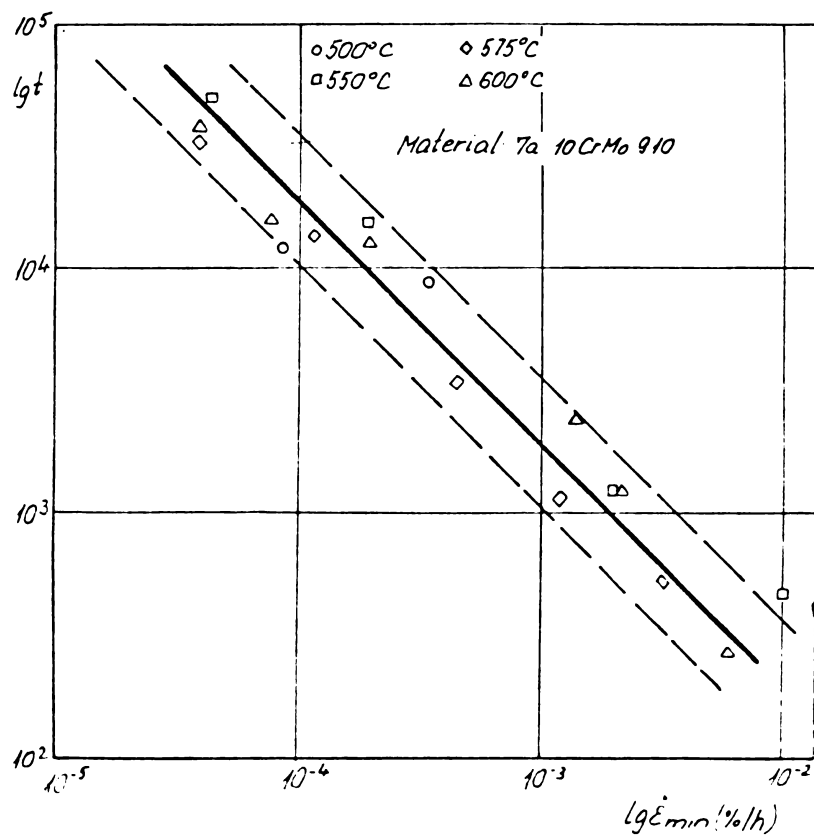
Capitolul 2.4.1.

Figura b



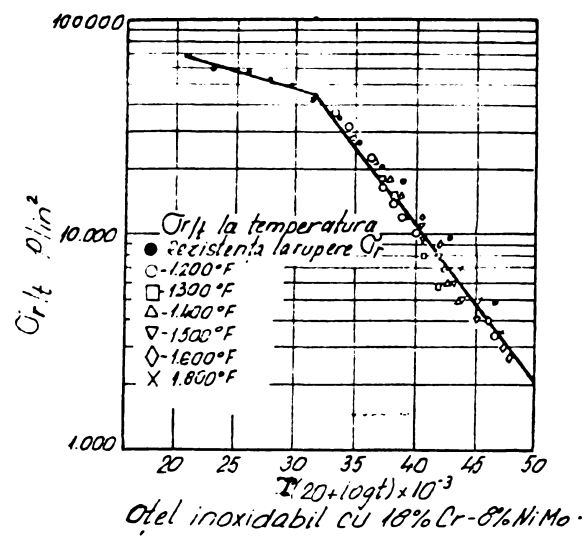
Capitolul 2.4.1.

Figura c



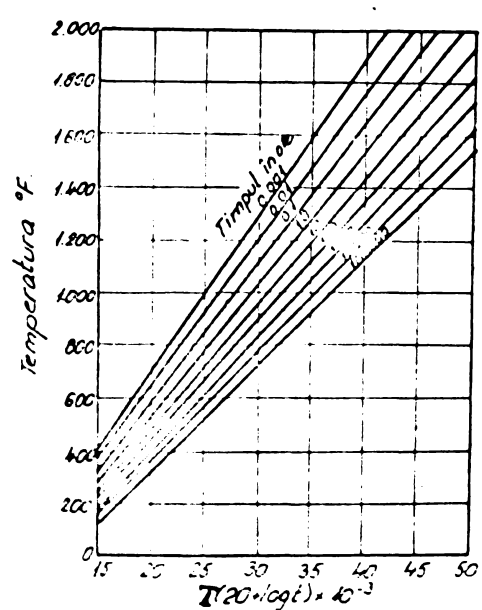
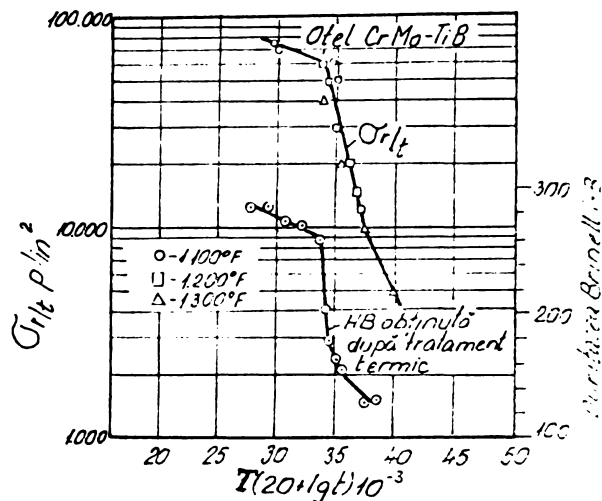
Capitolul 2.4.1.

Figura d



Capitolul 2.4.1

Figura c



Capitolul 2.4.1

Figura g

Tabelul 2.4.1.b

Temperatura de serviciu T_1 °C	Dacă la temperatura de serviciu (T_1) rupearea se face după t_1 de ore, atunci la temperaturile de încercare (T_2) corespund după Larson-Miller ($C=20$) duratele t_2 de mai jos în ore.			
	550°C (1022°F)	600°C (1112°F)	650°C (1202°F)	700°C (1292°F)
500°	348	17,8 x)	1,26 x)	0,12 x)
550° xx)	10000 xx)	422 xx)	25,1 xx)	2,8 x)
600° xx)	287000 xx)	10000 xx)	501 xx)	34,2 xx)
650°	-	237000	10000	584

xx - valorile pentru temperatura de serviciu de 550°C (600°C)

(de ex.) se referă la o secțiune verticală din fig. 2.4.1.6 pentru $P_{LM} \approx 36000$ ($P_{LM} \approx 37500$)

Tabelul 2.4.1.b [2.6] prezintă cîteva sondaje din fig. 2.4.1.g.

Față de aceste performanțe exagerate date de relația parametrică Larson - Miller, practica a dovedit că eficiența ei reală pentru calcule de extrapolare este mai redusă. Astfel N.I. Grant [2.19]. arată că nu se pot include toate fenomenele complexe și toate instabilitățile într-o singură ecuație. Ar fi necesare o serie de ecuații. Multe transformări, ce se produc în metale, sunt sensibile la deformări (de ex. transformarea martensitei în oțel, sau precipitarea carburei în oțelul inoxidabil este accelerată prin suprapunerea deformării de întindere). Pe de altă parte, deși oxidarea metalelor și decarburierea lor se pot controla prin timp și temperatură, aceste fenomene de obicei nu sunt sensibile la deformării.

In plus ambele instabilități, arătate mai sus, au un efect pronunțat asupra performanței materialului la rezistență tehnică, cît și la limita tehnică de fluaj. Nu ne putem săptăta că aceeași expresie dată de Larson - Miller să corespundă atât la transformări afectate de deformării, cît și la cele neafectate. Aceste transformări din urmă, ce se produc în timpul încercării de fluaj, se manifestă prin abatieri față de curba traseată fig. 2.4.1.h.

Astfel tabelul 2.4.1.c dă o comparație între duratele de rupeare calculate cu relația Larson-Miller, și cele experimentale la metal Monel [2.19].

Tabelul 2.4.1.c

Temperatura de incărcare în grade F	Durată de rupere în ore calculată experimental	Incărcarea în p/sf
1100	80	48
1200	4	5,6
1100	13.000	840
1200	400	52
1500	0,16	0,4

Se observă că abaterile sunt mult mai mari la durete lungi.

Evident că relația Larson - Miller pierde valabilitatea deoarece se produc schimbări de faze metalurgice importante în material. Pe de altă parte transformări metalurgice, ca difuzioni, reveniri sau îmbătrâniri ascultă tot de relația Larson - Miller.

E.L.Robinson [2.20] consideră că schimbările brusăte de pe întărirea curbei de bază trebuie evitate. Se recomandă o metodă pentru recordarea acestor "colturi" prin introducerea unor coeficienți de corecție K = variația tensiunii pentru un grad de temperatură și m = rata de scădere a duratei pentru 1 % creștere a tensiunii. Astfel relația devine:

$$P = k \cdot m \cdot T^2 / 230$$

La fel J.C.Fisher și J.H.Holloman [2.21], [2.22] atrag atenția asupra limitării relației Larson - Miller:

(a) La cele mai multe încercări pînă la rupere, mecanismul ruperei este descrisă de contractiune locală a epruvetei, după care urmărește rapid deformării cu viteza crescătoare și în final ruperea; contractiunea este aproximativ aceeași pentru orice epruvetă din același material și de aceea valoarea inversă a timpului de rupere $\frac{1}{t_p}$ este totodată și măsura vitezei de deformării medii din timpul încercării.

(b) Corelația între tensiunea, temperatură și viteză de fluaj medie este dată de parametrul T ($C - \lg \dot{\epsilon}$). Deoarece se încarcă un material fragil, pentru care valoarea inversă a timpului de rupere nu reprezintă o măsură a vitezei medii de fluaj, atunci este posibil ca rezistența de rupere să nu depindă exclusiv de T ($C + \lg t$).

2.4.1.1. În cele de sus nu se dau implicațiile fundamentale înglobate sau restricțiile ce trebuie făcute pentru aplicarea metodei Larson - Miller. De aceea în cele ce urmează se face o analiză în acest sens.

Dacă se face ipoteza că relația propusă de Larson - Miller depinde exclusiv de nivelul de tensiune, în acest caz ecuația (2.4.1.d) poate fi egalată cu o funcție $\Phi(T)$, care se admite o parabolă de gradul 3 în $\lg T$ [2.34]. Astfel

$$(f) \dots T(\Phi + \lg t) = \Phi(T) = a_0 + a_1 \lg T + a_2 \lg^2 T + a_3 \lg^3 T$$

sau sub altă formă

$$(g) \dots \lg t = \frac{\Phi}{T} - C$$

și pentru $\Phi = C$ rezultă $\Phi(T) = \Phi' = \text{constantă}$, pe de altă parte pentru a simplifica calculele se admite în plus că treapta ΔT a izotermelor este aceeași:

$$T_2 - T_1 = T_3 - T_2 = T_4 - T_3 = \Delta T$$

$$(T_1 < T_2 < T_3 < T_4), \text{ deci } \lg t_1 > \lg t_2 > \lg t_3 > \lg t_4$$

Astfel la temperaturile T_1 , T_2 , T_3 , duratale t_1 , t_2 și t_3 se vor obține din:

$$(h) \dots \lg t_1 = \frac{\Phi}{T_1} - C; \quad \lg t_2 = \frac{\Phi}{T_2} - C; \quad \lg t_3 = \frac{\Phi}{T_3} - C.$$

de unde

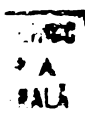
$$(i) \dots \lg t_1 - \lg t_2 = \Phi' \left(\frac{T_2 - T_1}{T_1 T_2} \right) = \Phi' \frac{\Delta T}{T_1 T_2} = a$$

și

$$\lg t_2 - \lg t_3 = \Phi' \frac{T_3 - T_2}{T_2 T_3} = \Phi' \frac{\Delta T}{T_2 T_3} = b$$

decid

$$(j) \dots a = \frac{T_3}{T_1} b$$



și dacă $T_3 > T_1$ rezultă:

$$a > b \quad (\text{v. fig. 2.4.1.i})$$

Pelosind aceeași metodă pentru temperaturile T_2 , T_3 și T_4 , la același nivel de tensiune Φ rezultă

$$(h) \dots b = \frac{T_4}{T_2} c \text{ și } b > c$$

În concluzie pentru trepte egale de temperatură ΔT , la același nivel de tensiune $\sigma' = \text{constantă}$, rezultă

$$a > b > c \dots$$

$$\lg t_1 - \lg t_2 > \lg t_2 - \lg t_3 > \lg t_3 - \lg t_4 > \dots$$

La alt nivel de tensiune $\sigma'' < \sigma'$ (abscisa extremității segmentului a coincind cu abscisa originii lui a), la temperatură T_1 avem (fig. 2.4.1.i) din relația (f)

$$\lg t_0 = \frac{\sigma''}{T_1} - c, \text{ respectiv } (i) \dots \lg t_1 = \frac{\sigma'}{T_2} - c \dots$$

Din aceste 2 relații rezultă:

$$(i') \dots \lg t_0 - \lg t_1 = \sigma'' - \frac{T_2 - T_1}{T_1 T_2} = d$$

din (i) și (i') obținem:

$$a = \frac{\sigma'}{T_2} - d$$

Pe de altă parte din relațiile (h) și (i) avem:

$$\lg t_1 + c = \frac{\sigma'}{T_1} = \frac{\sigma'}{T_2}, \text{ de unde}$$

$$(n) \dots a = \frac{T_1}{T_2} d \text{ și cu } T_2 > T_1 \text{ rezultă}$$

$$a < d$$

În fel se poate demonstra că

$$(n) \dots d = \frac{T_1}{T_2} e, \text{ de unde}$$

$$d < e \text{ și din fig. 2.4.1.i rezultă}$$

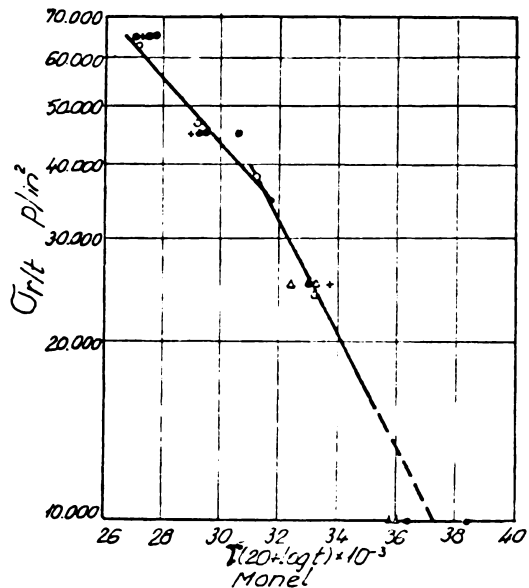
$$a < d < e \dots$$

În concluzie la folosirea metodei Larson - Miller se admite în mod tacit că în reprezentarea $\lg \sigma - \lg t$:

a.) segmentele intereceptate cu carbele izoterme - la același nivel de tensiune - descrez pe măsură creșterii temperaturii. (În ipoteza că $\ln T = ct$). Valabilitatea acestei proprietăți stipulează că variația constantă în raport cu nivelul de temperatură este suficient de mică.

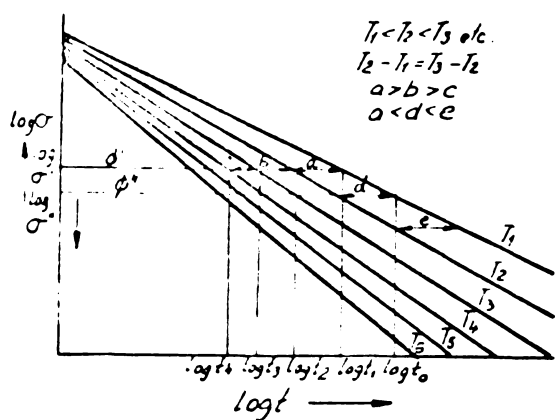
Temperaturi de încercare
între 700-1700 °F; durate
de încercare între 0,01-
2000 ore;

- curba experimentală bazată pe o durată de 1 oră
- + ruperea intracristalină de tip temperatura joasă
- ruperea intercristalină de tip temperatura ridicată
- △ puncte la temperatura ridicată - factorul de oxidaire



Capitolul 2.4.1

Figura h



Cu itoial

Figura i

b.) intervalele sunt dispuse în formă de evantai, fiind din ce în ce mai divergente odată cu creșterea duratei. Validitatea acestei afirmații este condiționată de variația suficient de mică a constantei în raport cu nivelul de tensiune. (De multe ori variația constantei cu σ deschide sau închide evantaiul.)

2.4.2. Determinarea valorii constantei $\lg A = C$

Dacă ecuația (2.4.1 g) este valabilă, atunci în sistemul de axe $\lg t - \frac{1}{T}$ valorile lui $\lg t_1, \lg t_2, \lg t_3, \dots$ etc. - pentru același nivel de tensiune - reprezintă o linie dreaptă (fig. 2.4.2, a). Astfel pentru nivelul C se obține dreapta (1), pentru C' dreapta (2) și $T = \infty$: în punctul $C = \lg t_c$. Din cale de mai sus ar rezulta o metodă grafică pentru determinarea constantei C :

Se aproximează punctele experimentale izolate prin cîte o dreaptă și se calculează valoarea medie a punctelor de intersecție între fiecare izosstată și axa ordonatelor.

Larson [2.3] prezintă următoarea justificare teoretică pentru valoarea lui C :

Pentru $\frac{1}{T} = 0$ urmează că temperatura este infinită; la această valoare a temperaturii vîrsta de fluaj trebuie să fie egală cu vîrsta cea mai mare posibilă, o viteză de fluaj, la care atomii vecini ar fi separați cu o viteză egală cu cea a luminii.

$$\varepsilon = v_s [1/s] = \frac{v [cm/s]}{\delta [cm]}$$

în care v_s - vîrsta luminii $3 \cdot 10^{10}$ cm/s

δ - spațiul interatomic $3 \cdot 10^{-8}$ cm.
(în mod aproximativ)

Pentru o alungire $\varepsilon = \frac{l}{cm}$

timpul de rupere ar fi

$$t = \frac{\varepsilon \cdot l}{v_s [1/s]} = \frac{\varepsilon \cdot \delta}{v} = \frac{1 \cdot 3 \cdot 10^{-8}}{3 \cdot 10^{10}} = 10^{-18} \text{ sec.}$$

$$t = \frac{10^{-18}}{3,6 \cdot 10^3} = 2,78 \cdot 10^{-22} \text{ ore}$$

și $C = -\lg t = -\lg (2,78 \cdot 10^{-22}) = 21,55$

O altă metodă pentru calculul constantei C a fost sugerată de

Kantor [2.26] p.772, care admite că sub efectul energiei de activare ΔH durata dislocării se apropie de perioada vibrării termice (folesit de Dushman și Langmuir [2.27] pentru procesul de difuziune în stare solidă).

Se presupune că durata saltului atomic este:

$$t = \frac{N_0 \cdot h}{j \cdot \Delta H} \quad [\text{sec.}]$$

în care N_0 = numărul lui Avogadro, $6,061 \cdot 10^{23}$ atom/gram atom

h = constanta lui Planck, $6,554 \cdot 10^{-27}$ erg.sec.

j = echivalentul mecanic al caloriei, $4,185 \cdot 10^7$ erg/cal.

ΔH = energia de activare, cal/gram.atom

Relația poate fi aplicată și pentru procese de fluaj. Deoarece deformarea de fluaj este orientată în mediu de-alungul planelor în direcția tensiunii de farfocare maximă, durata deformării pe unitate de lungime se mărește cu factorul $\sqrt{2}$ și luând pentru ΔH în medie 10^5 cal/gram atom (de fapt pentru oțeluri refractare variază între $8,2 \cdot 10^4$ - $1,16 \cdot 10^5$) rezultă:

$$t_e = \frac{\sqrt{2} N_0 \cdot h}{j \cdot \Delta H \cdot 3,6 \cdot 10^3} = \frac{1,414 \cdot 6,061 \cdot 10^{23} \cdot 6,554 \cdot 10^{-27}}{4,185 \cdot 10^7 \cdot 10^5 \cdot 3,6 \cdot 10^3} = 3,75 \cdot 10^{-19} \text{ sec}$$

iar

$$C = - \lg t_e = - (-19 \cdot \lg 3,75) = 18,43$$

Este interesant de remarcat faptul că media valorilor calculate după cele 2 metode complet diferite se apropie de valoarea 20:

$$C_{\text{med}} = \frac{21,55 + 18,43}{2} \approx 20$$

2.4.2.1 Valoarea constantei C. Larson - Miller afirmează că este surprinzător că valoarea de 20 pentru constanta C corespunde așa de bine pentru o gamă largă de materiale. Valorile efective pentru cîteva materiale sunt date în tabelul 2.4.2.a. Acestea variază între 15 ... 21 valoarea medie fiind de 19,3.

Tabelul 2.4.2.a

Valoarea constantei C din relația parametrică
 T ($C + \lg T$) pentru cîteva materiale

<u>Materialul</u>	<u>Valoarea lui C</u>
Oțel C (cu C redus)	18
Oțel C - Mo	19
Oțel cu 2,25 Cr - 1 Mo	23
Oțel cu Cr-Mo - T_1	22
Oțel inoxidabil 18 - 8	18
Oțel inoxidabil 18 - 8 cu Mo	17
Oțel inoxidabil 25 - 20	15
Aliajul S - 520	20
Aliajul Ti D 9	20

Degă Larson - Miller admite că în mod efectiv constanta ζ variază de la material la material, totuși [2.3] recomandă folosirea valorii de $C = 20$ din următoarele motive:

1. Dispersia punctelor la curbele de bază nu se rezinte pentru schimbarea constantei ζ (vezi mai jos afirmația lui Newhouse). Această afirmație a fost combatută de numeroase lucrări ulterioare [2.6] [2.35] [2.36] [2.37] [2.38] [2.39]. Azi în practică de extrapolare se folosește în mod curent o constantă ameliorată. [2.40] [2.41] [2.42]

2. Deoarece variația constantei ζ în materiale foarte diferite nu este mai mare, decât la materiale cu compozitie similară, se poate considera că variația nu este autentică.

3. Nehrenberg [2.28] a găsit că valoarea de 20 este cea optimă pentru recunoașterea otelului.

Deși totuși se face ipoteza că constanta ζ variază, eroarea duratei calculate se poate obține prin derivarea relației Larson - Miller în raport cu ζ , menținindu-se T_1 , T_2 și t_2 constante.

$$T_1 (C + \lg t_1) = T_2 (C + \lg t_2) \dots \quad (2.4.1.e)$$

de unde

$$\frac{d(\lg t_1)}{d C} = \frac{T_2 - T_1}{T_1} \dots \quad (2.4.2.a)$$

De aici rezultă: dacă valoarea folosită a constantei nu este corectă, atunci eroarea în $\lg t_1$ va fi proporțională cu diferența temperaturilor. Substituirea valorilor efective arată că pentru variații mici ale constantei ζ , eroarea este neglijabilă, dacă temperaturile nu diferă prea mult.

J.C. Fisher și alții [2.23] [2.24] sugerează că \bar{C} nu este o constantă universală, ci variază cu cel puțin 5 unități.

D.L. Newhouse și J.L. von Ullon [2.26] [2.29] au găsit pentru oțelul cu 12% Cr valoarea constantei $C = 25$, iar pentru oțeluri susținice valori sub $C = 20$.

Dacă pentru fiecare temperatură de încercare curba de bază este formată de obicei din segmente de dreaptă, acestea se pot recorda într-o curbă continuă la reprezentarea adecvată ($C = 25$), iar eventualele schimbări brusă de pantă arată doar puncte de treiere de la ruptura transcrystalină la cea intergranulară.

La folosirea încercărilor sub 10 ore la temperatură superioară, variații mici ale constantei influențează mult rezultatele, deoarece se neconține o valoare exactă a constantei.

G.Bandal și H. Gravenhorst [2.35] dă o corelație statistică a constantei \bar{C} pentru diferite materiale (fig. 2.4.2.b). În timp ce oțelurile feritice dă un maxim în histograma frecvențelor absolute la $C = 20$, la oțeluri susținice apar valori cele mai frecvente între $C = 10 \dots 20$.

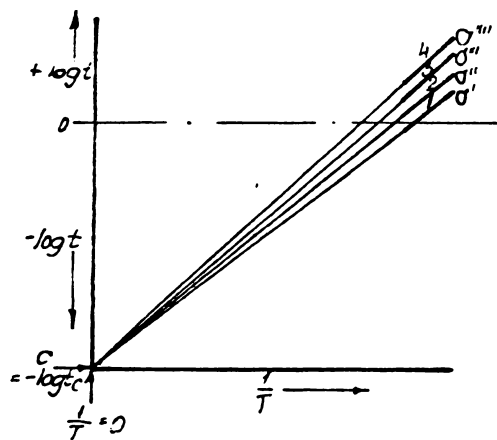
În oțelurile feritice (fig. 2.4.2.c), atât valoarea medie a constantei C_0 , cât și dispersia ei crește odată cu creșterea tensiunii. Se remarcă dispersii mari pentru oțelul turnat. La temperaturi mai ridicate între $550^\circ \dots 600^\circ C$ zona de dispersie crește, iar valoarea constantei scade accentuat. Pentru oțeluri susținnice constanța \bar{C} prezintă dispersii mari la toate valorile ale temperaturii și a solicitării; \bar{C} crește odată cu tensiunea. Nu se poate desluși clar o corelație între constanta \bar{C} și temperatură.

La același concluzii ajunge A.Krich și A.Wepner [2.6] care studiază curbele de bază pentru oțeluri feritice care au fost încercate la 500° și $550^\circ C$ (fig. 2.4.2.d) respectiv la 550° și $600^\circ C$ (fig. 2.4.2.e).

Nici aici nu s-au obținut rezultate unitare; care ar evidenția erorile, ce se fac folosind $C = 20$; atât curba între 0 și $500^\circ C$ cât și de $600^\circ C$ - în loc să coincidă - se găsesc mult la stînga curbelor de $550^\circ C$. Cercetătorii [2.6] propun o relație de corecție ΔC pentru constanța C_0 .

$$(2.4.2.a) \dots \Delta C = - \frac{\alpha}{\Delta T}$$

în care α este distanța - măsurată la scara absciselui (P_{L-N}) - cu care se translatează curbele ca să coincidă ($\alpha > 0$, dacă curba

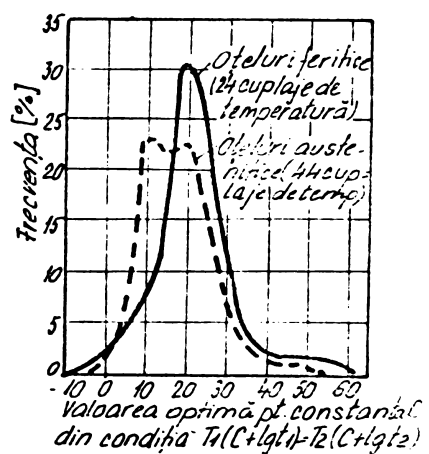
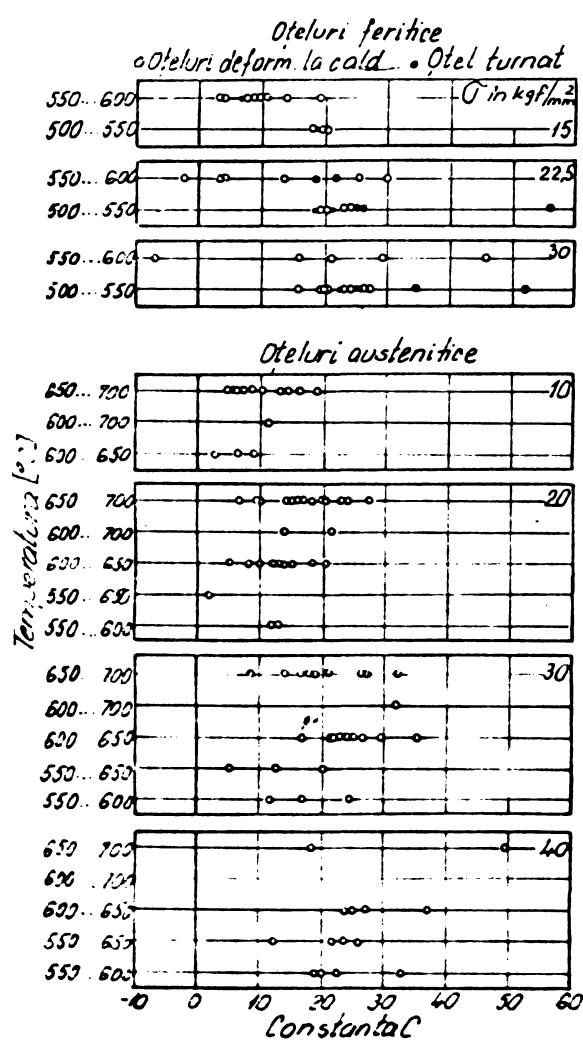


Capitolul 2.4.2. Determinarea valorii constantei $l_A = \delta$

Figura a

Capitolul 2.4.2.

Figura b



Capitolul 2.4.2.

Figura c

$T + \Delta T$ este la dreapta izotermei T).

Cu relația de sus s-au calculat pentru mai multe materiale, pentru o gamă largă de solicitări valerile constantei (vezi fig. 2.4.2.f). Acestea au variat însă în limitele $20 \dots 55$, (în fig. 2.4.2.f între $2 \dots 42$). De aceea s-a limitat zona tensiunilor astfel ca duratele să fie cuprinse între loc și locu de ore. Chiar cu această restricție nu s-a ajuns la același rezultat. La oțelurile feritice pentru intervalul de temperatură $550^\circ/500^\circ C$ valerile s-au situat peste 20, iar pentru intervalul $600^\circ/550^\circ C$ sub 20; valorile medii sunt date în Tabelul 2.4.2.b.

Tabelul 2.4.2.b

Interval de temperatură	Nr. incercărilor	Valoarea medie a constantei \bar{C} și eroarea medie	Abaterea medie a valorilor singulare
de la 550° la $500^\circ C$	13	$25,5 \pm 2,1$	$\pm 7,4$
de la 600° la $550^\circ C$	6	$11,5 \pm 2,2$	$\pm 5,5$

Pentru oțelurile austenitice în același domeniu de $100 \dots 1000$ ore valoile respective sunt date în Tabelul 2.4.2.c.

Tabelul 2.4.2.c

Interval de temperatură	Nr. incercărilor	Valoarea medie a constantei \bar{C} și eroarea medie	Abaterea medie a valorilor singulare
de la 600° la $550^\circ C$	5	$18,8 \pm 2,7$	$\pm 6,0$
de la 650° la $600^\circ C$	9	$16,8 \pm 2,3$	$\pm 6,9$
de la 700° la $650^\circ C$	17	$18,9 \pm 1,9$	$\pm 7,7$
de la 650° la $550^\circ C$	7	$12,8 \pm 2,3$	$\pm 6,1$
de la 700° la $600^\circ C$	10	$18,8 \pm 1,8$	$\pm 5,8$
de la 700° la $550^\circ C$	2	18	-

2.4.2.2. Pentru un anumit oțel diferențele între durata de rupere experimentală și cea calculată poate să fie foarte mari.

Cu variația constantei \bar{C} de la un sortiment de materiale la altul se poate săptăna veridicitatea concluziilor, care se pot trage din incercări de durată scurtă la cele de durată lungă; timpul de rupere

calculat pe această cale pentru temperatură inferioară va fi asociată totdeauna o neșiguranță considerabilă.

Se poate ajunge la erori procentuale mai mici, dacă nu se calculează durată de rupere, ci valorile tensiunii la temperaturi mai joase, care se pot citi ușor din curba de bază, dacă se trag în abacise și duratele de rupere.

În cale de mai jos se dă o metodă prin care se poate calcula rezistența tehnică la temperatură inferioară în baza ipotezei că ambele izotermă (la T_0 și T_1) se pot assimila cu liniile drepte pentru intervalele considerate. În acest scop se iau punctele A ($t_a; \sigma_a$) și B ($t_b; \sigma_b$) pe izotermă T_1 , și se consideră pe izotermă T_0 punctul C ($t_c; \sigma_c$). Atunci rezistența tehnică de durată corespunzătoare durăței t_0 (de ex. $t_0 = 10^4$ ore) va fi dată de:

$$(2.4.2.b) \dots \lg \sigma_0 = \lg \sigma_b + \frac{(T_1 - T_0)(C + \lg t_b) - T_0 \lg \frac{t_b}{t_a}}{T_1 \lg \left(\frac{t_b}{t_a} \right)} \lg \frac{\sigma_a}{\sigma_c}$$

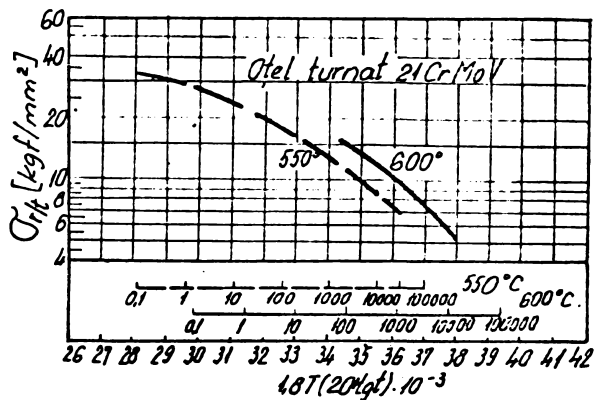
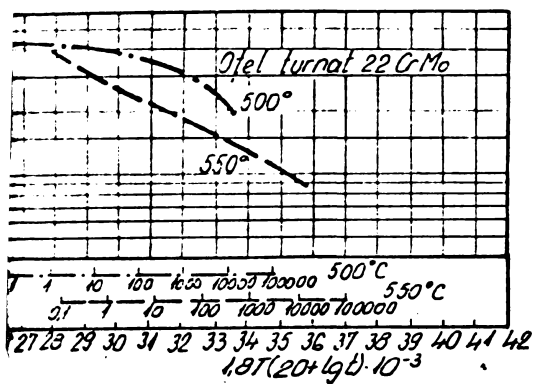
Autorii recomandă utilizarea formulei pentru $\Delta T = T_1 - T_0 = 50^\circ$ și cel mult $\Delta T = 100^\circ$ K, cu $t_a = 100$ h și $t_b = 1000$ ore, dacă se calculează tensiunea pentru $t_0 = 10^4$ ore.

Pentru a sesiza abaterile procentuale ale rezistențelor tehnice de durată, în funcție de treapta folosită de temperatură 50° sau 100° , s-a tramat în fig. 2.4.2.9 I, II, III, histogramale frecvențelor relative ale acestor abateri pentru "constantă" $C = 20$, și la cel 19 oteluri feritice, și la cele 22 (15) austenitice. S-a luat seanzul plus pentru abaterea superioară și minus pentru abaterea inferioară, fără de valorile experimentale. La fel s-a luat seanz, de valoarea temperaturii superioare 700° , 650° , 600° , 550° C.

La oteluri feritice se observă pentru "constantă" $C=20$ abateri negative pentru saltul $550^\circ/500^\circ$ și positive pentru $600^\circ/550^\circ$. Abaterea poate să ajungă la 35%, deși 1/2 din probe prezintă erori doar sub $\pm 10\%$. De aceea se recomandă folosirea bandelor de dispersie pentru determinarea rezistenței tehnice de durată în loc de curbe.

Fig. 2.4.2.9.II pentru $\Delta T = 100^\circ$ C prezintă abateri majore, ceea ce confirmă neșiguranță calculului la trepte mari.

Fig. 2.4.2.9 arată avantajul translatării curbei Larson - Miller, dacă se corectează "constantă" cu valoarea lui ΔC (relația 2.4.2.a). Cu $C = 25,5$ se observă că histograma se apropie de repartitia normală; valoarea mijlocie a erorii absolute este de 10% (pentru $C = 20$) și de 8,2% (pentru $C = 25,5$). Krisch și Wepner [2.6] consideră că metoda



Capitolul 2.4.2.

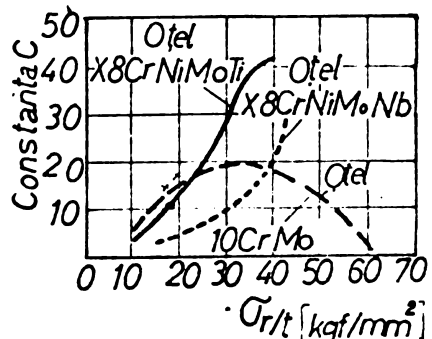
Figura d

Capitolul 2.4.2

Figura f

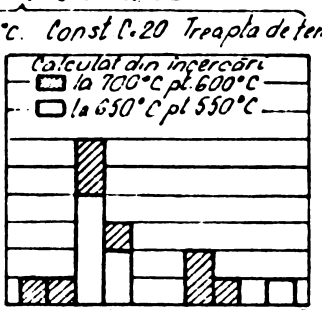
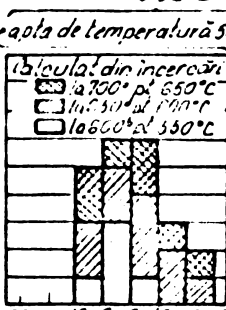
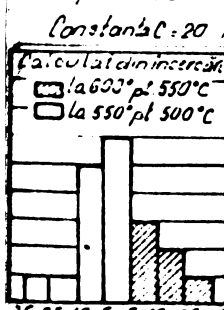
Capitolul 2.4.2

Figura e



Oteluri feritice

Oteluri austenitice

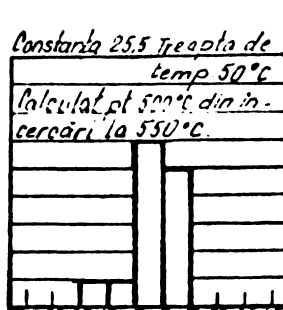


Erori procentuale.

I.

II.

III.



Capitolul 2.4.2.

Figura g

Capitolul 2.4.2

Figura h

Larson - Miller nu se poate folosi decât limitat, pentru cazul cînd saltul de temperatură nu depășește mult 50°C . În acest caz se poate admite fidelitatea de $\pm 10\%$, dar se poate ajunge și la erori de 30% și chiar 40%, mai ales dacă însăși curba rezistențelor tehnice de durată prezintă erori.

Din cauza pantei foarte reduse a curbei $\sigma = f(t)$ abaterile la calculul duratei pot dă da un multiplu al erorilor de mai sus.

2.4.2.3. Murry [2.52] [2.53] scrie ecuația 2.4.1.e sub forma:

$$\lg t = \frac{\alpha}{T} - \beta , \quad \text{în care } \alpha = f(\sigma)$$

iar $\beta = C$ variază cu nivelul de solicitare. Se determină coeficienții α și β ai ecuației de regresie, iar valorile constantei $C = \beta$ sunt reprezentate în fig. 2.4.2.i. De aici se vede că C variază net în funcție de σ . Astfel pentru otelurile "A37", 2,25 Cr-1 Mo și "422", valoarea lui C trece printr-un minim. Încercările efectuate în jurul acestui minim ar sugera constanta lui C_0 , dar pentru valori imediat vecine se obțin deja variații mari.

Astfel pentru fiecare nivel de solicitare cu $\sigma = 20$ se obține o eroare dată de:

$$(2.4.2.e) \dots \Delta \lg t = (\beta - 20) \left(\frac{T}{T_m} - 1 \right)$$

în care T_m este temperatura medie a încercărilor din care s-a calculat β .

2.4.2.4. Menirea constantei C

Din ecuațiile (2.4.1.h și i) rezultă:

$$a = \lg t_1 - \lg t_2 = b' \frac{T_2 - T_1}{T_1 T_2} = T_2 (c + \lg t_2) \frac{T_2 - T_1}{T_1 T_2}$$

și

$$(2.4.2.e) \dots \lg t_1 = (c + \lg t_2) \frac{\Delta T}{T_1} + \lg t_2$$

Dacă mai multe materiale sunt încercate la temperatura T_2 și fiecare are aceeași durată pînă la rupere, care să fie t_2 în acest caz din relația (2.4.2.e) se observă că funcția operativă a constantei C este să facă diferențierea materialelor care la temperatură T_1 va trebui să aibă – în general – o altă durată de rupere. Dacă valoarea constantei C este aceeași pentru toate materialele,

- cum se afiră în lucrarea originală a lui Larson - Miller [2.3] - toate materialele ar trebui să aibă aceeași durată de rupere la T_1 -, deci caracteristicile de rupere ar depinde doar de diferență de temperatură și nicidcum de material. Valoarea constantei β determină distanțarea curbelor isotermelor α (fig. 2.4.1.i); cu cât este mai mare această diferență -, adică diferența între $\lg t_1$ și $\lg t_2$ - cu atât este mai mare și valoarea lui β .

Pe de altă parte nu se obține pentru β o valoare constantă - decit, dacă este satisfăcută ecuația (2.4.1.m) de exemplu pentru $T_1 = 800^{\circ}\text{K}$ și $T_2 = 900^{\circ}\text{K}$:

$$\frac{\beta}{d} = \frac{T_1}{T_2} = \frac{800^{\circ}}{900^{\circ}} = 0,889$$

pentru toată gama tensiunilor, ceea ce este trăsăt cu linie plină în fig. 2.4.2.j. În realitate însă curba experimentală (trăsătă cu linia intreruptă) dă raportul $\frac{\beta}{d} = 0,98 > 0,889$, de aici rezultă erorile care se obțin la aplicarea metodei Larson - Miller.

2.4.2.5. Variatia constantei C în funcție de treptele de temperatură folosite la încercare.

Acest aspect este mai puțin studiat în literatura [2.44]. Pentru treptele de temperatură T_1 și T_2 respectiv T_2 și T_3 rezultă din 2.4.1.o.

$$C = C_{12} = \frac{T_1 \lg t_1 - T_2 \lg t_2}{T_2 - T_1} \quad \text{și} \quad C_{23} = \frac{T_2 \cdot \lg t_2 - T_3 \cdot \lg t_3}{T_3 - T_2}$$

Din cele de mai sus rezultă că $C_{23} \neq C_{12}$.

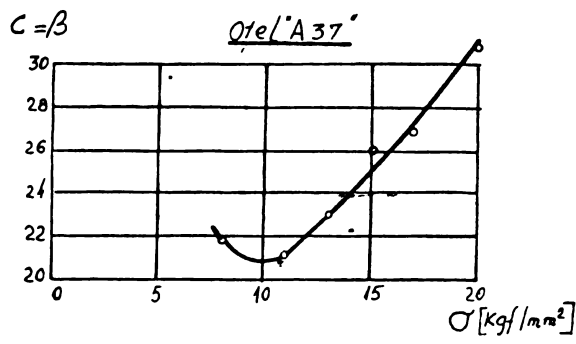
Intr-adevăr fig. 2.4.2.k arată variația cu C_{ij} atât în funcție de nivelul de tensiune, cât și a treptei de temperatură folosite la încercare pentru un otel cu 18% Mn și 10% Cr (șarja 25 d) [2.45]. Piecare din cele 2 drepte este valabilă pentru valorile "constantei" C_{ij} , care se referă la temperaturile vecine. ($T_1 = 823^{\circ}\text{K}$; $T_2 = 873^{\circ}\text{K}$ și $T_3 = 973^{\circ}\text{K}$).

2.4.3. Alte metode parametrice de extenziune.

2.4.3.1. Metoda Orr - Sherry - Darr

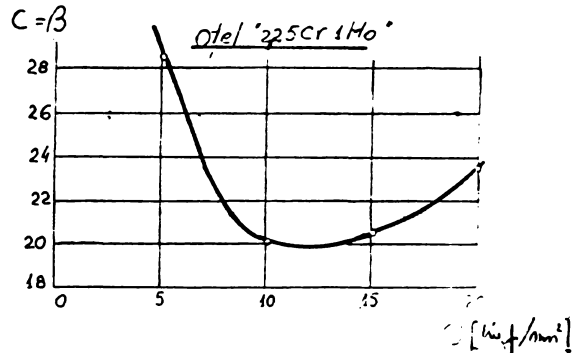
Relația Swante - Arrhenius (v. 2.4.1 b) poate fi scrisă sub forma

$$-\frac{\Delta H}{RT} = \frac{1}{A} \quad \text{și}$$



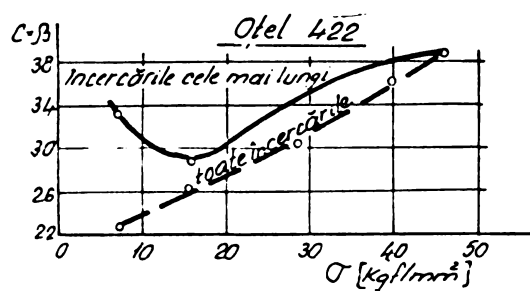
Capitolul 2.4.2.

Figura i I



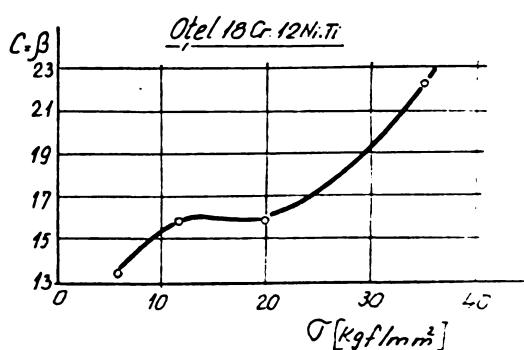
Capitolul 2.4.2.

Figura i II



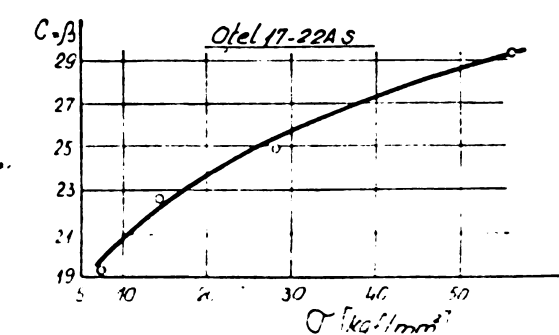
Capitolul 2.4.2.

Figura i III



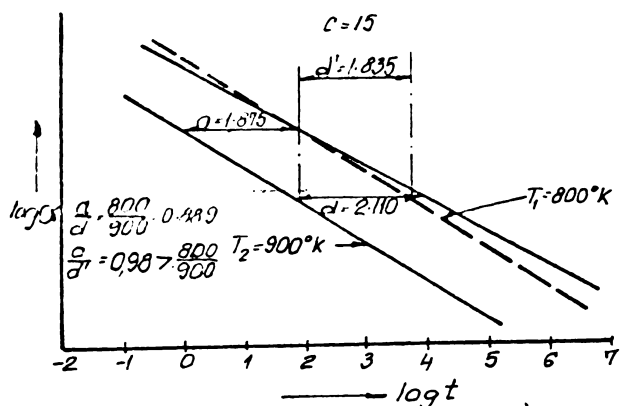
Capitolul 2.4.2.

Figura i IV



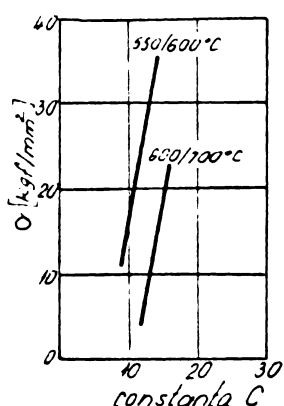
Capitolul 2.4.2.

Figura i V



Capitolul 2.4.2.

Figura j



Capitolul 2.4.2.

Figura k

$$\lg t_p = \frac{\Delta H}{R} \lg e = - \lg A = - C$$

$$(a) \dots \lg t_p = - C + \frac{D}{R} \cdot \frac{1}{T} = - C + D/T$$

unde $\lg A = C$ este o "constantă lui Larson-Miller.

Relația (a) reprezintă în sistemul $\lg t - \frac{1}{T}$ o familie de drepte, ca și relația Larson-Miller.

Spre deosebire de aceasta se admite acum că ΔH este constantă, ^{x)} deci $D = ct$, de unde rezultă că relația (a) reprezintă o familie de drepte paralele și urmează implicit că valoarea lui C va fi diferită pentru fiecare valoare a tensiunii. Relația (a) poate fi scrisă sub forma: [2.67] [2.68]

$$(b) \dots \lg t_p = \frac{D}{T} = - C = \Phi = P_{SD}$$

(în care parametrul P_{SD} este o funcție de tensiune ($\Phi = - C$)).

În practică însă nu sunt satisfăcute riguroșe condițiunile impuse [2.2] ($C = ct$ pentru metoda Larson-Miller respectiv $\Delta H = ct$ pentru metoda Orr-Sherry-Dorn) (fig.2.4.31a) [2.69] [2.70] [2.71] [2.72].

De aceea se calculează panta fiecărei izostate (\tilde{t}_j ; $j=1\dots n$), luând 2 limite fixe pentru $\lg t$ (de exemplu $t_2 = 10^3$ și $t_1 = 10$)

$$D_j = \frac{2000}{x_{2j} - x_{1j}}$$

și intersecția fiecărei izostate \tilde{t}_j cu axa ordonatelor:

$$C_j = D_j \frac{x_{1j}}{1000} - 1$$

Pentru metoda Orr - Sherry-Dorn se calculează valoarea medie a pantelor.

$$D = \frac{1}{j} \sum D_j$$

iar pentru metoda Larson-Miller punctul median de intersecție

x) Din fig.2.4.1.a se observă că acest criteriu este îndeplinit riguroș de Al pur pentru $T > 200^\circ\text{C}$.

$$C = \frac{1}{j} \sum c_j$$

Se adoptă aceea metodă care prezintă dispersiile mai mici între valorile parametrilor la același nivel de tensiune.

Se observă o reciprocitate pe de o parte între valoarea parametrului Orr-Sherby-Dorn și constanta Larson-Miller:

$$P_{SD} = -C,$$

pe de altă parte între parametrul Larson-Miller și panta dreptelor $\frac{\Delta H}{T}$ la metoda

$$P_{LM} = D = 0,4343 \cdot \frac{\Delta H}{T}$$

(vezi relația (2.4.1.d) și relația (b))

Folosind relația (b), rezultă pentru același nivel de tensiune T' pentru care corespunde D'

$$\lg t_1 = D' + \frac{D}{T_1}, \quad \lg t_2 = D' + \frac{D}{T_2}, \quad \lg t_3 = D' + \frac{D}{T_3}$$

și

$$(c) \dots \lg t_1 - \lg t_2 = D + \left(\frac{1}{T_1} - \frac{1}{T_2} \right) = \frac{D \cdot \Delta T}{T_1 T_2} = a$$

$$\dots \lg t_2 - \lg t_3 = \frac{D \cdot \Delta T}{T_2 T_3} = b$$

de unde:

$$\frac{a}{b} = \frac{T_3}{T_1}; \text{ la fel se obține } \frac{b}{c} = \frac{T_4}{T_2} \text{ și cu } T_1, T_2, T_3, T_4 \text{ re-}$$

sultă $a > b > c \dots$ (vezi fig. 2.4.3/b)

La nivelul de tensiune $T' < T$ se obține ca și la metoda Larson-Miller:

$$\lg t_0 = D'' + \frac{D}{T_1}$$

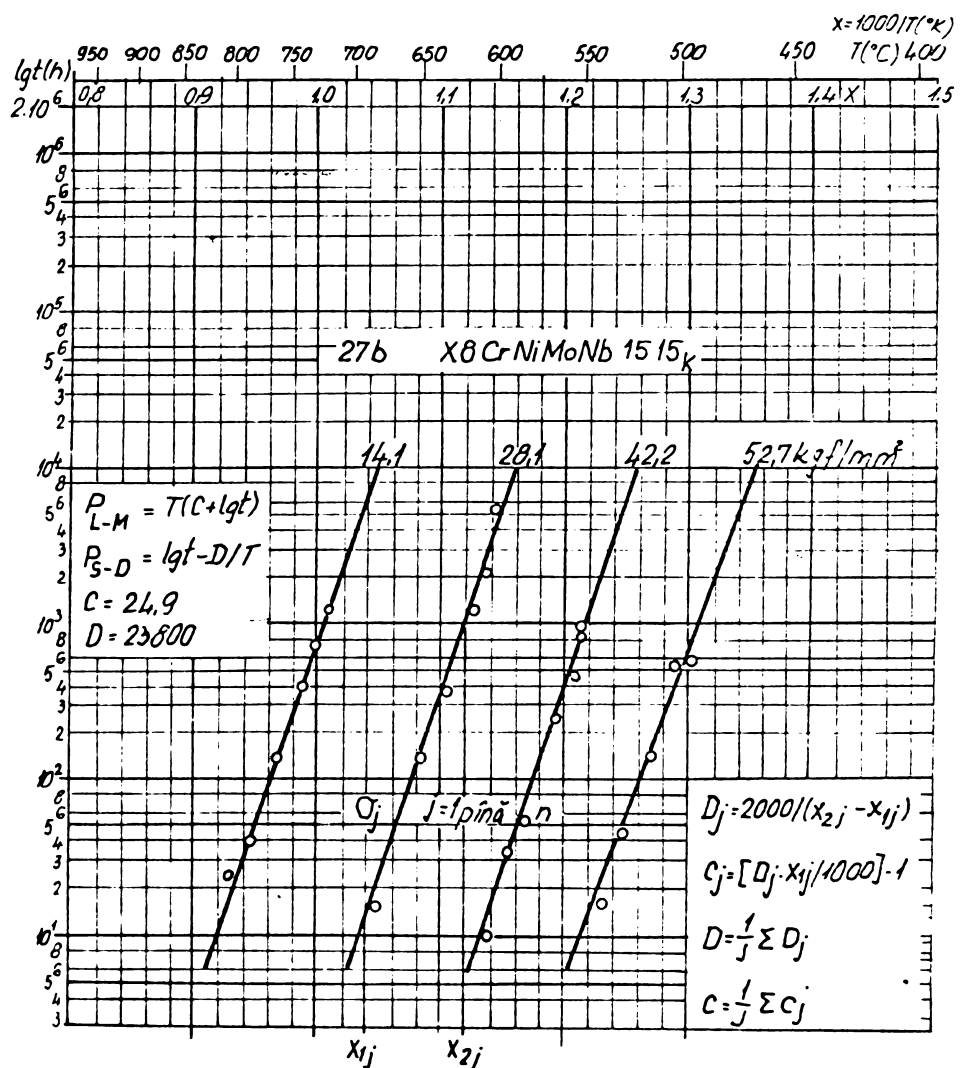
$$\lg t_1 = D'' + \frac{D}{T_2}$$

și:

$$\lg t_0 - \lg t_1 = D \cdot \frac{\Delta T}{T_1 T_2} = d$$

care este identică cu relația (c): de unde urmărește...

$$(e) \dots a = d = e = \dots$$



Capitolul 2.4.3.1. Metoda Orr-Sherby-Dorn

Figura a

In concluzie la metoda Orr-Sherry-Dorn se admite că în reprezentarea $\lg \sigma - \lg t$:

a) La același nivel de tensiune și la intervale echidistante de temperatură (ΔT): segmentele interceptate de curbele izoterme scad pe măsură creșterii temperaturii (ca și la metoda Larson-Miller).

b) Izotermele nu mai sunt dispuse în evantai - cum era la metoda Larson-Miller - ci sunt paralele.

2.4.3.2. Metoda Hansen - Haford

Acești investigatori au reprezentat izostatatele în diagrama $\lg t - T$ observind că punctele experimentale la anumite materiale se aliniază mai bine în această diagramă, după o linie dreaptă decit în coordonatele $\lg t - \frac{1}{T}$: în plus izostatatele se intersectează în același punct [2.41] sau dispersia acestor puncte de intersecție în jurul valorii medii este redusă. Se scrie valoarea reciprocă a pantei pentru fiecare izostată; care este chiar parametrul Hansen - Haford (fig.2.4.3.c):

$$(f) \dots P_{HM} = - \frac{T - T_n}{\lg t_n - \lg t} = \frac{T - T_n}{\lg t - \lg t_n} = \alpha (\square)$$

În această relație T_n și $\lg t_n$ sunt coordonatele punctului median de intersecție al izostatelor. Relația poate fi scrisă sub forma:

$$(g) \dots \lg t = \frac{T - T_n}{B} + \lg t_n,$$

unde s-a admis ca $T_n < T_1 < T_2 < T_3$

Pentru izoterma T_1 rezultă la nivelul de tensiune σ' pentru care $B = 5^\circ$

$$(g') \dots \lg t_1 = \frac{T_1 - T_n}{5^\circ} + \lg t_n$$

(vezi fig.2.4.3 d)

și izoterma T_2 :

$$\lg t_2 = \frac{T_2 - T_n}{5^\circ} + \lg t_n;$$

din aceste două relații din urmă se obține:

$$(g'') \dots a = \lg t_1 - \lg t_2 = \frac{T_1 - T_2}{5^\circ} = - \frac{\Delta T}{5^\circ} \quad \text{și}$$

$$b = \lg t_2 - \lg t_3 = \frac{T_2 - T_3}{\phi''} = - \frac{\Delta T}{\phi''},$$

deci

$$(h) \dots a = b = c = \dots$$

In nivelul de tensiune σ'' , avem $\phi = \phi''$

$$\lg t_0 = \frac{T_1 - T_n}{\phi''} + \lg t_n \quad \text{si}$$

$$(h') \dots \lg t_1 = \frac{T_2 - T_n}{\phi''} + \lg t_n$$

de unde:

$$a = \lg t_0 - \lg t_1 = \frac{T_1 - T_2}{\phi''} = - \frac{\Delta T}{\phi''}$$

si folosind relatiile (g'), rezulta:

$$\frac{a}{d} = \frac{\Delta T}{\phi''}$$

Po de altă parte din relațiile (g') și (h') avem:

$$\phi' = \frac{T_1 - T_n}{\lg t_1 - \lg t_n} \quad \text{si} \quad \phi'' = \frac{T_2 - T_n}{\lg t_2 - \lg t_n}, \quad \text{de unde:}$$

$$(i) \dots \frac{a}{d} = \frac{\Delta T}{\phi''} = \frac{T_2 - T_n}{T_1 - T_n} \quad \text{si intrucit } T_2 > T_1 > T_n \text{ rezulta:}$$

$$(j) \dots a > d > e \dots$$

In cazul cind $T_n > T_2 > T_1$ - cum se vede in fig.2.4.3.c - rezulta:

$T_n - T_2 < T_n - T_1$ si din relatiile (i) avem:

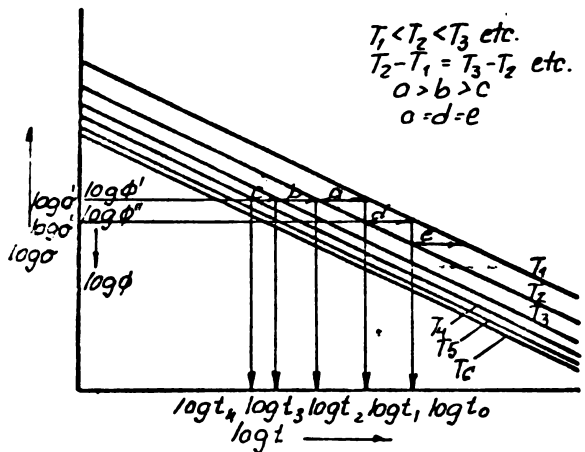
$$(k) \dots \frac{a}{d} = \frac{T_n - T_2}{T_n - T_1} < 1,$$

prin generalizare:

$$(l) \dots a < d < e \dots$$

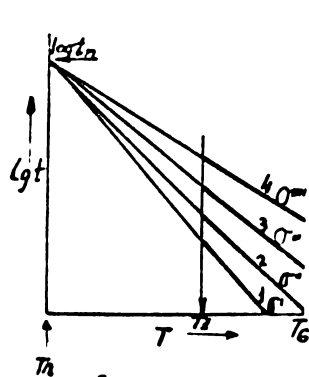
Functia operativa a lui T_n si $\log t$.

Din relațiile (i) și (k) reiese clar că funcția operativă a lui T_n este de a se îngriji de considerente practice și raportul $\frac{a}{d}$ va fi diferit pentru diferite materiale, care sunt încărcate la aceleasi 2 nivele de temperatură.



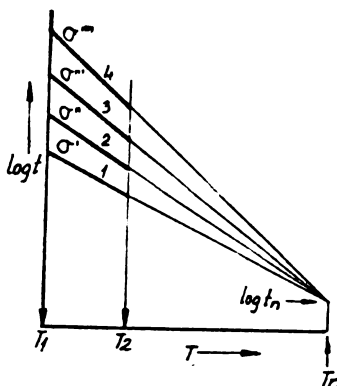
Capitolul 2.4.3.1

Figura b



Capitolul 2.4.3.2. Metoda Manson-Haferd

Figura c

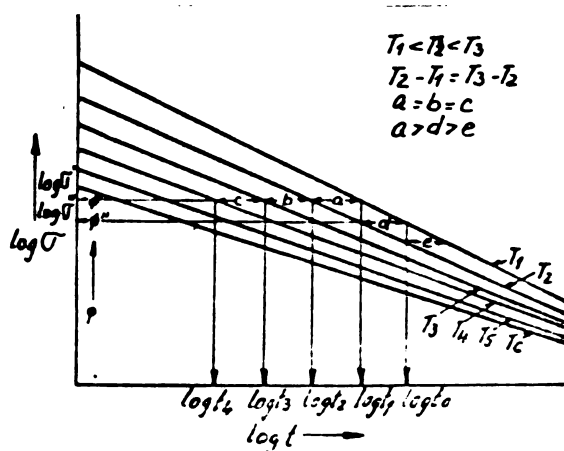


Capitolul 2.4.3.2.

Figura e

Capitolul 2.4.3.2.

Figura d



Dacă $T_2 > T_1$, relația (1) poate fi scrisă sub forma:

$$\frac{a}{d} = \frac{T_1 - T_n + T_2 - T_1}{T_1 - T_n} \leq 1 + \frac{\Delta T}{T_1 - T_n} \quad (\text{dacă } T_n < T_1)$$

și relația (1):

$$\frac{a}{d} = 1 - \frac{\Delta T}{T_n - T_1} \quad (\text{dacă } T_n > T_2)$$

De aici urmăză că indiferent de poziția lui T_n față de temperaturile de incercare ($T_n < T_1$ sau $T_n > T_2$) raportul a/d scade edată cu T_n .

Tot de aici urmăză (relația (1)) : dacă T_n ia valori negative mari, atunci curbele adiacente $\lg \sigma / \lg t$ tind să devină echidistante pe tot intervalul diagramei, adică a/d tinde către unitatea, urmăză:

$$a = d = b = \dots$$

și în acest caz curbele pot fi exprimate prin funcția:

$$\sigma = t^a e^{At} \quad \text{în care } A \text{ este o constantă.}$$

Relația (f) poate fi scrisă sub forma:

$$\sigma'(\sigma) = \frac{T_1 - T_n}{\lg t_1 - \lg t_n} = \frac{T_2 - T_n}{\lg t_2 - \lg t_n}$$

pe de altă parte din relația (1) avem:

$$(n) \dots \frac{a}{d} = \frac{T_2 - T_n}{T_1 - T_n} = \frac{\lg t_2 - \lg t_n}{\lg t_1 - \lg t_n} \cdot$$

care se explicitează în raport cu $\lg t_n$:

$$\lg t_n (1 - \frac{a}{d}) = \lg t_2 - \frac{a}{d} \lg t_1$$

și înlocuind: $\lg t_1 = \lg t_2 + a$ se obține

$$\begin{aligned} \lg t_n &= \frac{1}{d-a} (d \lg t_2 - a^2 - a \lg t_2) = \\ &= \lg t_2 - \frac{a}{(d-a)} \dots \end{aligned} \quad (n),$$

In fig.2.4,3.f se vede că izotermele T_1 și T_2 se intersectează într-un punct, unde $a = 0$, de unde urmăză din relația (n) că $\lg t_n = \lg t_2$. Dacă se admite să se folosească scări diferite pentru

diferite materiale (materialele A, B și C) atunci că isoterma T_2 poate să fie o linie unică. Curbele corespondente pentru fiecare material la temperatura T_1 sunt traseate de acenunca; ele vor fi deplasate în modul arătat în fig. 2.4.3.2.

Dacă reprezintă t_n nu este funcția operativă și valoarea lui $\lg t_n$ la T_2 este aceeași pentru cele 3 materiale, variațiile lui $\lg t_n = \frac{a}{d}$ în intervalele a' , a'' și a''' în fig. 2.4.3.2 – trebuie să fie însășite de variații în ce privește raportul a/d , cum se vede din relația (n).

Referindu-se la relația (k) se vede că acenunca schimbări sunt luate în secură prin modificări corespunzătoare ale lui T_n .

Astfel metoda Manson-Haford face un pas înainte: în metoda Larson-Miller raportul a/d este același pentru toate materialele și nu depinde decât de nivelele de temperatură T_1 și T_2 (vezi relația (2.4.1.n)). Metoda Manson-Haford are posibilități mai cuprinse-toare, astfel poate fi aplicată nu numai la izotermale care diverg cu creșterea timpului – cazul metodiei Larson-Miller – ci și în cazul izotermelor convergente (vezi fig. 2.4.3.d).

Totuși și metoda Manson-Haford prezintă anumite restricții și anume segmentele interceptate, la același nivel de tensiune și $\Delta T = ct$, trebuie să fie egale iar raportul $a/d = ct$ pe tot intervalul tensiunilor.

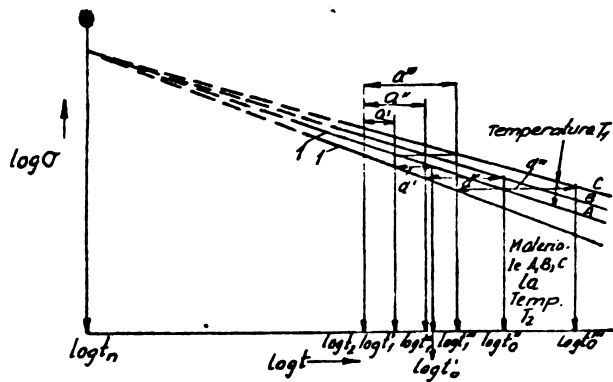
Dacă metoda Manson-Haford nu afiră că raportul a/d este același pentru toate materialele nu exclude posibilitatea ca să fie același pentru un grup de materiale. De exemplu în fig. 2.4.3.g curba izotermei T_2 poate să fie aceeași (bineîntăles la scări diferite ale tensiunilor) pentru un grup de materiale (A, B și C) iar raportele a/d să fie egale:

$$\frac{a'}{d'} = \frac{a''}{d''} = \frac{a'''}{d'''}$$

și în acest caz conform relației (k) valoarea lui T_n va fi aceeași pentru cele 3 materiale.

Po de altă parte dacă intervalele a' , a'' și a''' sunt diferențite pentru cele 3 materiale, totuși izotermale T_1 vor fi paralele (se formează triunghiuri acenunca cu raporturile de acanunere de mai sus). Astfel reiese funcția operativă a lui $\lg t_n$ din relația (n). Dacă $\frac{a}{d} < 1 (> 1)$, atunci $\lg t_n$ descrește (crește) cind intervalele a cresc.

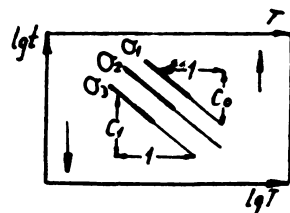
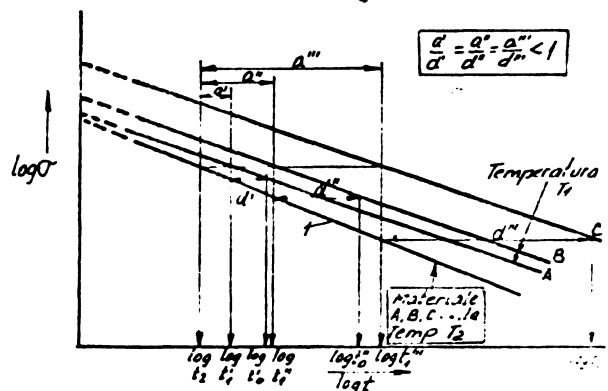
2.4.3.3. Metoda Manson – Succes



Capitolul 2.4.3.2.
Metoda Manson-Haferd

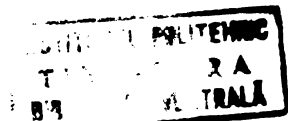
Figura f

Capitolul 2.4.3.2
Figura g



Capitolul 2.4.3.3. Metoda Manson-Haferd

Figura h



Se admite parametrul [2.46]:

$$(o) \dots P_{MS} = lgt + C_0 T$$

Astfel izostatele din fig.2.4.3.h sunt paralele cu panta C_0 . P_{MS} este un caz particular a lui P_{MH} pentru lgt_a și $T_a \rightarrow \pm \infty$

Practic metoda Manson-Succop aproimează în mod satisfăcător parametrul Manson-Haford pentru valori mari ale lui lgt_a și T_a .

Clauss [2.47] deduce P_{MS} ca și un caz particular al parametrului Larson-Miller. După relația (2.4.1.d): $P_{LM} = T_c + T \cdot lgt$. Intrucât $C_0 > lgt_a$, se poate înlocui $T \cdot lgt \approx T_m lgt$, de unde:

$$\frac{P_{LM}}{T_m} = \frac{T_c + T_m lgt}{T_m} = C_0 T + lgt = P_{MS}$$

(în care T_m este temperatura medie a încercărilor)

2.4.3.4. Metoda Sud-Aviation

Prezintă o analogie formală cu parametrul Manson-Succop (fig.2.4.3.h). Izostatele sunt paralele cu panta C_1 în sistemul $lgt - lgtT$. [2.40] [2.42]:

$$(p) \dots P_{SA} = lgt + C_1 lgtT$$

2.4.3.5. Metoda Manson-Brown

Este o generalizare a metodei Manson-Haford (2.4.3.2) cu constantele lgt_a și T_a [2.4.1]:

$$(q) \dots P_{MB} = \frac{lgt - lgt_a}{(T - T_a)^R} \text{ în care } -1 < R < 2,5$$

P_{MB} poate substitui P_{MH} , dacă se dispune de date experimentale suficiente și izostatele prezintă abateri sistematice de linie dreaptă în sistemul $lgt - T$ (fig.2.4.3.i). Evident R nu se poate determina grafic (vezi 2.4.8)

2.4.3.6. Metoda Graham și Wallas

Se propune parametrul [2.50]:

$$(r) \dots P_{GW} = lgt + C_2 \cdot \lg(T - T_a)$$

În diagrama $lgt - T$ izostatele reprezintă curbe similară metodei Manson-Brown (fig.2.4.3.j): Pentru $T_a = 0$, P_{GW} este un caz particular al metodei Sud-Aviation.

2.4.3.7. Metoda Chitty-Duval

Acești cercetători [2.51] au observat că izostatelor în diagrama $\lg t - T$ sunt în general drepte, dar nu satisfac nici condiția Manson-Haford (intersectante), nici Manson-Succop (parallelism). Reuniția izostatelor este (fig.2.4.3.k)

$$T = C(\sigma) - d(\sigma) \cdot \lg t \text{ și de aici:}$$

$$(s) \dots P_{CD} = C(\sigma) = T + d(\sigma) \cdot \lg t$$

Pentru a putea aplica această metodă, trebuie ca punctele în diagramă $\lg d(\sigma) = \lg \frac{T}{t}$ să nu se abată mult față de linia dreaptă.

2.4.3.8. Metodele Manson-Marry I și Manson-Marry II

Marry [2.52] [2.53] ca și Chitty și Duval a scris creșterea generală a izostatelor în sistemele $\lg t - \frac{T}{t}$ ($M = MI$) respectiv $\lg t - T$ ($M = MII$) (fig.2.4.3.i și n). Parametrii sub formă modificată de Manson au expresiile:

$$(t) \dots P_{MI} = \frac{\lg t - \lg t_a}{\frac{T}{t} - \frac{T_a}{t_a}} \text{ și}$$

$$(u) \dots P_{MII} = \frac{\lg t - \lg t_a}{T - T_a}$$

Pentru fiecare izostată se determină $A(\sigma)$ și $B(\sigma)$, care se reprezintă în a 2-a diagramă și dacă satisfac condițiile de colinearitate, determină $\lg t_a$ și $\frac{T_a}{t_a}$. Se obține metoda Larson-Miller pentru $A(\sigma) = ct = C$ și metoda Orr-Sherby-Dorn pentru $B(\sigma) = ct \cdot D$.

În fel în cazul metodei II se determină $a(\sigma)$ și $b(\sigma)$ și din dreapta aproximativ de aceste puncte se obțin $\lg t_a$ și T_a .

Să aici pentru $a(\sigma) = ct$ rezultă parametrul Manson-Haford, iar pentru $b(\sigma) = ct$, parametrul Manson-Succop.

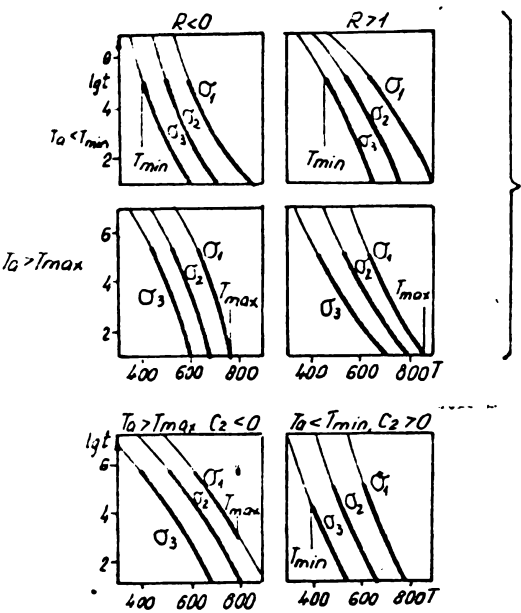
Astfel metodele P_{MI} și P_{MII} reprezintă generalizarea a 4 metode parametrice de mai sus.

2.4.3.9. Metoda Manson generalizată

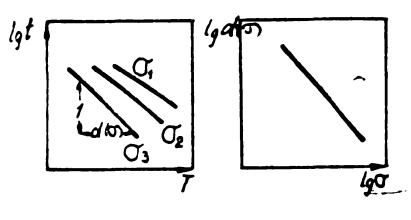
Se bazează pe parametrul [2.11].

$$(v) \dots P_M = \frac{\lg t - \lg t_a}{\frac{T}{t} - \frac{T_a}{t_a}} \quad (T - T_a)$$

reprezentat în fig.2.4.3.n.

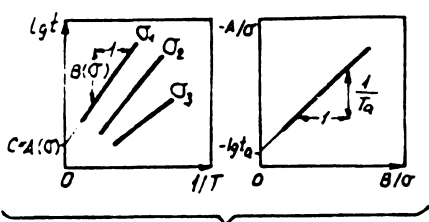


Capitolul 2.4.3.5. Metoda Manson-Brown
Figura i



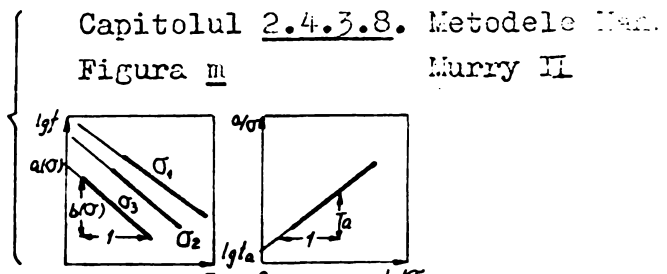
Capitolul 2.4.3.6. Metoda Grahan și Walles

Figura j



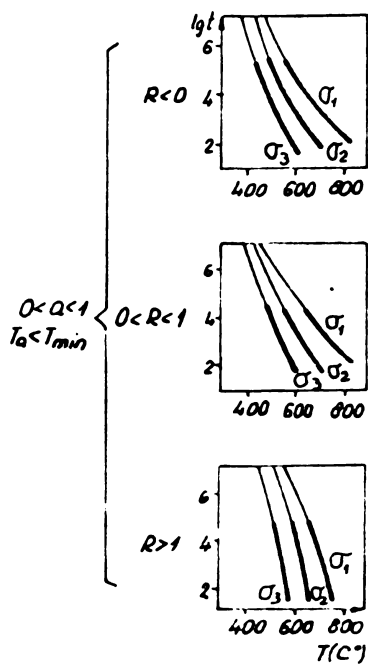
Capitolul 2.4.3.7. Metoda Chen-Davidson

Figura k



Capitolul 2.4.3.8. Metodele Manson-Murphy I
Figura l

Capitolul 2.4.3.9. Metoda Manson generalizată
Figura m



Din această relație se pot obține parametrii de mai sus conform Tabelei 2.4.3.a

Tabela 2.4.3.a

Valorile constantei din relația P_M	Metoda parametrică
$Q = 0$	Manson - Brown
$Q = 0; R = 1$	Manson - Haferd
$Q = 0; R = -1; Ta = 0^{\circ}\text{K}$	Larson - Miller
$Q = 1; R = 1$	Manson - Murry II
$Q = 0; R = 1; Ta \rightarrow \infty \quad \lg t_a \rightarrow \infty$	Manson - Succop
$Q = 0; R = -1; Ta = \lg t_a = 0$	Orr-Sherby-Dorn

2.4.3.10. Validitatea formulelor parametrice

Această analiză a fost făcută de Murry [2.52] și reproducă integral în lucrările [2.56] [2.57] :

"P.Gerofalo, G.V.Smith și B.E.Royle [2.54] nu admit ipoteza de bază că alungirea la rupere ar rămâne constantă. Acești cercetători constată că este posibil să se găsească - pentru fiecare temperatură de încercare - o curbă distinctă care reprezintă variația fiecăruiu dintre cei trei parametri (corespunzători celor trei formule clasice de extrapolare), în funcție de tensiunea initială. În consecință acești parametri nu sunt funcție numai de σ_0 și ipoteza nu este deci verificată".

"V.I.Mikitin [2.55] tinsind și el să verifice ipotezele puse de Larson-Miller a admis că în graficul $\lg \sigma_0 - \lg t_a$, izotermale sunt drepte, deci a studiat un caz particular. În final, autorul a constatat și el că C ia valori diferite de la un șelet la altul."

"M.R. Goldhoff [2.5] a aplicat toate cele trei formule de extrapolare elaborate de cercetători americani (Larson-Miller, Sherby-Dorn și Manson-Haferd) la diverse șeleturi. În concluziile sale, autorul a arătat că formula Manson-Haferd dă rezultatele cele mai precise; formula Larson-Miller poate de asemenea să dea rezultate precise dacă C este convenabil ales."

"Din trecerea în revistă a majorității studiilor critice efectuate cu privire la valabilitatea formulelor parametrice rezultă

că diversii cercetători pun la îndoială atât definitia constantei cît și pe acela a parametrilor, dar că în general ei admit că este posibil să se utilizeze formulele parametrice în intervale de temp., temperatură și tensiune bine determinate."

Trebuie, totuși, remarcat că toți autorii trecuți în revistă au încercat verificări globale ale formulelor parametrice. Ni au folosit aceste formule pentru a interpreta datele experimentale și în final au confruntat rezultatele obținute cu ipotezele adoptate pentru a stabili valabilitatea fiecăreia dintre formulele utilizate. În cursul acestei operații, este însă dificil să se desbeckască dacă diferențele constatare dezvăluie un defect al formulei studiate sau dacă ele se datorează dispersiei rezultatelor experimentale. Pe de altă parte, această metodă de analiză nu permite să se aprecieze valabilitatea fiecărei ipoteze în parte. Ar fi deci interesantă o verificare individuală a ipotezelor care stau la baza fiecărei formule parametrice".

În capitolul 3 al acestei lucrări se verifică individual aceste ipoteze.

2.5. Extrapolări cu relații între temp. și tensiune .

Multe funcții de acest fel satisfac relația de forma

(a) ... $\lg t = \alpha - \beta \cdot f(\sigma)$

în care $f(\sigma)$ este o funcție continuă de tensiune, iar α și β sunt constante.

2.5.1. O posibilitate este dată de fig.(2.5-a); funcții triviale de acest gen sunt:

(b) ... $\lg t = \alpha - \beta \cdot \lg \sigma$

și

(c) ... $\lg t = \alpha - \beta \cdot \sigma$

Izotermele din urmă descresc însă prea repede față de valori experimentale.

Așindouă relații nu pot interpreta rezultatele experimentale pe durată de multiplii lui $\lg 10$, utilizarea lor se limitează mai mult la porțiuni din izoterme.

Garofalo propune relația: [2.58]

(d) ... $\underline{\lg t = \alpha - \beta \lg \sin h\left(\frac{\sigma}{\sigma_0}\right)}$

cu constanta adițională σ_0 . Pentru $\sigma < < \sigma_0$ relația (d) se

aproape de (b) iar pentru $\tau > \tau_0$ de (c). Prezintă curburi intermedii între relația (b) și (c).

Relația:

$$(e) \dots \lg t = \alpha - \beta \cdot \sqrt{\tau}$$

dă descreșteri mai moderate decât (c). O generalizare imediată este:

$$(f) \dots \lg t = \alpha - \beta \cdot \lg \left[1 + \left(\frac{\tau}{\tau_0} \right)^{0,5} \right]$$

care pentru $\tau \ll \tau_0$ se apropie de dreapta "1" iar pentru $\tau > \tau_0$, de curba 2, dar spre deosebire de relația (d) dă o curbă pronunțată în jos la valori mici ale tensiunii (curba 4 - fig.2.5.a).

Constantele din aceste relații se determină cu metoda celor mai mici pătrate, cum se va arăta mai jos (Cap.2.6).

Relațiile sunt explicitate pentru $\lg t$, întrucât din punct de vedere statistic durata t se consideră variabilă aleatoare, iar $\lg t$ se poate considera că prezintă o distribuție normală.

Până în prezent nu s-au putut corela ecuațiile de mai sus cu procese de fluaj din fizica metalelor.

Se poate face și o dezvoltare într-un polinom de forma:

$$(g) \dots \text{Pol } [f(\tau)] = \alpha_0 + \alpha_1 \cdot f(\tau) + \alpha_2 [f(\tau)]^2 + \dots + \alpha_n [f(\tau)]^n$$

$$\text{în care de preferință } f(\tau) = \dots \quad (h) \text{ sau } f(\tau) = \\ = \lg (\tau) \dots \quad (h)$$

Acste funcții însă pentru valori mai mari ale duratei prezintă curburi accentuate cu pante orientate în jos. De aceea sunt potrivite pentru intrapolare, dar nu se pot folosi pentru extrapolare.

Von Leiden [2.4e] explică această comportare prin faptul că încercări de fluaj la tensiuni mai mari produc o altă repartizare a tensiunilor în materiale și introduc astfel variații, care se pot prevedea mult mai dificil, decât la încercări cu temperaturi majorate.

2.5.2. Funcție exponentială de ordin real

Zimerring [2.59] [2.60] [2.61] [2.62] folosește o funcție exponentială de ordin real $e_r(x) = A^{-1} [A(x) + r]$, ... (i) în care funcția auxiliară $A(x)$ este definită ca și soluția complet monotonă descrescătoare a ecuației funcționale:

$$\Delta(e^x - 1) = \Delta(x) + 1$$

iar $\Delta^{-1}(x)$ este funcția inversă lui $\Delta(x)$

Din (i) avem:

$$(j) \dots \lg t = \alpha - \lg(m_x(x)) = -\lg(e_x(\frac{T}{T_0}))$$

în care α , r și T_0 se determină cu metoda celor mai mici pătrate [2.73].

Ecuația (j) poate reprezenta în sistemul dublu logaritmic $\lg T - \lg t$ (fig.2.5.b) izoterme, care sunt linii drepte ($r = 0$) sau curbe cu curburi accentuate ($r > 1$). Cît timp r determină curbura, constantele α și T_0 ajustează poziția izotermelor. Metoda poate fi folosită și pentru determinarea izostatelor.

2.5.3. Izoterme în domeniul intercristalin. Metoda Brosse

Se estimează că panta s a izotermelor din fig.2.5.c se poate scrie [2.63]

$$(k) \dots s = \left. \frac{\partial \lg t}{\partial T} \right|_T = f(T) \cdot g(T)$$

în care $f(T)$ și $g(T)$ sunt 2 funcții continue de tensiune, respectiv de temperatură, [2.7] [2.74]. Segmentul B_2B_1 - care caracterizează extrapolarea pe porțiunea A_1B_1 - este dat de:

$$(l) \dots \overline{B_2B_1} = \overline{A_2A_1} - \int_{T_B}^{T_A} (s_1 - s_2) \cdot dT$$

Din (k) :

$$(m) \dots s_1 = f(T_1) \cdot g(T_1) \text{ și } s_2 = f(T_2) \cdot g(T_2) \dots \quad (n)$$

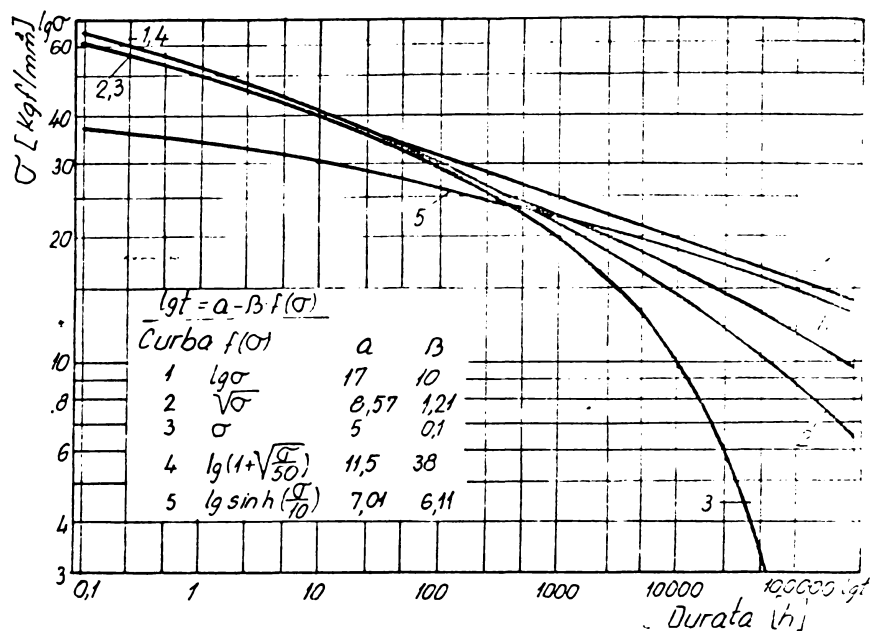
$$(o) \dots s_{2A} = f(T_A) \cdot g(T_1) \text{ și } s_{2A} = f(T_A) \cdot g(T_2) \dots \quad (p)$$

$$\text{rezultă } s_1 - s_2 = (s_{1A} - s_{2A}) \cdot \frac{f(T)}{f(T_A)} \dots \quad (q)$$

iar din (n) și (p)

$$(r) \dots \frac{f(T)}{f(T_A)} = \frac{s_2}{s_{2A}}, \text{ deci în final rezultă}$$

$$(s) \dots \overline{B_2B_1} = \overline{A_2A_1} - \frac{s_{1A} - s_{2A}}{s_{2A}} \int_{T_B}^{T_A} s_2 \cdot dT$$

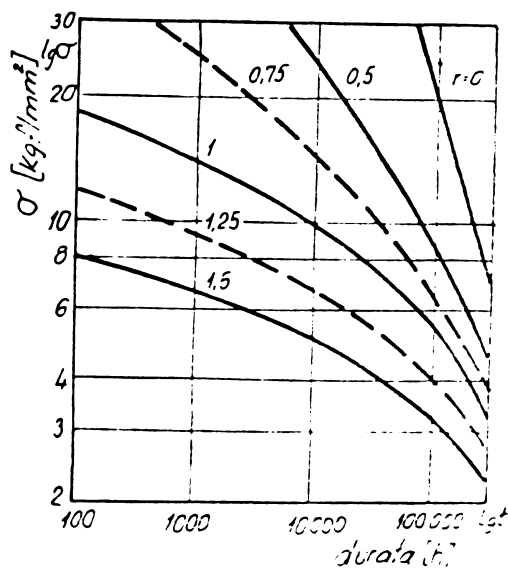


Capitolul 2.5. Extrapolări cu relații între timp și temperatură

Figura a

Capitolul 2.5.2.
Funcție exponen-
tială de ordin
real.

Figura b.



Dacă se admite pentru simplificare că tangenta s_2 variază linear în funcție de tensiune de la σ_A la σ_B , atunci

$$(t) \dots \begin{cases} \sigma_A \\ \sigma_B \end{cases} s_2 \cdot d\sigma = \frac{s_{2A} + s_{2B}}{2} (\sigma_A - \sigma_B)$$

rezultă

$$(u) \dots \frac{\sigma_B}{\sigma_A} = \frac{1}{2} (s_{1A} - s_{2A}) \left(1 + \frac{s_{2B}}{s_{2A}} \right) (\sigma_A - \sigma_B)$$

care precisează poziția punctului B_1 , dacă se cunosc pantele în celelalte 3 puncte s_{1A} , s_{2A} , s_{2B} .

Metoda necesită izoterme îngrijit prelucrate.

2.6. Functii model

Comportarea la temperaturi ridicate a unui material se poate descrie matematic cu o relație de formă cea mai generală:

$$(a) \dots F(T, \sigma, t) = 0$$

în care t , σ și T sunt valorile determinate prin încercări.

Relații de formă (a) sunt cunoscute în literatura de specialitate sub denumirea de "functii model".

Besindu-se tot pe "rate process theory" însă cu 5 ani înaintea lui Larson-Miller, Mechlin și Nowick [2.64] au determinat deja o funcție model de formă:

$$(b) \dots T(\lg t - A) = B - \sigma \cdot 10^{\frac{C+DT}{R}}$$

în care A , B , C și D sunt constante iar T este dat în grade Kelvin. Relația - deși simplifică izotermele la cele lineare - logaritmice - are o formă relativ complicată.

Manson și Brown după o analiză minuțioasă au adus relația (a) la forma:

$$(c) \dots F_1(t) \cdot F_2(T) = F_3(\sigma)$$

și propun o funcție de model empirică.

$$(d) \dots \frac{\lg t - \lg t_a}{(T - T_a)^R} = A (\lg \sigma - \lg \sigma_a)^q$$

cu constantele t_a , T_a , R , A , q și $\sigma_a \in (0,1)$, dintre care t_a , T_a și R se determină deja în cazul relațiilor parametrice (vezi 2.43.9) P_{M-B} .

Deja Larson - Miller exprimă parametrul α în funcție de tensiune.

$P(t, T) = T(20 + \lg t) = h(T)$ care să ar putea combina cu o izotermă din reprezentarea $P(t, T) = 0$. Astfel Harris și Child [2.65] propun funcția

(e) ... $T(20 + \lg t) = \alpha - \beta \cdot \lg T$ – în care $P(t, T)$ se consideră ca variabilă aleatoare în loc de $\lg t$.

Cu această funcție model "primitivă" se obțin însă rezultate de extrapolare mai puțin precise, decât chiar la metoda grafică.

Clauss [2.47] a investigat corelația între forma și poziția izotermelor – în sistemul logaritmic dublu – și structura funcțiilor model. Punctul de plecare este relația (2.1.a):

$$(2.6.a) \dots \lg t = \varphi(\lg G, T)$$

Prin diferențiere se obține:

$$(2.6.a') \dots d(\lg t) = \left. \frac{\partial \varphi}{\partial (\lg t)} \right|_T \cdot d(\lg T) + \left. \frac{\partial \varphi}{\partial T} \right|_{\lg t} \cdot dT$$

unde $\left. \frac{\partial \varphi}{\partial (\lg t)} \right|_T$ este panta izotermelor și

$\left. \frac{\partial \varphi}{\partial T} \right|_{\lg t}$ "distanța în timp" a izotermelor pentru variația temperaturii cu o unitate.

Desemnează 4 clase tipice pentru alura izotermelor:

Clasa 1: Izotermele sunt drepte paralele fig. (2.6.a)

Forma generală a funcției model este:

$$(2.6.b) \dots \lg t = A(T) + B \cdot \lg G$$

Exemplele sint combinația relațiilor P_{SD} (2.4.3.b) și P_{MS} (2.4.3.c) cu membrul drept a relației (2.5.b)

$$(2.6.b') \lg t = \alpha + \frac{B}{A} - \beta \cdot \lg G$$

$$(2.6.b'') \lg t = \alpha - C_0 \cdot G - E \cdot \lg G$$

Clasa 2: Izotermele sunt curbe paralele (fig. 2.6.b). Panta lor depinde de tensiuni.

$$(2.6.c) \dots \lg t = A(T) + B(G) + \lg G$$

Exemplul se pot da prin combinarea lui P_{SD} sau P_{MS} cu

polinoame de tensiune (2.5.g).

Clasa 3: Izotermele sunt drepte care diverg la dreapta (fig. 2.6.c). Distanța lor pe orizontală depinde de temperatură și tensiune, panta lor de temperatură. Forma lor generală este:

$$(2.6.d) \dots \lg t = A(T) + B(T) \cdot \lg \sigma$$

și în particular

$$(2.6.d') \dots \lg t = a_0 + \frac{a_1}{T} + (b_0 + \frac{b_1}{T}) \cdot \lg \sigma$$

$$(2.6.d'') \dots \lg t = a_0 + a_1 T + a_2 T^2 + (b_0 + b_1 T + b_2 T^2) \cdot \lg \sigma$$

deci dezvoltări în serie.

Cazuri particolare ale relației (2.6.d) sunt combinațiile lui P_{LM} (2.4.1.d), P_{MH} (2.4.3.f) sau P_{MB} (2.4.3.q) cu membrul drept al relației (2.5.b).

Clasa 4: Izotermele sunt curbe care diverg la dreapta (fig. 2.6.d). În afară de distanța lor pe orizontală și pantele lor depind de temperatură și tensiune :

$$(2.6.e) \dots \lg t = A(T) + B(T, \sigma) \dots \lg \sigma$$

în particular:

$$(2.6.e') \dots \lg t = a_0 + a_1 T + a_2 T^2 + (b_0 + b_1 T + b_2 T^2) \cdot (\lg \sigma + \frac{c}{\lg \sigma})$$

Un pas înainte în constituite propunerea lui Manson și Mendel-son [2.48], care combină parametrii de timp - temperatură și lui Larson - Miller, Sherby - Dorn, Manson-Haferd cu un polinom de tensiune mai complex decit Harris și Child obținând din (2.6.e') funcții model explicitate pentru $\lg t$:

$$(2.6.f) \dots \lg t = -C + \frac{\alpha_0}{T} + \alpha_1 \frac{\lg \sigma}{T} + \dots \alpha_m \left(\frac{\lg \sigma}{T} \right)^m,$$

care se bazează pe parametrul Larson-Miller, sau

$$(2.6.g) \dots \lg t = \alpha_0 + \frac{\alpha_1}{T} + \alpha_1 \cdot \lg \sigma + \dots \alpha_m \left(\lg \sigma \right)^m$$

care se bazează pe parametrul Sherby - Dorn și în fine

$$(2.6.h) \dots \lg t = \lg t_a + \alpha_0 (T - T_a) + \alpha_1 (T - T_a) \lg \sigma + \dots \\ + \alpha_m (T - T_a) \cdot \left(\lg \sigma \right)^m,$$

înăind ca bază parametrul Manson-Haferd.

Coefficienții $\alpha_0, \dots, \alpha_m, C, D, T_0$ și $\lg t_0$ se determină cu metoda celor mai mici pătrate, cu variabila aleatoare lgt. În forma incipientă:

(2.6.1) ... $P_T t = P_{\lg t} (\lg \bar{U})$; funcțiile model de mai sus descriu alura curbei de bază.

Determinarea coeficienților și constantelor acestor funcții model necesită calcule voluminoase, motiv pentru care funcțiile model cercetate se programează.

Intrucit lgt - luat ca variabilă aleatoare - prezintă o distribuție normală, se recomandă să se folosească funcții model explicitate în raport cu lgt. Determinarea coeficienților și constantelor pentru aceste funcții urmează să se facă, luând ca bază rezultatele măsurătorilor de la încercări de fluaj. În continuare se face un calcul de regresie după principiul celor mai mici pătrate.

În acest scop funcția model se transcrie într-o formă adecvată pentru calculul de regresie:

Relația (2.6.1) se va transforma în:

$$(2.6.1) \dots y = y_0 + b_1 x_1 + b_2 x_2 + \dots + b_j x_j + \dots + b_m x_m$$

în care $y = \lg t$ variabilă aleatoare.

(rezultatele măsurătorilor)

$x_j = f(T, \lg \bar{U})$ variabile independente formate din "parametrii" T și \bar{U} .

y_0 și b_j termenul liber și coeficienții termenilor.

La trecerea de la relația (2.6.1) la relația (2.6.1) se ia:

$y_0 = -C$, în care C este constanta lui Larson-Miller.

$$x_1 = \frac{1}{T}; \quad x_2 = \frac{\lg \bar{U}}{T}; \quad b_1 = \alpha_0; \quad b_2 = \alpha_1; \quad \text{etc.}$$

Practic se face o normare a variabilelor, aducind toate mărimele la o valoare aproape de 1, așa de exemplu $x_1 = \frac{1000}{T}$. Natural evaluarea dată de (2.6.1) poate fi folosită și pentru corelații între 2 variabile, de exemplu

$$P(U, t) = 0.$$

Intrucit relația (2.6.1) tratează o evaluare lineară cu mai multe variabile independente, ea reprezintă de fapt o regresie lineară multiplă, unde se determină coeficienții y_0 și b_j . În cazul ales sunt cunoscute N valori măsurate (T_i, U_i, t_i , $i = 1-N$).

Capitolul 2.5.

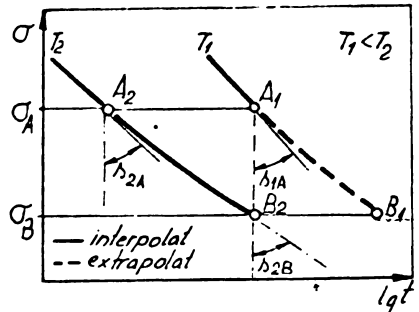
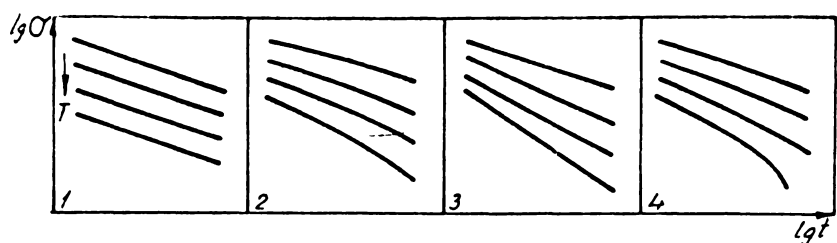


Figura c

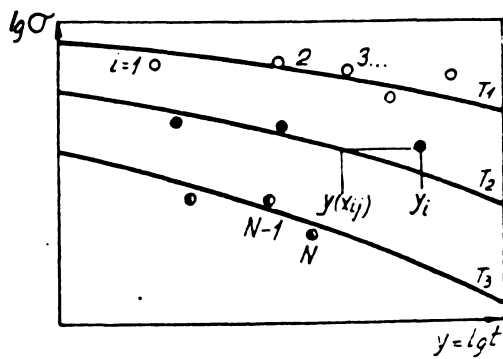


Capitolul 2.6. Funcții model

Figura a, b, c, d.

Capitolul 2.6.

Figura e



Pentru punerea în ecuație a relației (2.6.j) - corespunzător funcției model alese - se fac transformările în cele N "locuri de măsurare" (y_1), ((x_{ij})). Sub forma matricială, vom avea deci

$$(2.6.k) \dots (y_1) = \begin{bmatrix} y_1 \\ y_2 \\ \vdots \\ y_i \\ \vdots \\ y_N \end{bmatrix}; (x_{ij}) = \begin{bmatrix} x_{11} \dots x_{1j} \dots x_{1M} \\ x_{21} \dots x_{2j} \dots x_{2M} \\ \vdots \quad \vdots \quad \vdots \\ x_{il} \dots x_{1j} \dots x_{lM} \\ \vdots \quad \vdots \quad \vdots \\ x_{N1} \quad x_{Nj} \dots x_{NM} \end{bmatrix}$$

Cu vectorul definit analog (b_j , $j = 1, M$) se poate scrie relația (2.6.j) prescurtat.

$$(2.6.l) \dots (y) = y_0 + (x).(b)$$

Dacă se introduc valorile (x_{ij}) în relația (2.6.l), atunci se obțin N valori $y(x, b)$, care corespund cu ecuația de regresie, în timp ce valorile celor N măsurători: y_i se abat de la aceasta - fig. (2.6.e). Se determină vectorul (b_j) și y_0 în așa fel ca:

$$(2.6.m) \dots s^2 = \sum_{i=1}^N [y_i - y(x_{ij})]^2 = \text{minim.}$$

în care s^2 reprezintă suma pătratelor abaterilor și depinde doar de y_0 și (b_j) pentru cele N locuri de măsurare.

Se formează derivatele partiale:

$$(2.6.n) \dots \frac{\partial s^2}{\partial y_0} = 0; \quad \frac{\partial s^2}{\partial b_1} = 0 \dots \frac{\partial s^2}{\partial b_M} = 0$$

prin care se obțin M + 1 relații pentru necunoscutele y_0 , (b_j). Din prima relație se obține pentru terenul absolut y_0 , cu valorile medii \bar{y} și \bar{x}_j :

$$(2.6.o) \dots \bar{y} = \frac{1}{N} \sum_{i=1}^N y_i \quad (2.6.p) \quad \bar{x}_j = \frac{1}{N} \sum_{i=1}^N x_{ij}$$

$$(2.6.r) \dots y_0 = \bar{y} - \sum_{j=1}^M b_j \cdot \bar{x}_j$$

Cele M ecuații rămasse se transformă în:

$$(2.6.3) \dots \begin{cases} b_1 \cdot x_{11} + \dots + b_j x_{1j} + \dots + b_M x_{1M} = Y_1 \\ \vdots \\ b_1 \cdot x_{k1} + \dots + b_j x_{kj} + \dots + b_M x_{kM} = Y_k \\ \vdots \\ b_1 \cdot x_{M1} + \dots + b_j x_{Mj} + \dots + b_M x_{MM} = Y_M \end{cases}$$

sau $(Y) = (X) \cdot (b)$,

care este un sistem de M ecuații lineare cu M necunoscute. Elementele matricei de corelație $((X))$ se calculează pentru $k=1, M$ și $j=1, M$:

$$(2.6.4) \dots x_{kj} = x_{jk} = \sum_{i=1}^N (x_{ik} - \bar{x}_k) \cdot (x_{ij} - \bar{x}_j)$$

iar pentru membrul din dreapta, cu $k = 1, M$

$$(2.6.5) \dots Y_k = \sum_{i=1}^N (x_{ik} - \bar{x}_k) \cdot (y_i - \bar{y}).$$

Cu $((\bar{Y}))$ matricea inversă lui $((X))$ se obțin soluții pentru coeficienți:

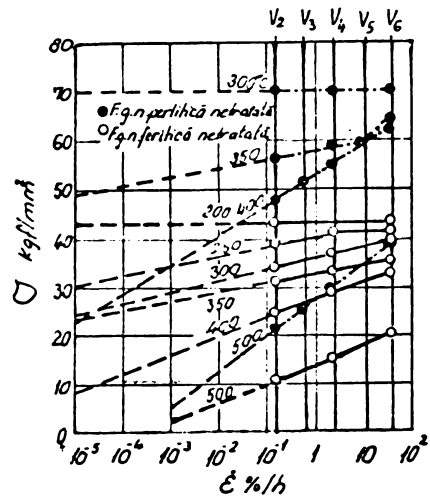
$$(2.6.6) \dots (b) = ((\bar{Y})) \cdot (Y) \text{ sau } (2.6.6_e) \quad b_j = \sum_{k=1}^M \bar{x}_{jk} \bar{x}_k.$$

După calculul lui (b_j) rezultă y_0 din ecuația (2.6.2).

Inversiunea matricei $((X))$ se obține cu Algoritmul lui Gauss [2.66].

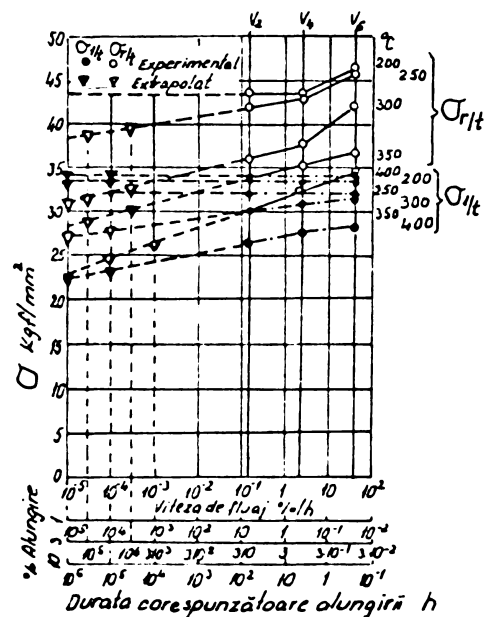
2.7. Determinarea comportării materialelor la temperaturi ridicate în baza vitezei minime de fluaj (metoda Rajakovics).

In capitelele precedente extrapolările s-au bazat mai ales pe determinări efectuate la temperaturi de încercare superioare celei de serviciu. Metoda Rajakovics, deși în primul rînd se aplică la extrapolările limitei tehnice de fluaj, poate fi folosită și la aproximarea rezistenței tehnice de durată. Această metodă [2.75] [2.76] se bazează pe considerentul că proprietățile de fluaj ale metalelor - la temperatura de încercare, identică cu cea de serviciu - depind de viteza de fluaj, ce se produc la încercare. În diagrama viteza de fluaj $lg \varepsilon \% / h$ - tensiune $\sigma \text{ Kgf/mm}^2$, în anumite condiții, se pot efectua extrapolări lineare la viteză de fluaj



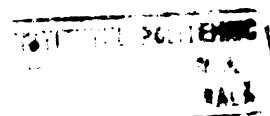
Capitolul 2.7. Metoda Rajakovics

Figura a



Capitolul 2.7.

Figura b



foarte mici, corespunzătoare duratelor de $10^4 \dots 10^5$ ore.

Vitezele de fluaj folosite la încercare erau:

$$\begin{array}{ll} v_2 = 0,15 \text{ mm/h} & (v_5 = 9,6 \text{ mm/h}) \\ (v_3 = 0,6 \text{ mm/h}) & v_6 = 38,4 \text{ mm/h} \\ v_4 = 2,4 \text{ mm/h} & \end{array}$$

In fig.2.7.a se observă că în cazul fontei cu grafit nodular punctele experimentale, de durată scurtă, se aliniază destul de bine după linii drepte, mai ales dacă se abandonează punctele cu v_6 . La scara figurii s-ar părea că valorile extrapolate ar fi în concordanță cu cele experimentale, de durată lungă. Nu se dau însă nici măcar erorile procentuale între acestea.

Determinarea limitei tehnice de fluaj de $1/10^4$ și $1/10^5$ se prezintă în fig.2.7.b. pentru fontă cu grafit modular cu 0,5% Molibden. Valorile $\sqrt{1/t}$ se pot citi la scara $1/t$ direct din figură.

La aproximarea rezistenței tehnice de durată $\sqrt{1/t}$ lucrurile se complică prin faptul că extrapolările se fac cu referire la "deformăția redusă mijlocie" [2.77]. Chiar autorii [2.75] propun să se folosească mai puțin metoda lor în această alternativă.

- 2.1. VASCIENKO, K.I., SOFRONI, L. : Fonta cu grafit nodular.
Edit.Tehnică, Bucureşti 1957
- 2.2. GRANACHER, J. : Zur Extrapolation der Zeitstandfestigkeit
warmfester Stähle. Dissert.Darmstadt 1970
- 2.3. LARSON, F.R., MILLER, J. : A Time-Temperature Relationship
for Rupture and Creep Stresses. Transactions ASME 74
(1952), p.765-775
- 2.4. MANSON, S.S., BROWN, W.F. : Time-Temperature-Stress Relations
for the Correlation and Extrapolation of Stress-Rupture Data
Proc. ASTM(1953), p.693-719
- 2.5. BAILEY, R.W. : A Critical Examination of Procedures Used in
Britain and the United States to Determine Creep Stresses
for the Design of Power Plant for Long Life at High Tempera-
tures. Proc. IME 168(1954), p.470-492
- 2.6. KRISCH, A., WEPNER, W. : Zur Umrechnung von Zeitstandwerten
aus anderen Temperaturen. Arch.f.Eisenhüttenwesen 28(1957),
p.339-344
- 2.7. BETTERIDGE, W. : The Extrapolation of the Stress-Rupture
Properties of the Nimonic Alloys. J.Inst.Metals 36(1957-58),
p.232-237
- 2.8. GOLDMOFF, R.H. : Which Method for Extrapolating Stress-
Rupture Data ? Mat.Design Engng.(1959), April, p.93-97
- 2.9. GOLDMOFF, R.H. : Comparison of parameter methods for extre-
polating high temperature data. Journ.Basic Engineering
1959, 31, p.629
- 2.10. SMITH, A.J., JENKINSON, A.E., ARMSTRONG, O.J. : The Long-Time
Creep Properties and Structural Stability of a 0,24% Carbon
Steel and a 0,5% Molybdenum Steel. Internat. Aussprache
Düsseldorf(1960) Si Iron and Steel(1961), p.647-651
- 2.11. MANSON, S.S. : Design Considerations for Long Life at Ele-
vated Temperatures. Joint Internat.Conf.on Creep, James
Clayton Lecture, NASA Lewis Techn. Preprint, 1-63(1963)
- 2.12. ZSCHOKKE, H., FRIEDEL, K. : Die Auswertung von Zeitstandver-
suchen an warmfesten Stählen mit Hilfe von Parameterformeln
Brown Boveri Mitt.(1965), p.232-233
- 2.13. JOHNSON, R.F., GLEN, J., MAY, M.J., THURSTON, H.G., ROSE, B.H. :
The analysis and assessment of elevated-temperature lower
yield or proof stress, creep, and stress rupture data.
High-Temperature Properties of Steels, Eastbourne, 1960
ISI Publ. 97(1967), S.61-78
- 2.14. COLLIN, J., BRIJU, R., DUPONT, C. : Comportement au flUAGE d'un
alliage au Ni-Cr-Mo (Udimet 500) etude de la corrélation
contraintes-températures-temps. Rev.Métallurgie(1968),
S.691-703
- 2.15. THIELMANN, R.H., PAICKER, B.H. : Fracture of Steels at Elevated
Temperatures after Prolonged Loading Metals Technology
(1959), April, S.1-18

- 2.16. AKERHEDUS, SWANTE : Zeitschrift phys.Chemie(1889), p.226-48
- 2.17. HOLLOWAY, F.C., GRANT, E.J. : An empirical Relationship between Rupture Life and Minimum Creep Rate in Creep-Rupture Tests. Proc.ASTM(1956), p.539-620
- 2.18. HOLLOWAY, J.H., JAFFE, L.C. : Time-Temperature Relations in Tempering Steel. Trans.AIME, Iron and Steel Division, v. 162, 1945, p.223-249
- 2.19. GRANT, E.J., HUCKLIN, A.G. : On the Extrapolation of Short Time Stress Rupture Data. Trans.ASM, v.42, 1950, p.720-751
- 2.20. ROBINSON E.I. : "Effect of Temperature Variation on the Long-Time Rupture Strength of Steels". Transactions ASME 74(1932), p.777-781
- 2.21. FISHER, J.C., MACGREGOR, C.W. : Tension Tests at Constant True Strain rate. Journal of Applied Mechanics. Trans. ASME v.67, 1945, p.A-824
- 2.22. FISHER, J.C., MACGREGOR, C.W. : A Velocity-Modified Temperature for the Plastic Flow of Metals. Journal of Applied Mechanics. Trans.ASME v.68, 1946, p.A-11
- 2.23. HOLLOWAY, J.H., DUBAHN, J.D. : The Flow of Metals at Elevated Temperatures. part.1. General Electric Review. v.50, febr.1947, p.28,32 ; april 1947, p.44-50
- 2.24. HOLLOWAY, J.H., ZENER, C. : Problems in Non-Elastic Deformation of Metal. Journal of Applied Physics, v.17 febr. 1946, p.69-82
- 2.25. SEITZ, F. : Physics of Metals. McGraw-Hill Book Company, Inc., New York, N.Y., 1943, p.137-142
- 2.26. x x x : Digest of Steels for High Temperature Service. Timken Roller Bearing Company, Steel and Tube Division, fifth edition, 1946
- 2.27. DUSHMAN, S. : Cohesion and Atomic Structure. Proceedings of the ASTM, v.29, 1929, p.7-64
- 2.28. HEDRENBERG, A.E. : Master Curves Simplify Stainless Tempering. Steel, v.127, oct.23, 1950, p.72-74
- 2.29. PORTER, P.K., SMITH, L.W., MILLER, J. : Utilization of Low Alloy Materials for High Temperature Applications. AF Technical Report No.6221, Air Materiel Command, Wright-Patterson Air Force Base
- 2.30. GUARINIERI, G., MILLER, J. : Short Time High Temperature Deformation Characteristics of Several Sheet Alloys. Trans.ASM, vcl.41, 1949, p.167-188
- 2.31. SHIRLEY, O.D., LITTON, J.L., DORN, J.E. : Acta Metallurg. (1957), 5, p.219
- 2.32. SHIRLEY, O.D., DORN, J.E. : Effect of Cold Rolling on the Creep Properties of Several Aluminium Alloys. Trans. ASM, vol.43, 1951, p.611-634
- 2.33. DORN, J.E., TIEF, T.D. : Aluminium Sheet Alloys. Proceedings of the ASTM, v.49, 1949, p.815

- 2.34. LARKE, B.C., INGLIS, N.P.: A Critical Examination of some Methods of Analysing and Extrapolating Stress-Rupture Data. Joint Internat. Conf. on Creep, London IME 1963 Paper 50
- 2.35. BANDEL, G., GRAVENHORST, H.: Verhalten warmfester Stähle im Zeitstandversuch bei 500° bis 700°C Teil II. Antwortungsverfahren. Archiv f. Eisenhüttenwesen, 28(1957), p. 253-258
- 2.36. BETTERLIDGE, W.: The extrapolation of the stress-rupture properties of the Nimonic Alloys'. J. Inst. Metals, 1957-58, 86, 232
- 2.37. CAUBO, J.: Mathemat. Metallurgical Reports (Belgie) No 27/1971
- 2.38. MANSON, S.S., SUCCOP, G., BROWN, W.P.: The Application of Time Temperature Parameters to Accelerated Creep-Rupture Testing. Trans. ASM(1959), S. 911-934
- 2.39. BUNGARDT, K., SCHMIDT, E.: Comparison of various methods of extrapolating rupture data. Brit. I.S. Inst. Translation Service, 1961, No. 2169
- 2.40. van LEUVEN, H.P.: Predicting material behaviour under load, time and temperature conditions. AGARD Report 513(1965)
- 2.41. MANSON, S.S., HAVERD, A.M.: A Linear Time-Temperature Relation for Extrapolation of Creep and Stress-Rupture Data. NASA TN 2890 (1953)
- 2.42. CONWAY, J.B.: Numerical Methods for Creep and Rupture Analyses New York : Gordon and Breach 1967
- 2.43. FABRITIUS, H.: Arch. f. Eisenhüttenwesen 33(1962) 1, p. 35-47
- 2.44. HOZNEK, J.: Ein neues Verfahren zur Extrapolation der Zeitstandwerte durch genauere Bestimmung des Parameters von Larson-Miller. Neue Hütte (1968, p. 493-496
- 2.45. BUNGARDT, K.: Verhalten warmfester Stähle im Langzeit-Standversuch bei 500 bis 800°C. Teil V. Ergebnisse der Zeitstandversuche an austenitischen Stählen und Legierungen. Arch. f. Eisenhüttenwesen 28(1957) 5/6, p. 287-304
- 2.46. MANSON, S.S., SUCCOP, G.: Stress-Rupture Properties of Inconel 700 and Correlation on the Basis of Several Time-Temperature Parameters. ASTM STP 174(1956), p. 40-46
- 2.47. CLAUSS, F.J.: An Examination of High-Temperature Stress-Rupture Correlating Parameters. Proceeding ASTM(1960), p. 905-927
- 2.48. MENDELSOHN, A., ROBERTS, E., MANSON, S.S.: Optimization of Time-Temperature Parameters for Creep and Stress-Rupture with Application to Data from German Cooperative Long-Time Creep Programm. NASA TN D-2975(1965)
- 2.49. NACHTELBERGER-KANTNER: Beitrag zur schneller Ermittlung der Kriechverhalten vom Stahl nach der Verfahren von Rajakowics. Arch. f. Eisenhüttenwesen 1973/2/febr. p. 135-141
- 2.50. GRAHAM, A., WALLS, K.F.A.: Relationships between Long- and Short-Time Creep and Tensile Properties of a Commercial Alloy, J. Iron and Steel Inst. (1955) A, 105-119

- 2.51. CHITTY, A., DUVAL, D. : The Creep-Rupture Properties of Tubes for High-Temperature Steam Power Plant. Joint Internat. Conf. on Creep, London, IME, 1963, Paper 2
- 2.52. MURRY, G. : Discussion de quelques formules paramétriques utilisées pour l'extrapolation des résultats d'essais de fluage. Nouvelle formule proposée. Revue de Métallurgie (1963), p.775-795
- 2.53. MURRY, G. : Extrapolation of the Results of Creep Tests by means of Parametric Formulae. Joint Internat. Conf. on Creep., London IME, 1963, Paper 73
- 2.54. GAROFALO, F., SMITH, G.V., ROYLE, B.W. : Validity of time-compensated temperature parameters for correlating creep and creep-rupture data. Trans. Amer. Soc. mech. Engrs, 1956 78.1423
- 2.55. ITIN, V.I. : Metod obrabotki rezul'tatov ispitaniia na dilitel'nuu prochnosti. Zavodskaiia Laboratoria Tom XXV, p.1492-1496, moscova (1959)
- 2.56. CONSTANTINESCU, A. : Contributii la extrapolarea rezultatelor incercării de fluaj, teză de doctorat, Timișoara, 1970
- 2.57. CONSTANTINESCU, A., ROTANSTEIN, B., LASCU-SIMION, N. : Flujul metalelor. Edit. Tehnică Bucureşti 1970
- 2.58. GAROFALO, F. : Fundamentals of Creep and Creep-Rupture in Metals. New-York, Macmillan 1965
- 2.59. ZIERLING, S. : Description détaillée d'une méthode d'extrapolation du temps de rupture d'un alliage industriel. Mém. scient. Rev. Métallurgie (1966 oct.), p.849-862
- 2.60. SZERKES, G. : Fractional iteration of exponentially growing functions. Australian Math. Journ. (1961), p.301-320
- 2.61. MORRIS, K. T., SZERKES, G. : Tables of logarithms of iteration of $e^x - 1$. Australian Math. Journ. (1961), p.321-333
- 2.62. ZIERLING, S. : La fonction exponentielle d'ordre réel et son application pour la description du procédé du fluage. Zeitschrift für angewandte Mathematik und Physik. 17(1966), p.417-424
- 2.63. BROZIC, P. : A Method for the Extrapolation of Creep and Stress-Rupture Data of Complex Alloys. Joint Internat. Conf. on Creep, London, IME, 1963, p.67
- 2.64. NOVICK, A.S., MACHLINE, E.S. : Quantitative Treatment of the Creep of Metals by Dislocation and Rate. Process Theories NACA TN 1039 (1946)
- 2.65. HARIL, G.T., CHILD, H.C. : A Statistical Study of the Creep and Fatigue Properties of a Precision-Cast High-Temperature Alloy. J. Iron and Steel Inst. (1954) p.284-290
- 2.66. ZERMUHL, R. : Praktische Mathematik für Ingenieure und Physiker, Berlin, Springer 1953
- 2.67. SHARBY, C.A., LITTON, J.L., DORN, J.E. : Acta Metallurg. (1957), 5, p.219

- 2.68. DORN, J.E. : Mechanical Behaviour of Materials at Elevated Temperatures. New York, Toronto, London, 1961, p.169
- 2.69. DORN, J.E. : Some fundamental experiments on high temperature creep. Symposium NPL (1954)
- 2.70. GOLDHOFF, R.M. : Comparison of parameter methods for extrapolating high temperature data. Trans. ASME, Series B, v.81, nr.4(1959), 629
- 2.71. ALLEN, N.P. : The extrapolation of creep tests. A review of recent opinion. London Local Section, Inst. Met. (3 nov. 1960)
- 2.72. DORN, J.E. : Some fundamental experiments on high temperature. Creep and Fracture of Metals at High Temperature. Symposium National Phys. Lab., London (1956), p.86-134
- 2.73. ZIMMERMANN, S. : Une nouvelle méthode d'extrapolation du temps de rupture d'une alliage industriel. Rev. Metallurg. 62(1965), p.939-950
- 2.74. GLEN, J. : A New Approach to the Problem of Creep. J. Iron and Steel Inst. (1958), p.333-343
- 2.75. RAJAKOVICS, E., NECHTELEBERGER, E. : Beitrag zur Schnellbestimmung des Warmkriechzugverhaltens von Gussseisen mit Kugelgraphit. Giesserei-Handschau 17(1970), 3, p.19-26
- 2.76. RAJAKOVICS, E., MAIER, H.O. : Untersuchungen über die Warmfestigkeitseigenschaften von Aluminiummetalllegierungen. Z. Metallkunde, 34(1942), p.173/87
- 2.77. RAJAKOVICS, E. : Schnellbetsimmung des Kriechverhaltens von Aluminium-Gusswerkstoffen durch Warm-Kriechzugversuchs. Aluminium 44(1968)11, p.679/82
- 2.78. ORR, L.K., SHERBY, O.D., DORN, J.E. : Correlation of Rupture Date for Metals at Elevated Temperatures. Transactions ASM (1954), p.113-128
- 2.79. INGLIS, N.P., LARKE, E.C. : Strength at elevated temperatures of aluminium and certain aluminium Alloys. Proc. Instn. mech. Engrs, London 1958, 172, 991

**3. CONTRIBUȚII LA DURABILITATEA PRIN EXAMINAREA
REZISTENȚEI TEHNICE DE DURATA A FONTELOR CU GRAFIT
NODULAR ÎN BAZA INCERCARILOR LA 4 TEMPERATURI.**

3.1. În partea experimentală a lucrării se analizează în primul rând rezultatele determinării rezistenței tehnice de durată $t_r/10000$ la temperatura de 425°C a fontei cu grafit nodular elaborată de U.C.M. Reșița cu structura feritică. Se face calculul acestei caracteristici prin mai multe metode parametrice și analitice. Se analizează valabilitatea acestor metode pentru interpolare și extrapolare în baza indicilor statistici, prin compararea rezultatelor calculate cu cele experimentale. Se prezintă optimizări ale metodelor clasice.

Materialul a fost furnizat în formă de probe până (JIS 6071-72), compoziția chimică și caracteristicile mecanice la temperatură ambientă sunt date în Tabela 3.1.p.191 (fontă cu grafit nodular calitatea P) [3.1], respectiv Tabela 4.1, pag.156.

Din probă până s-au străduit epruvete cu $d_0 = 12 \text{ mm}$, $t_0 = 40 \text{ mm}$ cu capete filetate (vezi figura 3.1).

3.1.1. Rezultatele experimentale \bar{t}_r și t_r au fost trecute în Tabela 3.1 și au fost marcate prin puncte în figura 3.1.a intr-un sistem de axe dublu logaritmice $\lg \bar{t} - \lg t_r$.

În baza acelorași rezultate s-au determinat prin metoda celor mai mici patrate [3.2] ecuațiile dreptelor de regresie a rezistenței tehnice de durată în sistemul de coordonate respectiv ($\lg \bar{t} - \lg t_r$).

În calcule s-a considerat $\lg \bar{t}$ ca variabilă independentă iar $\lg t_r$ ca variabilă dependentă, întrucât aceasta din urmă are dispersii mult mai mari. Ecuația dreptei rezistenței tehnice de durată pentru fiecare temperatură de incercare este de forma:

$$(3.1.a) \dots \lg t_r = a + b \cdot \lg \bar{t} \quad \text{unde:}$$

$$(3.1.b) \dots a = \frac{(\sum \lg^2 \bar{t}) \cdot \lg t_r - (\sum \lg \bar{t}) \cdot (\sum \lg t_r)}{n (\sum \lg^2 \bar{t}) - (\sum \lg \bar{t})^2}$$

$$(3.1.c) \dots b = \frac{n \cdot \sum (\lg \bar{t} \cdot \lg t_r) - (\sum \lg \bar{t}) \cdot (\sum \lg t_r)}{n (\sum \lg^2 \bar{t}) - (\sum \lg \bar{t})^2}$$

n fiind numărul de puncte experimentale.

În Tabela 3.1.a se prezintă un exemplu pentru schema de calcul al acestor coeficienți pentru nivelul de temperatură de 475°C .

Tabelele notate cu *) se găsesc la paginile 147 ... 152

Tabela 3.1.a

Nr. crt.	$\frac{r/t}{kg/mm^2}$	$lg \sigma$	t ore	$lg t$	$lg^2 \sigma$	$lg \sigma \cdot lg t$
1	10,5	1,02119	880	2,94448	1,0430	3,0068735
2	11	1,04139	534	2,72754	1,0845	2,8404328
3	11,5	1,06070	280	2,44716	1,1250	2,5957026
4	12	1,07918	237	2,37475	1,1646	2,5627827
5	13	1,11394	153,5	2,18611	1,2410	2,4351953
6	14	1,14613	97	1,98677	1,3134	2,2770967
		6,46253		14,66621	6,9715	15,71803

Calculele s-au făcut la un calculator digital "Felix C E 32" ; tabele similare s-au întocmit pentru toate cele 52 de încercări și 4 nivele de temperatură, care nu s-au mai reprodus.

Ecuatiile dreptelor rezistențelor tehnice de durată pentru cele 4 temperaturi specificate sunt date în Tabela 3.1.b.

Tabela 3.1.b

Temperatura de încercare $^{\circ}C$	Ecuția dreptei $lg t_1 = a_1 + b_1 \cdot lg \sigma$ $b_1 = 1 - 4$	Nr. relației
$t_1 = 425^{\circ}C$	$lg t_1 = 21,12409 - 13,93510 \cdot lg \sigma$	(3.1.d)
$t_2 = 437,5^{\circ}C$	$lg t_2 = 17,99632 - 11,99980 \cdot lg \sigma$	(3.1.e)
$t_3 = 450^{\circ}C$	$lg t_3 = 14,15679 - 9,45478 \cdot lg \sigma$	(3.1.f)
$t_4 = 475^{\circ}C$	$lg t_4 = 9,96981 - 6,96549 \cdot lg \sigma$	(3.1.g)

Cu aceste relații s-au calculat logaritmii Briga și duratelor pînă la rupere în Tabela 3.1.c pentru diferite nivele de temperatură, care a permis o extrapolare liniară pînă la $t_1 = 10^4$ ore la temperatură de $425^{\circ}C$; se obține astfel $\frac{r}{r/10000} = 16,9 \text{ kgf/mm}^2 \approx 17 \text{ kgf/mm}^2$ la un raport de extrapolare [3.6] $R_{ZV} < 10$:

$$R_{ZV} = \frac{\text{durata maximă calculată}}{\text{durata maximă a încercării}} = \frac{10000}{1272} = 7,86$$

S-a adoptat acest raport destul de redus pentru a se facilita verificarea experimentală pe curba interpolată la $t_1 = 425^{\circ}C$ a valorilor calculate din temperaturile superioare.

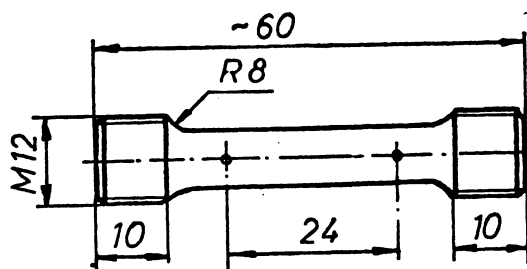
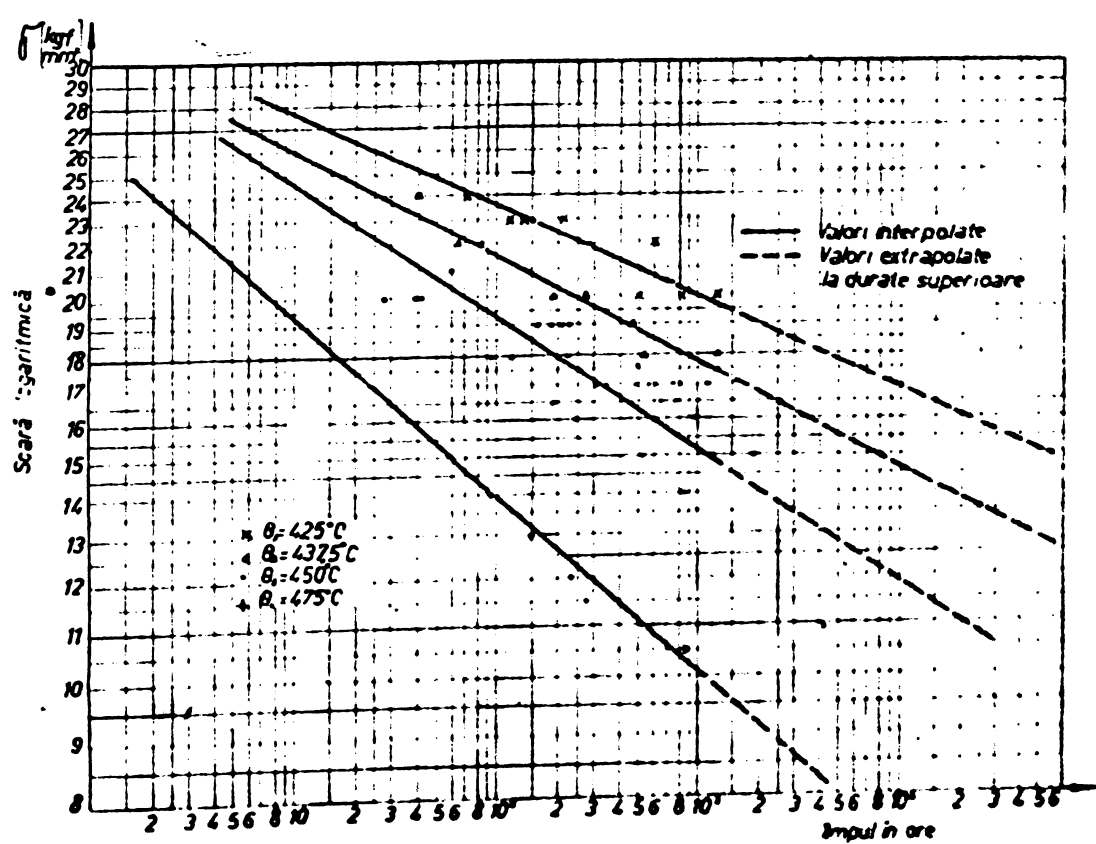


Figura 3.1

Capitolul 3.1

Figura a



Tabel 3.1.c

Nr. ert.	Tensiunea de incercare σ_r/t kgf/mm ²	Duratele pînă la rupere, lg t ₁ , calculate cu relațiile (3.1. d, e, f, g)			
		$t_1 = 425^{\circ}\text{C}$	$t_2 = 437,5^{\circ}\text{C}$	$t_3 = 450^{\circ}\text{C}$	$t_4 = 475^{\circ}\text{C}$
		lg t ₁	lg t ₂	lg t ₃	lg t ₄
1	27	1,17795	0,820	0,62360	0
2	26	1,40634	1,01668	0,77856	0,11385
3	25	1,64366	1,22104	0,93957	0,23247
4	24	1,89073	1,43380	1,10721	0,35597
5	23	2,14825	1,65556	1,28193	0,48469
6	22	2,41733	1,88728	1,46450	0,61920
7	21	2,69882	2,12968	1,65549	0,75990
8	20	2,99411	2,38396	1,85584	0,90750
9	19	3,30458 ^x	2,65132	2,06649	1,06269
10	18	3,63178 ^x	2,93308	2,28843	1,22624
11	17	3,97765 ^x	3,23092 ^x	2,52316	1,39912
12	16	-	-	2,77210	1,5826
13	15	-	-	3,03712	1,7800
14	14	-	-	3,32030	1,98677
15	13	-	-	-	2,18611
16	12	-	-	-	2,37475
17	11	-	-	-	2,72754

^x valori extrapolate linear la duree superioare

3.1.2. Pentru a analiza justitatea aplicării formulelor parametrice s-a făcut ipoteza că se cunosc valoile interpolate pentru încercări la 2 nivele de temperatură $437,5^{\circ}\text{C}$ și 450°C , urmînd să se determine din încercări la aceste 2 nivele de temperatură superioare legea de variație $\lg t = f(\lg \sigma)$ pentru temperatura de serviciu $t_1 = 425^{\circ}\text{C}$, să se compare cu valorile experimentale interpolate și să se calculeze abaterile.

3.2. Determinarea rezistențelor tehnice de durată în baza încercărilor la temperaturi superioare

3.2.1. Metode parametrice care admit colinearitatea punctelor în diagrama $\lg t - 1/T$

3.2.1.1. Metoda parametrică Larson-Miller

Această metodă se bazează pe ecuația stabilită pentru viteza reacțiilor chimice, [3.3] de Svante Arrhenius.

$$-\frac{\Delta H}{R T}$$

(3.2) $v_f = A \cdot e^{-\frac{\Delta H}{R T}}$ unde

v_f - vitesa de fluaj; A - constantă de material; R - constanta gazelor perfecte ($Bul. 99 \text{ cal}^{\circ}\text{K mol}^{-1}$); ΔH - energia de activare termică; T - temperatura reacției în grade Kelvin.

Larson și Miller admit că fluajul ca și autodifuziunea ascultă de o lege de reacție cu viteză corelată de variația temperaturii ("rate process theory") [3.4], folosind și ipoteza confirmată de Monkman și Grant [3.5] că viteză minimă de fluaj este invers proporțională cu timpul necesar pentru producerea reacției

(3.2.a) $v_{f\min} = \frac{1}{t_p}$

care conduce la relația:

$$T (\lg A - \lg v_{f\min}) = \frac{\Delta H}{2,3 R} \text{ și}$$

(3.2.b) $T (C + \lg t_p) = \frac{\Delta H}{2,3 R} = f(T) = \text{constantă} = P_{LM}$

în care $C = \lg A$ se consideră independentă de tensiune. Se va arăta mai jos că această condiție nu este satisfăcută decât în cazul optimizaților, iar ΔH este dependent de nivelul de solicitare. Relația $P_{LM} = f(T)$ este cunoscută în literatură sub denumirea "parametrul L-M".

Din relația 3.2.b rezultă:

(3.2.c) $\lg t_p = \frac{f(T)}{T} - C$

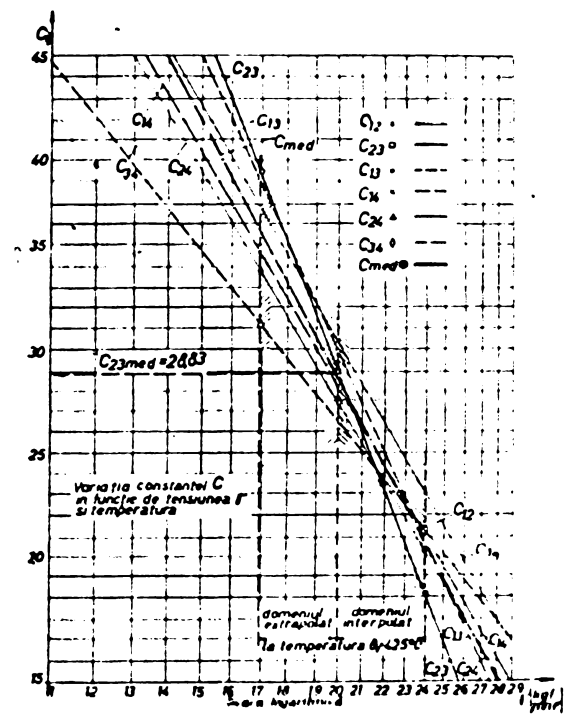
care reprezintă o familie de drepte, cu parametrul: tensiunea în sistemul $\lg t_p = 1/T$, cu punct comun de intersecție în C (figura 3.2.2 — Capitolul 2.4.2).

Basindu-se pe această reprezentare standardul STAS 8894-71 stipulează determinarea grafică a acestei constante prin prelungirea dreptelor experimentale pînă la intersecția cu axa ordonatelor. Încovîntul acestei metode constă în faptul că prin prelungirea dreptelor cu 7-10 ori din distanța dintre punctele experimentale se amplifică erorile grafice, ce depășesc astfel $\pm 2\%$.

De aceea s-a adoptat o altă metodă pentru determinarea constantei. Relația de calcul a constantei C pentru o valoare constantă a tensiunii rezultă din (3.2.b) scriind că parametrul P_{LM} pentru două combinații diferite între t și T are aceeași valoare:

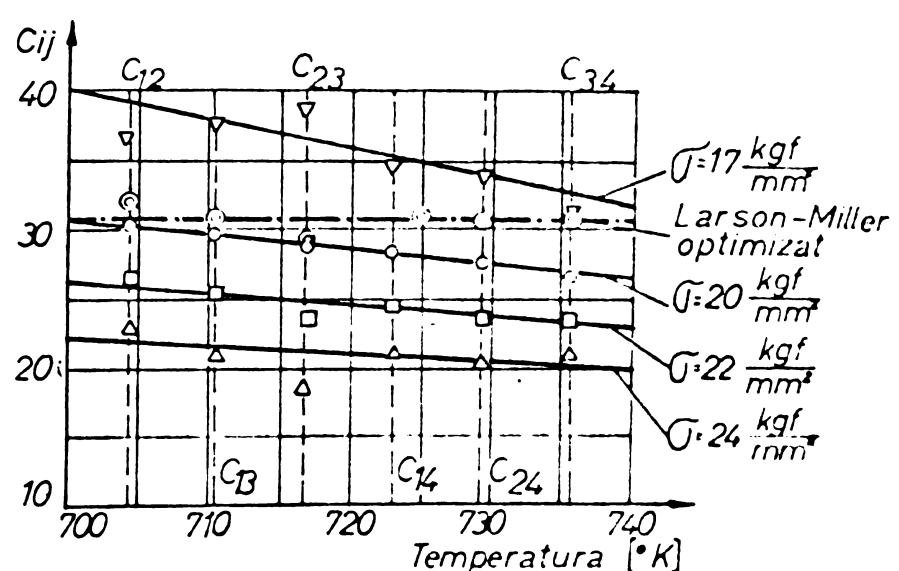
$$P_{LM} = T_2(\lg t_2 + C_{23}) = T_3(\lg t_3 + C_{23}), \text{ de unde} \dots$$

$$C_{23} = \frac{T_3 \lg t_3 - T_2 \lg t_2}{T_3 - T_2} \quad (3.2.d)$$



Capitolul 3.2

Figura a



Capitolul 3.2

Figura b

Cu (3.2.d) s-a calculat valoarea constantei pentru următoarele valori ale tensiunii: 17; 20; 22; 24 kgf/mm^2 . Mărimile $\lg t_1$ corespunzătoare tensiunilor respective și temperaturilor $T_2 = 437,5^\circ\text{C}$ ($710,5^\circ\text{K}$) și $T_3 = 450^\circ\text{C}$ (723°K) s-au calculat cu ecuațiile dreptelor (3.1.e) și (3.1.f) din tabela 3.1.b). Pe baza rezultatelor obținute s-a întocmit Tabela 3.2.g și s-a trasat diagrama $C_{23} = f(\lg \sigma)$ în fig.3.2.g.

Diagrama arată că valoarea constantei C_{23} din relația (3.2.d) în cazul materialului examinat este puternic influențată de nivelul solicitării.

Pe de altă parte pentru mărirea preciziei extrapolării s-a trecut la calculul efectiv al constantei $C = f(\sigma)$ - unde nu s-au mai considerat cele două temperaturile superioare $t_2 = 437,5^\circ\text{C}$ și $t_3 = 450^\circ\text{C}$, ci toate cele șase trepte. Se obțin astfel 6 constante. (Dispersia accentuată a constantei pentru același nivel de temperatură este semnalată și de alții autori [3.6] [3.7] [3.8] [3.9] [3.10] [3.11]). Tinind seama de aceste disperziuni pot ameliora rezultatele calculului). Pentru fiecare nivel de solicitare sunt $C_4^2 = 6$ constante; din acestea doar 3 sunt valori independente (C_{12} , C_{23} și C_{34}) iar celelalte 3 rezultă algebric (C_{13} , C_{14} și C_{24}). Deacă se scriu ecuațiile de forma (3.2.d) pentru C_{12} , C_{23} și C_{13} , rezultă $C_{13} = f(C_{12}, C_{23})$ etc. Într-adevăr:

$$C_{12} = \frac{T_1 \lg t_1 - T_2 \lg t_2}{\Delta T_{12}}, \quad C_{23} = \frac{T_2 \lg t_2 - T_3 \lg t_3}{\Delta T_{23}} \quad \text{și}$$

$$C_{13} = \frac{T_1 \lg t_1 - T_3 \lg t_3}{\Delta T_{23}}, \quad \text{în care } \Delta T_{23} = m \cdot \Delta T_{12} \text{ și } T_{13} = (m+1) \cdot T_{12}$$

De unde rezultă:

$$C_{13} = \frac{C_{12} + m C_{23}}{m + 1}, \quad \text{s.a.m.d.}$$

Cunoscând acești coeficienți C_{ij} se poate calcula durata pentru unii și care din cele 3 nivele de temperatură în baza ecuațiilor la o singură temperatură. Variația constanțelor în funcție de tensiune este reprezentată de ascensiunea în Tabela 3.2.g și Figura 3.2.g. Se observă că pentru aceleași valori ale tensiunii ; dispersia constanțelor prezintă un minim pentru $\sigma \approx 20 \text{ kgf/mm}^2$ și crește cu raportul de extrapolare - atât la durate inferioare - cât și la cele superioare. Pentru a evidenția această dispersie și mai bine, s-a făcut reprezentarea din figura 3.2.h, unde s-a conceput o diagramă cu temperatură absolută ($^\circ\text{K}$) în abscise și valorile constantei în ordonate, în care cele 6 valori ale constanțelor sunt trecute pentru 4 nivele de tensiune.

Această reprezentare prezintă un avantaj față de figura 3.2.b. Căt timp diagrama $C_{ij} = f(\lg \bar{\tau})$ nu permite, decit calculul duratelor pentru cele 3 trepte de temperatură pentru care se cunosc valorile C_{ij} , diagrama $C_{ij} = f(T)$ permite acest calcul pentru orice treaptă intermediară de temperatură, putindu-se face și extrapolări ușoare la temperaturi inferioare sau superioare apropiate. Calculurile însă vor prezenta mici abateri în limita dispersiilor. În plus pentru întocmirea diagramei sunt necesare cel puțin 4 trepte de temperatură, în timp ce diagrama $C_{ij} = f(\lg \bar{\tau})$ poate fi întocmită și cu 2 sau 3 trepte de temperatură.

Pentru calcule s-a adoptat - în concordanță cu cele de mai sus - valoarea medie a constantei $C_{23\text{med}} = 28,82797$, determinată din încercări la temperaturile $\theta_2 = 437,5^\circ\text{C}$ și $\theta_3 = 450^\circ\text{C}$.

In scopul studierii modificării rezultatelor în funcție de valoarea constantei adoptate, s-a calculat parametrul Larson-Miller în două ipoteze:

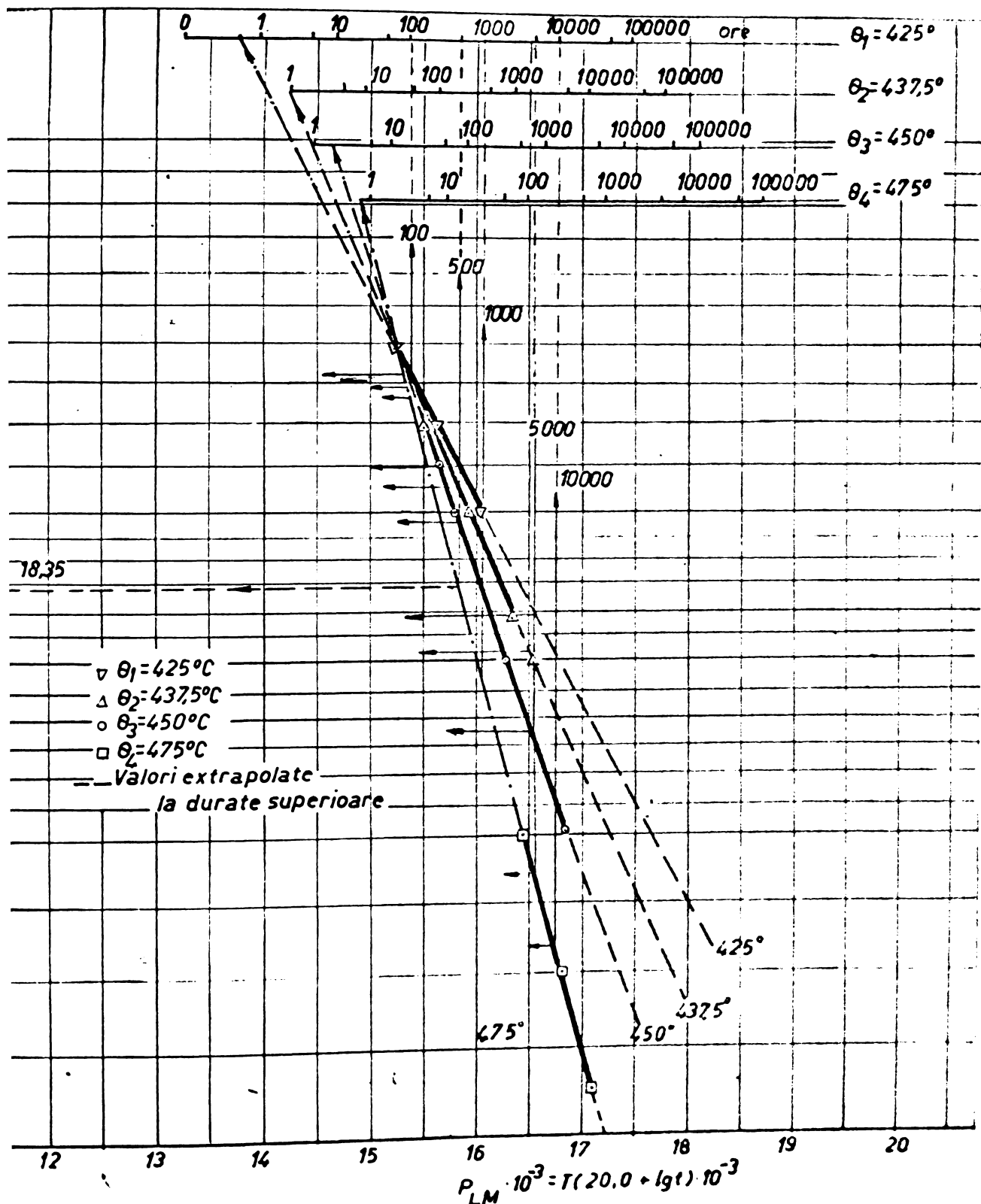
- a) constanta $C = 20$
- b) constanta $C_{23\text{med}} = 28,82747$

a) În Tabela 3.2.b* s-au calculat valoările pentru parametrul Larson-Miller la temperaturile $710,5$ și 723°K , adoptând constanta $C = 20$. Această valoare prezintă frecvența maximă în histogramale traseate pentru toate materialele [3.12]. În Tabela 3.2.b sunt trecute valoările: $P_2 = 710,5(\lg t_2 + 20)$ și $P_3 = 723(\lg t_3 + 20)$ precum și valoarea lui $\lg t_1$: - durata pînă la rupere la temperatura de $\theta_1 = 425^\circ$ - determinată cu metoda Larson-Miller explicitată din condiția:

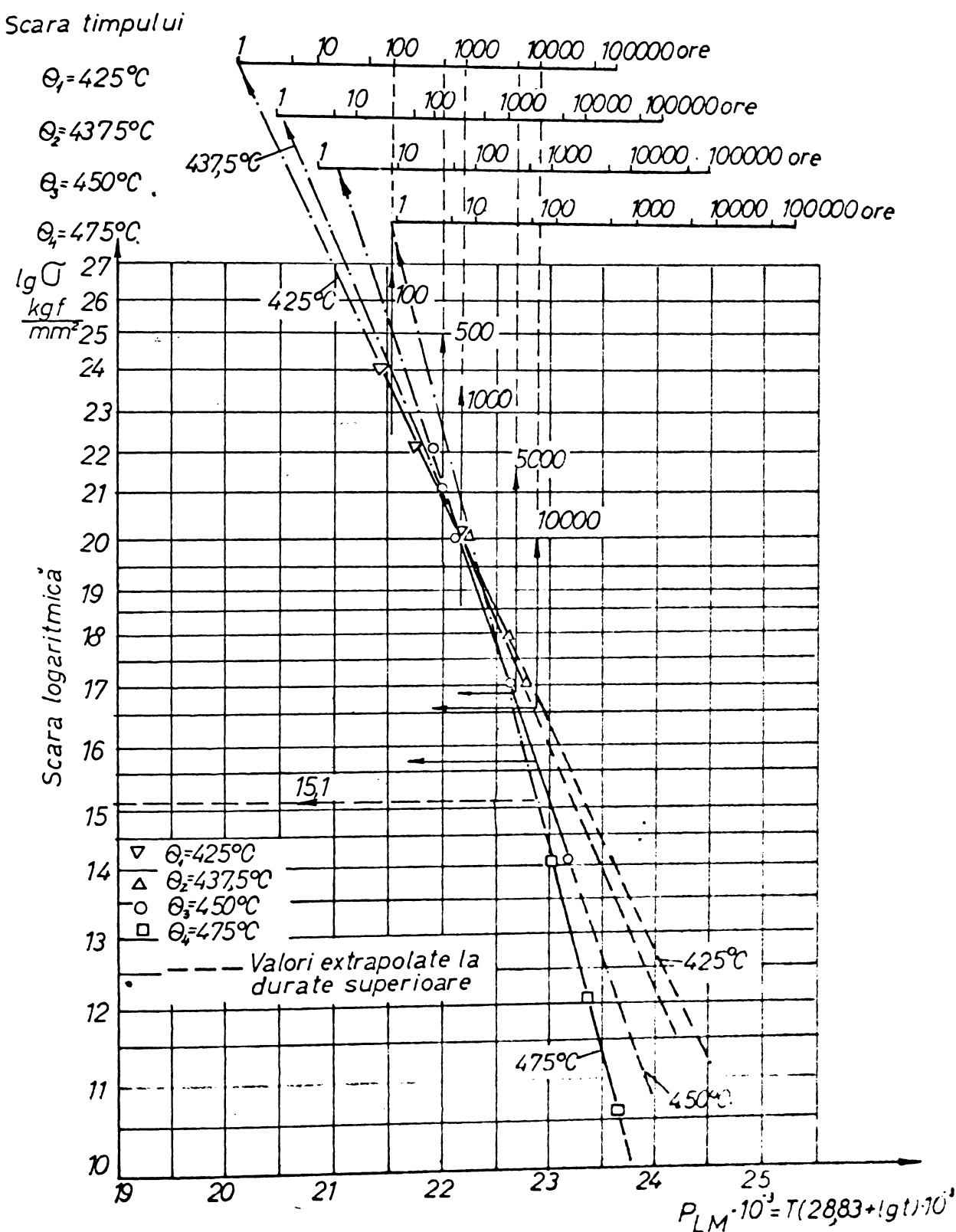
$$P_2 \approx P_1 = 698^\circ(\lg t_1 + 20) ; P_3 \approx P_1 ,$$

care s-au comparat apoi (Tabela 3.1.g) cu datele experimentale interolate.

Pentru completare s-au calculat și parametrii Larson-Miller pentru temperaturile 698° și 748° care sunt trecute în Tabela 3.2.c. Diagrama Larson-Miller s-a întocmit în figura 3.2.g, unde dreptele care reprezintă datele experimentale interolate sunt traseate plin. Se observă o dispersie din ce în ce mai accentuată a duratelor cu mărirea diferenței de temperatură ΔT [3.13]. Dispersia minimă se obține pentru punctul de intersecție al dreptelor la $\bar{\tau} = 23,5 \text{ kgf/mm}^2$, pentru care corespunde durata de $t_1 = 100$ ore la 425°C . Duratele calculate pentru $\bar{\tau} > 23,5 \text{ kgf/mm}^2$ sunt inferioare față de interpolare respectiv extrapolare liniară, diferențele crescind cu $\Delta \bar{\tau}$ și ΔT . Pentru $\bar{\tau} < 23,5 \text{ kgf/mm}^2$, duratele calculate sunt superioare celor experimentale.



Capitolul 3.2
Figura c



Capitolul 3.2

Figura d

In Tabela 3.2.g* s-a determinat scara timpului din diagrama Larson-Miller; in acest scop s-au calculat valorile parametrului pentru cele 4 trepte de temperatură ($P_1 \dots P_4$) pentru duratele 1; 10; 50; 100; 500; 1000 ... 100000 ore; scările sunt trecute in figura 3.2.c si 3.2.d.

Tabela 3.2.c

$\sigma_{r/t}$ kgf/ mm^2	$lg t_1 + 20$ ($lg t_1 + 28,83$)	P_1 (P_1')	Tensiunea de incercare $\sigma_{r/t}$ kgf/mm ²	$lg t_4 + 20$ ($lg t_4 + 28,83$)	P_4 (P_4')
24	21,89073 (30,72073)	15279,73 (21443,07)	14	21,33645 (30,31645)	16445,86 (23050,70)
22	22,41733 (31,24733)	15647,30 (21810,64)	12	22,4639 (31,2939)	16803,0 (23407,84)
20	22,99411 (31,83411)	16049,89 (22213,23)	10,5	22,85672 (31,68672)	17 (23701,67)

In baza acestei scări s-a obținut din diagrama, făcind intersecția verticalelor izocrone cu cele 4 drepte izoterme, 4 valori ale tensiunii pentru fiecare durată. Astfel dacă se calculează $\sigma_{r/t}$ pentru temperatura inferioară $\theta_1 = 425^\circ C$, considerând incercările date de izotermă $\theta_4 = 475^\circ C$, se obține $\sigma_4 = 18,35 \text{ kgf/mm}^2$, în timp ce data experimentală este $\sigma_1 = 20,95 \text{ kgf/mm}^2$. Aceste calcule sunt concentrate in Tabela 3.2.g, iar in Tabela 3.2.f sunt trecute abaterile procentuale ale tensiunilor din Tabela 3.2.e față de curba experimentală. In figura 3.2.e s-a reprezentat atât curba experimentală la temperatura de serviciu $\theta_1 = 425^\circ$, cît și punctele izocrone pentru durantele: 100; 500; 1000; 5000 și 10000 de ore. Aici se elucidează mai bine abaterile observate și în diagrama Larson-Miller. Astfel pentru durata de 10^4 ore, abaterile tensiunii cresc de la - 3,6% (calculat cu $\Delta T_{\min} = 12,5^\circ C$) la - 26,8% (la $\Delta T_{\max} = 50^\circ C$). Dimpotrivă la durata de 100 ore aceste abateri sunt neglijabile (-0,9% ... - 2,5%).

b) In Tabela 3.2.b și 3.2.g s-a repetat calculul de mai sus, luind pentru constanta $C_{med} = 28,83$ în loc de $C = 20$. Valorile sunt trecute in aceleasi linii și coloane in paranteze. In acest fel se pot compara mai ușor abaterile intre ele. Diagrama Larson-Miller s-a intocmit intru acest caz in figura 3.2.g.

Atât din Tabela 3.2.g și Tabela 3.2.f, cît și din figura 3.2.d se observă că abaterile procentuale sunt mult mai mici (unii ales la temperaturi inferioare), luind în loc de constanta generală $C = 20$, valoarea medie a constantei, calculată din incercări la 2 trepte de temperaturi superioare.

Tabela 3.2.9

σ kgf/ mm ²	t in ore:	100	500	1000	5000	10000
σ_1		23,3	20,95	19,9	17,8	16,8
(σ'_1)		(23,3)	(20,95)	(19,9)	(17,8)	(16,8)
σ_2		23,1	20,5	19,5	17,3	16,2
(σ'_2)		(23,9)	(20,25)	(19,8)	(17,6)	(16,6)
σ_3		23,0	19,75	18,5	15,7	14,6
(σ'_3)		(25)	(21,0)	(19,85)	(16,6)	(15,6)
σ_4		22,7	18,35	16,8	13,5	12,3
(σ'_4)		(27,9)	(22,4)	(20,7)	(16,3)	(15,1)

Tabela 3.2.10

σ kgf/ mm ²	t in ore:	100	500	1000	5000	10000
σ_2		- 0,9	- 2,2	- 2,0	- 3,0	- 3,6
(σ'_2)		(2,5)	0	(- 0,5)	(- 1,0)	(- 1,2)
σ_3		- 1,3	- 5,8	- 7,0	- 11,8	- 13,2
(σ'_3)		(7,3)	(0,2)	(- 0,2)	(- 6,8)	(- 7,1)
σ_4		- 2,5	- 12,5	- 15,5	- 24,2	- 26,8
(σ'_4)		(19,7)	(6,9)	(4,0)	(- 8,5)	(- 10,1)

3.2.1.2. Metoda parametrică Orr-Sherry-Dorn [3.14] se bazează de asemenea pe diagrama $\lg t = 1/T$ (figura 2.4.2.b).

Pentru a examina în ce măsură influențează rezultatele convergența ușoară a dreptelor, s-a calculat (vezi Tabela 3.2.9) panta medie a acestor drepte izostate, construite în baza încercărilor pentru temperaturile $710,5$ și 723°K , cu relația:

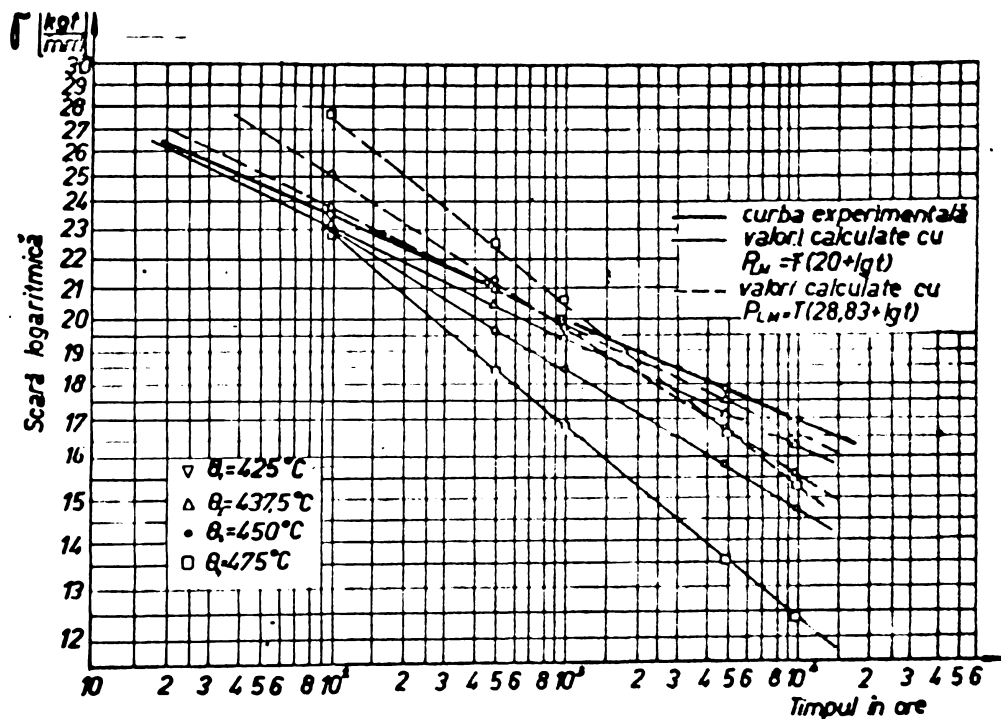
$$D_{23} = \frac{0,50781}{\frac{1}{T_2} - \frac{1}{T_3}} = \frac{0,50781}{0,23348 \cdot 10^{-4}} = 21749,6$$

în care $0,50781$ reprezintă valoarea medie pentru diferențele duratălor $\lg t_2$ și $\lg t_3$.

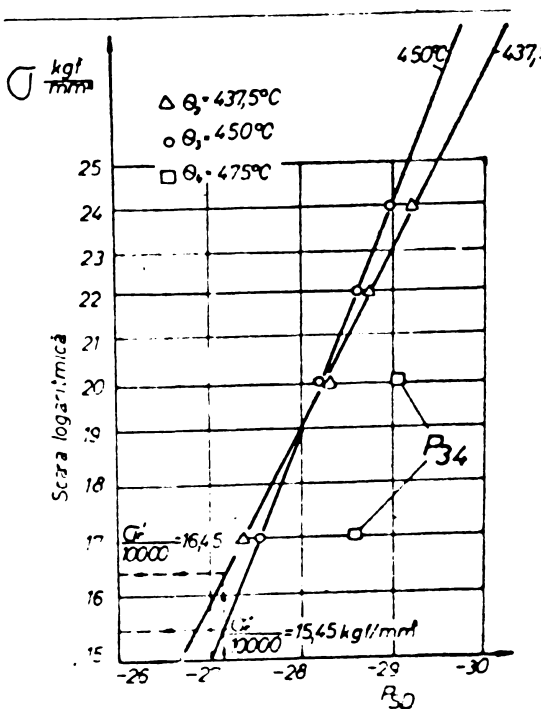
Parametrul O-S-D este: $P_{SD} = \lg t - \frac{D}{T}$

și din relația (3.2.c) urmează:

$$(3.2.e) \dots P_{SD_{med}} = C_{med}$$



Capitolul 3.2 Figura e



Capitolul 3.2

Figura f

Intr-adevăr

$$P_{SD3_{med}} = 28,35 \approx P_{SD2_{med}} = 28,36 \approx C_{23_{med}} = 28,83.$$

Pe de altă parte tot din relația (3.2.d) rezultă:

$$(3.2.f) \quad \dots \quad P_{LM_{med}} = f(\bar{t}) = D$$

Intr-adevăr:

$$P_{LM_{med2}} = 22086 \approx P_{LM_{med3}} = 22100 = D_{23} \approx 21750.$$

Ambele abateri sunt mai mici decit 2%. Deși relațiile (3.2.e) și (3.2.f) sunt foarte utile pentru verificarea calculelor, nu sunt indicate în literatura de specialitate.

Variatia parametrului P_{SD} s-a reprezentat în figura 3.2.g iar din valorile obținute s-au calculat duratele teoretice pentru temperatură inferioară (Tabela 3.2.g).

S-a renunțat la completare la folosirea datelor pentru temperatură $t_4 = 475^{\circ}\text{C}$, întrucât încarcările se referă la izostate pentru $C = 10,5 \dots 14 \text{ kgf/mm}^2$, care au deja abateri accentuate de la panta medie, ceea ce duce la creșterea erorii obținute la aplicarea metodei. Intr-adevăr din figură se observă dispersii mari ale lui P_{34} .

Tabela 3.2.g

r/t	$\frac{1}{t_2}$	$\Delta_{23} = \lg t_2 - \lg t_3$	$P_{SD3} \cdot \lg t_3$	$P_{SD2} \cdot \lg t_2$	$\lg t_1$	
			D_{23}	D_{23}	$P_{SD3} + \frac{D_{23}}{618}$	$P_{SD2} + \frac{D_{23}}{698}$
24	0,32659	- 28,9752	- 29,1569	2,1847	2,0035	
22	0,42278	- 28,6179	- 28,7030	2,5420	2,4563	
20	0,52812	- 28,2266	- 28,2063	2,9333	2,95325	
17	0,70776	- 27,5593	- 27,3593	3,6006	3,8006	
valoarea medie	0,50781	- 28,34475	28,3563	-	-	
$D_{23} = \frac{(\Delta_{23})_{med}}{\frac{1}{t_3} - \frac{1}{t_2}}$	21749,61	-	-	-	-	
D_{23}/t_1	-	30,08243	30,59024	32,31740		

3.2.1.2.1. Metoda parametrică O-S-D pentru 3 nivele de temperaturi

În baza valorilor din Tabela 3.1.g s-au calculat în Tabela 3.2.h pentru punctele interpolate $\Delta_{ij} = \lg t_i - \lg t_j$ și

$$D_{ij} = \frac{(\Delta_{ij})_{med}}{\frac{1}{t_i} - \frac{1}{t_j}}. \quad \text{Pe de altă parte din Tabela 3.2.g rezultă:} \\ D_{23} = 21.749,61.$$

Cu aceste valori s-a calculat valoarea globală:

$$D = \frac{3D_{12} + 4D_{23} + 2D_{31}}{9} = 21132,2 \text{ și parametrul } O-S-D:$$

$$P_{SD1} = lgt_1 - \frac{\alpha_1}{T_1} \quad (\text{unde } i = 1; 2; 3)$$

Pentru fiecare nivel de temperatură s-a obținut astfel o dreaptă cu pantă crescătoare cu temperatura ($T_1 < T_2 < T_3 : \alpha_1 < \alpha_2 < \alpha_3$). Intrucit dreapta izotermă T_1 se situează excentric față de T_2 și T_3 , eroarea va crește cu distanțarea valorilor față de punctul de intersecție ($G = 21 \text{ kgf/mm}^2$) al dreptelor. Dacă s-ar putea neglijă abaterea de paralelism dreapta T_1 trebuia să fie cuprinsă între T_2 și T_3 .

Cot în Tabelă 3.2.h s-au calculat parametrul S-D și pentru punctele experimentale medii și s-au trecut în fig.3.2.g. În baza acestor valori s-a traseat și curba de bază S-D.

S-a arătat mai sus că incercările la 475° nu se pot folosi pentru ameliorarea aplicării metodei S-D. Nici incercările suplimentare la temperatură de serviciu T_1 nu aduc o îmbunătățire perceptibilă față de valorile obținute exclusiv din incercări la temperaturile T_2 și T_3 .

In concluzie din cale de mai sus rezultă că - pentru materialul examinat - abaterea de la paralelism a izotermelor în reprezentarea $lg T - lgt$, cît și a izostatelor în diagrama $lgt - 1/T$ este prea accentuată. Dacă se aplică metoda S-D la extrapolarea rezultatelor se obțin disperșiuni sensibile.

In aceeași figură 3.2.g s-a calculat și scara timpului pentru $\psi_1 = 425^\circ\text{C}$. Astfel pentru 10^3 ore rezultă:

$$r'_{SD1} = - \frac{41132,2}{0,8^\circ} + 3 = - 27,275 \text{ iar pentru } t = 10^4; P'_{SD1} = - 26,275$$

Astfel prin intersecția verticală la P'_{SD1} cu cele 4 curbe rezultă următoarele valori pentru $\psi_{r/10000}$ la 425°C :

16,9 pentru curba T_1 extrapolată liniar (valoare banală);

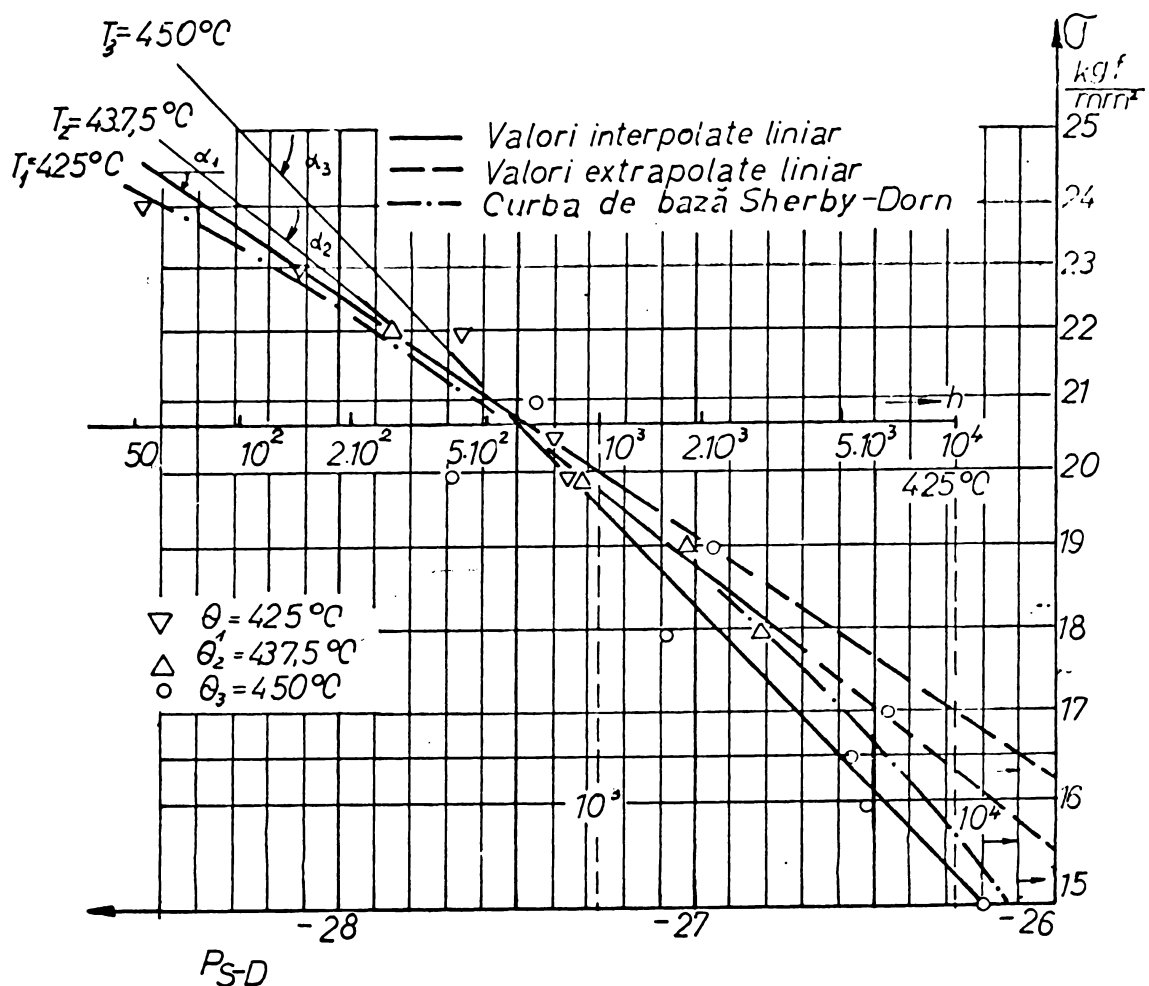
14,36 pentru curba T_2 extrapolată liniar;

15,60 pentru curba T_3 pe bază O-S-D;

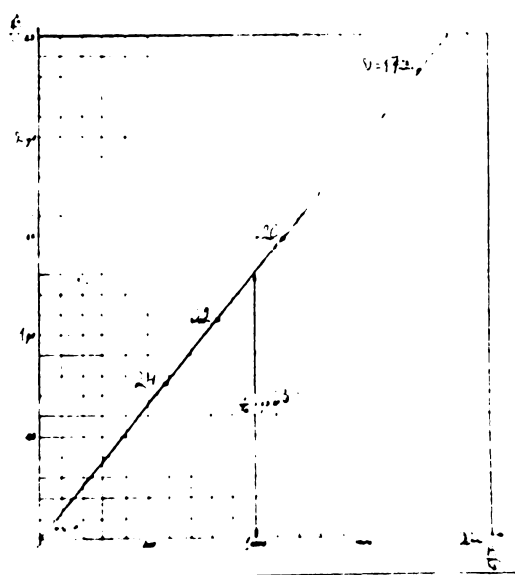
15,22 pentru curba T_3 extrapolată linear.

2.1.3. Metoda parametrică Manson - Murry I [3.15] [3.16]

Ca și metodele precedente se bazează pe diagrama din figura b Cap.2.4.2, unde constantele $A(\psi) = C_{23}$ (vezi mai sus) iar $B(\psi) = D_C$ este pantă variabilă a dreptelor $lgt = f(1/T)$ pentru $\psi = ct$.



Capitolul 3.2 Figura g



Capitolul 3.2
Figura h

$$B(0) = \frac{\lg t_2 - \lg t_3}{\frac{1}{T_{10,5}} - \frac{1}{T_3}} = 42838 (\lg t_2 - \lg t_3)$$

Punctele calculate în reprezentarea $\frac{1}{T}$, $\frac{1}{t}$, pentru tensiunile $\sigma = 17 \dots 24 \text{ kgf/mm}^2$, se situează riguros pe o linie dreaptă (figura 3.2.h), deci satisfac ipoteza pentru aplicarea relației:

$$P_{LM} = \frac{\frac{1}{t} - \frac{1}{t_a}}{\frac{1}{T} - \frac{1}{T_a}}$$

Din figura 3.2.h rezultă: $\lg t_a = 0$ și $\frac{1}{t_a} = 1,3 \cdot 10^{-3}$,

Cu aceste valori se calculează P_{LM} pentru cele 2 temperaturi superioare, care este trecut în Tabela 3.2.i^x, particularizând parametrul pentru $T_1 = 698^\circ\text{K}$ se obțin duratele $\lg t_1$.

3.2.1.4. Metoda parametrică de extrapolare pentru calculul rezistenței tehnice de durată prin eliminarea constantei din relația Larson-Miller

3.2.1.4.1. Necessitatea perfecționării calculelor de extrapolare care dău caracteristici de rezistență cu nivel de încredere corespunzător pentru materiale solicitate timp îndelungat la temperaturi ridicate au fost arătate pe larg în paragraful 2. În acest capitol se prezintă o metodă pentru extrapolarea rezistenței tehnice de durată, în cazul fontei cu grafit nodular elaborate în țară, pentru treapta de temperatură 425°C ($T = 698^\circ\text{K}$) pînă la 10^4 ore, în baza încercărilor de durată reușite efectuate la temperaturi superioare $T_2 = 710,5^\circ\text{K}$ și $T_3 = 723^\circ\text{K}$ (fig.3.1.a). În primul rînd determinările se fac cu metode clasice: Larson-Miller ($C = 20$ și $C = 28,83$) Orr-Sherry-Born, Manson-Gurry I. Se studiază parametrii statistici pentru abaterile față de dreapta experimentală stabilită pentru temperatura de 425°C și se compară aceste abateri cu cele obținute în baza metodei preconizate.

Intr-adevăr din relația Larson-Miller [3.2.4] scrisă pentru treptele de temperatură T_1 și T_j

$$(3.2.1) \dots P_{LM} = T_1(C_{1j} + \lg t_1) = T_j(C_{1j} + \lg t_j) = f(T),$$

se poate explicita valoarea "constantei" C_{1j} – calculate pentru materialul studiat – și se reprezintă în fig.3.2. a.

^{x)} pagina 119

Se observă o variație accentuată a "constantei" în funcție de treapta de tensiune, $f(\sigma)$, dar chiar la același nivel σ în funcție de temperatură, ceea ce se poate remarca mai bine din fig. 3.2.1.b, unde se reprezintă variația lui $C_{ij} = f(T)$.

Aceste aspecte - în cazul oțelurilor - au fost remarcate și în lucrările lui Murry [3.16] [3.19], Krisch și Wepner [3.12]. Bandel și Gravenhorst [3.11] Hognek [3.13] Bungardt [3.10].

Chiar dacă se operează cu valoarea medie a acestei constante (de exemplu $C_{23\text{med}} = 28,83$) în loc de constanta universală ($C = 20$) se obțin discrepanțe mari între valorile calculate și cele experimentale. O ameliorare ar fi considerarea valorii constantei în funcție de tensiune (figura 3.2.a), dar și aceasta complică calculul. De aceea s-a trecut la eliminarea constantei din relația Larson-Miller și se preconizează parametrul optimizat, care în cazul încercărilor la 2 trepte de temperatură superioară are expresia:

$$(3.2.1.a) \dots (P_I) = P_{23} = \frac{\Delta_{23}}{T_3 - T_2} T_2 \cdot T_3, \text{ în care } \Delta_{23} = \lg t_2 - \lg t_3; \lg t_1$$

- duratele pînă la rupere, determinate la temperaturile superioare T_2 și T_3 (exprimate în grade Kelvin).

Dacă se admite - ca și în cazul celorlalte metode parametrice că $P_{12} \approx P_{23} \approx P_{13}$, rezultă:

$$\lg t_1 = P_{23} \cdot \frac{T_3 - T_1}{T_1 \cdot T_3} + \lg t_3 \approx P_{23} \cdot \frac{T_2 - T_1}{T_1 \cdot T_2} + \lg t_2$$

In tabela 3.2.1 s-au calculat - atît parametrii P_{23} pentru 4 trepte de tensiune - cît și duratele, care rezultă pentru temperatura de serviciu $\theta_1 = 425^{\circ}\text{C}$.

Tabela 3.2.1

$\sigma/\text{kgf/mm}^2$	$\lg t_2 - \lg t_3$	$P_{23} = \frac{\Delta_{23}}{T_3 - T_2} \cdot T_2 \cdot T_3$	$\lg t_1$	
			$P_{23} \cdot \frac{725 - 698}{698 \cdot 725} + \lg t_3$	$P_{23} \cdot \frac{710,5 - 698}{698 \cdot 710,5} + \lg t_3$
24	0,32659	13990,38	1,80028	1,78537
22	0,42278	18110,94	2,36170	2,36123
20	0,52812	22823,47	2,98649	2,95248
17	0,70776	30318,85	4,02512	4,02512

Intr-adevăr se observă că duratele calculate în baza încercării la temperaturile $\theta_2 = 437,5^{\circ}\text{C}$ respectiv $\theta_3 = 450^{\circ}\text{C}$, nu au abateri mai

mai de 1%, ceea ce justifică ipoteza: $P_{12} \approx P_{23} \approx P_{13}$.

Spre a scoate în relief că această optimizare dă concordanță cea mai bună cu valorile experimentale, în capitolul 2 s-au calculat rezistențele tehnice de durată (pentru aceleasi nivele de tensiune) cu cele 4 metode clasice, iar în capitolul 3 s-a trecut la calculul abaterilor.

3.2.1.4.2. În tabela 3.2.a.b* s-a calculat cu relația (3.2.1) de mai sus particularizată pentru $T_1 = T_2 = 710,5^{\circ}\text{K}$ și $T_3 = T_4 = 723^{\circ}\text{K}$ parametrul Larson-Miller:

$$P_{LM} = P_2 = 710,5 (\text{C} + \lg t_2) \approx P_3 = 723 (\text{C} + \lg t_3) \approx P_1 = 698^{\circ}(\text{C} + \lg t_1')$$

adoptind pentru "constantă" C valoarea universală $C = 20$ (respectiv $C_{med} = 28,83$ calculată în baza datelor din fig.3.2.a - P'_2 și P'_3 din tabela 3.2.b*, pagina

3.2.1.4.2. Parametrul Orr-Sherby-Dorn [3.14] are expresia:

$$\begin{aligned} P_{SD2} &= \lg t_2 - D_{23, T_2} \approx P_{SD3} = \lg t_3 - D_{23, T_3} \\ &\approx P_{SD1} = \lg t_1' - D_{23, T_1} \quad \dots \end{aligned} \quad (3.2.1.b)$$

în care $D_{23} = \Delta_{23, med} \left(\frac{1}{T_3} - \frac{1}{T_2} \right)$ rezultă din Tabela 3.2.1.

Valorile rezistenței tehnice de durată $\sigma_{r/t}$ determinate din încercări la temperatura T_2 respectiv T_3 rezultă din fig.3.2.f.

În continuare s-au calculat duratele $\lg t_i'$ folosind parametrul Manson-Curry I [3.16].

$$P_{MC\text{I}} = [\lg(t_i/\tau_a) - \lg t_a] / (1/T_i - 1/T_a) \quad (i=1,2,3)$$

în care t_a și T_a se determină dintr-o diagramă în coordinate C_{23} și D_{23} : se obține $\lg t_a = 0$ și $1/T_a = 1.3 \cdot 10^{-3}$. Cu aceste valori se obține $(P_{MC\text{I}})_1$, $(P_{MC\text{I}})_2$, și de aici $\lg t_1'$ pentru temperatura de serviciu. Calculurile sunt concentrate în Tabela 3.2.1, pagina

3.2.1.4.3. Calculul abaterilor

În tabela 3.2.1.a s-au centralizat valorile duratelor $\lg t_i'$, calculate în baza celor 6 metode pentru 4 nivele de tensiune, iar în tabela 3.2.1.b s-au calculat abaterile procentuale $\Delta\%$ față de datele experimentale la temperatura de 425°C :

$$\Delta\% = \frac{\lg t_i' - \lg t_1'}{\lg t_1'} \cdot 100$$

Valorile sunt calculat din încercări atit la $\sigma_r = 437,5^{\circ}\text{C}$, cît și

Tabela 3.2.1.a

Datele experi- mentale	lgt ₁	lgt ₁						P _I
		Larson-Killer		Orr-Sher- by-Dorn	Manson- Murry I	Media valorilor		
		C=20 437,5° (450°)	C _{med} =28,83 437,5° (450°)	437,5° (450°)	437,5° (450°)	437,5° (450°)		
24	1,89073	1,8330 (1,8632)	1,9997 (2,1794)	2,1847 (2,0035)	1,7882 (1,7670)	1,9061 (1,9986)	1,8003 (1,7854)	
22	2,41733	2,2349 (2,2333)	2,4604 (2,5495)	2,5420 (2,4569)	2,3515 (2,3372)	2,4122 (2,3942)	2,3517 (2,3612)	
20	2,99411	2,8003 (2,6386)	2,9653 (2,9549)	2,9331 (2,9532)	2,9703 (2,9615)	2,9224 (2,8720)	2,9865 (2,9525)	
17	3,97765	3,6636 (3,3298)	3,8380 (3,6513)	3,6060 (3,8006)	4,0257 (4,0267)	3,6295 (3,6555)	4,0251 (4,0251)	
	<u>lgt₁-lgt₁</u>	0,1976 (0,3813)	0,0965 (0,2296)	0,2450 (0,1110)	0,0624 (0,0758)	0,0827 (0,1815)	0,05541 (0,06261)	

Tabela 3.2.1.b

Datele experi- mentale	lgt ₁	Δ %						P _I
		Orr-Sher- by-Dorn		Manson- Murry I	Media valorilor			
		C=20 437,5° (450°)	C _{med} =28,83 437,5° (450°)	437,5° (450°)	437,5° (450°)	437,5° (450°)	437,5° (450°)	
24	1,89073	-3,0 (-1,4)	-5,8 (15,2)	15,2 (6,0)	-5,3 (-6,2)	0,85 (5,7)	-4,7 (-5,3)	
22	2,41733	-5,0 (-7,9)	1,8 (5,8)	5,2 (1,65)	-2,8 (-3,3)	-0,2 (-0,96)	-2,0 (-2,0)	
20	2,99411	-6,4 (-12)	-1,0 (-1,4)	-2,0 (-1,4)	-0,7 (-1,1)	-2,4 (-4,1)	-0,25 (-1,3)	
17	3,97765	-8,0 (-16,2)	-3,8 (-8,1)	-9,2 (-4,5)	1,21 (1,22)	-8,7 (-8,1)	1,2 (1,2)	

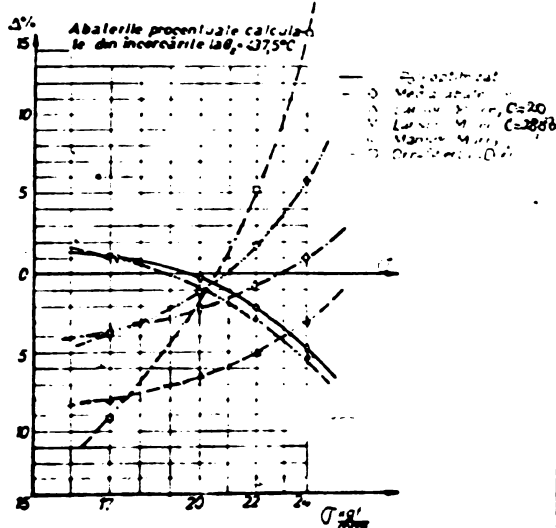
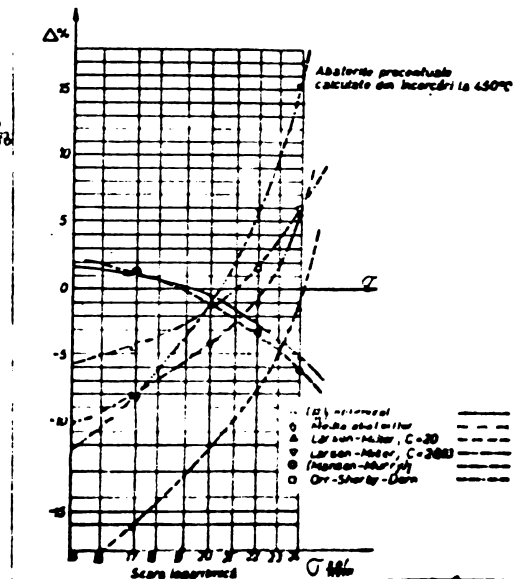
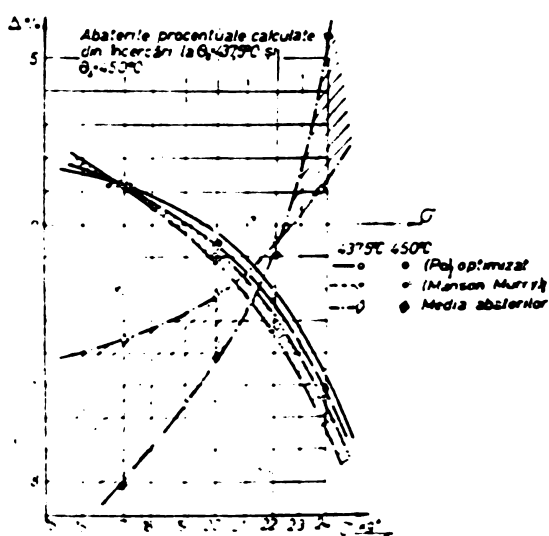


Figura 3.2.1



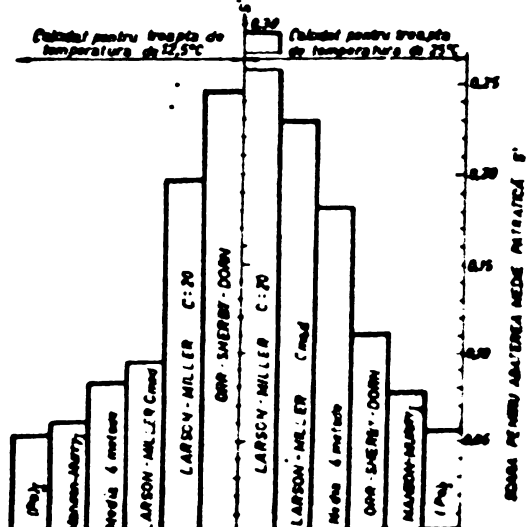
Capitolul 3.2.1

Figura 2



Capitolul 3.2.1

Figura b



Capitolul 3.2.1

Figura c

$\Theta_3 = 450^\circ\text{C}$ și sint reprezentate în figura 3.2.1 (pentru Θ_2) și figura 3.2.1.a (pentru Θ_3).

Abaterile maxime sunt date de metoda C-S-D (pentru Θ_1) respectiv L-M (cu $C = 20$) (pentru Θ_2). In plus la toate cele 3 variante (L-M cu $C = 20$, respectiv $C_{med} = 28,83$, C-S-D) abaterile maxime cresc cu valoarea mici ale tensiunii, deci la durate superioare, care se cer extrapolate.

Abaterile minime prezintă metoda (P_I), cît și $M - M_I$. Se observă un paralelism accentuat între abaterile obținute prin aceste 2 metode – atât ca valoare absolută, cît și în ce privește sensul abaterilor. În deosebire de celelalte metode, aici abateri mai mici sunt la valori mai mici ale tensiunii, deci la durate care se extrapolază.

Pentru a evidenția variația abaterilor cu treapta de temperatură ($\Theta_2 - \Theta_1 = 12,5^\circ\text{C}$ respectiv $\Theta_3 - \Theta_1 = 25^\circ\text{C}$) în figură s-au reprezentat – la scară mărită – abaterile, atât pentru Θ_1 , cît și pentru Θ_2 ; pentru metoda P_I , ($M - M_I$) și media valorilor. Se observă că la metoda P_I pentru toate nivelele de temperatură și pentru ambele trepte de temperatură sunt abateri mai mici decât la metoda $M - M_I$. Deși media abaterilor obținute cu toate cele 4 metode: (L-M cu 2 valori ale constantei, C-S-D și $M - M_I$), evident are valori mai mici decât cele individuale, totuși atât zona de dispersie, cît și limitea lor se situează mult peste cele calculate cu P_I .

Se remarcă de asemenea – cum era de așteptat – creșterea abaterilor cu treapta de temperatură. Această creștere este semnificativă la abateri medii și este nefinsemnată la metoda $M - M_I$ și mai ales la metoda P_I (De aceea la acestea din urmă s-a renunțat în figura 3.2.1.b la treccerea valorilor maxime și minime ale zonei de dispersie, indicându-se doar curba medie).

In ultimele rânduri ale Tabelei 3.2.1.a s-a calculat:

$$- \text{abaterea medie patratice } S = \sqrt{\frac{(lg t - lg t_1)^2}{n}}$$

Abaterile medii patratice S s-au reprezentat în figura 3.2.1.c pentru cele 6 metode – atât pentru valorile calculate pentru treapta de temperatură de $12,5^\circ\text{C}$ (la stînga) – cît și pentru treapta de temperatură de 25° (la dreapta) și aici se reliefiază cele observate la reprezentările din figurile anterioare:

- abateri mai mari pentru treapta de temperatură de 25° (cu singura excepție a metodei C-S-D, care apare paradoxal)
- abateri exagerate pentru metoda C-S-D și L-M cu $C = 20$
- abateri mici, cam de același ordin de mărime pentru metodele P_I , ($M - M_I$) I, cu prioritatea metodei P_I și în cazul acestui parametru statistic.

În continuare se calculează intervalul de încredere al abaterilor procentuale x pentru nivelul de încredere corespunzător probabilității $1 - \alpha = 0,9 = P\{x_1 > x_{\alpha}\}$. În acest scop se stabilește distribuțiile empirice n_x (fig. 3.2.1.d) pentru aceste abateri și se calculează valorile funcției de frecvență $f(x)$ la distribuția Poisson.

$$f(x) = \frac{\lambda^x}{x!} e^{-\lambda}$$

în care valoarea lui $\lambda = \frac{\sum n_x}{\sum x}$ s-a calculat din tabela 3.2.1.e.

Intocmită pentru metoda P_I , pentru valorile calculate din incercări la $437,5^0$. Pentru $x \geq 1$ s-a utilizat relația de recurență.

$$f(x+1) = f(x) \frac{\lambda}{x+1}$$

Cu aceste relații s-a calculat $f(x)$ și funcția de distribuție empirică

$$P(x) = \sum_{x=-\infty}^x f(x) = \sum_{x=-\infty}^x \frac{\lambda^x}{x!} e^{-\lambda}$$

Tabela 3.2.1.e

x	n_x	$\lambda \cdot n_x$	$f(x)$ teoretic	$F(x)$ teoretic	$P(x)$ teoretic	$n \cdot F(x)$	n_x cum	$n \cdot F(x) - n_x$ cum
0	3,5	0	0,1955	0,1956	0,1956	2,3295	3,5	- 0,67
1	5	5	0,3193	0,51479	0,5144	7,722	8,5	- 0,69
2	2,5	5	0,2607	0,7755	0,7743	11,625	11,0	0,625
3	2	6	0,1420	0,9175	0,9163	13,762	13,0	0,75
4	1,5	6	0,0579	0,9755	0,9740	14,633	14,5	0,133
5	0,5	2,5	0,0198	0,9992	0,9933	14,988	15,0	- 0,002
	15	24,5	0,9992	1,0	-	-	-	-

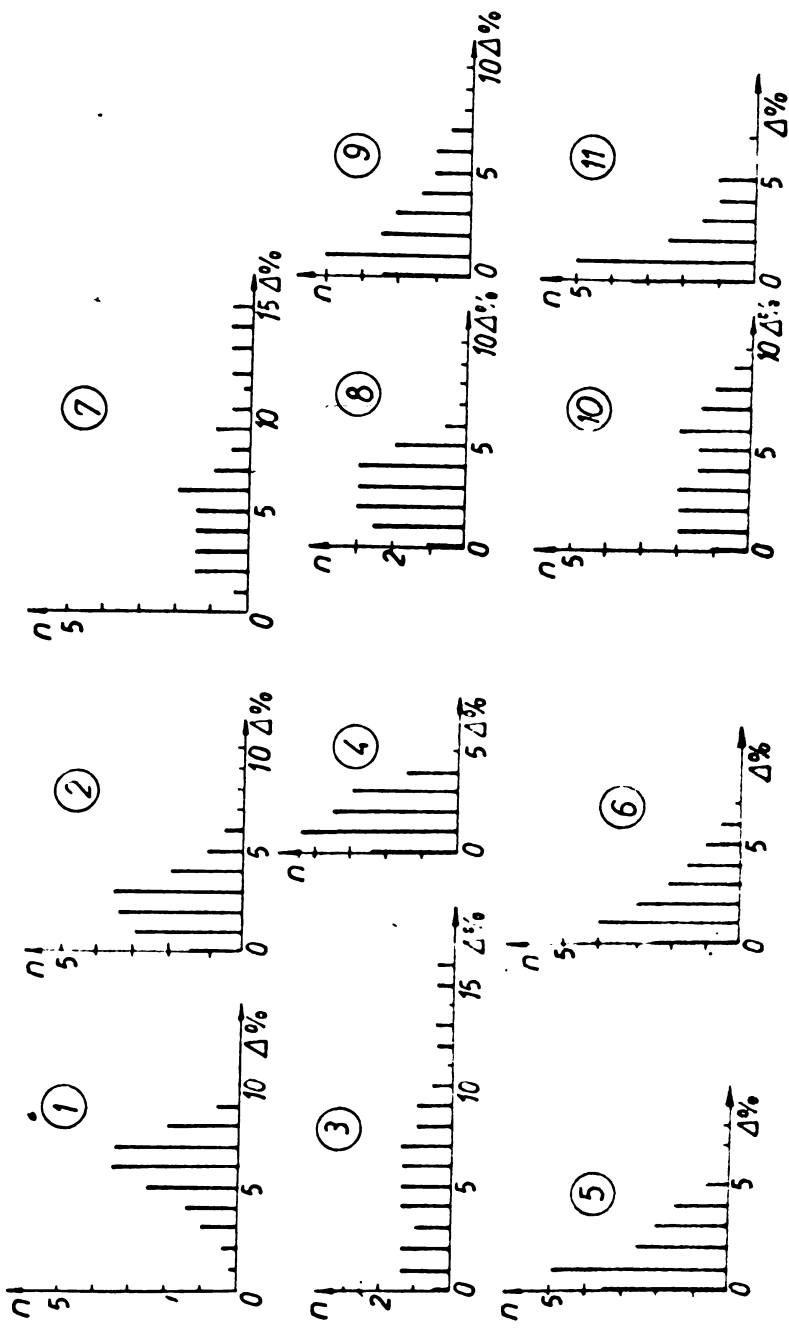
Dacă se compară funcțiile empirice de frecvență și de distribuție cu cele teoretice se observă dispersii neglijabile (între 1/2000 6/1000), deci distribuția empirică urmărește legea Poisson, ceea ce se poate verifica și aplicând criteriul Kalmogorov.

Pentru $q = 0,03$ și $k(\lambda) = 1 - q = 0,95$ rezultă [3.26] :

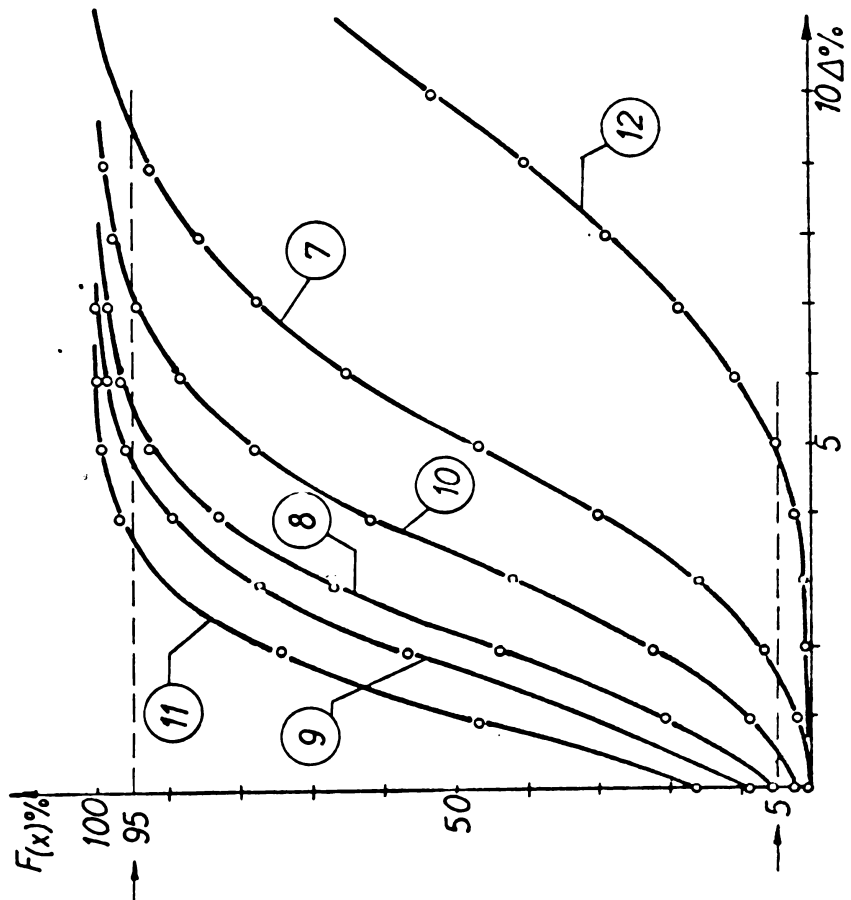
$\lambda = 1,36$ și $\lambda \cdot \sqrt{\sum n_x} = 1,36 \cdot \sqrt{15} = 5,267$ ceea ce este mult mai mare decât diferența maximă din tabela 3.2.1.e:

$$(\sum n_x) \cdot F(x) - n_x \text{ cum} = 0,75$$

Tabele similară s-au construit pentru toate cele 6 metode din



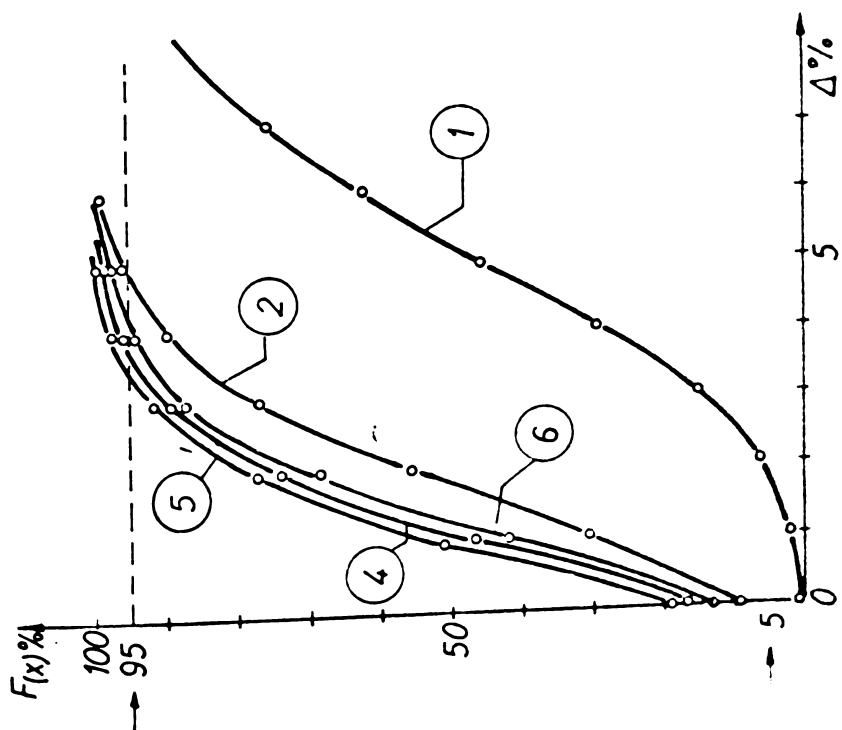
Capitolul 3.2.1 Figura 3.
Temperatura de $437,5^{\circ}\text{C}$: (1) Larson-Miller ($C = 20$) (2) Larson-Miller ($C = 28,83$)
(3) Orr-Sherby-Dorn (4) Metoda a 4 valori (5) Metoda propusă (P)
Temperatura de 450°C : (7) Larson-Miller ($C = 28,83$) (8) Manson-Kurry I
Murry I. (10) Media a 4 valori (11) Metoda propusă (P_I).
Figura 4



Capitolul 3.2.1

Figura 1

Temperatura de 450°C .
 (7) Larson-Miller ($C = 28,8$)
 (8) Orr-Sherby-Dorn ($C = 28,8$)
 (9) Kanson-Murry I
 (10) Kanson-Murry II
 (11) Metoda propusă (PI)
 (12) Larson-Miller ($C = 25$)



Capitolul 3.2.1

Figura 2

Temperatura de $437,5^{\circ}\text{C}$.
 (1) Larson-Miller
 ($C = 2C$)
 (2) Larson-Miller ($C = 28,8$)
 (3) Orr-Sherby-Dorn
 (4) Media a 4 valori
 (5) Metoda propusă (F_1)

tabela 3.2.1.a, iar funcțiile de distribuție empirice s-au reprezentat în fig.3.2.1.g. Aici s-au determinat quantilele pentru 5% și 95% și s-au trecut în tabela 3.2.1.d.

Intervalul de încredere cel mai mic s-a obținut și aici la metoda P_I (care avea și abaterea medie pătratică minimă) iar intervalul cel mai mare a prezentat metoda Larson-Killer ($C = 20$). Metoda Orr-Sherry-Dorn cu abateri exagerate nu s-a mai studiat.

Tabelă 3.2.1.d

Metoda	Temperatura °C	s a 5% 95%				Temperatura °C	s a 5% 95%			
		s	a	5%	95%		s	a	5%	95%
P_I	437,5°	0,055541	1,633	0 3,515	450°	0,06261	1,766	0	3,753	
MM _I		0,0624	2,033	0 3,75		0,0750	2,366	0	4,75	
L_4		0,0827	1,766	0 3,75		0,1315	4,033	0,47	7,15	
L.M 20,8		0,0965	2,433	0 4,85		0,223	5,766	1,6	9,65	
L.H 20		0,1976	5,90	1,6 9,3		0,3813	10,366	4,9	15,8	
S.D	-	-	-	-		0,110	2,90	0	5,55	

S-a procedat similar și pentru abaterile procentuale la valorile calculate din încercări la 450°. S-a reprodus și aici în tabela 3.2.1.e distribuția empirică pentru metoda P_I . Spre a estima, dacă aceasta poate fi considerată că urmează legea Poisson, s-a aplicat criteriul χ^2 . Pentru nivelul de semnificație $\alpha = 0,05$ și numărul gradelor de libertate $f = (K - 1) - 1 = 5$ rezultă [3.26]: $\chi^2 = 11,1 >> 3,7733$. Tabele similare s-au întocmit și pentru abaterile procentuale de la celelalte metode și în baza lor s-au construit funcțiile de distribuție empirice în fig. 3.2.1.f, de unde rezultă intervalele de încredere trecute în Tabelă 3.2.1.g.

Tabelă 3.2.1.e

x	n _x	p _x = f(x)	n·p _x	n·p _x - n _x	(n·p _x - n _x) ²	$\frac{(n·p_x - n_x)^2}{n·p_x}$
0	3,5	0,17087	2,56305	0,93695	0,8779	0,34252
1	5	0,30188	4,52814	0,47186	0,22265	0,04917
2	2,5	0,2666	3,9999	1,4999	2,24997	0,56249
3	1,5	0,15703	2,35545	0,85545	0,73179	0,31068
4	1	0,06935	1,04025	0,04025	0,00162	0,001557
5	1	0,02450	0,3675	0,6325	0,40006	1,0886
6	0,5	0,007215	0,10823	0,39177	0,15348	1,41513
Total: 15		0,9984	14,9625	0,0375	-	$\chi^2 = 3,7733 << 11,1$

3.2.2. Metode parametrice, care admit colinearitatea punctelor in diagrama $\lg t - T$ (respectiv $\lg t$)

3.2.2.1. Metoda parametrică Manson-Succop

Această metodă admite că abaterea de la paralelism a izostatelor este mică. Folosind izotermele pentru 2 trepte la temperaturi superioare s-au calculat diferențele logaritmice ale duratălor $\Delta_{23} = \lg t_2 - \lg t_3$, valoarea medie $(\Delta_{23})_{med} = 0,50781$ (vezi Tabela 3.2.2) precum și panta medie a izostatelor:

$$C_0 = \frac{(\Delta_{23})_{med}}{T_3 - T_2}, \text{ parametrul M-S are expresia:}$$

$$P_{MS2} = \lg t_2 + C_0 \cdot T_2 \approx P_{MS1} = \lg t_1 + C_0 \cdot T_1 \approx P_{MS3}$$

Se observă și aici abateri sub 1% ale parametrilor P_{MS2} și P_{MS3} . Duratele rezultate pentru temperatura $\theta_1 = 425^\circ$ sunt calculate în ultimele coloane ale tabelei 3.2.2 - atât din încercări la temperatură de $\theta_2 = 437,5^\circ C$ - cît și pentru $\theta_3 = 450^\circ C$.

Tabela 3.2.2

r/t kgr/mm^2	$\Delta_{23} = \lg t_2 - \lg t_3$	P_{MS2}	P_{MS3}	$\lg t_1$	
				$P_{MS2} - C_0 \cdot 698^\circ$	$P_{MS3} - C_0 \cdot 698^\circ$
24	0,22659	31,5215	31,7028	1,9839	2,1650
22	0,42278	31,9750	32,0602	2,4374	2,52226
20	0,52812	32,4717	32,4514	2,9341	2,9138
17	0,70776	33,3187	33,1187	3,5811	3,7811
Valoarea medie	0,50781	-	-	-	-
$C_0 = \frac{(\Delta_{23})_{med}}{T_3 - T_2} = 0,0423175$		-	-	-	-
$C_0 \cdot T_1$	-	30,08774	30,59355	29,537615	

3.2.2.2. Metoda parametrică Chitty - Duval

Această metodă permite o adaptabilitate mai bună a datelor experimentale; aici nu se mai pune condiția ca izostatelor să fie paralele, nici ca ele să se intersecteze (vezi mai jos metoda Manson-Hafard). Ca și mai sus se folosesc diferențele logaritmice Δ_{23} , dar se calculează reciproca pantei pentru fiecare izostată $d(T) = \Delta T_{23} / \Delta_{23}$. Aceste valori sunt reprezentate în funcție de $\lg T$ în diagrama din figura 3.2.2. Curba trasată în sistemul $\lg T - \lg d(T)$

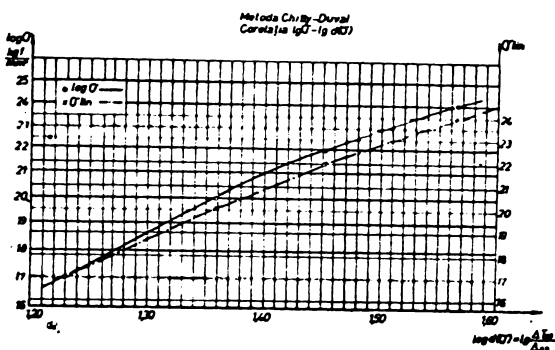
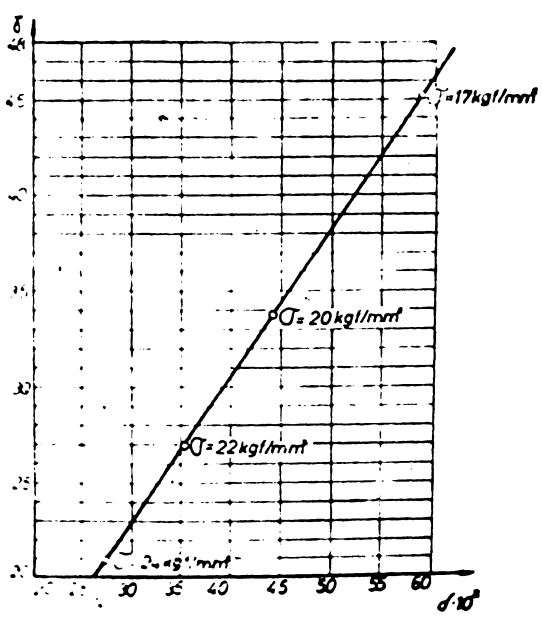
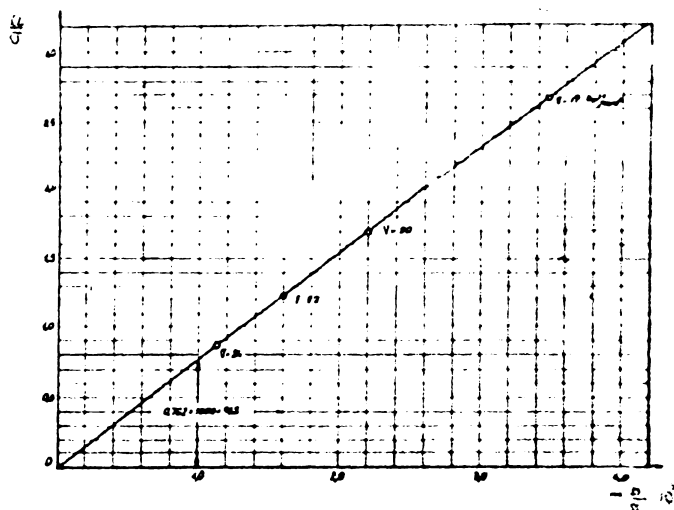


Figura 3.2.2

Capitolul 3.2.2

Figura a



Capitolul 3.2.2

Figura b

(cu linii orizontale mai groase) nu ar trebui să se abată mult de o linie dreaptă. Întrucât linia trasată are o curbură negativă, să se trecă la sistemul \bar{U} linear - $\lg d(\sigma)$ (corespond liniei orizontale subțiri). Aici linia are deja curbură mai moderată. Originea comună a celor 2 sisteme s-a luat $\bar{U} = 17 \text{ kgf/mm}^2$.

Tabelă 3.2.2.3

r/t kgf/mm^2	$\Delta_{23} = \lg t_2 - \lg t_3$	$d(\sigma) = \frac{\Delta_{23}}{\Delta_{23}}$	P_{Ch-D_2}	P_{Ch-D_3}	$\lg t_1 = \frac{P_{ChD} - 17}{d(\sigma)}$
24	0,32659	36,760	763,7065	763,7010	1,78735
22	0,42278	28,383	764,5667	764,5669	2,34531
20	0,52812	22,730	765,1874	765,1832	2,95579
17	0,70776	16,955	765,7641	765,7676	3,96795

Parametrul Ch-D are expresia:

$$P_{ChD2} = T_2 + d(\sigma) \cdot \lg t_2 \approx P_{ChD1} = T_1 + d(\sigma) \cdot \lg t_1 \approx P_{ChD3}$$

Cu toată că linia $\bar{U} = f[\lg d(\sigma)]$ nu este riguros dreaptă, totuși abaterile parametrilor din Tabela 3.2.2.3 la același nivel de tensiune sunt de ordinul 1/100000. Din acest motiv duratele calculate din cele 2 trepte de temperaturi superioare - pentru $\omega_1 = 425^\circ\text{C}$ - sunt practic identice.

3.2.2.3. Metoda Manson-Curry II

La aplicarea metodei Manson-Curry II [3.1] se determină panta dreptelor izostate din diagrame $\lg t - \text{capitolul } 2.4.3.8$ (figura 3.2.2.3).

$$b(\sigma) = \frac{\lg t_3 - \lg t_2}{T_3 - T_2} = \frac{\Delta_{23}}{12,5}$$

Se calculează intersecția fiecărei drepte izostate cu axa ordonată:

$$a(\sigma) = \lg t_2 + T_2 \cdot b(\sigma) = \lg t_3 + T_3 \cdot b(\sigma)$$

Valorile calculate pentru cele 4 nivele de temperatură sunt trăsute în Tabela 3.2.2.3 împreună cu rapoartele $a(\sigma)/T$ și $b(\sigma)/T$.

Să observă că în sistemul de coordinate $- b(\sigma)/T$, $a(\sigma)/T$ punctele, care reprezintă incercările la cele 4 trepte de tensiune, se aliniază perfect după o linie dreaptă (fig.3.2.2.3.a).

Se determină intersecția acestor drepte cu axa ordonatelor rezultând: $\lg t_1 = 0$, precum și panta ei:

$$T_a = \frac{0 + 762}{10} = 762^{\circ}\text{K}$$

Astfel se obține parametrul Manson-Henry II

$$P_{\text{MHII}} = \frac{\lg t - \lg t_a}{T - T_a} = \frac{\lg t}{T - T_a}$$

In ultimele coloane ale Tabelei 3.2.2.b s-a calculat acest parametru pentru temperaturile de $710,5^{\circ}\text{K}$:

$$P_2 = \frac{\lg t}{T - T_a} = \frac{\lg t_2}{51,5}.$$

respectiv 723°K :

$$P_3 = \frac{\lg t}{T - T_a} = \frac{\lg t_3}{39,0}.$$

Cu aceste valori se obțin în final duratele teoretice calculate cu parametrul MHII:

$$\lg t_1 = P_2(T_a - T_1) \cdot 6 = 64 \cdot P_2 \approx 64 \cdot P_3$$

3.2.2.4. Metoda Sud-Aviation

La metoda parametrică S-A [3.20] se calculează panta comună C_1 a dreptelor izostate în diagrama $\lg t - \lg T$. Valearea medie a diferenței ordonatelor s-a calculat în Tabela 3.2.g (Δ_{23})_{med} = $= (\lg t_2 - \lg t_3)_{\text{med}} = 0,50781$, iar

$$C_1 = \frac{(\Delta_{23})_{\text{med}}}{\lg T_3 - \lg T_2} = \frac{0,50781}{\lg 723 - \lg 710,5} = 69,85007$$

Cu această valoare în Tabela 3.2.2.g s-au calculat predusele $C_1 \lg T_1$ precum și parametrul Sud-Aviation pentru temperaturile:

$$T_2 = 710,5^{\circ}\text{K} \text{ și } T_3 = 723^{\circ}\text{K};$$

$$P_{\text{SA2}} = \lg t_2 + C_1 \lg T_2 \approx \lg t_3 + C_1 \lg T_3,$$

de unde s-au obținut duratele la temperatura cerută $T_1 = 698^{\circ}\text{K}$:

$$\lg t_1 = P_{\text{SA2}} - C_1 \cdot 698 \approx P_{\text{SA3}} - C_1 \cdot 698$$

Se observă că toate cele 8 valori obținute sunt cu 0,01 mai mari decât cele calculate cu metoda parametrică M-S.

Tabela 3.2.2.c

Pensiunea de încer- care	$P_{SA2} = \lg t_2 + C_1 \lg T_2 + 710,5$	$P_{SA3} = \lg t_3 + C_1 \lg T_3 + 723$	$\lg t_1$	
σ_r/t kgf/mm^2			$P_{SA2} - C_1 698$	$P_{SA3} - C_1 698$
24	200,6371	200,8183	1,9933	2,1745
22	201,0906	201,1756	2,4468	2,5518
20	201,5873	201,5669	2,9435	2,9229
17	202,4342	202,2343	3,7904	3,5902
$C_1 \cdot \lg T_1$	199,2033	199,7117		198,6438

3.2.2.5. Metoda Manson-Haford

In baza valorilor din Tabela 3.1.c s-au traseat izostatice in diagrame $\lg t - T$, avind ecuatii de forma (fig.2.4.3.2.g):

$$(3.2.2) \dots \lg t = \gamma - \beta \cdot T$$

in care $\gamma = \frac{\Delta \lg t}{T_3 - T_2} = b(\bar{t})$ s-a calculat in Tabela 3.2.2.b, pe de altă parte:

$$(3.2.2.a) \dots \lg t - \lg t_2 = \gamma \cdot (T - T_2)$$

$$\text{și} \dots \lg t - \lg t_3 = \gamma \cdot (T - T_3)$$

Din ecuațiile (3.2.2) și (3.2.2.a) rezultă (3.2.2.b):

$$(3.2.2.b) \dots \gamma = \lg t_2 + \gamma \cdot T_2 = \lg t_3 + \gamma \cdot T_3$$

Atât valorile lui γ , cât și \bar{t} sunt trecute in Tabela 3.2.2.d.

Pentru cele 4 nivele de tensiune s-au obținut deci ecuațiile a 4 drepte de forma (3.2.2), care dă coordonatele pentru cele $C_4 = 6$ puncte de intersecție, rezolvînd cele 6 sisteme de ecuații cu cîte 2 necunoscute $\lg t$, T .

Cu acestea s-au determinat coordonatele punctului median de intersecție:

$$T_a = 765,5^{\circ}\text{K} \quad \text{și} \quad \lg t_a = -0,0031.$$

Pentru a determina eroarea comisă s-au recalculat valorile pentru \bar{t} din ecuația (3.2.2.b):

$$(3.2.2.c) \dots \bar{t} = \lg t_a + \gamma \cdot T_a = -0,031 + 765,5.$$

S-au obținut erori neglijabile:

(-0,8% ; 0,01% ; 0,6% și 0,7%)

Pe de altă parte reprezentarea punctelor - care reprezintă diferitele nivele de tensiune date de ecuația (3.2.2.c) în sistemul: $\frac{1}{T} = \frac{1}{T_a} + \frac{\lg t - \lg t_a}{55}$ (figura 3.2.2.b) - a dat riguroasă linie dreaptă [3.16].

Parametrii $M-H$ s-au calculat apoi cu relația cunoscută [3.21]:

$$(3.2.2.d) \dots P_{MH} = \frac{\lg t - \lg t_a}{T - T_a}$$

particularizată pentru temperatură T_2 :

$$P_2 = \frac{\lg t_2 + 0,031}{55}, \text{ respectiv } T_3 :$$

$$P_3 = \frac{\lg t_3 + 0,031}{42,5}$$

Astfel în Tabelă 3.2.2.g s-au putut calcula duratele pentru temperatură $\theta_1 = 425^{\circ}\text{C}$ cu relațiile:

$$\lg t_1 = P_2(T_1 - T_a) + \lg t_a = 67,5 P_2 - 0,031 \approx 67,5 P_3 - 0,031$$

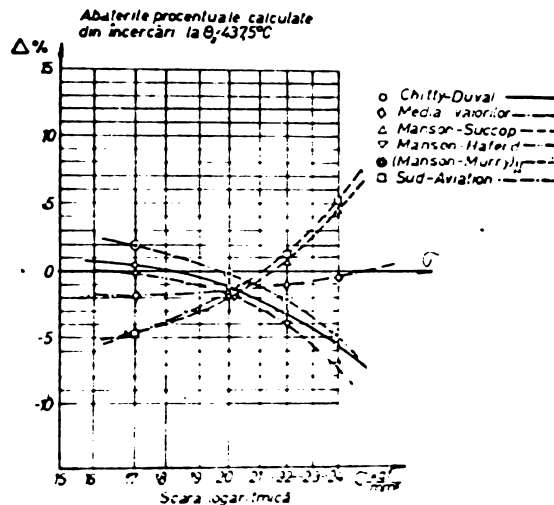
Se observă că - atât abaterile parametrilor P_2 și P_3 - cât și duratele calculate din cele 2 condiții, nu depășesc 1%.

3.2.2.6. Calculul dispersiilor

Ca și la subcapitolul 3.2.1.5 în Tabelă 3.2.2.g s-au calculat abaterile procentuale: $\Delta \% = (\lg t - \lg t_1)/\lg t_1 \cdot 100$. Termenul de comparație a fost durata experimentală la temperatură de 425°C ($\lg t_1$). În acest scop s-au determinat duratele $\lg t$ - atât din încercări la temperatură $\theta_2 = 437,5^{\circ}\text{C}$ - cât și la $\theta_3 = 450^{\circ}\text{C}$, pentru 4 nivele de tensiune cu toate cele 4 metode parametrice: Manson-Succop, Manson-Haferd, Manson-Murry II, Sud-Aviation. S-a calculat media celor 4 metode în coloanele ante-penultima și penultima și s-au comparat aceste medii cu valorile obținute cu metoda Chitty-Duval, care avea abaterile cele mai mici. Sub fiecare valoare a duratei ($\lg t$) s-au trecut abaterile procentuale $\Delta \%$ în paranteză.

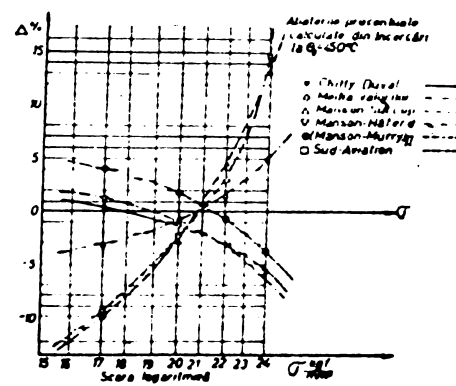
a) Valorile abaterilor procentuale $\Delta \%$ calculate din încercări la $437,5^{\circ}$ sunt reprezentate în figura 3.2.2.g. Abaterile maxime prezintă metodele Sud-Aviation și Manson-Succop, iar cele minime sunt date de media celor 4 metode și Chitty-Duval. Metodele Manson-Haferd și Chitty-Duval au abateri pronunțate la tensiuni mari, deci durete mici.

Pentru a caracteriza în ansamblu metodele s-au calculat abaterile medii patratice:



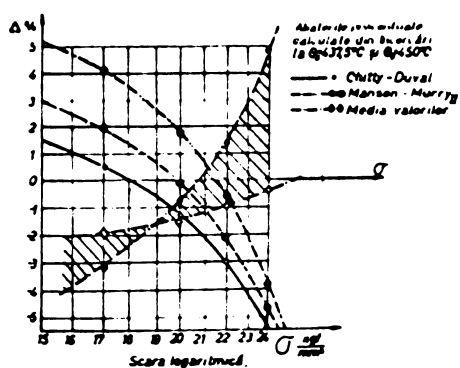
Capitolul 3.2.2

Figura c



Capitolul 3.2.2

Figura d



Capitolul 3.2.2

Figura e

$$S' = \sqrt{\frac{\sum (lgt - lgt_1)^2}{n}}$$

pentru fiecare metodă; valoarea minimă este dată de media celor 4 metode ($S' = 0,046$) și Chitty-Duval ($S' = 0,0664$) iar cea maximă de Manson-Succop ($S' = 0,1118$) și Sud Aviation ($S' = 0,1101$).

b) În figura 3.2.2.d sunt reprezentate abaterile procentuale calculate din încercări la temperatura $\Theta_3 = 450^\circ\text{C}$. La diferență de $\Delta T = 25^\circ$ se menține în general aceeași grupare a abaterilor ca și la $\Delta T = 12,5^\circ$: abateri maxime la metoda Manson-Succop și Sud-Aviation cu $S' = 0,2446$, respectiv $S' = 0,2016$, abateri minime pentru metoda Chitty-Duval și Manson-Haford ($S' = 0,0664$ respectiv $S' = 0,0734$). Evident amândoi parametri statistici au discrepanțe mai mari la $\Delta T = 25^\circ$, afară de metoda Chitty-Duval care are aceleași valori ca și la $\Delta T = 12,5^\circ$.

c) În scopul comparării abaterilor la ambele diferențe de temperaturi ($\Delta T = 12,5^\circ$ și $\Delta T = 25^\circ$) la metodele cu disperații cele mai mici, s-a reprezentat în figura 3.2.2.e - la o scară mărită - abaterile procentuale calculate din încercările la temperaturile $437,5^\circ$ și 450°C pentru calcule după Chitty-Duval, Manson-Murry II, precum și media celor 4 metode. La metoda Chitty-Duval se obține o curbă unică, iar la media valorilor s-a hașurat zona între abateri.

În tabela 3.2.1.g abateri medii pătratice minime s-au obținut pentru metoda P_I optimizat și anume $0,05541$ (pentru încercări la $437,5^\circ\text{C}$ și $\Delta T = 12,5^\circ$), respectiv $0,06261$ (pentru încercări la 450°C și $\Delta T = 25^\circ$). Aceste valori sunt mai mici, decât abaterile minime din Tabela 3.2.2.g, care centralizează metodele din categoria a 2-a (colinearitate punctelor în diagrama $lgt-T$). Într-adevăr aici valorile minime erau pentru metoda Chitty-Duval $S' = 0,0664 > 0,06261 > 0,05541$.

În concluzie metoda $(P)_I$ a dat abateri cele mai mici din toate cele 10 variante studiate..

3.2.3. Stabilirea unei noi formule parametrice de extrapolare pentru rezistențe tehnice de durată

Comportarea la temperaturi ridicate a unui material se poate descrie matematic cu o relație de formă cea mai generală (notată cu g în capitolul 2.1):

$$(3.2.3) \dots F(T, G, t) = 0$$

în care T - temperatură; G - tensiune și t - durată pînă la rupere, sunt valori determinate prin încercări. Relații de acest gen sunt cunoscute în literatura de specialitate sub denumirea de "funcții model" și au fost studiate extensiv în ultimele 2 decenii de Machlin și Nowick

[2.64], Manson și Brown [2.49], Harris și Child [3.30] Grasacher [3.6] s.a.

3.2.3.1. Metoda prezentată se bazează pe efectuarea încercărilor la trepte de temperatură superioare - celui de serviciu - care în virtutea legii lui Svante Arrhenius [3.3] au o durată mult mai redusă.

În vederea aplicării formulei parametrice ("funcții model") preconizate se fac următoarele ipoteze simplificatoare:

a. izotermele variază linear în diagrama $\lg \frac{t}{t_0} - \lg t$. (Datele din fig.3.1.a și Tb.3.2.3 se referă la fonta cu grafit nodular elaborată în țară [3.1].

b. punctele care reprezintă izotermele de mai sus în sistemul $\mu_0, \frac{\Delta}{\lg t}$ (unde $\mu_0 = \frac{\Delta(T \cdot \lg t)}{\lg t}$) se pot approxima prin linii drepte (fig. 3.2.3.a).

c. se cunoaște media rezistenței tehnice de durată (\bar{U}_0) pentru o singură încercare de durată redusă (t_0) (cu epruvete multiple) la temperatura de serviciu.

Particularizarea a) este frecvent folosită în literatură [3.27] iar veridicitatea ipotezei b) se va arăta mai jos.

Tabel 3.2.3

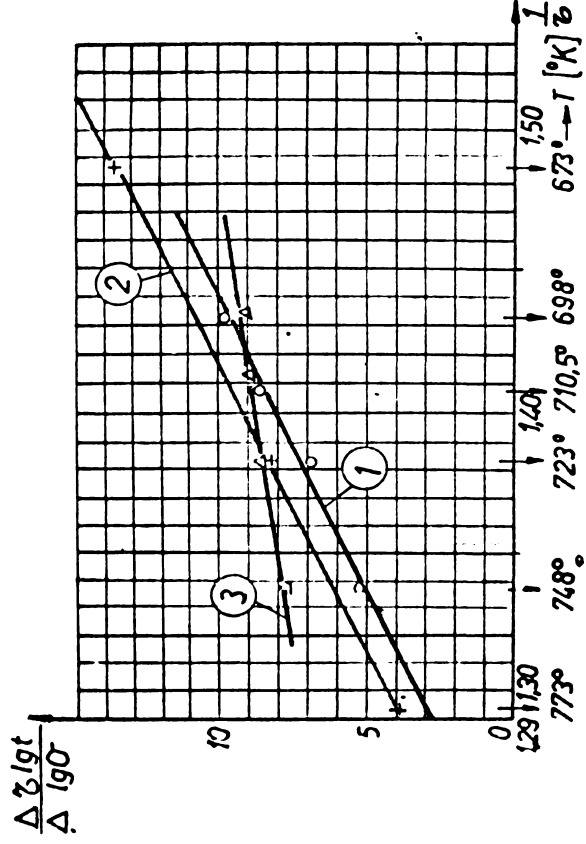
Tempe- ratură °K (°C)	ecuațiile dreptelor		$AB X = \frac{\sum \lg t_i - \bar{\lg} t}{n}$	$ABA.T.Y = \frac{\sum (\lg t - \bar{\lg} t)^2}{n}$	$R = \sqrt{1 - \frac{(ABX)^2}{(ABA.T.Y)^2}}$
	A	B			
698° (425°)	21,12409	13,93510	0,17382	0,44896	0,92202
710,5° (437,5°)	17,99632	11,99980	0,11555	0,36819	0,94948
723° (450°)	14,15679	9,45478	0,27271	0,47580	0,81944
748° (475°)	9,96981	6,96549	0,36811	0,31918	0,97697

3.2.3.2. Se stabilește o formă particulară a relației (3.2.3)

$$(3.2.3.a) \dots \lg t = \left(\frac{B}{T^2} + \frac{A}{T} \right) \lg \frac{U}{U_0} + \lg t_0$$

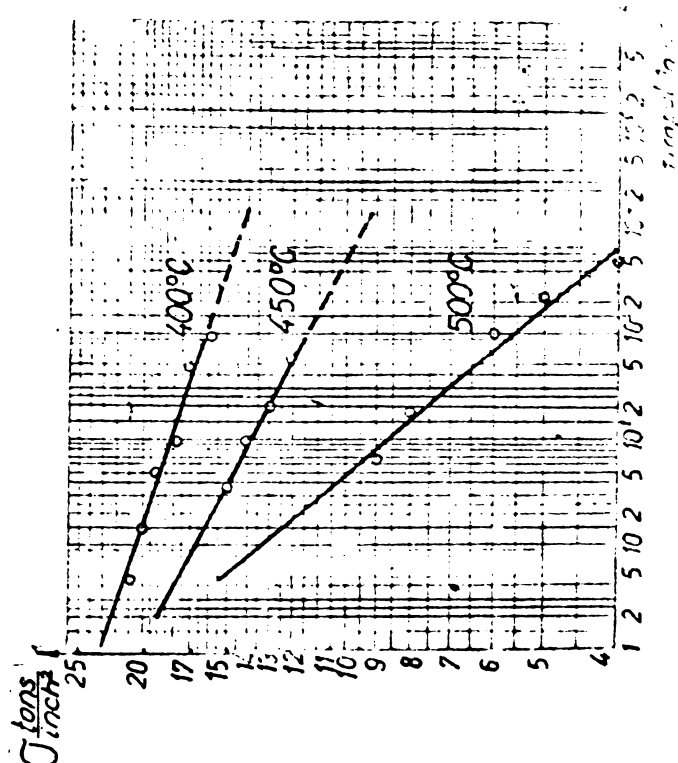
în baza următoarelor consideranțe:

Se reprezintă izotermele din fig.3.1.a în diagrama $T \cdot \lg t - \lg U$ (fig.3.2.3) și se obține o familie de drepte convergente, ceea ce confirmă aplicabilitatea formulei pentru izotermă în evantai, conform stipulațiilor date de Larke și Inglis [3.8] pentru formula lui Larson-Miller [3.4]. Se observă că produsul $T \cdot \lg t$ reprezintă aceea parte din



Capitolul 3.2.3

Figura 8



Capitolul 3.2.3

Figura b

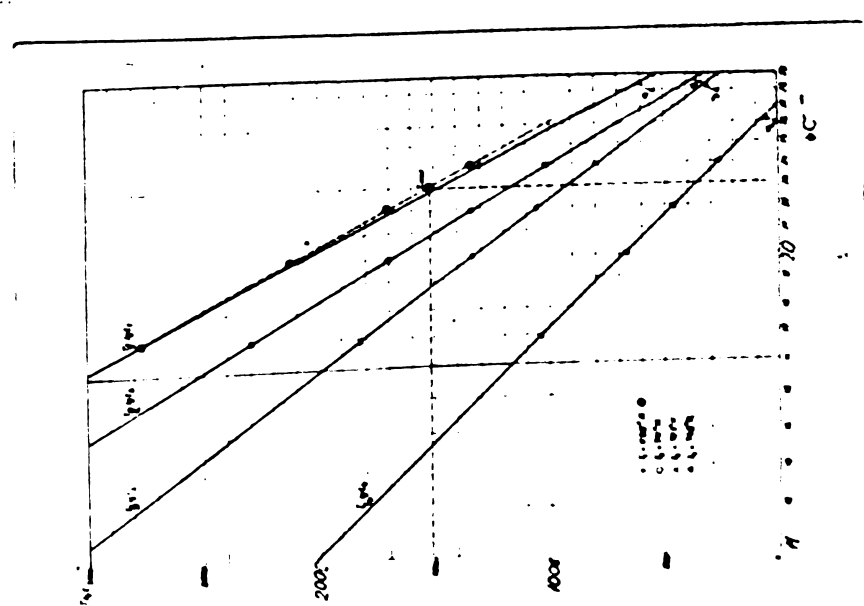


Figura 3.2.3

relația Larson-Miller care este independentă de constanta Q :

$$(3.2.3.b) \dots T \cdot (C + \lg t) = \frac{\Delta H}{2,3R} \cdot f(T)$$

(în care ΔH – energia de activare termică a procesului de fluaj, RT – energia termică a unui atom cu un grad de libertate).

La același nivel de tensiune rezultă:

$$T_1(C + \lg t_1) = T_2(C + \lg t_2) = \frac{\Delta H}{2,3R} \cdot f(T), \text{ și}$$

$$T_2 \lg t_2 < T_1 \lg t_1 \quad (\text{dacă } T_2 > T_1)$$

Astfel productele $T \cdot \lg t$ scad cu creșterea temperaturii.

In fig.3.2.3.a se reprezintă panta acestor drepte $\mu = \frac{\Delta(T \cdot \lg t)}{\Delta \lg t}$ în funcție de $\frac{1}{T}$. Se obține prin metoda celor mai mici patrate coeficienți n și m ai ecuației:

$$(3.2.3.c) \dots \mu = n + m \cdot \frac{1}{T}$$

In cazul fontei cu grafit nodular [3.1] se obține dreapta 1 reprezentată în fig.3.2.3.a

$$\mu = -58,9472 + 47,824 \cdot \frac{1}{T} \quad (T = \frac{1}{1000} \text{ °K})$$

In continuare se estimează parametrii statistici ai funcției μ :

Intervalul de încredere al valorilor funcției este:

$$\mu \pm t_{\alpha} \cdot s$$

in care $s = \sqrt{\frac{\sum d^2}{n}} = \sqrt{\frac{0,2263}{4}} = 0,2379$ se calculează în baza valorilor din Tabela 3.2.3.a.

Tabela 3.2.3.a

$\frac{1}{T} \text{ °K}^{-1}$	μ	μ_{exp}	$d = \mu - \mu_{\text{exp}}$	d^2	$d_1 = \mu_{\text{exp}} - \mu_{\text{exp}}$	d_1^2
0,748	4,9296	5,21016	0,2204	0,04858	2,3535	5,5686
0,723	7,2001	6,83604	0,3640	0,1325	0,7335	0,5383
0,7105	8,364	8,53205	0,1680	0,02822	0,9625	0,9264
0,698	9,570	9,7001	0,1304	0,0170	2,1305	4,5411
		$\mu_{\text{exp}} = 7,56931$		$\sum = 0,2263$		$\sum = 11,5804$

Pentru nivelul de încredere (de 90%) $1 - \alpha$ (în care $\alpha = 0,1$) și probabilitatea $\alpha = P(|t| > t_{\alpha})$ rezultă din tabelul t (testul Student) [3.26]:

$$\mu \pm 2,353 \cdot 0,2379 = \mu \pm 0,559778$$

Intervalul de încredere va fi limitat de dreptele:

$$\begin{aligned} l_1 &= -58,38742 + 47,824 \cdot \frac{1}{\zeta} \quad \text{și} \\ l_2 &= -59,50698 + 47,824 \cdot \frac{1}{\zeta}. \end{aligned}$$

Coefficientul de corelație R se obține tot din Tabela 3.2.3.a.

$$R = \sqrt{1 - \frac{\sigma^2}{\sigma_y^2}} = \sqrt{1 - \frac{0,22630}{11,5804}} = 0,9903$$

In consecință ipoteza b de la 3.2.3.1 se justifică.

Se determină pentru $\bar{U}_0 = 23 \text{ kgf/mm}^2$ valoarea medie a 4 încercării de durată redusă (de preferință cu epruvete multiple) $t_0 = 149$ ore.

ned Din relația (3.2.3) se obține

$$\begin{aligned} \lg t &= \left(\frac{47,824}{\zeta^2} - \frac{58,9472}{\zeta} \right) \lg \frac{\bar{U}}{\bar{U}_0} + \lg t_0 = \\ &= \left(\frac{47,824}{0,698^2} - \frac{58,9472}{0,698} \right) \lg \frac{\bar{U}}{23} + 2,17317 \end{aligned}$$

In tabela 3.2.3.b s-au calculat dispersiile efective față de dreapta experimentală, obținută la temperatură de serviciu de 425°C , pentru $\bar{U} = 17, 20, 22$ și 24 kgf/mm^2 .

Tabela 3.2.3.b

$\frac{\text{kgf}}{\text{mm}^2}$	$\lg t_1 = 21,12409$	$\lg t$	$d \%$	$\lg t$	$d \%$
	$-13,9351 \cdot \lg \bar{U} (\lg t_0 = 2,17317)$	$(\lg t - \lg t_1)$	$(\lg t - \lg t_0)$	$(\lg t - \lg t_1)$	$(\lg t - \lg t_0)$
24	1,89073	1,92117	1,55	1,87019	-1,08
22	2,41733	2,43758	0,82	2,38781	-1,25
20	2,99411	3,00454	0,33	2,95458	-1,4
17	3,97765	3,96914	-0,201	3,91918	-1,4

Din fig.3.2.3 se observă că punctul experimental se abate deasupra izotermei de 425°C , de aceea s-au calculat tot în Tab.3.2.3.b dispersiile, cind punctul experimental este situat dedesubtul izotermei. Dacă se compară aceste dispersii cu cele obținute în lucrarea [3.1] cu 10 metode parametrice - Larson-Miller cu $C = 20$ și $C = 28,8$ [3.4] Orr-Sherby-Dorn [2.78], Manson-Murry I [3.16], Chitty-Duval [3.18], Manson-Succop [3.17], Manson-Murry II [3.19], Sud Aviation [2.40] - și 2 "funcții model", pentru fontă cu grafit nodular elaborată în țară [3.1] se observă că aceste dispersii sunt minime la metoda preconizată.

• În cazul cînd dreapta $\mu = n + m \cdot 1/T$ se determină exclusiv din încercări la temperaturile superioare - fără cunoașterea izotermei la 425°C - rezultatele obținute nu diferă sensibil de cele de mai sus.

In continuare s-a investigat aplicabilitatea formulei preconizate la fontă cu grafit nodular elaborată în Anglia (P.Aftenberough [1.12] (fig.3.2.3.b); cum reiese din Tab.3.2.3.e, izotermele prezintă abateri mai mici decît cele din Tab.3.2.3, iar coeficientul de corelație depășește 0,99.

Tabelă 3.2.3.e

Temperatură ${}^{\circ}\text{C}$	ecuațiile dreptelor		AB X	ABAT Y	R			
	$\lg t_1 = A - B \cdot \lg \bar{\sigma}$							
	A	B						
673° (400 ^o)	26,56277	19,51101	0,10339	0,79350	0,99148			
723° (450 ^o)	15,02431	11,38519	0,02477	0,41201	0,99819			
773° (500 ^o)	7,00004	5,29855	0,09005	0,69053	0,99146			

Să în acest casă s-a stabilit cu metoda celor mai mici pătrate ecuația (3.2.3.g) reprezentată în fig.3.2.3.a (dreapta 2)

$$\mu = -56,74179 + 47,00833 \cdot \frac{1}{\bar{\sigma}};$$

pentru nivelul de încredere de 90% rezultă:

$$\mu_1 = -56,64782 + 47,00833 \cdot \frac{1}{\bar{\sigma}} \text{ și } \mu_2 = -56,83576 + 47,00833 \cdot \frac{1}{\bar{\sigma}}.$$

Coefficientul de corelație se apropie de 1:

$$R = \sqrt{1 - \frac{0,003107}{40,93}} = 0,99996.$$

Pentru temperatura de serviciu (400°C) s-a ales punctul experimental $\bar{\sigma}_0 = 18 \text{ t/inch}^2$, $t_0 = 18,3 \text{ ore}$, rezultă:

$$\lg t = (\frac{47,00833}{18} - \frac{56,74179}{18}) \lg \frac{\bar{\sigma}}{18} + 1,99255$$

In Tab.3.2.3.g s-au făcut calculele pentru $\bar{\sigma} = 14; 16; 17 \text{ t/inch}^2$. Concomitent s-au făcut calculele cu metoda Larson-Miller folosind $C = 20$. Valorile s-au comparat cu izotermă experimentală ($\lg t_1 = 26,52277 - 19,51101 \lg \bar{\sigma}$) din Tab.3.2.3.g. Se observă o discrepanță accentuată a dispersiilor la metoda clasică, în ce privește coeficientul de corelație $0,9929 > 0,76476$.

Tabela 3.2.3.6

$G \frac{1}{t^2}$ inch ²	lg t ₁	lg t	$d^2 \cdot 10^2$	lg t Larson-Miller	$d^2 \cdot 10^2$
14	4,20061	4,11813	0,6803	3,60805	35,1123
16	3,06916	2,98873	0,6470	2,89877	2,9030
17	2,55544	2,47594	0,6320	2,57673	0,0453
d^2	-	-	0,19593	-	0,38061
Σ	0,99143	-	0,09929	-	0,76476
nivel 50%	-	$\pm 0,23865$	-	$\pm 1,04000$	-

Se studiază în continuare aplicabilitatea formulei pentru oțelurile: nealiat A 37 - cercetat de Murry [3.16] la Inst. Rech. Sid. Française, oțelul aliat ICSM [2.56] și oțelul înalt aliat [3.6] X 22 Cr Mo V 121.

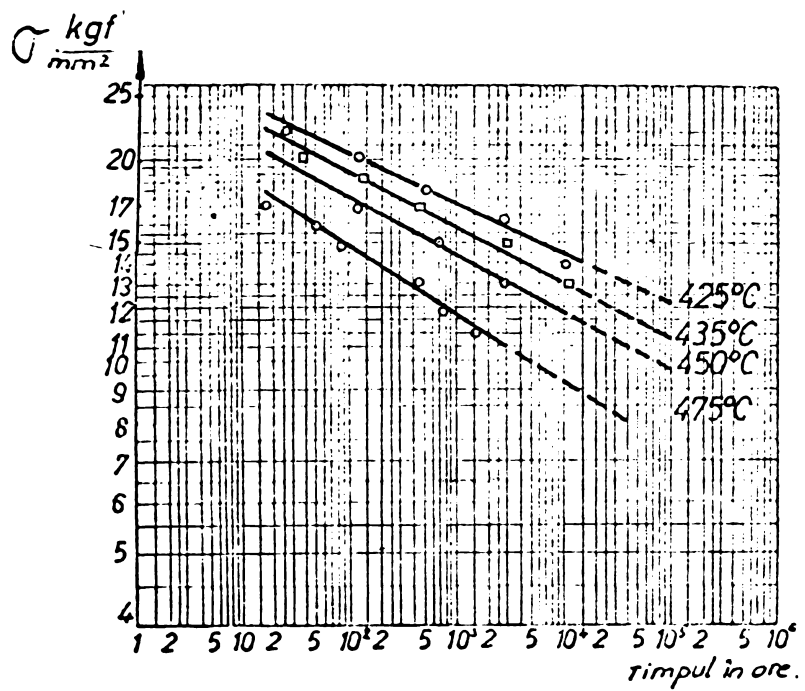
Fig. 3.2.3.5 și 3.2.3.6 redau datele experimentale iar Tab. 3.2.3.6 prezintă ecuațiile izotermelor - calculate cu metoda celor mai mici pătrate - abaterile și coeficienții de corelație pentru oțelurile IRSID și ICSM.

Tabela 3.2.3.6

Temperatură	$lg t = A - B \cdot lg G$		AB X	ABAT Y	R
	A	B			
698° (425°)	19,07259	13,02240	0,10744	0,83702	0,99173 OL A 37
708° (435°)	18,07391	12,51092	0,10289	0,86028	0,99282 IRSID
723° (450°)	16,81651	11,94546	0,05662	0,57140	0,99508
748° (475°)	13,85028	10,1540	0,03864	0,69685	0,98993
673° (400°)	16,0209	9,8218	0,06693	0,47538	0,99008 OL ICSM
723° (450°)	12,44795	7,68836	0,23313	0,73398	0,94893
773° (500°)	7,93273	5,04806	0,23265	0,74768	0,95036
823° (550°)	6,28084	4,86503	0,08354	0,82452	0,99485

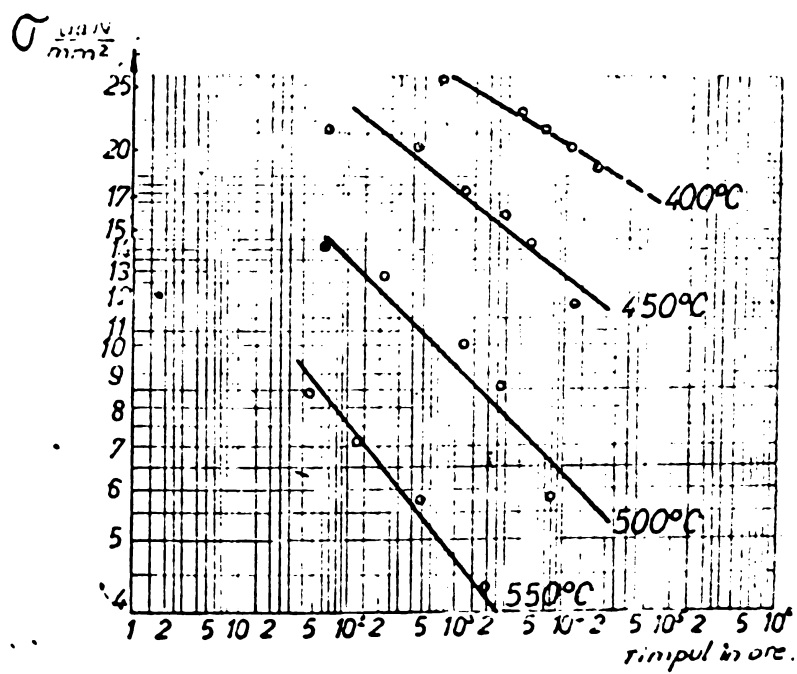
Se stabilesc și aici - cu metoda de mai sus - ecuațiile de tip (3.2.3.6) pentru oțelul IRSID (vezi fig. 3.2.3.6 dreapta 3)

$$\frac{1}{t} = -12,93979 + 15,44235 \cdot \frac{1}{G}$$



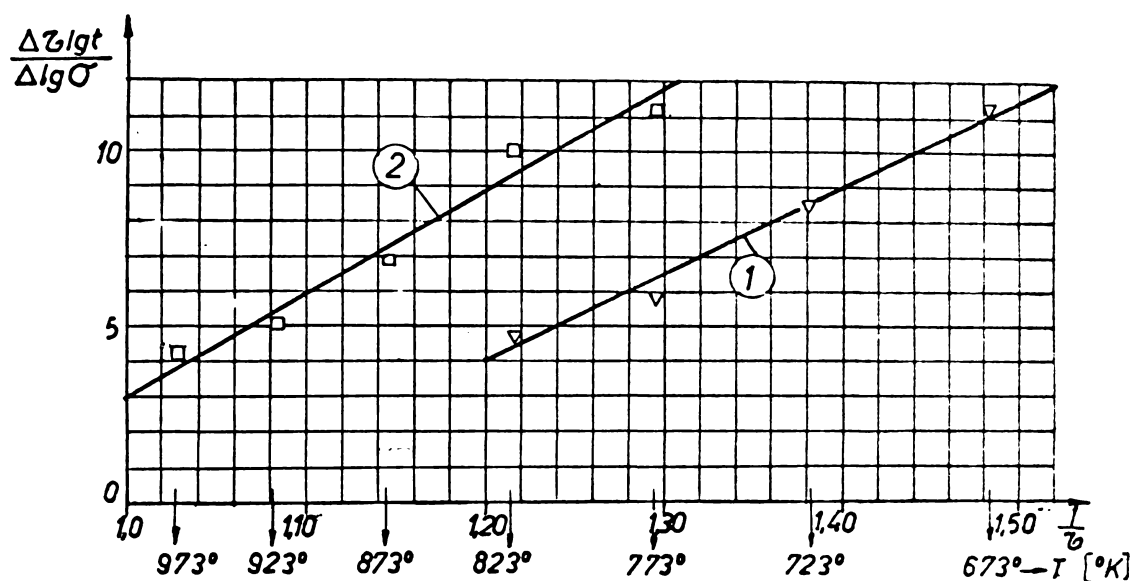
Capitolul 3.2.3

Figura 3



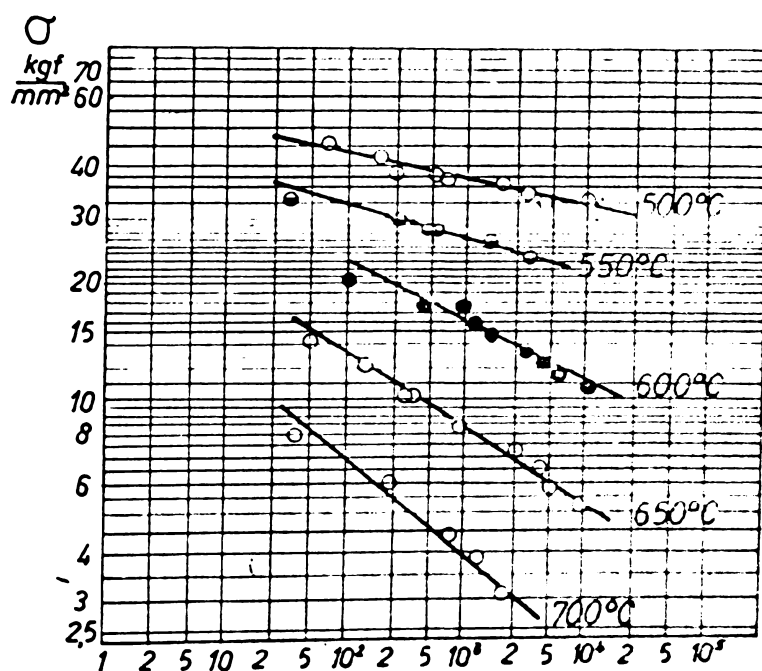
Capitolul 3.2.3

Figura 4



Capitolul 3.2.3

Figura 9



Capitolul 3.2.3

Figura 1

respectiv pentru oțelul ICEM (vezi fig.3.2.3.9 dreapta 1)

$$\mu = -19,48072 + 19,58741 \cdot \frac{1}{T}$$

In Tab.3.2.3.9 sunt calculati parametrii statistici concentrati pentru metodele studiate. Corelatia cea mai bună dă fontele cu rafit nodular și oțelul nealiat. Oțelurile aliate au dispersii mai mari.

Tabelul 3.2.3.9

	$\alpha = ABX$	$\pm t \cdot s$	R
fontă cu grafit nodular	0,2379	0,55977	0,99031
Aftenborough	0,03218	0,09397	0,99996
Murry	0,13084	0,30788	0,97851
OL ICEM	0,49948	1,17516	0,96762
OLX22CrMoV121	0,56735	1,60588	0,96433

Dispersiile cele mai mari se observă la oțelul înalt aliat [3.6], unde datele experimentale se extind și la temperaturile cele mai mari (fig. 3.2.3.9).

Ecuatiile izotermelor sunt:

$$\lg t_{5000} = 25,48002 - 14,34965 \cdot \lg T; \quad \lg t_{5500} = 21,07689 - 12,82037 \cdot \lg T$$

$$\lg t_{6000} = 11,85384 - 7,49955 \cdot \lg T; \quad \lg t_{6500} = 7,84754 - 5,2939 \cdot \lg T$$

$$\text{și } \log t_{7000} = 5,64701 - 4,36909 \cdot \lg T$$

In baza acestor 5 puncte se obține ecuația:

$$\mu = -26,17737 + 29,17658 \cdot \frac{1}{T}$$

reprezentată în fig.3.2.3.9 de dreapta 2.

3.2.4. Metode statistice de extrapolare

3.2.4.1. Metoda de extrapolare Larson-Miller - poate fi din cauza simplificării ei - este una din metodele de extrapolare cele mai răspândite. Totuși mulți autori [3.7] arată că se pot produce erori însemnante, fiind o metodă care se bazează pe 3 construcții grafice:

- interpolarea în diagrame $\lg t - \lg T$,
- determinarea grafică a constantei C,
- construirea curbei de bază Larson-Miller.

De aceea consideră că metoda poate fi folosită doar pentru proiectarea încercărilor în scop estimativ și nu recomandă aplicarea ei pentru pronosticuri, decât în cazul verificării rezultatelor cu încercări de durată lungă.

In Cap.2.4.2.(figura b) s-a prezentat metoda grafică pentru determinarea constantei ζ . Din nefericire extinderea datelor experimentale (și acestea citite prin interpolare) nu reprezintă decit o fracție mică din valoarea extrapolată, astfel corectitudinea pantei acester linii este dubioasă. In plus alegerea personală și ireproducibilă a acester linii face ca mulți autori să îndoiască de acceptabilitatea determinării constantei ζ prin această metodă.

In baza acestor rezerve exprimate și de alți autori [3.8] [3.9] [3.10] s-a adoptat metoda statistică preconizată în [3.8]. In acest caz nu mai există ambiguitate în determinarea constanteelor. Piese din acestea fiind dată cu securitate, ca și valoarea optimă pentru datele experimentale particulare.

3.2.4.2. Algoritmul utilizat

Intrucit din cele 3 variabile t , ζ și ζ determinate la încercări - duratele (t) pînă la rupere prezintă dispersia celor mai mari, se consideră timpul (t) ca o funcție a temperaturii ($\zeta = T/1000$) și tensiunii (ζ) de forma:

$$(3.2.4) \dots t = 10^{f(\zeta, \zeta)} \quad \text{sau} \quad \lg t = f(\zeta, \zeta)$$

Forma funcției $f(\zeta, \zeta)$ este una din cele date în tabela 3.2.4. Aceasta poate fi scrisă sub formă generală:

$$(3.2.4.a) \lg t = f(\zeta, \zeta) = a_1 + a_2 \cdot f_1(\zeta, \zeta) + a_3 f_2(\zeta, \zeta) + \dots + a_6 f_5(\zeta, \zeta)$$

Coefficienții a_i ale acestei funcții se determină cu metoda celor mai mici pătrate: suma pătratelor diferențelor, dintre valorile experimentale $\lg t_i$ și cele calculate prin înlocuire în funcție a valorilor experimentale ζ_1, ζ_1 să fie minimă.

$$(3.2.4.b) F(a_1, \dots, a_6) = \sum_{i=1}^N [\lg t_i - f(\zeta_1, \zeta_1)]^2 = \text{minim}$$

unde s-a notat, cu N numărul variantelor experimentale și cu t_i, ζ_i , ζ_i - rezultatul unei încercări.

Această sumă de pătrate caracterizează dispersia în jurul liniei de regresie a valorilor experimentale. Valorile coeficientilor (a_i) arătă ponderea influenței caracteristicilor $f_i(\zeta, \zeta)$.

Pentru determinarea minimului funcției (3.2.4.b) se construiește sistemul zecurilor derivatelor parțiale în raport cu $a_1 \dots a_6$:

$$\begin{aligned} \frac{\partial F}{\partial a_1} &= 0 \\ \cdots \frac{\partial F}{\partial a_6} &= 0 \end{aligned}$$

Astfel se obține un sistem de 6 ecuații cu 6 necunoscute; coeficienții acestora sint sume ale valorilor experimentale [3.23]

Schemă logică a rezolvării este repropusă în figura 3.2.4, unde se arată construirea sistemului.

Se consideră că pentru aproximarea curbei de bază Larson-Miller este suficient să se admită o relație de forma: $10^{-3} \cdot T \cdot (C + \lg t) = f(\sigma)$, unde $f(\sigma)$ este o parabolă de gradul 3: $f(\sigma) = a_0 + a_1 \cdot \lg \sigma + a_2 \cdot \lg^2 \sigma + a_3 \cdot \lg^3 \sigma$. În consecință se poate lucra doar cu un sistem de 5 ecuații cu 5 necunoscute, pentru determinarea coeficienților C , a_0 , a_1 , a_2 , a_3 .

3.2.4.3. În continuare s-a cercetat, cum se poate aplica funcția de tensiune Larson-Miller $f(\sigma)$ pentru fonta cu grafit nodular (Fig. n 40-10 elaborată de UCM Reșița).

S-a luat valoarea medie a constantei Larson-Miller (vezi capitolul 3.2.1.1.b): $C = 28,83$ și cu această valoare s-a trasat conform SPAS 8894-71 curba de bază pe cale grafică (fig. 3.2.4.4).

S-au luat cîteva duri caracteisticice ($t = 100, 500, 1000, 5000, 10000, 50000, 100000$ ore) pentru care s-au determinat prin intersecție cu curba de bază rezistențele tehnice de durată $\bar{\sigma}_{r/t}$ și $\bar{\sigma}'_{r/t}$, care sunt trecute în tabela 3.2.4.

Tabelă 3.2.4

durata t în ore	100	500	1000	5000	10000	50000	100000
$P_{LM} = 698(\lg t + 28,83)$	21519	22007	22217	22705	22915	23403	23613
$\bar{\sigma}_{r/t}$ kgf/mm^2	23,2	21,2	20,1	17,3	15,91	12,5	11,3
$\bar{\sigma}'_{r/t}$ kgf/mm^2	22,4	20,6	19,7	16,7	15,05	11,3	10,0
$\bar{\sigma}''_{r/t}$ kgf/mm^2	23,3	21,9	20,8	17,7	16,1	12,2	10,65
$\Delta' = \frac{\bar{\sigma}'_{r/t} - \bar{\sigma}}{\bar{\sigma}}$ %	- 3,5	- 2,9	- 2,0	- 3,5	- 5,4	- 10,7	- 11,5
$\Delta'' = \frac{\bar{\sigma}''_{r/t} - \bar{\sigma}}{\bar{\sigma}}$ %	+ 0,5	+ 3,3	+ 3,5	+ 2,3	+ 1,2	+ 2,4	+ 5,8

Pe altă parte s-au determinat - folosind calculatorul - coeficienții parabolei $P_{LM} = (\lg t + C) \cdot T \cdot 10^{-3} = f(\sigma)$ care sunt trecuți în tabela 3.2.4.5.

Tabelă 3.2.4.5

Funcțiile de tensiune Larson-Miller:
fontă cu grafit nodular

$$1. P_{LM} \cdot 10^{-3} = (\lg t + 30,72865) T \cdot 10^{-3} = 97.59498 + \\ - 185,8275 \cdot \lg \sigma + 161,22497 \cdot \lg^2 \sigma - 47,75103 \cdot \lg^3 \sigma$$

$$2. P_{LM}^r \cdot 10^{-3} = (1gt + 30,74586) T \cdot 10^{-3} = 43,12143 + \\ - 13,05809 \sqrt{T} + 3,28533 \cdot T - 0,30017 \cdot T^{3/2}$$

$$3. P_{LM}^r \cdot 10^{-3} = (1gt + 30,70212) \cdot 10^{-3} = 27,43970 - 0,3378 \cdot T \\ + 0,01393 \cdot T^2 - 0,0003383 \cdot T^3$$

S-a dat un exemplu, pentru tabelarea funcției și anume pentru temperatura de 425°C , care s-a obținut la calculator (tabela 3.2.4.g)

Tabelă 3.2.4.b

Nr. crt.	Tempe- ratură c°C	Tensiunea de încerc. kgt/mm^2	Durata pînă la rupere; valoarea medie		Abaterea valorii față de dreaptă interpolată Δt $= \lg t_r - \lg t_1$ $i = 1 \div 4$
			t_r ore	$\lg t_r$	
1	425	20 (3) ^x	816	2,91172	- 0,08239
2	425	20,5	773	2,88818	0,04298
3	425	22 (2)	421,5	2,62467	0,20734
4	425	23 (4)	149	2,17317	0,02492
5	425	24 (2)	54,4	1,73269	-0,15804
6	437,5	18 (2)	799	2,90268	-0,03040
7	437,5	19	480	2,68124	0,02992
8	437,5	20 (2)	231	2,36367	-0,02029
9	437,5	22 (2)	72,7	1,86169	-0,02559
10	450	14	804	2,90526	-0,41512
11	450	15 (3)	1058	3,02437	-0,01275
12	450	16 (2)	490	2,69011	-0,06199
13	450	16,5 (3)	462	2,66532	0,01712
14	450	18 (8)	579	2,76289	0,023963
15	450	18 (3)	138	2,13919	-0,14930
16	450	19 (4)	187	2,27278	0,20629
17	450	20 (3)	34,8	1,54062	-0,31502
18	450	21	60,5	1,78176	0,12627
19	475	10,5	880	2,94448	0,08776
20	475	11	534	2,72754	0,01152
21	475	11,5	280	2,44716	-0,13435
22	475	12	237	2,37475	-0,08915
23	475	13	153,5	2,18611	-0,03567
24	475	14	97	1,98677	0,00332

^x cifrele din paranteză indică numărul încercărilor repetate la același nivel de tensiune

^{xx} Vedi Tabela 3.1.g

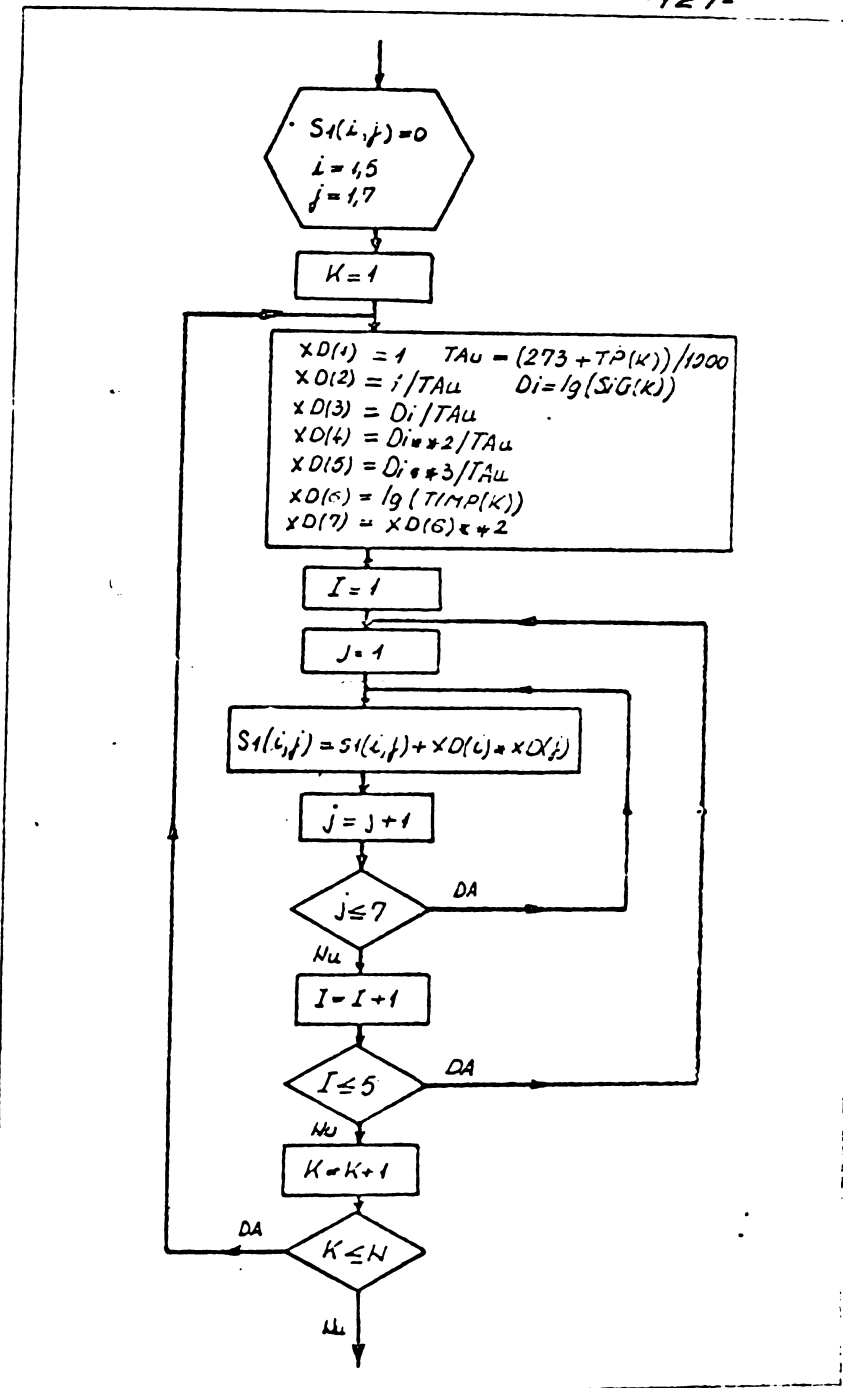
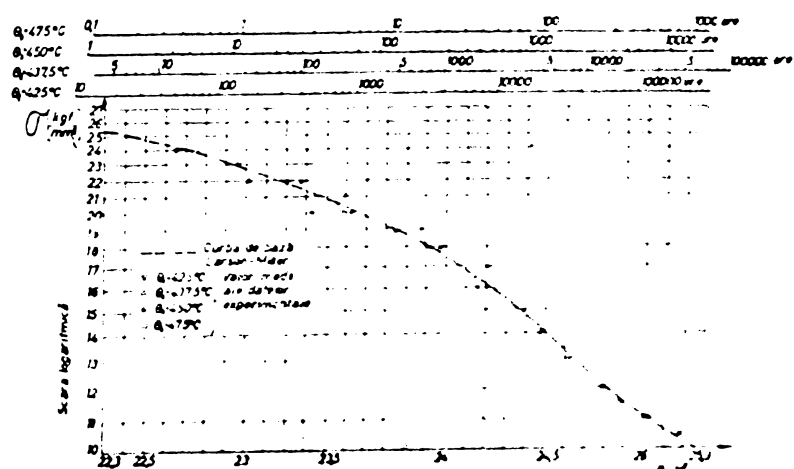
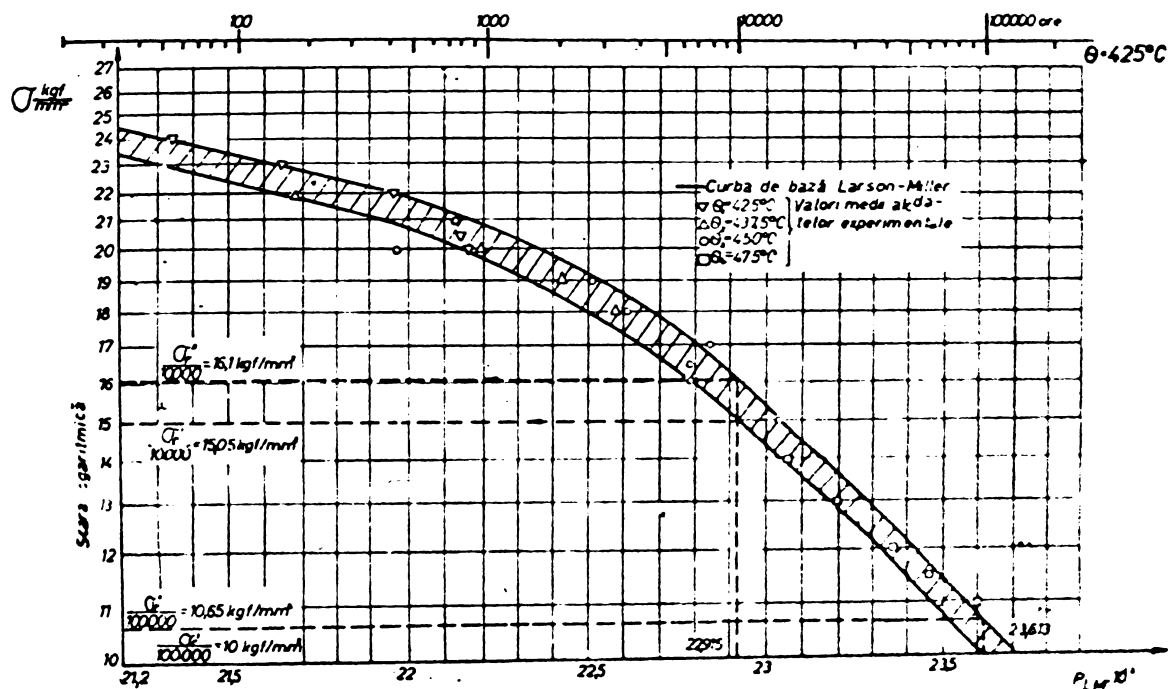


Figura 3.2.4



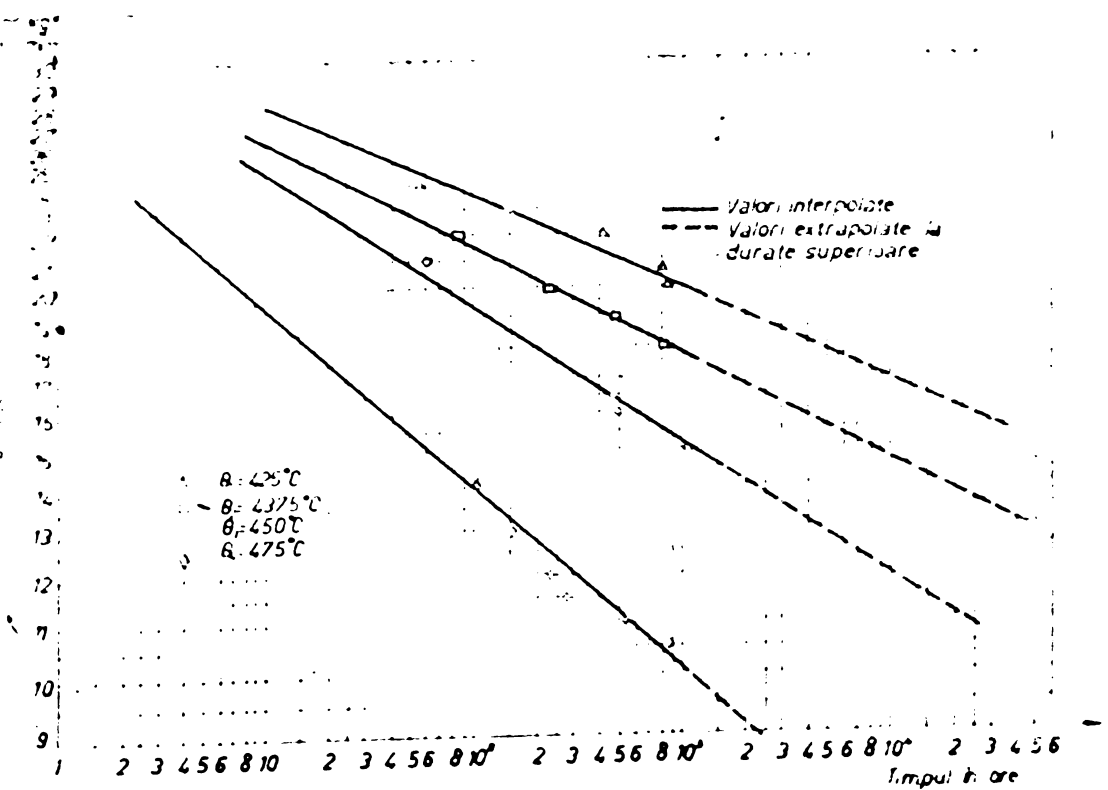
Capitolul 3.2.4

Figura b



Capitolul 3.2.4

Figura 2



Capitolul 3.2.4

Figura 3

Tabela 3.2.4.b

σ	$\frac{\text{kgf}}{\text{mm}^2}$	Param.Larson-Miller	$\lg(t_{imp})$	Timp ore
10,00		25,2413512	5,43374070	271481,788
11,00		24,9942941	5,07979064	120168,499
12,00		24,8052957	4,80901935	64419,7964
13,00		24,6485168	4,58440774	38406,7659
14,00		24,5071308	4,38192057	24094,6473
15,00		24,3702830	4,18579199	15332,8214
16,00		24,2305834	3,98564924	9674,96129
17,00		24,0833440	3,77470463	5952,57163
18,00		23,9255160	3,54858990	3536,63219
19,00		23,7552029	3,30458835	2016,45416
20,00		23,5713019	3,04111984	1099,30914
21,00		23,3732583	2,75738978	571,991775
22,00		23,1608968	2,45314695	283,887443
23,00		22,9343032	2,12851438	134,435626
24,00		22,6937417	1,78387039	60,7953536
25,00		22,4395956	1,41976417	26,2884009
26,00		22,1723255	1,03685571	10,3856836
27,00		21,8924395	0,635872859	4,32387230
28,00		21,6004715	0,217580683	1,65036758
29,00		21,2969664	-0,217240411	0,606400553
30,00		20,9824687	-0,667810145	0,214876962

Functia $P_{LM} = f(\sigma)$ este reprezentata in figura 3.2.4.b prin 20 puncte. S-a calculat derivata de ordin 2, din care rezulta punctul de inflexiune a curbei: $\lg \sigma = 1,12545$ și $\sigma = 13,35 \text{ kgf/mm}^2$ ^{x)}. S-au trecut valorile medii ale rezistențelor tehnice de durată din figura 3.2.4.c și Tabela 3.2.4.b, care sint in concordanță foarte bună cu aceasta curbă de bază $f(\sigma)$, pe de altă parte s-au determinat rezistențele tehnice de durată $\sigma_{r/t}$ pentru valorile izocrone de mai sus ($t = 100 - 100000$ ore) și s-au trecut de asemenea in Tabela 3.2.4. Abaterile procentuale variază intre -2% și +11,5% respectiv 0,5 și 5,8%.

In figura 3.2.4.d s-a construit din nou functia $f(\sigma)$ peste care s-au suprapus dreptele isoterme din figura 3.2.4.g. se observă că acestea

^{x)} Acest punct de inflexiune al curbei rezistențelor tehnice de durată la valori mari ale timpului de rupere semnalată și de alți autori [3.24].

sunt corelate foarte strins cu funcția $f(\sigma)$. Curba de bază le înfășoară aceste drepte; izotermele însă în zona de extrapolare se îndepărtează din ce în ce mai mult de curba de bază $f(\sigma)$.

În scopul evaluării dispersiei între cele 2 acceptări:

a) ecuația izotermelor $\lg t_1 = a_1 - b_1 \lg \sigma$ și

b) duratele t_1 calculate cu funcția de tensiune Larson-Miller $f(\sigma)$

S-a întocmit tabela 3.2.4.d, unde s-au calculat aceste 2 durate (t_1 este trecut în părtină) pentru 4 nivele de tensiuni.

S-au determinat abaterile procentuale:

$$\Delta \% = \frac{(\lg t_1 - \lg t_1)}{\lg t_1} \cdot 100. \text{ În figura 3.2.4.g s-au reprezentat aceste}$$

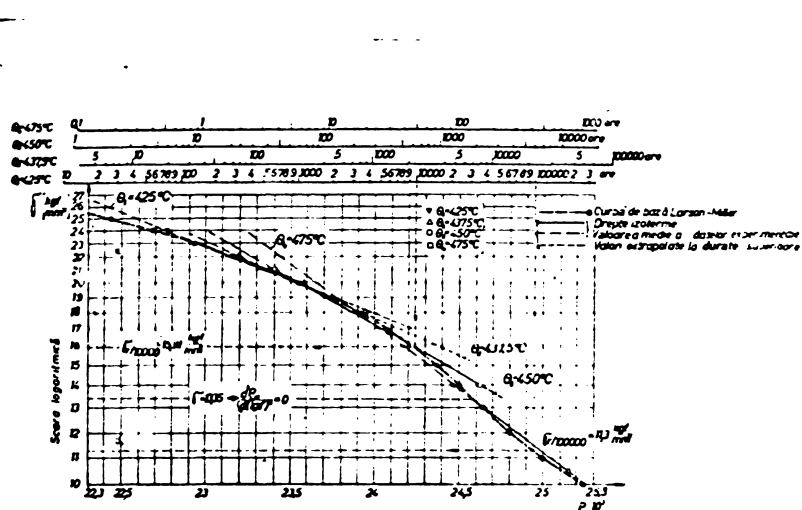
abateri în funcție de tensiune pentru cele 3 nivele de temperatură: 425° , $437,5^\circ$ și 450°C .

Dispersiile minime se obțin pentru $\sigma = 20 \text{ kgf/mm}^2$ - valoarea medie a interpolării. Dispersii mari nu se obțin la durate mari - care se cer extrapolate - ci la valori mici ale tensiunilor. Aceasta se evidențiază și mai bine în figura 3.2.4.f, unde s-a reprezentat $\Delta \%$ în funcție de temperatură $\theta^\circ\text{C}$: dispersiile cele mai mici sunt pentru $\sigma = 20 \text{ kgf/mm}^2$ și moderate pentru $\sigma = 17 \text{ kgf/mm}^2$. Evident în ansamblu dispersiile cresc cu treapta de temperatură $\Delta T = 12,5^\circ$ respectiv $\Delta T = 25^\circ$.

În fine folosind tabela 3.2.4.g și cele similare întocmite pentru nivelurile de temperatură de 400° , 425° , $437,5^\circ$, 450° și 475°C (care nu sunt reproduse în lucrare) s-au trasat izotermele date de funcția de tensiune Larson-Miller $f(\sigma)$ pentru aceste temperaturi în figura 3.2.4.g. Tot aici s-au trecut și valorile medii experimentale precum și dreptele izotermelor din figura 3.2.4.g. Se observă că funcția $f(\sigma)$, aproximăza mai bine punctele experimentale decât dreptele izotermelor, mai ales la durate mai mari. Evaluarea statistică a dispersiilor se va face în capitolul următor.

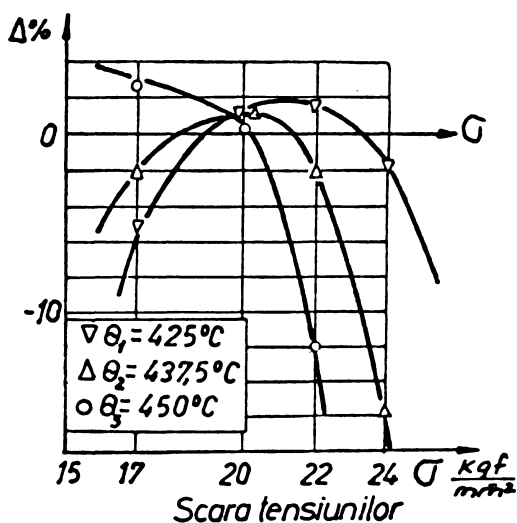
Tot în baza tabelelor date de calculator pentru 6 trepte de temperatură cuprinse între 400° ... 475°C similare tabeliei 3.2.4.g s-a construit liniile isotrope pentru duratele $t = 100, 500, 1000, 5000, 10000, 50000$ și 100000 ore în figura 3.2.4.h. Dintre mai multe variante s-a ales sistemul de reprezentare $1/T - \lg \sigma$, care a dat aplișări cele mai pronunțate ale curbelor. Toate liniile izocrone prezintă puncte de inflexiune pentru $\sigma = 13,35 \text{ kgf/mm}^2$.

O reprezentare similară s-a făcut în figura 3.2.4.i, unde valoările punctelor s-au calculat din relațiile, care aproximăza linear



Capitolul 3.2.4

Figura d

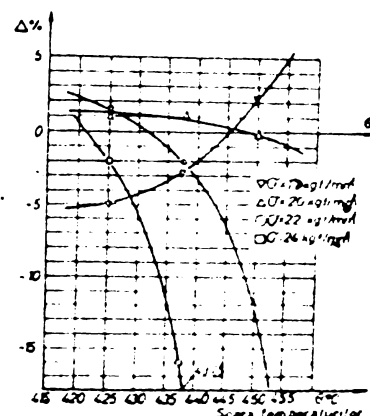


Capitolul 3.2.4

Figura e

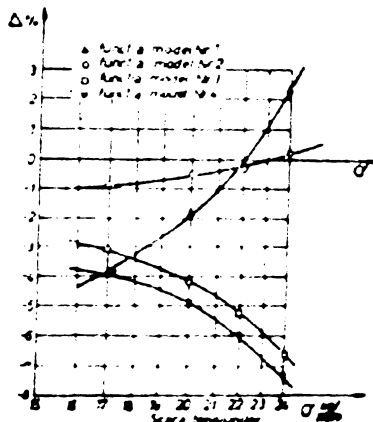
Capitolul 3.2.5

Figura a



Capitolul 3.2.4

Figura f



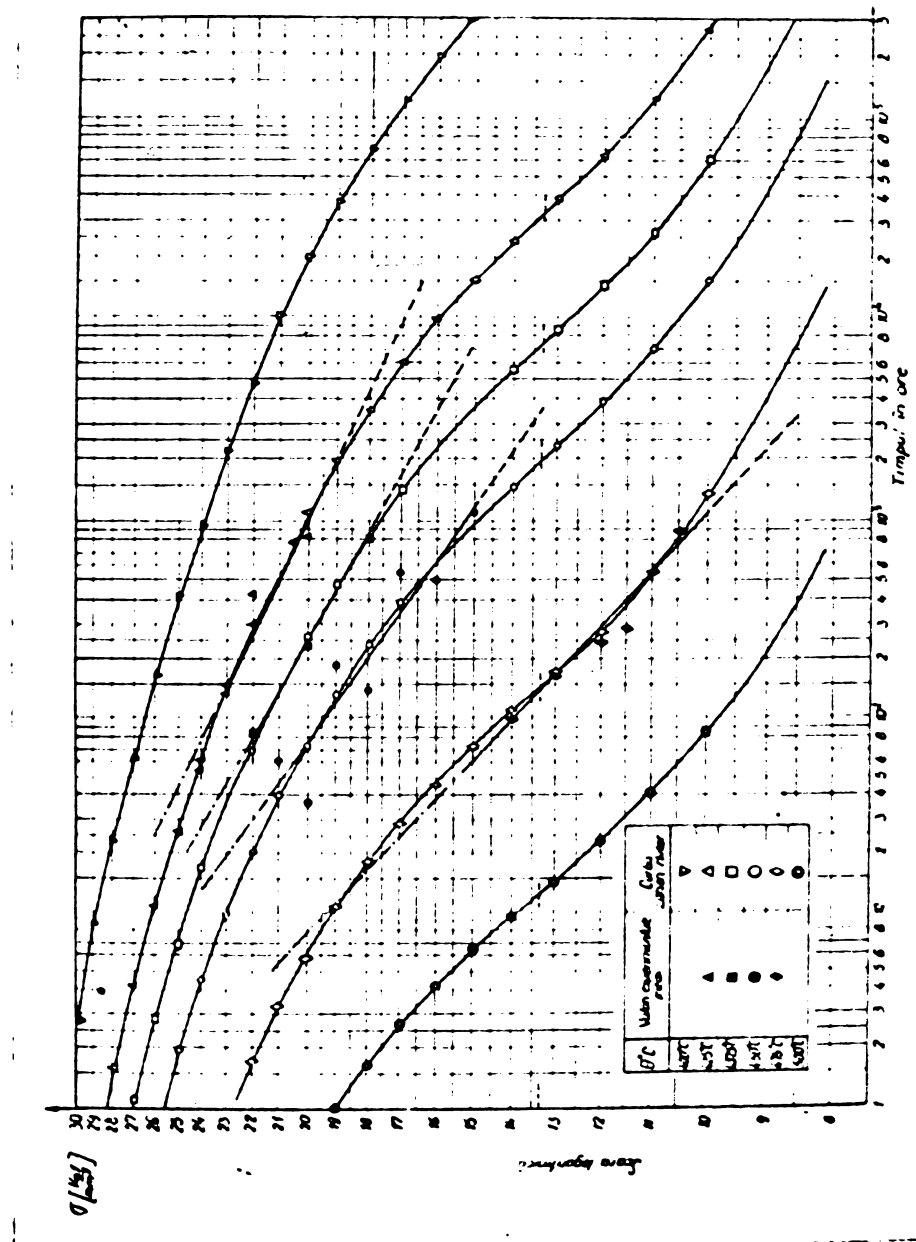


Figura 8

Capitolul 2.2.4

izotermele, după ecuații de forma: $\lg t = a - b \cdot \lg \sigma$. Aici s-a ales sistemul de coordonate $1/T$ - linear, care în acest caz a asigurat aplatarea cea mai bună a curbelor. Totuși și aici se remarcă clar punctul de inflexiune pentru $G = 13,35 \text{ kgf/mm}^2$.

3.2.4.4. Analiza statistică a rezultatelor

S-au calculat parametrii statistici eguali:

- abaterea medie pătratică AB X a valorilor experimentale $\lg t_i$, făță de valorile calculate pe baza funcției de regresie $f(z_1)$ cu relația:

$$(3.2.4.c) \dots AB X = \sqrt{\frac{\sum [\lg t_i - f(z_1)]^2}{N}}$$

în care N este numărul variantelor experimentale

- abaterea standard a valorilor $\lg t$ cu relația:

$$(3.2.4.d) \dots ABAT Y = \sqrt{\frac{\sum (\lg t - \bar{\lg t})^2}{N}}$$

- coeficientul multiplu de corelație cu relația:

$$(3.2.4.e) \dots R = \sqrt{i - \frac{AB X}{ABAT Y}}$$

Schema logică pentru calculul elementelor statistice este redată în figura 3.2.4.j.

Folosind acești parametri s-a cercetat în ce măsură influențează rezultatele schimbarea variabilei $\lg \sigma$ în funcțiile de tensiune cu relație respectiv linear. Toate aceste rezultate sunt concentrate în Tabela 3.2.4.g unde s-a păstrat nomenclatura funcțiilor din Tabela 3.2.4.g.

Tabelă 3.2.4.g

Parametrii statistici ai funcțiilor de tensiune Larson-Miller din Tabela 3.2.4.g

No. func- ție	Variabila	Abaterea medie pătratică AB X	Abaterea standard ABAT Y	Coeficientul de corelație R
1	$\lg G$	0,21147	0,44370	0,87912
2	\sqrt{G}	0,21274	0,44370	0,87756
3	G	0,21346	0,44370	0,87667

Se observă că toți parametrii statistici au valori optime, dacă se introduce variabila $\lg G$ în funcția de tensiune; variabilele \sqrt{G} și rezultate foarte puțin diferite de prima, dar cu dispersii mai mari.

Parametrii cu discrepanțe și mai mari sunt date de variabila \sqrt{T} linear.

Diagrama $\lg t - \sqrt{T}$ practic se suprapune peste coordonatele $\lg t - \lg T$, de aceea nu s-a mai reprodus. În figura 3.2.4.4 s-a reprezentat diagrama $\lg t - \sqrt{T}$ linear. Se observă: curba de bază $f(\sqrt{T})$ Larson-Miller își menține curbura negativă și în acest sistem pentru toate nivalele de temperatură; iar ecuațiile $\lg t = a + b \cdot \lg T$ trece în linii – avind curburile positive – pentru toate nivalele de temperatură.

Parametrii statisticici pentru metoda grafică nu s-au calculat, aceștia fiind foarte detailat studiați în literatura de specialitate în baza unei populații mult mai mari [3.6].

3.2.4.5. Făcindu-se o interpolare simplă considerind ecuații de formă:

$$(3.2.4.5) \dots \quad \lg t = a - b \cdot \lg T$$

s-au calculat parametrii statisticici față de interpolare pentru fiecare nivel de temperatură individual. Coeficientii a și b sunt date în tabela 3.1.b.

Parametrii statisticici pentru interpolare sunt date în tabela 3.2.4.5.

Tabela 3.2.4.5

Temperatură °C	AB X	ABAT Y	R
425°	0,17382	0,44896	0,92202
437,5°	0,11555	0,36819	0,94948
450°	0,27271	0,47580	0,81944
475°	0,06811	0,31918	0,97697

3.2.4.6. Încercări la 2 nivale de temperatură

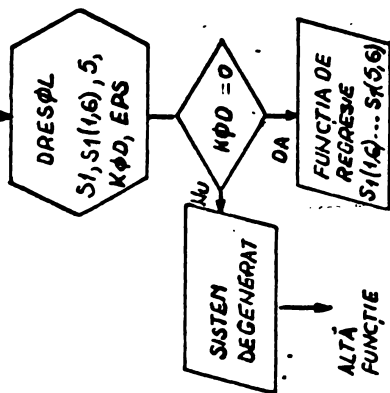
In cele de mai sus criteriul de comparație erau abaterile între valurile experimentale și cele calculate cu funcția de tensiune. Pentru a corecta în ce măsură funcția de tensiune $f(\sqrt{T})$ este potrivită la extrapolații pentru alte temperaturi decât cele de incercare, s-au luat doar datele experimentale de la 2 nivale de temperatură: $t_2 = 437,5^\circ$ și $t_3 = 450^\circ C$ și s-au calculat cu parametrul Larson-Miller duratele pentru toate 4 nivale de temperatură. Aceeași metodică s-a folosit și în cazul metodelor parametrice în capitelurile 3.2.1 și 3.2.2. Funcțiile de tensiune sunt date în tabela 3.2.4.6 numărata cu 4,5 și 6.

Tabela 3.2.4.6

Funcțiile de tensiune Larson-Miller stabilite pentru incercări la 2 nivale de temperatură

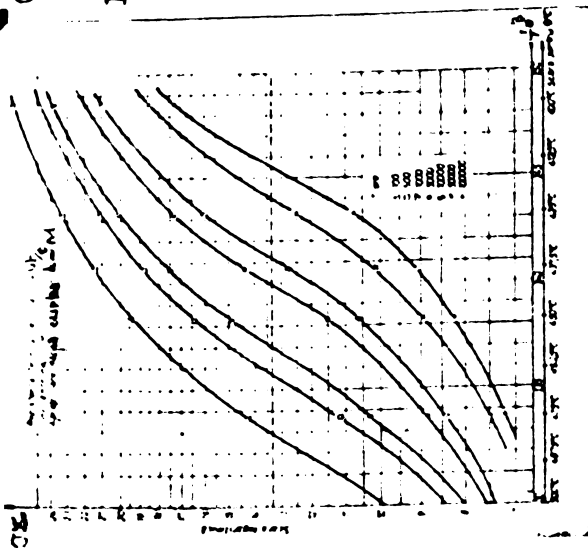
$$ABATY2 = (S1(1,7) - \frac{S1(6)*S2}{N}) : N$$

$$ABATY = \sqrt{ABATY2}$$



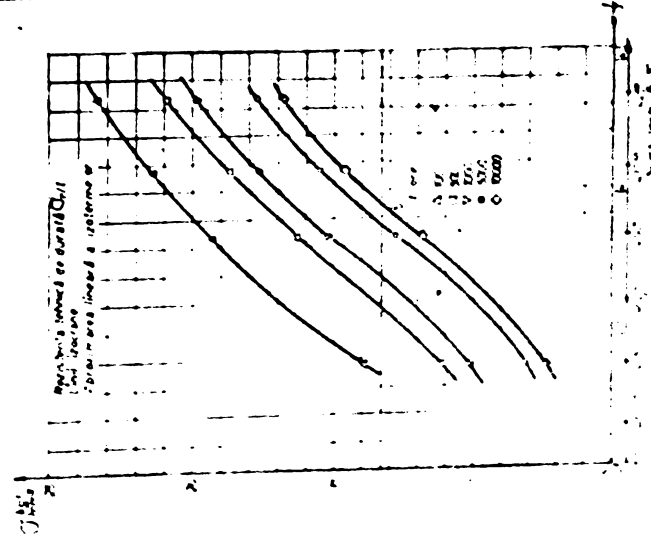
Capitolul 3.2.4

Figura h



Capitolul 3.2.4

Figura i



Capitolul 3.2.4

Figura j

$$TAU = (273 + T\rho(K)) / 1000$$

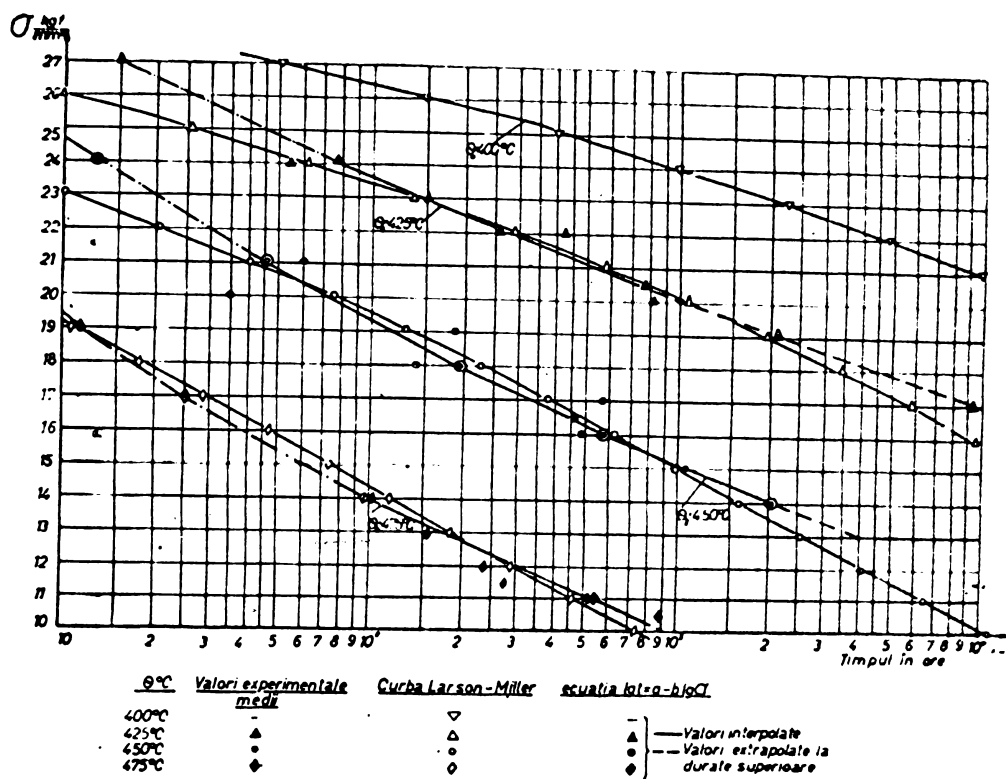
$$Di = lg(SiG(K))$$

$$ABATX = ABATX + [(g(T)HP(K) - Si(1,6) - S1(2,6)/TAU - S1(3,6)*Di/TAU - S1(4,6)*Di*Di/TAU - S1(5,6)*Di*3/TAU]^2$$

$$K = K + 1$$

$$ABx = \sqrt{\frac{ABATX}{N}}$$

$$R = \sqrt{1 - \frac{ABx^2}{ABATY2}}$$



Capitolul 3.2.4

Figura k

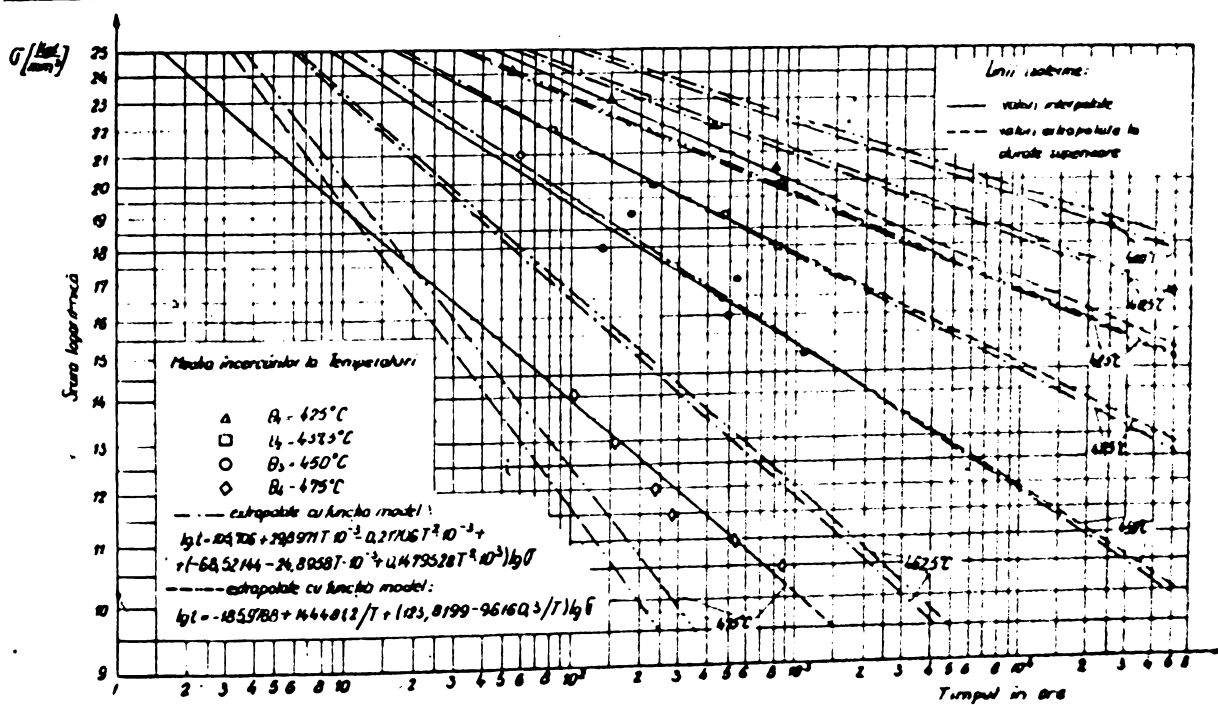


Figura 3.2.5

$$4. P_{LM} \cdot 10^{-3} = (lgt + 29,47785) T \cdot 10^{-3} = -494,70543 + \\ + 1230,53827 \cdot \lg T - 968,00208 \cdot \lg^2 T + 251,96026 \cdot \lg^3 T$$

$$5. P_{LM}^* \cdot 10^{-3} = (lgt - 29,34315) T \cdot 10^{-3} = -174,05774 + \\ + 139,68331 \sqrt{T} - 32,59585 T + 2,50226 T^{3/2}$$

$$6. P_{LM}'' \cdot 10^{-3} = (lgt + 29,17869) T \cdot 10^{-3} = -2,81852 + \\ + 4,51349 \sqrt{T} - 0,25242 T^2 + 0,0044889 T^3$$

iar parametrii statistici sunt calculați în Tabela 3.2.4.b.

Tabela 3.2.4.b

Parametrii statistici ai funcțiilor de tensiune

Larson-Miller din Tabela 3.2.4.b

Nr. func- ției	Variabila	Abaterea medie pătratică	Abaterea standard	Coeficientul de corelație
		ABA ² X	ABA ² Y	R
4	$\lg T$	0,22318	0,45888	0,86636
5	\sqrt{T}	0,22387	0,45882	0,86474
6	T	0,22863	0,45888	0,86304

Ca și mai sus (vezi Tabela 3.2.4.a) se observă aceeași ordine în ce privește concordanța parametrilor: optimă pentru variabila $\lg T$ și cea mai slabă pentru variabila T . Evident coeficienții R dau în acest caz o corelație mai puțin strânsă, decât la încercările făcute la 4 nivele de temperatură, dar diferența se situează în jur de ~ 0,01 – ceea ce dovedește aptitudinea corespunzătoare a funcțiilor de tensiune Larson-Miller și pentru extrapolare.

2.5. Extrapolarea rezultatelor cu "funcții model"

Metoda se bazează pe relații între temperatura, tensiune și timp de formă

$$(3.2.5.a) \dots F(T, U, t) = 0$$

care în literatură sunt denumite "funcții model".

Relația (3.2.5.a) se explicită în raport cu lgt:

$$(3.2.5.b) \dots lgt = \psi(\lg T, t)$$

Intrucât literatura de specialitate [3.11] [3.29] [3.30] [3.31] [3.32] [3.33] confirmă că lgt urmează o distribuție normală (Gauss), relația (3.2.5.b) se diferențiază și se obține:

$$(3.2.5.c) \dots d \lg t = \frac{\partial \lg t}{\partial T} \Big|_0 \cdot d \lg 0 + \frac{\partial \lg t}{\partial T} \Big|_0 \cdot dT$$

în care $\frac{\partial \lg t}{\partial T} \Big|_0$ este panta izotermelor, iar

$\frac{\partial \lg t}{\partial T}$ este distanță - măsurată la scara timpului -

a izotermelor pentru variația temperaturii cu o unitate. S-așa să se scrie funcția Clasen [3.27] de forma generală:

$$(3.2.5.d) \dots \lg t = A(T) + B(T) \cdot \lg 0$$

în care $A(T)$ și $B(T)$ sunt funcții de temperatură și în particular

$$(3.2.5.e) \dots \lg t = a'_0 + \frac{a'_1}{T} + (b'_0 + \frac{b'_1}{T}) \cdot \lg 0$$

$$(3.2.5.f) \dots \lg t = a_0 + a_1 \cdot T + a_2 \cdot T^2 + (b_0 + b_1 \cdot T + b_2 \cdot T^2) \cdot \lg 0$$

Relația (3.2.5.g) reprezintă o dezvoltare în serie. Coeficienții a'_0, a'_1, b'_0, b'_1 respectiv a_0, \dots, b_2 ... s-așa determinat folosind metoda celor mai puțate schițări mai sus (capitolul 3.2.4.2). Coeficienții sunt date pentru anumodă funcții în tabela 3.2.5.g.

Tabel 3.2.5.a

Funcții de tensiune "model" stabilite pentru teste
încercările, respectiv pentru 2 nivele de temperatură

$$1. \quad \lg t = -123,5553 + 99778,318 \cdot \frac{1}{T}$$

$$+ 73,8249 \cdot \lg 0 - 60350,7694 \cdot \frac{1}{T} \cdot \lg 0$$

$$2. \quad \lg t = 1177,5343 - 2,9987 \cdot T + 0,0019219 \cdot T^2 +$$

$$- 844,6611 \cdot \lg 0 + 2,1733 \cdot T \cdot \lg 0 - 0,001408 \cdot T^2 \cdot \lg 0$$

$$3. \quad \lg t = - 185,9788 + 144481,1621 \cdot \frac{1}{T} +$$

$$+ 123,8199 \cdot \lg 0 - 96160,2741 \cdot \frac{1}{T} \cdot \lg 0$$

$$4. \quad \lg t = 105,7056 + 0,0299 \cdot T - 0,000217 \cdot T^2 +$$

$$- 68,5214 \cdot \lg 0 - 0,0249 \cdot T \cdot \lg 0 + 0,000148 \cdot T^2 \cdot \lg 0$$

S-a cercetat ambele variante studiate mai sus:

a) date experimentale pentru 4 nivele de temperaturi
(funcțiile nr.1 și 2)

b) date experimentale pentru 2 nivele de temperaturi
 $\theta_2 = 437,5^\circ$ și $\theta_3 = 450^\circ\text{C}$ (funcțiile nr.3 și 4)

De asemenea s-au determinat parametrii statistici în tabela 3.2.5.b. Se observă o corelație mai puțin strânsă (aproximativ cu 0,02), decit în cazul funcției de tensiune Larson-Miller. În schimb cele 2 funcții model (nr.1 și 2 din tabela 3.2.5.a se deosebesc doar cu 0,001 la coeficientul de corelație.

Tabela 3.2.5.b

Parametrii statistici ai funcțiilor
"model" din tabela 3.2.5.a.

Nr. funcției	Abaterea medie pătratică	Abaterea standard	Coeficientul de corelație
	AB X	ABAT Y	R
1	0,22315	0,4437	0,86432
2	0,22226	0,4437	0,865498
3	0,2521938962	0,45388	0,835438875
4	0,2521938962	0,45888	0,835438875

Discrepanța este mult mai mare la rezultatele calculate din date experimentale numai la 2 nivele de temperatură (funcțiile nr.3 și 4); în acest caz coeficientul R se micșorează cu 0,03 față de același coeficient calculat din încercări la 4 trepte de temperatură.

În concordanță cu cele de mai sus, dacă se reprezintă funcțiile model Nr.1 și 2 din tabela 3.2.5.a în sistemul de coordonate $\lg t - \lg \sigma$ nu se obțin drepte care diferă sensibil de izotermele stabilite cu ecuațiile $\lg t = a - b \cdot \lg \sigma$.

De aceea în figura 3.2.5 s-au reprezentat funcțiile model Nr.3 și 4 din tabela 3.2.5.a, la care se observă abateri perceptibile față de aceste izotermă, trecute de asemenea în aceeași figură, împreună cu valoile medii ale datelor experimentale.

Abateri mari se produc mai ales la nivelul de temperatură $\theta_4 = 475^\circ\text{C}$ și în special pentru funcția Nr.4 (care din punctul de vedere practic nu prezintă importanță, întrucât extrapolarea se face de la temperaturi mari la cele mai mici și nu invers). În schimb la temperaturile de 450° și $437,5^\circ\text{C}$ cele 3 drepte aproape coincid. (De aceea nu s-a mai traseat dreapta, care reprezintă funcția Nr.3). În completare s-au trecut dreptele date de ecuațiile 3 și 4 pentru temperaturile de $462,5^\circ$, $412,5^\circ$ și 400° .

la care nu se dispune de date experimentale. Se observă că tensiunile pentru valori înscrise determinate cu dreptele - care reprezintă funcțiile model Nr.3 și 4 - nu depășesc $0,5 \text{ kgf/cm}^2$ în intervalul $\theta = 400^\circ \dots 462,5^\circ\text{C}$.

Tabelă 3.2.5.a

Durata	$1st_1$	$1st_1^{I}$	$1st_1^{II}$	$1st_1^{III}$	$1st_1^{IV}$
Tensiunea de încercare $\sigma / \text{kgf/mm}^2$			$\Delta = 1st_1^{I} - 1st_1$ ($\Delta \%$)		
17	3,97765	3,82782 -0,14983 (-3,88%)	3,94132 -0,03633 (-0,914%)	3,85502 -0,12263 (-3,08%)	3,82128 -0,15647 (-3,925%)
20	2,99421	2,93493 -0,05918 (-1,76%)	2,97617 -0,01794 (-0,534%)	2,87073 -0,12338 (-4,13%)	2,84617 -0,14794 (-4,95%)
22	2,41733	2,41130 -0,00603 (-0,25%)	2,41016 -0,00717 (-0,298%)	2,29349 -0,12384 (-5,13%)	2,27431 -0,14302 (-5,95%)
24	1,89073	1,93326 0,04253 (2,25%)	1,89342 0,00269 (0,143%)	1,76651 -0,12422 (-6,50%)	1,75224 -0,13849 (-7,35%)

Tabelă Nr. 3.1.b 3.2.5.a 3.2.5.a 3.2.5.a 3.2.5.a

No. funcție	(3.1.d)	1	2	3	4

Intracînt coeficientul de corelație R din tabelă 3.2.5.b care caracterizează numai dispersiile globale și nu ține seama nici de sensul acestora, nici de corelația lor cu nivelul de tensiune, în final s-a analizat și aceste aspecte. În fig. 3.2.5 pag. 131 s-a reprezentat abaterile percentuale $\Delta \%$ - calculate din tabelă 3.2.5.g - pentru cele patru funcții model din tabelă 3.2.5.g în dependență de nivelul de solicitare. Se observă o corespondență destul de bună a funcțiilor model pentru extrapolare (la valori mici ale tensiunii) și disperșiile mari pentru $\sigma = 24 \text{ kgf/mm}^2$. Mareea majoritatea a valorilor obținute așe abateri negative, ceea ce conferă o siguranță ameliorată. Evident se observă și aici comportarea optimă a funcției Nr.2 și cea mai slabă a funcției Nr.4.

3.3. CONCLUZII

3.3.1. În partea experimentală a lucrării se analizează rezultatele determinării rezistenței tehnice de durată $\sigma_{r/10000}$ la temperatură de 425° a fontei cu grafit nodular feritice elaborate de U.C.M. Reșița, în baza cercetărilor la temperaturi superioare. Determinările se fac în prima fază 1 metode parametrice de largă circulație mondială.

Studiul statistic efectuat a arătat că abaterea medie pătratică minimă intervalul de încredere a abaterilor procentuale cel mai mic sunt date metodele Manson - Murry, Chitty - Duval, respectiv media valorilor date 5 metode parametrice.

3.3.2. În faza următoare se stabilesc 2 metode de extrapolare (P_I și P_II), care în cazul materialelor studiate dau parametri statistici ameliorati față de metodele clasice.

În fine se dau programele calculator pentru stabilirea funcției de tempe Larson-Miller și funcțiilor "model", se studiază influența variabilei utilizate $\sigma_{r/10000}$ și T asupra dispersiilor.

3.3.3. În ce privește posibilitatea utilizării metodei Larson-Miller se stabilește că: constanta C din formula parametrică L-M este puternic influențată de nivelul solicitării și prezintă dispersii accentuate în raport cu intervalul de temperatură. Metoda analitică propusă în lucrarea 28 a ameliorat rezultatele determinării grafice din STAS 8894-71, dar nu putut înălțura folosirea constantei $C = f(T)$ și dispersiile date de temperatură. De aceea în lucrarea de față:

- a) s-a studiat influența treptei de temperatură și respectiv și asupra lorii constantei în baza relației $C_{i,j} = f(C_{i,j-1}, C_{j-1,j})$ - unde $j = i+n$ și $n = 1; 2; \dots$ - care modereză dispersiile date de temperatură.
- b) s-a trecut la eliminarea constantei C , sugerind un parametru optimist P_I , care a dat abateri medii pătratice cele mai mici din cele 10 metode parametrice de circulație largă, - în cazul materialului studiat.

S-a confirmat că distribuțiile empirice urmează legea Poisson cu verificările după criteriul Kolmogorov și χ^2 . Quantilele pentru nivele de încredere 5% și 95% în cazul metodei preconizate au dat intervale de încredere $0 \dots 3,515\%$ (la $\Delta T = 12,5^{\circ}$), respectiv $0 \dots 3,753$ la $\Delta T = 25^{\circ}$. Metode clasice au dat intervale mult mai mari.

3.3.4. S-a conceput o nouă funcție model: $\lg t = \left(\frac{B_2}{T^2} - B_1 \right) \lg \frac{T}{T_0} + \lg t_0$, stabilită în lucrare folosind reprezentarea parametrică $T \cdot \lg t = \lg \frac{T}{T_0}$.

S-a determinat pentru coeficienții B_1 și B_2 nivelul de încredere de 90% în baza testului t (Student) și s-a calculat coeficientul de corelație R .

Acest coeficient a dat valori superioare lui 0,99 în cazul fontelor cu grafit nodular, 0,98 centru otelul realist și 0,96 ... 0,97 pentru otelurile luate cercetate. Evident dispersia crește și cu intervalul de temperatură. În toate cazurile coeficientul R este superior valorilor obținute la ecuațile izotermelor.

3.3.5. S-a stabilit la calculator funcția de tensiune $f(T)$ Larson-Miller, care în STAS 8894-71 este construită prin aproximări grafice:

a) Atât curba de bază Larson-Miller, cît și curbele izoterme în sistemul $\lg T - \lg \tau$ - date prin tabelare tot de calculator - determinate cu funcții de tensiune $f(T)$, au o alură similară celor construite grafic și prezintă abateri minime față de punctele experimentale.

b) Funcția de tensiune $f(T)$ stabilită de calculator dă un coeficient C riguros constant pentru orice nivel de tensiune și o variație mult mai mică al acestui coeficient în raport cu temperatura.

c) Deși posibilitățile laboratoarelor noastre nu permit să se efectueze încercări de durată de ordinul 10^5 ore, totuși valorile extrapolate stabilite prin funcții de tensiune dovedesc existența unui punct de inflexiune pentru curba rezistențelor tehnice de durată, confirmat de cercetători la încercări de durată foarte mare [3.24].

3.3.6. S-a făcut o analiză a parametrilor statistici, în ce privește influența variabilelor folosite în calcule: $\lg T$, \sqrt{T} respectiv T .

Se observă că tot acești parametrii au valori optime, dacă se introduce variabila $\lg T$ în funcție de tensiune $f(T)$; variabila \sqrt{T} dă rezultate foarte puțin diferită de prima, dar cu dispersii mai mari. Parametri cu discrepanțe maxime sunt date de variabila T linear, în cazul materialului studiat.

3.3.7. S-au stabilit tot la calculator coeficienții funcțiilor model Clauss [3.27] de forma :

$$\lg T = A(T) + B(T) \cdot \lg \tau$$

în care $A(T)$ și $B(T)$ sunt funcții de gradul 1 în $(\frac{1}{T})$ (forma 1) respectiv de grad 2 în T (forma 2).

Analiza statistică a arătat o corelație mai puțin strinsă (aproximativ cu 0,01) în cazul ambelor funcții față de funcția de tensiune Larson-Miller în cazul fontei cu grafit nodular feritice.

Se pare că funcția de formă 1 aproximează mai bine fenomenul, decât funcția de formă 2, cu o corelație cu 0,001 mai bună.

BIBLIOGRAFIE

- 3.1. KOVATS, L.: Consideratii asupra comportării la temperaturi ridicate a unor fonte nodulare feritice.
Bul. științ. și tehn. al Inst. politehnic Timișoara
Tom 15(30) Fasc. 2/1971, p. 189-201
- 3.2. WORTHING, A.G., GEFFNER, J.: Prelucrarea datelor experimentale.
Edit. Tehnică București (1959)
- 3.3. ARRHENIUS, SVANTE: Zeitschrift phys. Chemie (1889), p. 226-48
- 3.4. LARSON, F.R., MILLER, J.: A Time-Temperature Relationship for Rupture and Creep Stresses.
Transactions ASME 74(1952), p. 765-775
- 3.5. MONKMAN, F.C., GRANT, N.J.: An empirical Relationship between Rupture Life and Minimum Creep Rate in Creep-Rupture Tests.
Proc. ASTM(1956), p. 539-620
- 3.6. GRANACHER, J.: Zur Extrapolation der Zeitstandfestigkeit wärmefester Stähle.
Dissert. Darmstadt 1970
- 3.7. SCHINN, R., RUTTMANN, W.: Verhalten wärmefester Stähle im Zeitstandversuch bei 500° bis 700°C (Teil VIII).
Arch. f. Eisenhüttenwesen (1957), pp. 317-323
- 3.8. LARKE, E.C., INGLIS, N.P.: A Critical Examination of some Methods of Analysing and Extrapolating Stress-Rupture Data.
Joint Internat. Conf. on Creep, London IEE 1963 Paper 50
- 3.9. GOLDHOFF, R.M.: Comparison of parameter methods for extrapolating high temperature data.
Journ. Basic Engineering 1959, 81, p. 629
- 3.10. BUNGARDT, K., SCHMIDT, W.: Comparison of various methods of extrapolating rupture data.
Brit. I.S. Inst. Translation Service, 1961, No. 2169
- 3.11. BANDAL, G., GRAVENHORST, H.: Verhalten wärmefester Stähle im Zeitstandversuch bei 500° bis 700°C Teil II. Auswertungsverfahren.
Archiv f. Eisenhüttenwesen, 28(1957), p. 253-258
- 3.12. KRISCH, A., WERNER, W.: Zur Umrechnung von Zeitstandwerten aus anderen Temperaturen.
Arch. f. Eisenhüttenwesen 28(1957), p. 333-344
- 3.13. HCZNIK, J.: Ein neues Verfahren zur Extrapolation der Zeitstandwerte durch genauere Bestimmung des Parameters von Larson-Miller.
Neue Hütte (1968), p. 493-496
- 3.14. ORR, L.R., SHERRIA, O.D., DORN, J.E.: Correlation of Rupture Date for Metals at Elevated Temperatures.
Transactions ASM (1954), p. 115-128
- 3.15. MANSON, S.S.: Design Considerations for Long Life at Elevated Temperatures
Joint Internat. Conf. on Creep, James Clayton Lecture, NASA Lewis Techn. Preprint, 1-63 (1963)
- 3.16. MURRY, G.: Discussion de quelques formules paramétriques utilisées pour l'extrapolations des résultats d'essais de fluage.
Nouvelle formule proposée.
Revue de Métallurgie (1963), p. 775-795

- 3.17. MANSON, S.S., SUCCOP, G.: Stress-Rupture Properties of Inconel 700 and Correlation on the Basis of Several Time-Temperature Parameters.
ASTM STP 174 (1956), p.40-46
- 3.18. CHITTY, A., DUVAL, D.: The Creep-Rupture Properties of Tubes for High-Temperature Steam Power Plant.
Joint Internat. Conf. on Creep, London, IME, 1963, Paper 2
- 3.19. MURRY, G.: Extrapolation of the Results of Creep Tests by means of Parametric Formulas.
Joint Internat. Conf. on Creep., London IME, 1963, Paper 73
- 3.20. MENDELSON, A., ROBERTS, E., MANSON, S.S.: Optimization of Time-Temperature Parameters for Creep and Stress-Rupture with Application to Data from German Cooperative Long-Time Creep Program.
NASA TN D-2975 (1965)
- 3.21. MANSON, S.S., HAFEND, A.H.: A Linear Time-Temperature Relation for Extrapolation of Creep and Stress-Rupture Data.
NASA TN 2890 (1953)
- 3.22. NIKITIN, V.I.: Metod obrabotki rezultatov ispitani na dletelinuiu pricinosti.
Zavodskia Laboratoria Tom XXV, p.1492-1496, Moscva (1959)
- 3.23. x x x : Program DR-SOL. Calculator FILIX-C 256
- 3.24. BENNEMITZ, I.H.: On the Shape of the Log-Stress-Log Time Curve of Long Time Creep-Rupture Tests.
Joint Internat. Conf. on Creep, London IME, 1963, Paper 69
- 3.25. STUTZMAN, M.F., FABER, S.W.: Expression of Stress-Rupture Data with Functions Derived by the Least-Squares Method.
Materials Research and Standards iunie (1961), p.460-464
- 3.26. RANCU, N., TCVISNI, L.: Statistica matematică cu aplicații în producție.
Edit. Academiei RSR București (1963)
- 3.27. CLAUSS, F.J.: An Examination of High-Temperature Stress-Rupture Correlating Parameters.
Proceeding ASTM (1960), p.905-927
- 3.28. HAJDU, I., KOVATS, L., CRISTUINCA, C., ILIREMICIU, T.: Analiza metodelor actuale de extrapolare folosite la determinarea rezistenței tehnice de durată a unor metale termorezistente depuse prin sudare.
Bul. științ. și tehn. al Inst. politehnic Timișoara Tom 18 (32) fasc. 2/1973, p.139-149
- 3.29. LOMBARDO, J.J., PARRISH, W.L.: Statistical Study of Properties Proves Aid in Parte Design.
The Iron Age (1954) 174, No.25, p.120-122
- 3.30. HARRIS, G.T., CHILD, H.B.: A Statistical Study of the Creep and Fatigue Properties of a Precision-Cast High-Temperature Alloy
Journ. Iron and Steel Inst. (1954), p.284-290
- 3.31. PHILIPS, C.W., SINNOT, M.J.: A Statistical Study of the Stress-Rupture Test.
Transactions ASM (1954), p.63-86

- 3.32. ZSCHOKKE, H.: Statistische Auswertung der Ergebnisse von Zeitstandversuchen als Grundlage zur Festlegung von Mindestwerten.
Archiv f. das Eisenhüttenwesen (1957), p.726-730
- 3.33. FRENKA, T., FOLDY, A., V.: The Creep Properties of Low-Alloy Cr-Mo-V Steels with Low Carbon Content.
High-Temperature Properties of Steels, Eastbourne, 1966, ISI Publ. 97 (1967), p.115-130
- 3.34. KOVATS, L. în colaborare cu: HAJDU, I., NICOLA, P. : Încercări comparative de fluaj de scurtă și medie durată la un oțel cu conținut redus de carbon (partea I-a)
Studii și cercetări tehnice Nr. 3-4, 1962
Acad.RSR București, pp.243-260
- 3.35. KOVATS, L. în colaborare cu: HAJDU, I., NICOLA, P., DOBRE, I. : O nouă formulă pentru determinarea alungirii la fluaj.
Construcții de mașini, 17 (1965) Nr.9 București pp 510-516
- 3.36. KOVATS, L. în colaborare cu: HAJDU, I., NICOLA, P., DOBRE, I. : Încercări comparative de fluaj de scurtă și medie durată (partea II-a)
Buletin IPT, 1, 1965, tom. 10 (24), fasc. 1, pp. 113-127
- 3.37. KOVATS, L. în colaborare cu: HAJDU, I., NICOLA, P., DOBRE, I. : Eine neue Formel zur Ermittlung der Kriechdehnung, die einer Dauer von 500 Stunden entspricht, auf Grund der 50 Stunden Versuche. V-te Konf. Metallprüfung. Thes. 1965. Ac. FR-IE. p. 599-611
- 3.38. KOVATS, L. în colaborare cu: HAJDU, I., NICOLA, P., DOBRE, I. : Nouvelle formule proposée pour déterminer les allongements à fluage qui correspondent à une durée de 500 heures, en vertu des résultats des essais de 50 heures
Commission X Paris Inst. Internat. Soudure 1965, pp. 1-8
- 3.39. KOVATS, L. în colaborare cu: HAJDU, I., CRISTUINCA, C., I. MĂLĂICĂ, T. : Considerații asupra evaluării durabilității la temperaturi ridicate a două metale depuse prin sudare cu electrozi termorezistenți.
Lucrările simpozionului Rezistența fundațiilor sudate 1/73 Iași, pp. 242-255
- 3.40. MARGINIANU, E., LUPASCU, L., STANESCU, F., SCHLIDT, R. : Studiu pentru organizarea urmăririi în timp a comportării conductelor de înaltă presiune din oțel de la proiectare pînă la scoatere din funcțiune. IML - ISPU București (1971).
- 3.41. GRANACHER J., KLEIN F.J. :
Programm TEXPO 5 zur Extrapolation der Zeitstandfestigkeit.
Programmbeschreibung des Institutes für Werkstoffkunde T.H. Darmstadt (1970)
- 3.42. GRANACHER J., WIEGAND H. :
Zur Extrapolation der Zeitstandfestigkeit wärmefester Stähle.
Symposium: Eigenschaften wärmefester Stähle, - Düsseldorf, 3-5 Mai (1972)
- 3.43. SCHLIDT, R., GRANACHER, J. :
Grafisch - numerische Extrapolation der Zeitstandfestigkeit mit dem Zeit - Temperaturparameter von Manson und Brown.
I.D.E.W. Technik Berlin (1973)
- 3.44. FERRY BORGES :
Siguranța structurilor. Ed. tehn. București 1974

- 3.45. KOVATS, L. : Extrapolarea incercărilor de fluaj ca funcții de tensiune Larson - Miller optimizate.
Comunicările sesiunii tehnico-științifice a comisiei inginerilor și tehnicienilor Brașov, 1974.

Tabelă 3.1

**Resultatele încercărilor de rupere la fluaj
(fontă cu grafit nodular calitatea P)**

Nr. crt.	Tempe- ratura $\theta^{\circ}\text{C}$	Tensiunea de încerc. Gr/t kgr/mm^2	Durata până la rupere t_r ore	Nr. crt.	Tempe- ratura $\theta^{\circ}\text{C}$	Tensiunea de încerc. Gr/t kgr/mm^2	Durata până la rupere t_r ore
1	425	20,0	1272	28	450	16,5	783
2	425	20,0	841	29	450	17,0	312
3	425	20,0	508	30	450	17,0	334
4	425	20,5	773	31	450	17,0	499
5	425	22,0	293	32	450	17,0	572
6	425	22,0	606	33	450	17,0	597
7	425	23,0	118	34	450	17,0	767
8	425	23,0	129	35	450	17,0	811
9	425	23,0	152	36	450	17,0	1148
10	425	23,0	213	37	450	18,0	96
11	425	24,0	40	38	450	18,0	119,5
12	425	24,0	73	39	450	18,0	228
13	437,5	18,0	1210	40	450	19,0	162
14	437,5	18,0	529	41	450	19,0	193
15	437,5	19,0	480	42	450	19,0	210,5
16	437,5	20,0	278	43	450	19,0	236
17	437,5	20,0	192	44	450	20,0	42
18	437,5	22,0	82	45	450	20,0	40
19	437,5	22,0	64,5	46	450	20,0	28
20	450	14,0	804	47	450	21,0	60,5
21	450	15,0	535	48	475	10,5	880
22	450	15,0	1152	49	475	11,0	534
23	450	15,0	1920	50	475	11,5	280
24	450	16,0	290	51	475	12,0	237
25	450	16,0	960	52	475	13,0	153,5
26	450	16,5	192	53	475	14,0	97
27	450	16,5	659				

Valoarea coeziunii Larsen-Miller pentru diverse
nivele de temperaturi și tensiune

Tabelă 3.2.3*

σ / kg	698	710,5	723	748	c_{12}	c_{24}	c_{14}	c_{13}	c_{23}	c_{34}
24	1319,73	1019,43	800,51	266,27	25,0909	20,3558	21,0692	20,7688	18,2433	21,3699
22	1687,30	1341,86	1058,83	463,16	26,5723	23,7485	24,4827	25,1388	23,5855	25,8266
20	2083,89	1695,0	1341,77	678,81	30,3761	27,4645	28,2216	29,9244	29,4355	26,5188
17	2776,40	2297,18	1824,25	1046,54	36,8630	33,8012	34,5970	36,0862	39,4116	31,1078
<u>Valoarea medie</u>										

Calculul duratelor t' în baza încercărilor la temperaturi superioare
cu parametrul Larsen-Miller P_M (STAS 8894-71) folosind $c_{12} = 20$ (resp.
 $c_{med} = 28,83$)

Tabelă 3.2.4*

σ / kg	18t ₂ + 20	P_2^2	18t ₃ + 20	P_3^3	18t ₁	
					$P_2/T_1 - 20$	$P_3/T_1 - 20$
24	18t ₂ + 20	(18t ₂ + 28,83)	(P ₂ ²)	(18t ₃ + 28,83)	(P ₃ ³)	(P ₂ ² /T ₁ - 20,83)
22	21,43380 (30,26380)	15239,43 (21517,56)	21,10721 (29,93521)	15260,51 (21643,13)	1,83298 (1,99974)	1,86318 (2,17940)
20	21,88728 (30,71728)	15561,86 (21840,70)	21,46450 (30,29248)	15518,83 (21901,46)	2,29492 (2,46040)	2,23327 (2,54948)
17	22,38396 (31,21396)	15915,0 (22193,12)	21,85584 (30,68384)	15801,77 (22141,59)	2,80085 (2,96530)	2,63863 (2,95482)
	23,23092 (32,06092)	16517,18 (22795,31)	22,52316 (31,35416)	16284,24 (22666,95)	3,66357 (3,8380)	3,32984 (3,64605)
<u>Valoarea medie</u>		-	-	22100,50		

Determinarea scalarii timpului de degresare pentru temperaturile 45° , $437,5^{\circ}$, 450° și 475°

Tableta 3.2.6*

t în ore (lct + 20)	1	10	50	100	500	1000	5000	10000	50000	100000
P ₁	13960	14650	15146	15356	15844	16054	16542	16752	17240	17450
P ₂	14210	14921	15417	15631	16128	16342	16838	17052	17549	17763
P ₃	14460	15183	15688	15906	16411	16629	17134	17352	17857	18075
P ₄	(187,83)	28,83	29,83	30,529	30,83	31,529	31,83	32,529	32,83	33,529
P ₁	20123	20321	21309	21519	22007	22217	22705	22915	23403	23613
P ₂	20484	21194	21691	21905	22401	22615	23112	23326	23822	24036
P ₃	20844	21567	22072	22290	22795	23013	23518	23736	24241	24459
P ₄	21565	22313	22836	23061	23584	23809	24332	24557	25080	25305

Calculul duratelor t_1 în lata inoerozărilor la temperatură superioare cu Δt pentru parametrul Manson - Hurty I (P.H.I.).

G_F/t	$A(G) = A_{23} = \frac{1}{(T)} = A$	$P_2 = \frac{P_1}{10^{0,5}} = \frac{P_1}{10^{0,5}}$	$P_3 = \frac{P_1}{10^{0,5}} - \frac{P_1}{10^{0,5}}$	$P_2 = \frac{P_3}{10^{0,5}} = \frac{P_3}{10^{0,5}}$	$P_3 = \frac{P_2}{10^{0,5}} - \frac{P_2}{10^{0,5}}$	$P_3 (10^{-3} - 10^{-3})$
24	18,2433	13930	0,76018	0,82,90	0,61,66	554,99
22	23,5855	18111	1,07207	0,93,23	0,805,72	800,82
20	29,4355	22624	1,47178	1,31,02	1,119,5	1119,5
17	39,4116	30319	2,31833	1,783,5	1,785,0	4,0257

Construirea curbelor de bază Orr-Sherby-Dorn pentru incercările la 3 nivele de temperatură

$$\Delta_{12} = \Delta_{23} =$$

$$16t_1 - 16t_2 = 16t_1 - 16t_3$$

$$P_{SD1} \quad P_{SD2} \quad P_{SD3}$$

$$valori în puncte interpolatoare experimentale$$

$$valori în puncte interpolatoare experimentale$$

$$valori în puncte interpolatoare experimentale$$

-150-

24	0,45693	-	-28,3846	-28,543	-28,2880	-	-
23	0,53005	0,95283	-27,8580	-28,102	-27,651	-27,8345	-27,860
22	-	-	-	-	-	-27,387	-27,7640
21	-	-	-	-	-	-27,364	-27,447
20,5	0,61015	1,123827	-27,2813	-27,3378	-27,358	-27,3727	-27,688
19	-	-	-	-	-	-27,041	-26,956
18	-	-	-	-	-	-26,812	-26,763
17	-	-	-	-	-	-26,703	-26,486
16,5	-	-	-	-	-	-26,538	-26,204
15	-	-	-	-	-	-26,323	-26,033
14	valoarea medie	0,53238	1,0456	-	-	-	-
D ₁₂ = $\frac{\Delta_{11} + \Delta_{22}}{2}$	20323,7	21110,0	-	-	-	-	-
D ₁₃ = $\frac{\Delta_{11} + \Delta_{33}}{2}$	-	-	30,27536	29,72180	29,22849	-	-
D ₂₃ = $\frac{\Delta_{22} + \Delta_{33}}{2}$	-	-	-	-	-	-	-

Calculul puterilor t' în paza incercărilor la temperaturi superioare cu parametrul Lanson-Bulry și în (P_{L-B})

Tabelul 3.2.2.b

	b(°C) = $\frac{\Delta_{11} + \Delta_{22}}{2}$	a(°C) = $\frac{\Delta_{11} - \Delta_{22}}{2}$	$\frac{b(°C)}{10^3}$	$\frac{a(°C)}{10^3}$	$\frac{(762 - T_2)}{10^3}$	$\frac{(762 - T_3)}{10^3}$	$10^3 P_2$	$10^3 P_3$	$\frac{16t_1}{64(G_0 P_2)}$	$\frac{16t_1}{64(G_0 P_3)}$
24	1,43380	2,7216	19,3506	20,7844	0,8660	1,1340	1224	956	1,1714	1,1829
22	1,88728	3,5232	25,050	26,9372	1,2244	1,6015	1122	858	1,6821	1,7069
20	2,38396	4,4010	31,2911	33,6751	1,6838	2,2005	1020	780	2,3572	2,3793
17	3,23092	5,8980	41,9348	45,1657	2,6568	3,4694	867	663	3,7265	3,8057

**valoarea curbei de rezistență
cu parametrul Mansard-Haferd (P_{MH})**

$\frac{1}{r/t} \cdot 10^2$	$\int \text{let}_2 \cdot t_2$	$\int \text{let}_a \cdot t_a$	$P_2 = \frac{\text{let}_2 - \text{let}_a}{t_2 - t_a}$	$P_3 = \frac{\text{let}_3 - \text{let}_a}{t_3 - t_a}$	let'_1
(1 -)	%				
24	2,7216	26,9860	26,8028	102 P ₂	102 P ₃
			(0,8)	-2,66327	-2,67814
22	3,5232	26,9372	26,9391	-3,48778	-3,51882
			(0,01)		2,32325
20	4,4010	33,0757	33,6587	-4,39083	-4,43962
			(0,6)		2,93281
17	5,8380	45,1657	45,1382	-5,93076	-6,00979
			(0,7)		3,97226

Tabelă 3.2.2.2.*

Calculul abaterilor făcării datele experimentale (let_i) pentru metodele parametrice,
care se bazează pe colinearitatea punctelor în dreapta let - T_i:

$\frac{1}{r/t} \cdot 10^2$	Dateli experimentale	R - S	R - H	R - U II	R - A	Media valorilor	$\sigma_{R - D}$
let ₁	437,5	450	437,5	450	437,5	450	437,5
24	1,89073	1,9839	2,1650	2,07670	2,077674	2,079917	1,81698
	(4,6)	(13,2)	(-7,0)	(-6,2)	(-4,7)	(-3,8)	(5,2)
22	2,41733	2,4374	2,52226	2,32325	2,34420	2,36834	2,40327
	(8,83)	(4,56)	(-3,9)	(-3,9)	(-3,02)	(-2,07)	(-0,58)
20	2,32411	2,3341	2,9138	2,93281	2,96574	2,99160	2,04550
	(-2,0)	(-2,68)	(-2,04)	(-2,04)	(-0,34)	(-0,1)	(1,74)
17	3,037765	3,07811	3,5811	3,97276	4,05560	4,05450	4,14060
	(-4,9)	(-10,1)	(-10,1)	(-0,12)	(1,18)	(1,34)	(4,1)
$10^{-2} \cdot S^0$	-	11,18	24,46	8,59	7,34	6,43	9,33
							11,01
						20,16	
						4,60	8,22
							6,64

Tabela 3.2.4.8*

Tensões
de fadiga.

17

20

22

24

Temperatura °C keV/mm ²	17			20			22			24		
	R _M N/mm ² (18t ₁)	R _U N/mm ² (18t ₁)	R _A N/mm ² (18t ₁)	R _M N/mm ² (18t ₁)	R _U N/mm ² (18t ₁)	R _A N/mm ² (18t ₁)	R _M N/mm ² (18t ₁)	R _U N/mm ² (18t ₁)	R _A N/mm ² (18t ₁)	R _M N/mm ² (18t ₁)	R _U N/mm ² (18t ₁)	R _A N/mm ² (18t ₁)
0 ₁ =425	34,503345 (3,97765)	-5,0	33,753974 (2,99411)	3,04712	1,0	33,18194 (2,41733)	2,45315	1,5	32,59980 (1,89073)	1,78387	-	2,0
0 ₂ =437,5	33,87245 (3,23092)	-2,7	33,13681 (2,38396)	2,42816	1,0	32,57324 (1,88728)	1,84658	1,18941	-	-	-	-
0 ₃ =450	33,310346 (2,52316)	2,3	32,58682 (1,85584)	1,87342	0,1	32,043466 (1,46450)	1,30578	-12,0	31,472562 (1,10721)	0,65965	-	36,0
0 ₄ =475	32,196974 (1,39912)	1,46833	0,78378	0,23511	-15,7	30,96388 (0,90750)	-30,420659 (0,61920)	-	0,38943	-	-	-

4. CONTRIBUȚII ASUPRA STUDIUL COMPORTARII LA TEMPERATURI RIDICATE A FONTELOR NODULARE FERITICE ELABORATE ÎN TARĂ

4.1. Introducere

4.1.1. Forma quasi-sferică a grafitului produce un efect minim de încrucișare în secțiunile pieselor din fonta nodulară. Astfel starea triaxială de solicitare provocată de aceste incluzioni are un efect mult mai redus de fragilizare, decit în cazul fontelor cu grafit lamelar [4.1]. Aceasta explică caracteristicile de rezistență și plasticitate mult superioare ale fontelor cu grafit nodular - față de cele cu grafit lamelar - care sunt comparabile cu cele ale otelului. Forma sferică a grafitului micșorează de asemenea suprafetele de contact expuse oxidării și astfel diminuează substanțial și "creșterea" fontelor nodulare - față de cele lamelare - la temperaturi ridicate [4.2].

4.1.2. Caracteristicile de rezistență foarte bune împreună cu proprietățile tehnologice și fizice favorabile, precum și incișii economici ridicați, fac ca în țările avansate industrial producția de fontă nodulară să crească mai pronunțat decit la celelalte produse feroase. Datorită acestor considerante, în ultimul tip s-au întreprins numeroase cercetări în țările cu industrie avansată pentru determinarea caracteristicilor de rezistență ale fontelor nodulare și ale factorilor care le influențează [4.1] [4.6] [4.8] [4.10] [4.15].

4.1.3. Deși la noi în țard se elaborează de mai mulți ani fonta nodulară la mai multe uzine ("I. Mai" Ploiești, "Electroputere" Craiova, U.C.M. Reșița, "Steagul Roșu" și "Tractorul" Brașov, "Maiorul Naval" Galați, "Oteturul Roșu" etc.), încă nu s-au făcut studii sistematice în ceea ce privește capacitatea ei de rezistență la temperaturi ridicate. Puținale studii se referă doar la analiza unor factori tehnologici [4.2] [4.9].

4.1.4. Acest capitol cuprinde în esență determinarea următoarelor caracteristici de rezistență la temperatura $\theta = 400^{\circ}\text{C}$: limită de curgere tehnică $\sigma_{0,2}$ și a tensiunilor limite $\sigma_{0,1}$ și $\sigma_{0,5}$ pentru 3 viteze de solicitare diferite, precum și limitele tehnice de fluaj D_{VMP} $\sigma_{0,2/t}$ $\sigma_{0,5/t}$ $\sigma_{1/t}$ etc. și rezistența tehnică de durată τ/t pentru o serie de probe de fonte cu grafit nodular feritice - P. g. n. 40-10 - elaborate de U.C.M. Reșița.

Resultatele au fost comparate cu cele determinate de alții cercetători pe fante cu compoziția chimică și structură asemănătoare.

4.2. Materialul incercat

4.2.1. În tabelul 4.1 s-a trecut compoziția chimică a fantelor examineate și a unor fante de compoziție similară studiate în străinătate, care au servit pentru comparație.

În figura 4.1 s-au marcat valorile caracteristicilor la tracțiune - rezistență la rupere σ_p și alungirea procentuală la rupere δ_5 % - la temperatură ambientă - ale fontelor considerate, inclusiv caracteristicile prevăzute în STAS 6071-64, 6071-72, DIN 1693 și ASTM A-339 pentru fonta cu grafit nodular turnată în piese.

Resultatele încercărilor proprii au fost marcate cu A, B, C, D, E, F, funcție de varjă și reprezentă media a 3 determinări. În aceeași figură s-a trecut și caracteristicile fontelor cu grafit nodular investigate pe plan mondial: Anglia (J.A.Towers [4.13]), P.Altensborough [4.1], J.Glen [4.3], Uniunea sovietică (V.S.Ivanova, I.A.Oding [4.6]), Cehoslovacia (A.Plesinger [4.8]), R.S.România [4.2], etc.

4.2.2. Pentru aprecierea și compararea diferențelor calității de fontă nodulară literatura indică mai multe criterii. Unul din acestea - uzitat și la fontele obișnuite - recomandă asigurarea unei anumite valori a indicelui complex de rezistență și plasticitate [4.7] definit prin relația

$$(4.1) \dots f = \frac{\sigma_p \cdot \delta_5 \%}{100} \left[\frac{\text{kgf} \cdot \text{mm}}{\text{mm}^2} \right].$$

După unele standarde, pentru fontă cu grafit nodular - având 70 ... 85 % grafit nodular - se prescriu următoarele valori pentru constanta f:

fontă feritică	5,5 ... 7,0
fontă ferito-perlitică	3,5 ... 5,5
fontă perlitică	1,5 ... 3,0

După altă metodă [4.7] - pentru fontele nodulare cu același procentaj de nodularizare - valoarea minimă a rezistenței de rupere σ_p în funcție de alungirea a rupere δ_5 este dată de ecuația exponentială:

(4.2) ...

$$\sigma_r = 36 + \frac{24-15}{7} \%$$

Curba reprezentativă a ecuației (4.2) s-a trăsăt în figura 4.1. Datele obținute la fontele specifice în tabelul 4.1 - cu excepția și singur rezultat - se situează deasupra sau cel mult pe linia curbei atiei (4.2). În schimb majoritatea valorilor minime prevăzute de STAS 1 - 64 se află dedesubtul acestei curbe. Aceasta dovedește că în prezent^{x)} în țara noastră cerințele față de calitatea fontelor nodulare se ucează sub valorile normelor străine și sub posibilitățile actuale ale celor noastre constructoare de mașini. În consecință se recomandăificarea caracteristicilor de rezistență și de plasticitate ale fontelor nodulare în sensul majorării valorilor acestora.

4.3. Încercarea fontelor nodulare la temperatură $\theta = 400^{\circ}\text{C}$

4.3.1. Utilajul de încercare și epruvetele folosite

Determinarea limitei de curgere tehnică $\sigma_{0,2}$ și a tensiunilor limită $\sigma_{0,1}$ și $\sigma_{0,5}$ la $\theta = 400^{\circ}\text{C}$ s-a executat la o instalație de încercări specială realizată la catedra de Rezistență materialelor de la I.P. Timișoara [4.5]. La această instalație folosind epruvete cu $d_0 = 10 \text{ mm}$, $l_0 = 100 \text{ mm}$ se pot realiza viteze de solicitare constante cuprinse în limitele $v_0 = 10^{-5} \dots 1 \text{ kgf/mm}^2 \cdot \text{s}$, iar diagrama $\sigma - \varepsilon$ se înregistrează automat pe cale fotografică la scările:

$$\varepsilon = 0,1\% \cong 20 \text{ mm și } \sigma = 1 \text{ kgf/mm}^2 \cong 10 \text{ mm.}$$

Încercările de fluaj la $\theta = 400^{\circ}\text{C}$ s-au executat la o instalație de fluaj cu trei posturi fabricată de "VEB Thüringer Industriewerk Eisenstein", din R.D.G.

La această instalație s-a asigurat menținerea constantă a temperaturii nominale în limitele $\pm 2^{\circ}\text{C}$ și realizarea încărcării epruvetelor precizia de $+0,1\% \dots +0,4\%$. Deformările epruvetelor în cursul fluajului s-au măsurat intermitent cu un microscop spiral cu precizia de $,001 \text{ mm}$. Epruvetele folosite la determinarea limitei tehnice de fluaj

Aceste considerații au fost comunicate în sesiunea științifică a cadrelor didactice din I.P. Timișoara la data de 24.05.1971. Standardul revizuit 6071-72, ține seama de aceste recomandări. În STAS 6071-64 67% din calitățile standardizate erau situate dedesubtul limitei limite (4.1) și doar 33% deasupra. În standardul revizuit 6071-72 se schimbă situația, 67% din calități situându-se în zona calităților conferite pe plan mondial.

Tabel 4.1

BUPT

Nr. art. sau grupe- lor de parje	Indicativul	alte structure							sursa bibliogra- ficii resp. prove- niente	
		O	SI	In	P	S	Ug	M		
1	T	2,95	1,52	0,44	0,05	0,024	0,049	1,11	0,00503	perlitică J.A. Tavares [4.13]
2	A.P	3,58	2,52	0,39	0,05	0,0032	-	-	-	feritică P. Atterborough [4.1]
3	A.P	3,58	2,57	0,98	0,07	0,0042	-	-	-	perlitică P. Atterborough [4.1]
4	APD	5,61	2,24	0,86	0,11	0,0042	-	-	0,82 Mo	perlitică P. Atterborough [4.1]
5	POO	3,02	2,48	0,68	0,088	0,008	-	-	-	feritică A. Pleisinger [4.8]
6	P 20	2,70	2,20	1,00	0,061	0,012	-	19,32	-	feritică A. Pleisinger [4.8]
7	I	3,33	2,50	0,67	0,21	0,021	-	0,12	-	perlitică V.S. Ivanova §1
8	D E	3,36	2,00	0,56	0,112	0,024	0,12	-	-	I.S. Oding [4.6]
9	A	3,47	2,87	0,52	0,140	0,04	-	-	-	perlitică T. Dumitrescu §.8 [4.2]
10	B	3,60	3,30	0,78	0,102	0,026	-	-	-	feritică UCM Reșita
11	C	3,30	3,22	0,51	0,140	0,022	-	-	-	feritică UCM Reșita
12	D	3,25	3,04	0,62	0,121	0,044	-	-	-	feritică UCM Reșita
13	E	3,31	2,92	0,65	0,118	0,04	-	-	-	feritică UCM Reșita
14	F	3,34	3,11	0,50	0,124	0,088	-	-	-	feritică UCM Reșita

x)

Proceduri neobligatorii pentru desulfurare și nodularizare

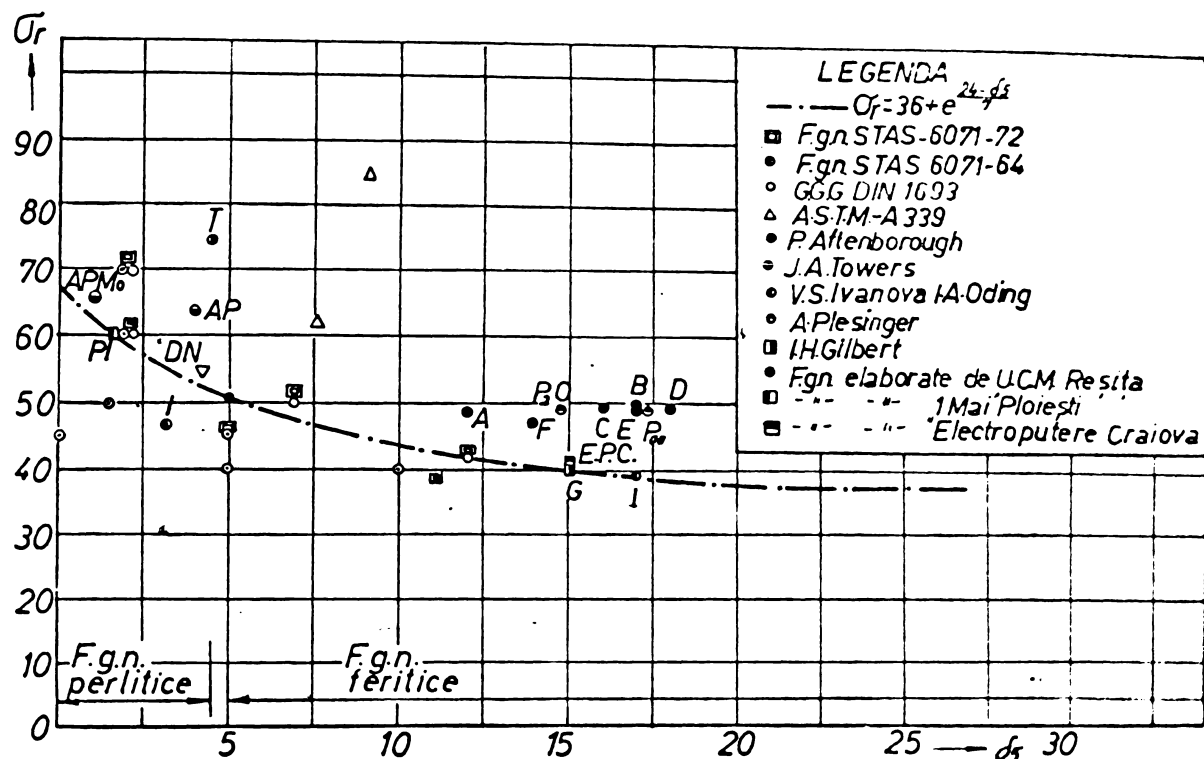


Fig.4.1. Rezistență la rupere σ_y kgf/mm² în funcțiune de alungirea procentuală la rupere δ_5 .

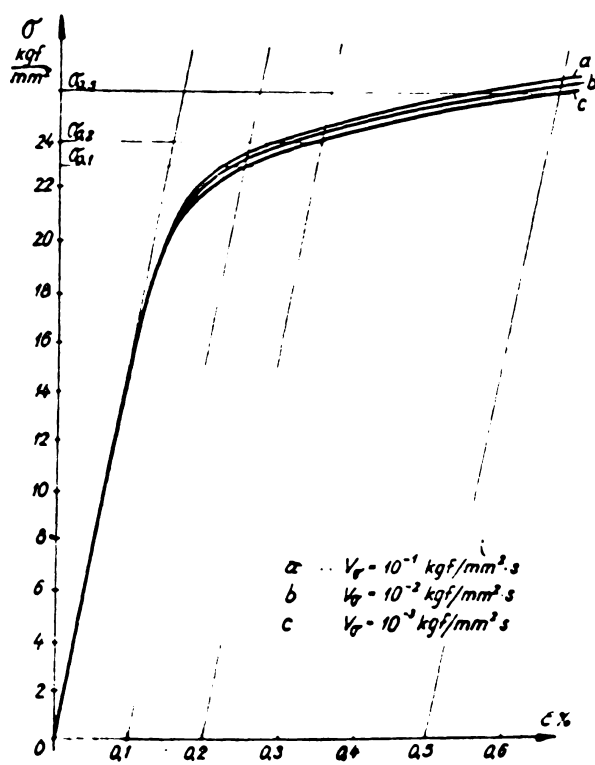


Fig.4.2. Curbe caracteristice la viteze de încărcare diferite

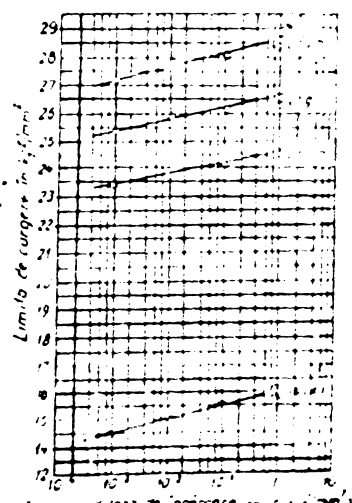


Fig.4.4. Variatia limitei de curgere în funcție de viteza de încărcare (F.g.n. 40-10 și OL Kl)

au avut $d_0 = 8 \text{ mm}$ și $l_0 = 100 \text{ mm}$, iar cele pentru determinarea rezistenței tehnice de durată au avut $d_0 = 8 \text{ mm}$ și lungimea calibrată $l_0 = 24 \text{ mm}$.

4.3.2. Determinarea limitei tehnice de curgere $\bar{\sigma}_{0,2}$ și a tensiunilor limită $\bar{\sigma}_{0,1}$ și $\bar{\sigma}_{0,5}$ pentru diferite viteze de solicitare

Încercările de tracțiune cu sarcina progresivă s-au executat cu următoarele viteză de încărcare: $v_0 = 10^{-1}, 10^{-2}$ și $10^{-3} \text{ kgf/mm}^2 \cdot \text{s}$. În figura 4.2 sunt reproduse 3 curbe caracteristice $\sigma - \varepsilon$ obținute cu viteză de încărcare diferite la instalația menționată. În diagramă se indică și modul de determinare a caracteristicilor $\bar{\sigma}_{0,1}$, $\bar{\sigma}_{0,2}$ și $\bar{\sigma}_{0,5}$. În figura 4.3 pe baza valorilor determine s-au trăsăt curbele de variație ale caracteristicilor menționate în funcție de viteză de încărcare. În figura 4.4 s-a trăsat și curba de variație a limitei de curgere $\bar{\sigma}_{0,2}$ pentru un otel OIK 1 [4.5]. Întrucât panta curbei pentru otel este mai mare, decit cea a fontei încercate, rezultă că limita de curgere $\bar{\sigma}_{0,2}$, inclusiv caracteristicile $\bar{\sigma}_{0,1}$ și $\bar{\sigma}_{0,5}$ ale fontelor, sunt mai puțin influențate de viteză de solicitare, decit la otelul OIK 1.

4.3.3. Determinarea limitei tehnice de fluaj

În fig.4.5 sunt redate curbele izoterme de fluaj la $\theta = 400^\circ\text{C}$ pentru trei încercări diferite: $\bar{\sigma} = 17 \text{ kgf/mm}^2$; $\bar{\sigma} = 22 \text{ kgf/mm}^2$; $\bar{\sigma} = 24 \text{ kgf/mm}^2$. Punctele prin care s-au trăsăt curbele reprezintă mediile a trei încercări.

În diagrama respectivă s-au trecut pentru comparație și curba de fluaj obținută la aceeași temperatură de P. Aftenborough [4.1] la fonta nodulară feritică "mechanite" precum și curba de fluaj a unui otel OIK 1 – încercat tot la laboratorul de Resistență materialelor de la IIT [4.4]. Se observă că pentru $\bar{\sigma} = 14 \text{ kgf/mm}^2$ la fonta "mechanite" se obțin deformări plastice mult mai mari, decit pentru $\bar{\sigma} = 17 \text{ kgf/mm}^2$ la fontele indigene examineate. Pentru $\bar{\sigma} = 17 \text{ kgf/mm}^2$ deformările permanente ale otelului OIK 1 depășesc cu de peste 15 ori pe cele ale fontei nodulare încercate.

Prin derivarea grafică a curbelor din fig.4.5 s-au obținut curbele de variație a vitezei de fluaj – $v_f = f(t)$ – pînă la durata de 800 de ore (fig.4.6).

În comparație cu curba otelului OIK 1 – la care după un anumit număr de ore viteza de fluaj se stabilizează – la fontele nodulare se remarcă o descreștere continuă a vitezei de fluaj pe toată durata considerată.

Po baza curbelor de fluaj din fig.4.5 corespunzătoare solicitărilor $\bar{\sigma} = 17 \text{ kgf/mm}^2$, $\bar{\sigma} = 22 \text{ kgf/mm}^2$ și $\bar{\sigma} = 24 \text{ kgf/mm}^2$ precum și a curbelor de fluaj $\bar{\sigma} = 26 \text{ kgf/mm}^2$ din fig.4.11 s-a trăsat familia de curbe

$\sigma_{0,1/t}$, $\sigma_{0,2/t}$, $\sigma_{0,5/t}$, $\sigma_{1/t}$ și $\sigma_{2/t}$ în funcție de log.t. (fig.4.7).

Ordonatele punctelor de intersecție a curbelor, cu verticala dusă în dreptul abscisei $t = 1.000$ ore, determină limitele tehnice de fluaj $\sigma_{0,1/1000} \dots \sigma_{2/1000}$, iar prin extrapolaarea acestor curbe pînă în dreptul abscisei $t = 10.000$ ore s-au obținut limitele tehnice de fluaj $\sigma_{0,1/10000} \dots \sigma_{2/10000}$. Astfel pentru $\sigma_{1/10000}$ s-a obținut $\sigma = 17,9 \text{ kgf/mm}^2$ o valoare apropiată de cea obținută de A.Plesinger $\sigma_{1/10000} = 18 \text{ kgf/mm}^2$ [4.8] pentru fonta nodulară P00 din tabelul 4.1 și fig.4.1.

Tot în baza rezultatelor obținute, din curbele de fluaj din fig.4.5 și 4.11, în figura 4.6 s-au reprezentat curbele de variație $\log \sigma = f(\log \varepsilon_p)$ corespunzătoare diverselor durate de încercare. Diagrama permite determinarea limitei tehnice de fluaj corespunzătoare unei anumite durate. Astfel pentru $t = 45$ ore se găsește $\sigma_{0,2/45} = 25 \text{ kgf/mm}^2$.

Pentru compararea comportării la fluaj a metalor STAS 6596-62 prevede și încercări de scurtă durată pentru determinarea limitei tehnice de fluaj σ_{DVM} , adică a solicitării pentru care viteza de fluaj medie v_p între a 25-a și 35-a oră de încercare să fie egală cu $10 \cdot 10^{-4} \text{ %/ora}$ sau deformăția plastică să fie de 0,2% după 45 de ore. Pentru determinarea acestei caracteristici în fig.4.9 s-a traseat curba $\sigma = f(v_{25}^{35})$, atât pentru fonta nodulară studiată, cît și pentru otelul OLK 1. Rezultă pentru fontă nodulară: $\sigma_{10-30} = 20,5 \text{ kgf/mm}^2$ iar pentru OLK 1: $\sigma_{10-30} = 11,6 \text{ kgf/mm}^2$ și aceasta arată superioritatea fontei nodulare, față de otelul O.K 1 considerat.

Dacă se compară această valoare cu $\sigma_{0,2/45}$ stabilit mai sus, rezultă $\sigma_{DVM} = \sigma_{10-30} = 20,5 \text{ kgf/mm}^2$.

Dispersia rezultatelor a fost examinată la două curbe de fluaj. Fig.4.10 reprezintă zonele de dispersie ale rezultatelor pentru șarjele de fontă A, C, E, F - pentru 2 solicitări diferite. Față de valoarea medie au rezultat următoarele valori ale dispersiei: $\varepsilon_p = \pm 0,08\%$ pentru $\sigma = 24 \text{ kgf/mm}^2$ și $\varepsilon_p = \pm 0,04\%$ pentru $\sigma = 17 \text{ kgf/mm}^2$.

In figura 4.11 pentru cele 2 curbe de fluaj obținute cu solicitări relativ mari se constată o variație pe intervale a vitezei de fluaj. Acest fenomen a fost evidențiat pînă în prezent numai la curbele de fluaj ale otelurilor austenitice [4.14] [4.3] și explicat prin alternarea fenomenelor de precipitare și durificare, datorită imbatîrinirii mecanice prin deformare și regenerarea ca o urmare a efectului temperaturii ridicate.

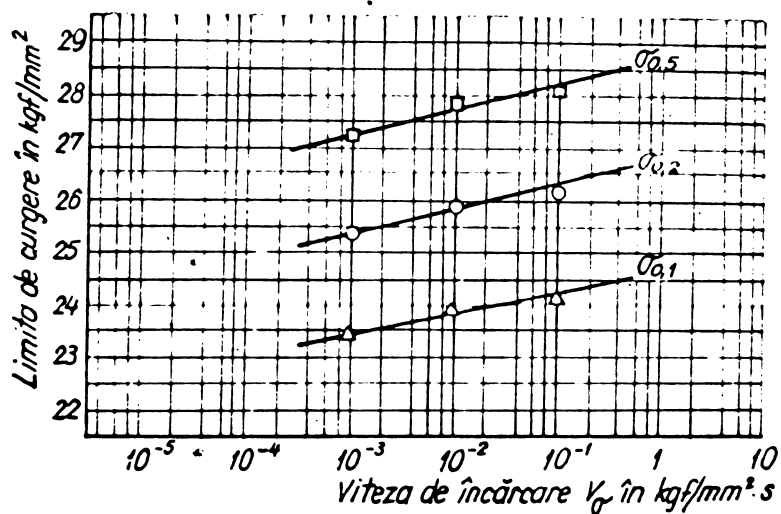


Fig.4.3. Variația limitei de curgere în funcție de viteza de încărcare (F.g. n.40-10)

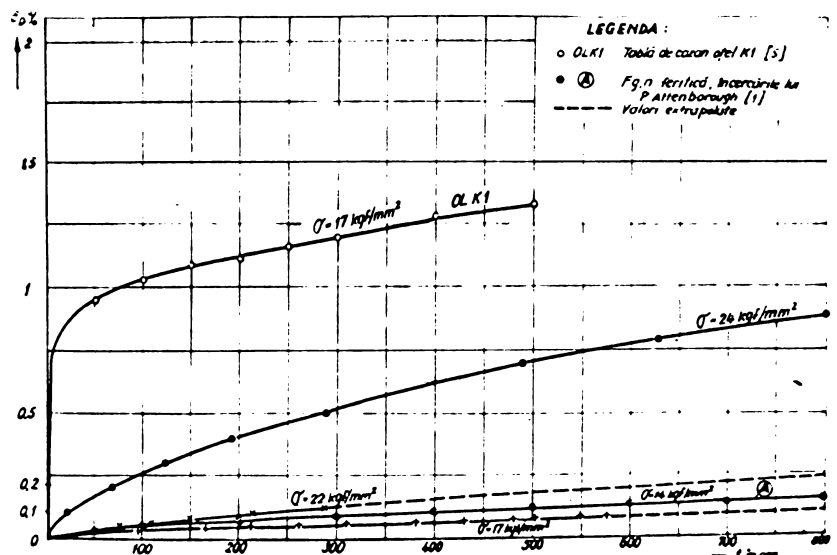


Fig.4.5. Curbe izotermice de fluaj $\epsilon_p = f(t)$ la $\Theta = 400^\circ\text{C}$

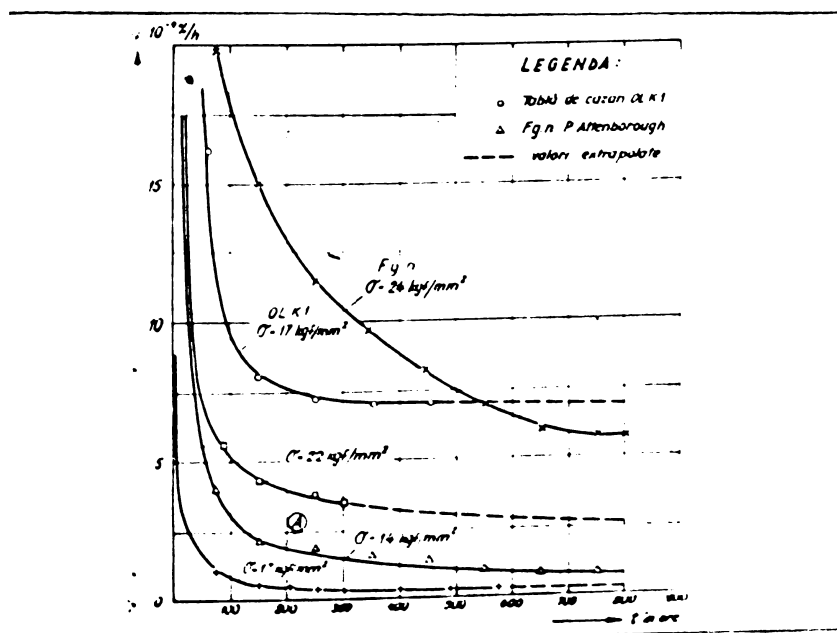


Fig.4.6. Curbe de variație a vitezei de fluaj $v_f = f(t)$

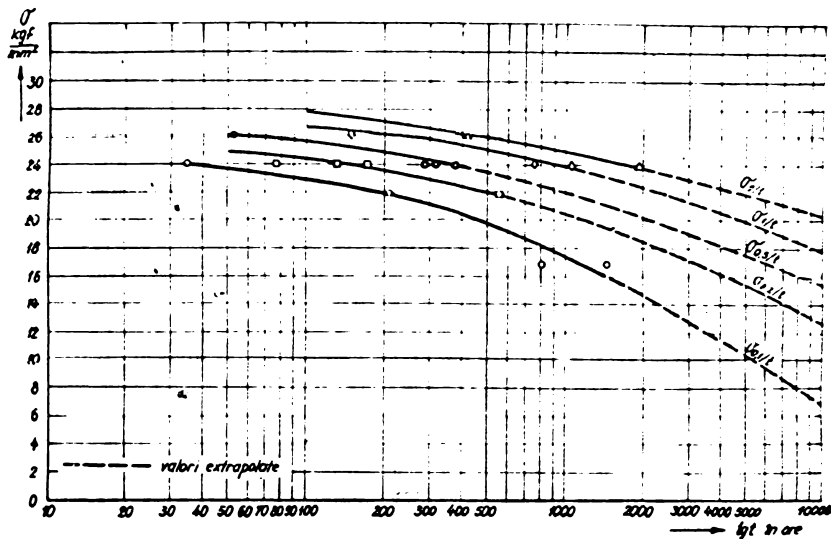


Fig. 4.7. Diagramma
 $\sigma_{\varepsilon/t}$ in funcțiune
de $\log t$.

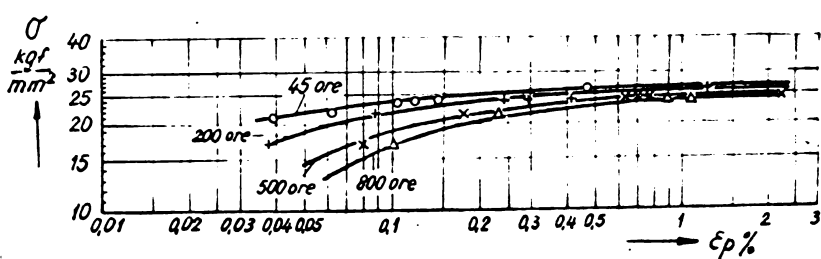
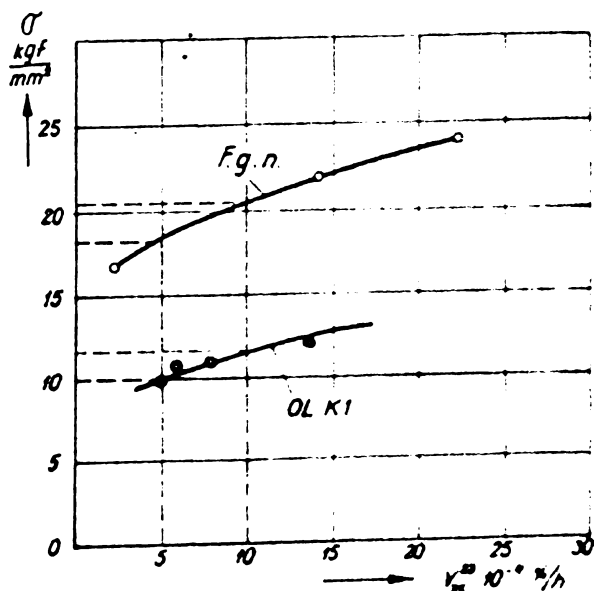


Fig. 4.8. Diagramma
 $\log \sigma = f(\log \varepsilon_p)$

Fig. 4.9. Diagramma $\sigma =$
 $= f(v_{35}^{25})$.



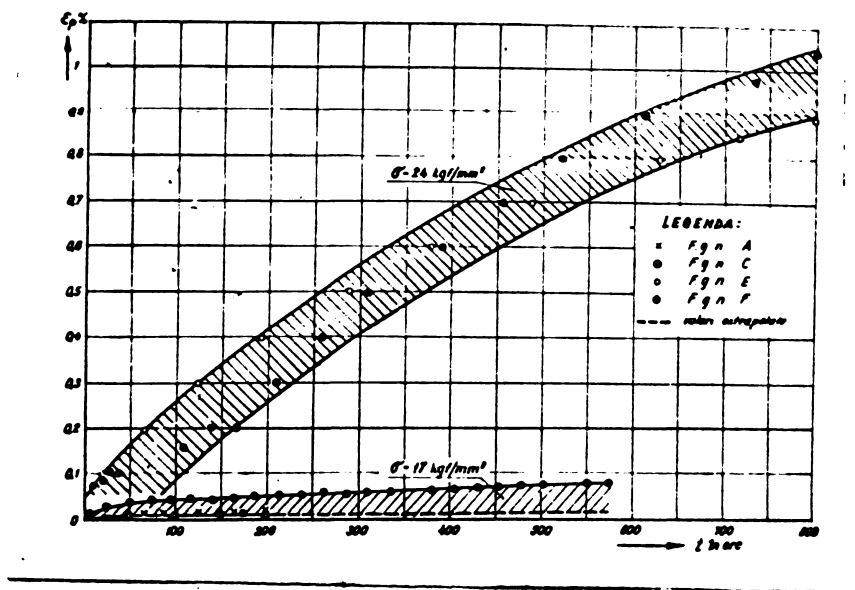


Fig.4.10. Zonele de dispersie în diagrama $\varepsilon_p = f(t)$.

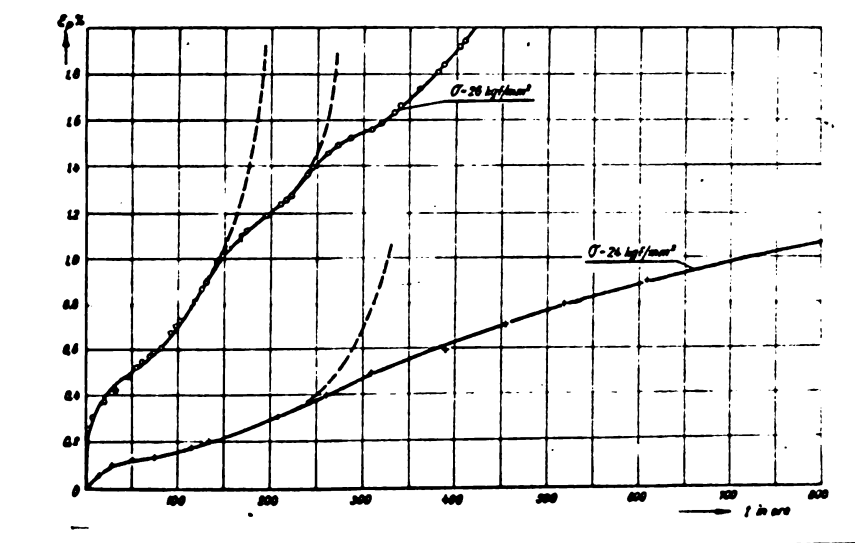
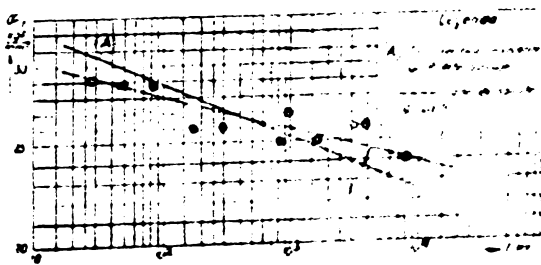


Fig.4.11. Curbele de fluaj $\dot{\varepsilon}_p = f(t)$ care prezintă variații ale vitezei de fluaj

Fig.4.12. Diagrama rezistenței tehnice de durată $\log \sigma_r/t = f(\log t)$



Liniile trăsate întrerupt reprezintă curbele care ar corespunde pentru un metal pur. Se observă că fenomenul menționat este mai pronunțat la solicitări mai ridicate.

4.3.4. Determinarea rezistenței tehnice de durată

În funcție de valorile obținute, pentru $\sigma_{0,2}$ la încercare de tractiune cu sarcina progresivă și la determinarea limitei tehnice de fluaj, încercările cu sarcina constantă pînă la rupere s-au executat cu următoarele valori ale tensiunilor inițiale: $\sigma = 24; 25; 26; 27; 28,5$ și 29 kgf/mm^2 . În figura 4.12 - pe baza timpului de rupere determinat la fiecare încercare și aplicînd metoda celor mai mici patrate - s-a trăsăt curba ① a rezistenței tehnice de durată pentru fontele nodulare examinate. Pentru comparație s-a trăsăt și curba similară obținută de P.Aftenborough (curba ②) pentru fontele nodulare feritice "mechanite" [4.1].

Se observă că fontele indigene au o comportare asemănătoare cu cele examineate de P.Aftenborough, iar la durete mai lungi se remarcă chiar o comportare mai bună. Din diagrama trăsătă s-a obținut $\sigma_{r/1000} = 25,8 \text{ kgf/mm}^2$ iar prin extrapolare a rezultat $\sigma_{r/10000} = 29,9 \text{ kgf/mm}^2$.

4.4. Cercetări microfractografice.

Spruvetele pentru determinarea rezistenței tehnice de durată din fontă cu grafit nodular F.g.n.40-10, cu matrice feritică, încorcate la diferite condiții de solicitare, au fost supuse examinărilor microfractografice pentru analiza caracterelor suprafațelor de rupere. Cercetările au fost efectuate cu ajutorul unui microscop electronic prin transmisie B.S-613 folosind replici duble acetaț de celuloză - carbon. Cîteva microfractografii reprezentative sunt prezentate în figurile 4.13 ... 4.20 la o mărire M.E $\times 2700$. Se observă clar sculgerea nodulelor de grafit din matricea structurală și aspectul ductil al rupturii grăunților feritici. Deformările diferite suferite de structura feritică sunt o consecință a condițiilor efective de încercare, care provoacă modificări submicrostructurale (densitate de dislocații, distorsioni de rețea și tensiuni interne) - modificări evidențiate macroscopic prin încercările mecanice de durată.



Fig.4.13. Fractografiile probelor F.g.n.40-10.
Temperatura: 400°C , $G_{r/t} = 40 \text{ kgf/mm}^2$. Durata pînă la rupere: 0,5 oră

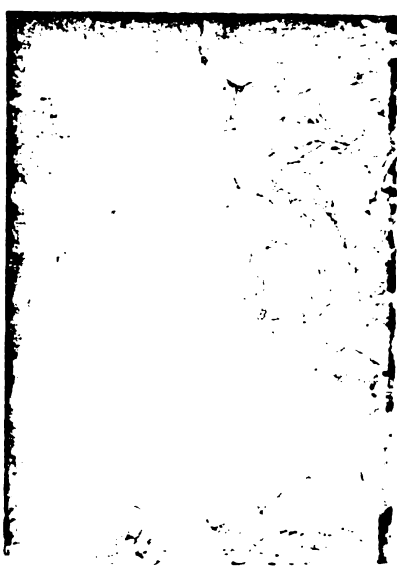


Fig.4.14. Fractografiile probelor F.g.n.40-10.
Temperatura: 400°C , $G_{r/t} = 24 \text{ kgf/mm}^2$. Durata pînă la rupere: 1620 ore



Fig.4.15. Fractografiile probelor F.g.n.40-10.
Temperatura: 425°C , $\sigma_{r/t} = 24 \text{ kgf/mm}^2$
Durata pînă la rupere: 31,5 ore



Fig.4.16. Fractografia
probei F.g.n.40-10.
Temperatura: 425°C , $\sigma_{r/t} =$
 20 kgf/mm^2 . Durata
pînă la rupere: 1272 ore



Fig.4.17. Fractografia
probei F.g.n.40-10
Temperatura: $437,5^{\circ}\text{C}$, $\sigma_{r/t} =$
 20 kgf/mm^2 . Durata pînă la
rupere: 139 ore



Fig.4.18. Fractografiile probelor F.g.n.40-10.

Temperatura: 450°C , $\bar{G}_{r/t} = 19 \text{ kgf/mm}^2$.

Durata pînă la rupere: 210 ore

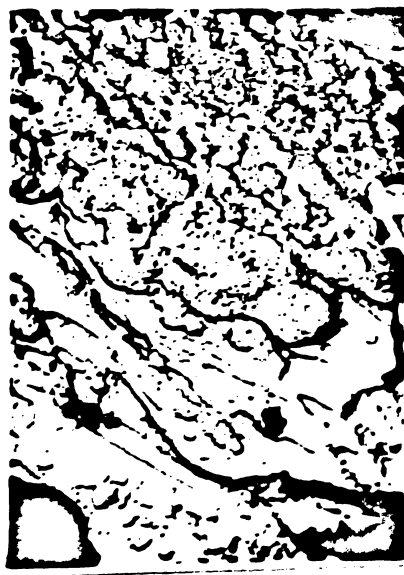


Fig.4.19. Fractografia probei F.g.n.40-10.
Temperatura: $437,5^{\circ}\text{C}$,
 $\bar{G}_{r/t} = 18 \text{ kgf/mm}^2$. Durata
pînă la rupere: 2362 ore

Fig.4.20. Fractografia probei F.g.n.40-10.
Temperatura: 450°C ,
 $\bar{G}_{r/t} = 16,5 \text{ kgf/mm}^2$. Durata
pînă la rupere: 659 ore.

4.5. CONCLuzii

4.5.1. Caracteristicile de rezistență și plasticitate date de STAS 6071-64 în vigoare la data publicației [3.1], pentru fontele cu grafit nodular îndigene, se situează mult dedesubt valorilor stipulate în standardele din alte țări, cît și celor obținute de uzinele producătoare din țara noastră. De aceea s-a recomandat modificarea standardului conform posibilităților actuale și cerințelor pe plan mondial.

În standardul STAS 6071-72, apărut ulterior lucrării [3.1] s-a ținut seama de aceste recomandări: 67% din calitățile standardizate situându-se în zona calităților confirmate pe plan mondial.

4.5.2. Limita tehnică de fluaj $\sigma_{p/t}$ a fontelor nodulare examineate P.g.n. 40 - 10, la temperatura de 400°C - atât la încercări de scurtă durată, cît și de lungă durată - sunt superioare unor fonte cu grafit nodular feritice străine și depășesc cu mult valorile corespunzătoare oțelurilor de tip QLK 1. [3.34] [3.35] [3.36] [3.37] [3.38].

4.5.3. În lucrare s-a evidențiat "rezistență latentă de fluaj" pentru fontele cu grafit nodular. În literatura de specialitate acest fenomen a fost studiat numai la curbele de fluaj ale oțelurilor austenitice [4.3]. [4.14]

4.5.4. Rezistența tehnică de durată $\sigma_{r/t}$ a fontelor feritice P.g.n. 40 - 10 la durete de ordinul $t = 1000 \dots 10000$ ore și temperatură de 400°C este foarte apropiată de cea a fontelor nodulare cu o compoziție similară din străinătate [4.1].

4.5.5. Instalația de încercare specială realizată la catedra de Mecanică și Rezistență materialelor [4.5] a permis să se studieze variația limitei de curgere a materialelor în funcție de viteza de solicitare constantă cuprinse în limite foarte largi: $v_r = 10^{-5} \dots 1 \text{ Kgf/mm}^2 \cdot \text{s}$ [3.39] [4.17] [4.18] [4.19].

Investigațiile întreprinse în cadrul lucrării au arătat că viteza de solicitare influențează într-o măsură mai mică limita de curgere a fontelor cu grafit nodular la temperatura de 400°C , decât în cazul oțelurilor.

BIBLIOGRAPHIE

- 4.1. AFTONBOROUGH, P. - Creep Properties of Meehanite Nodular at .
400° - 500°C, Report E.1099, University of New- castle-upon-
Tyne, Anglia, sept.1966, pp.1-31.
- 4.2. DUMITRESCU, Tr., NICOLAIU, H., ILIESCU, P., - Comportarea fontelor
cu grafit nodulat la temperaturi finale. Studii și cercetări
de mecanică aplicată, București, 1955, Tom VI, Nr.1-2, p.127-
161.
- 4.3. GLEN, J.: - Journ. Iron Steel Inst., London, 1958, nr.8, pp.
328-335.
- 4.4. KOVATS, L. în colaborare cu MAJDU, I. - Încercări asupra table-
lor de cauză de locomotivă, Bul. științific și tehnic al Inst.
Politehnic Timișoara, Tom 5(19), 1960, Fasc. 1-2, pp. 105-114.
- 4.5. MAJDU, I. - Contribuții la studiul influenței temperaturii și
vitezei de încărcare asupra limitei de curgere a unui oțel
moale, (Teză de doctorat), Lit.I.P.T. Timișoara, 1964.
- 4.6. IVANOVA, V.S., ODING, I.A. - Polsucesc ciuguna s globularnim
grafitom. Izvestia Akad. Nauk. SSSR Otd. tehn. nauk, Moskva,
1955, nr.7, pp 89-93
- 4.7. NEIMUTH, L. - Einige neue Gesichtspunkte in der Verwendung von
spherolitischem Gusseisen, Üntöde, Budapest, 1966, nr.2, pp.
25-30
- 4.8. PLESINGER, A., - Propriétés de la fonte à graphite sphéroidal
aux températures élevées Fonderie, Paris, 1960, ianuarie, nr.
168, pp.18-24
- 4.9. RASHEEV, D. - Contribuții la stabilirea proceselor elementare ce
controlă transformările izoterme la încălzirea fontelor cu
grafit nodular, Studii și cercetări de Metallurgie București,
1968, Tom 13, nr.2, pp.31 - 57.
- 4.10. RINTER, H. - Fachausgeschuss GGG, Giesserei, Düsseldorf, 1965,
nr.20.
- 4.11. Dr. ROLL - Entwicklungsstand und Zukunft des Gusseisens, Verlag
Technik, Berlin 1951.
- 4.12. STELZENMÜLLER H., Langzeit Warmfestigkeitseigenschaften von
GGG, Stahl und Eisen, Düsseldorf, 1958, 78, nr.5, pp.304-307.
- 4.13. TOWERS, J.A. - The Creep Properties of an As-Cast Pearlitic
Nodular Graphite Cast Iron at 400°C, British Cast Iron Research
Association, London, 1960, nr.3, pp. 422-425.
- 4.14. WIDMER, R. - Untersuchungen Über den Kriechmechanismus vom grub-
körniger 15/15 Cr-Ni-Stahl, Teză de doctorat, Zürich 1957.
- 4.15. x x x Research in Progress ... Gray Iron, Modern Castings
Illinois, USA, 1966, nr.2, pp 118-120.
- 4.16. KOVATS, L. în colaborare cu acad. St. Nedea - Cercetări statis-
tice asupra unui aspect al corelației între vitesa de topire
și procentul de cocs la un cubilou. Bul. științific și tehnic
al Inst. Politehnic Timișoara, Tom 2(16) - 1957, Fasc.2, pp.
98 - 105.

- 4.17. KOVATS, L. în colaborare cu: HADU, I., CRISTEA, C.: Determinarea limită de cădere la cald a tabelelor greave din oțel carbon de calitate OK 2 (STAS 2883- 62) pentru temperaturi cuprinse între 200 ... 450°C și viteză de încarcare $v = 10^{-1}$ kgf/mm².s: C. select. F. Mec. 1968 p.2-9.
- 4.18. KOVATS, L. în colaborare cu: HADU, I., CRISTEA, C.: Influența temperaturii și a vitezei de solicitare asupra rezistenței de rupere la forfecare până a trei etaleuri cu conținut redus de carbon. Comunicările celei de a VI-a Conferință de sodărie și încercări de metale Timișoara, 1969 Acad. RSR-H.I., p.613-634.
- 4.19. KOVATS, L. în colaborare cu: HADU, I., CRISTEA, C.; LĂPUȘCIU, P.: Analiza stării de tensiune din peretele unei conducte de aer dintr-o centrală termoelectrică de mare putere. Energetica, vol.XXIII, mart.-apr.1975, București, pp.111-120.

5. PRINCIPALELE CONTRIBUȚII ALE TEZEI

5.1. Studiul efectuat în cadrul tezei se axează pe o tematică de actualitate pregnantă din tehnica mondială particularizată pentru condițiile concrete din Republica Socialistă România:

- A. Comportarea la temperaturi ridicate a fontei cu grafit nodular.
- B. Extrapolarea rezultatelor încercărilor de fluaj

5.2. Caracteristicile de rezistență foarte bune îmbinăte cu proprietăți tehnologice favorabile, precum și indici economici ridicăți, fac ca în țările avansate industriale producția de fontă nodulară să crească mai pronunțat în detrimentul celorlalte produse ferace. Deși studiul comportării la temperaturi ridicate ale fontelor cu grafit nodular stă în centrul preocupărilor al mai multor institute de cercetare din străinătate, lucrarea de față constituie un pionerat, abordând prima dată la noi în țară o astfel de investigație.

5.3. În lucrarea [3.1] s-a recomandat modificarea caracteristicilor de rezistență și de plasticitate ale fontelor cu grafit nodular prevăzute în standardul 6071-64. În standardul apărut ulterior s-a ținut seama de aceste recomandări.

5.4. Lucrarea de față precum și articolele publicate anulate pe tematica tezei pun la dispoziția institutelor de proiectare caracteristicile la temperaturi ridicate ale fontelor cu grafit nodular elaborate în țară: limita tehnică de fluaj $\sigma_{4/2}$ și rezistența tehnică de durată $\sigma_r/10000$.

5.5. Aceste caracteristici sunt superioare unei fonte străine și depășesc cu mult valorile corespunzătoare pentru otelurile nealiate. Printr-un control mai riguros al tehnologiei turnării se vor putea micșora și dispersiile semnalate în lucrare și vor spori încrederea beneficiarilor în acest material elaborat la noi în țară doar de două decenii.

5.6. În ce privește contribuțiile teoretice ale lucrării la subtema A, se amintesc:

a) Evidențierea "rezistenței latente de fluaj" pentru fonte cu grafit nodular feritice. În literatura de specialitate acest fenomen a fost studiat numai la curbele de fluaj ale otelurilor.

b) Stabilirea aspectului de sensibilitate mai redusă a fontei cu grafit nodular - comparat cu otelul - pentru variația limitei de curgere la 400°C în funcție de vitesă de solicitare.

5.7. Subtema B - extrapolarea rezultatelor încercărilor de fluaj - constituie o problemă cheie pentru utilizarea materialelor la durete mai mari, întrucât încercarea materialelor la durete necesare din serviciu nu se pot efectua fără uzură morală a lor. Astfel singura posibilitate ca proiectanții să poată folosi eficient rezultatele investigațiilor este stabilirea de metode adecvate de extrapolare, ca din încercări de durată redusă să se poată trage concluzii cu nivel de semnificație corespunzător pentru durete lungă.

Cele 2 metode parametrice P_I și P_{II} stabilite în cadrul tezei (în accepțiunea rectilinearității a izotermelor) - pentru care calculalele se pot efectua la calculatorul digital - precum și funcția de tensiune - pentru care a fost necesară întocmirea unui program de calculator - dau nivele de încredere ameliorate la o durată mai redusă a încercărilor.

Acesta are implicații economice importante pentru reducerea costului încercărilor, cît și uzurii morale a materialului încercat.

5.8. Standardul de stat în vigoare pentru extrapolarea rezultatelor încercărilor de fluaj prezintă doar o metodă de aproximare grafică a curbei Larson-Miller. Programul pentru calculator stabilit în cadrul tezei determină analitic funcția de gradul 3, care modelază mai riguros fenomenul, dind concomitent și curbele izotermă. Evidență dispersiile față de punctele experimentale în acest caz sunt mult mai mici.

5.9. În urma incoerenței rezultatelor încercărilor obținute prin folosirea relației Larson-Miller - întrucât constanta universală din această relație este puternic influențată de nivelul solicitării și prezintă dispersii accentuate în raport cu intervalul de temperatură - s-a trecut la eliminarea acestei constante, sugerând un parametru optimizat (P_I). S-a confirmat că distribuțiile empirice la această metodă urmează legea Poisson (verificate după criteriul Kolmogorov și χ^2). Intervalele de încredere obținute cu metoda P_I sunt mai bune, decât cele obținute cu metodele clasice în cazul materialelor studiate.

5.10. S-a conceput o nouă funcție model (metoda P_{III}) - care permite determinarea rezistenței tehnice de durată, în baza încercărilor la temperaturi superioare, completate cu o singură încercare de durată redusă la temperatura de serviciu (cu epruvete multiple). Coeficienții de corelație calculați în baza statisticii matematice - în toate cazurile - sunt superioare chiar celor obținute la ecuațiile de regresie ale izotermelor. Dispersiile între rezultatele experimentale la temperatură de serviciu și cele calculate cu formula nouă și în acest caz

sunt mult mai mici decit la cele clasice.

5.11. Contribuția tezui în ce privește metodica calculelor pentru extrapolarea rezultatelor încercărilor de fluaj la fante cu grăfit nodular se aplică cu succes și la alte metale fercoase.

Astfel metodica s-a aplicat între anii 1972 - 76 la rezolvarea contractelor între Catedra de Mecanică și Rezistența Materialelor și întreprinderea "Industria Sîrnei" Cîmpia Turzii pentru încercările de fluaj al metalului depus prin sudare din electrozi termoresistenți. La fel s-a aplicat la contractele încheiate între anii 1972 - 76 și în perspectivă cu CIET București pentru comportarea la fluaj al materiei-lui țevilor supraîncălzitoare de la centralele termoelectrice de la Borzești, Paroșeni, Iernut, etc. Colaborarea cu "Industria Sîrnei" permite întreprinderii să reducă substanțial importul de electrozi, iar rezultatele investigației pentru centralele termoelectrice se valorifică prin prelungirea menținerii în funcțiune a acestor centrale (cu pieșe importante), în ambele cazuri economisindu-se lei - valută.

Programul stabilit la calculator poate fi folosit - cu mici modificări - la contractele de colaborare în perspectivă.

5.12. În ce privește contribuțiiile teoretice ale lucrării la subtema B se amintesc:

a.) studiul critic comparativ al metodelor de extrapolare folosite pe plan mondial

b.) stabilirea existenței unui punct de inflexiune pentru funcțiile de tensiune obținute la materialele studiate. Această afirmație este confirmată de cercetători din străinătate la încercări de fluaj de durată foarte mare.

c.) stabilirea - prin program de calculator - a coeficientilor funcțiilor model Claus, precum și o analiză statistică a dispersiilor acestor funcții.

d.) studiul - efectuat la calculator - al variabilelor $\ln \bar{U}$, $\sqrt{\bar{U}}$ și \bar{U} pentru a obține dispersii minime în acceptiunile rectilinee-rității izotermalor.